

+ ZESPOŁY ŁOŻYSKOWE SELF-LUBE®



Zespoły łożyskowe Self-Lube®

Spis treści

| | |
|---|------------|
| Ogólne specyfikacje techniczne | 5 |
| › Informacje techniczne wspólne dla całego asortymentu | 6 |
| › Obliczanie obciążenia | 9 |
| Zespoły łożyskowe typu Self-Lube® | 11 |
| › Tablica konfiguracji zespołów łożyskowych | 12 |
| › System oznaczania części | 14 |
| › Specyfikacje techniczne | 15 |
| › Tabele zespołów łożyskowych | 23 |
| Zespoły łożyskowe typu Silver-Lube® | 95 |
| › Tablica konfiguracji zespołów łożyskowych | 96 |
| › System oznaczania części | 96 |
| › Tabele łożyskowe | 102 |
| Zespoły Molded-Oil™ ze stali nierdzewnej | 111 |
| › Tablica konfiguracji zespołów łożyskowych | 112 |
| › System oznaczania części | 112 |
| › Specyfikacje techniczne | 113 |
| › Tabele łożyskowe | 114 |
| Zespoły łożyskowe typu Life-Lube® (wkładki Molded-Oil™ w obudowach Silver-Lube®) | 121 |
| › Tablica konfiguracji zespołów łożyskowych | 122 |
| › System oznaczania części | 122 |
| › Specyfikacje techniczne | 123 |
| › Tabele łożyskowe | 126 |
| Specjalne produkty i rozwiązania w zakresie łożysk | 137 |
| › Produkty dodatkowe | 138 |
| › Zespoły łożyskowe typu HLT Self-Lube® | 138 |
| › Specjalne obudowy w opcji | 138 |
| Lista zamienników | 139 |
| › Lista oznaczeń zamienników zespołów łożyskowych | |
| Tabele przeliczeniowe | 147 |
| › Tablice inżynierskie przeliczania jednostek | |

Jako jeden z wiodących światowych producentów łożysk tocznych, komponentów technologii liniowej i układów kierowniczych, jesteśmy obecni prawie na każdym kontynencie – w zakładach produkcyjnych, biurach sprzedaży i centrach technologicznych – ponieważ nasi klienci doceniają krótkie kanały decyzyjne, sprawne dostawy i lokalny dostęp do naszych usług.



Firma NSK

NSK rozpoczęła swoją działalność w 1916 r. jako pierwszy japoński producent łożysk tocznych. Od tamtego czasu stale rozbudowujemy i ulepszamy nie tylko gamę naszych produktów, lecz również zakres usług dla różnych sektorów przemysłu. Z myślą o nich rozwijamy technologie w dziedzinie łożysk tocznych, systemów liniowych, komponentów dla branży motoryzacyjnej i systemów mechatronicznych. Nasze ośrodki badawcze i produkcyjne w Europie,

Ameryce i Azji są ze sobą powiązane w globalnej sieci technologicznej. Koncentrujemy się nie tylko na rozwoju nowych technologii, ale również na stałej optymalizacji jakości – na każdym etapie procesów. Nasze działania badawcze obejmują m.in. projektowanie produktu, aplikacje symulacyjne z wykorzystaniem różnorodnych systemów analitycznych, a także opracowywanie nowych typów stali i środków smarnych dla naszych łożysk tocznych.

Partnerstwo oparte na zaufaniu, zaufanie oparte na jakości

Kompleksowa Jakość NSK: współdzielenie naszej globalnej sieci Centrów Technologicznych NSK. Oto jeden z przykładów na to, jak spełniamy wymagania wysokiej jakości.

NSK jest jedną z czołowych firm szczycących się długą tradycją opatentowanych rozwiązań dla części mechanicznych. W naszych centrach badawczych na całym świecie skupiamy się nie tylko na rozwijaniu nowych technologii, ale także na stałym ulepszaniu jakości w oparciu o zintegrowaną platformę

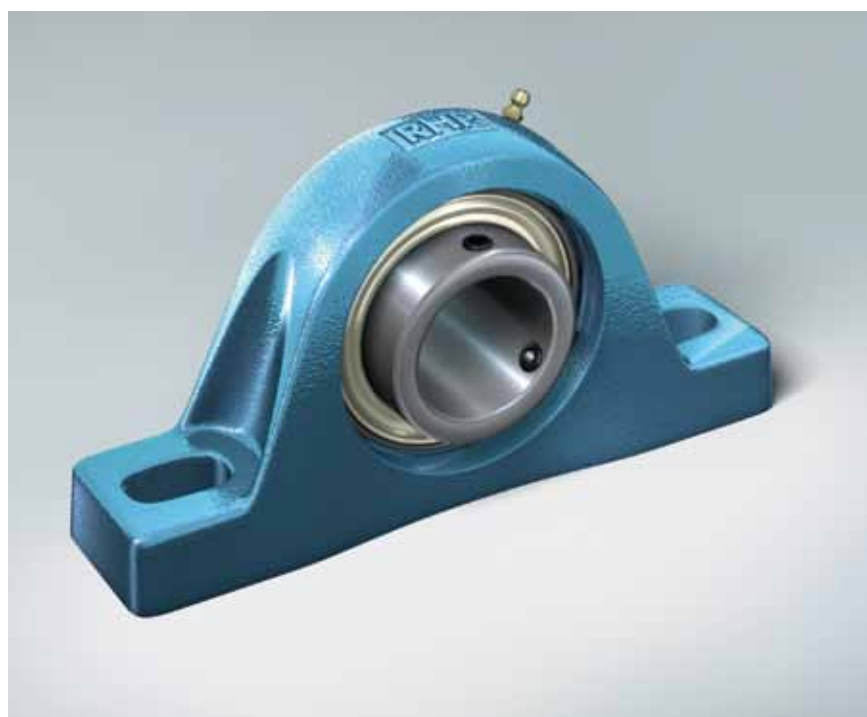
technologiczną: trybologii, technologii materiałowej, analizy i mechatroniki.

Więcej o NSK na stronie internetowej
www.nskeurope.pl lub pod numerem telefonu
+48 22 645 15 25





Ogólne specyfikacje techniczne zespołów łożyskowych Self-Lube®



Asortyment produktów Self-Lube®

Firma NSK produkuje kilka asortymentów zespołów łożyskowych. Obejmują one Self-Lube®, nasz znany produkt standardowy, oraz niedawno wprowadzone zespoły, takie jak Silver-Lube®, Life-Lube® oraz Molded-Oil™. Każdy z powyższych produktów składa się z dwóch głównych elementów – wkładki łożyskowej i obudowy.

Wkładki łożyskowe Self-Lube®

Wkładka Self-Lube®, powszechnie znana jako łożysko o szerokim pierścieniu wewnętrznym, zaprojektowana tak, by pasowała do szerokiej gamy obudów oferowanych przez NSK w ramach serii łożysk Self-Lube®. Jest także odpowiednia dla aplikacji, gdzie preferowane są własne osłony użytkownika.

Są to głównie łożyska kulkowe poprzeczne popularnej serii 6200, z integralnymi cechami konstrukcji powodującymi, iż są one bardziej funkcjonalne i wszechstronne niż standardowe łożyska kulkowe. Dla standardowych wkładek łożyskowych wewnętrzny luz promieniowy wynosi C3, a łożyska oferowane są albo z pierścieniami zewnętrznymi o średnicy zewnętrznej walcowej lub sferycznej, przy czym te ostatnie są wmontowane w zespół łożyskowy. Cechy zintegrowanej konstrukcji wkładki łożyskowej, takie jak mocowania na wałku, uszczelnienie i smarowanie objaśniono na kolejnych stronach.

Zespoły łożyskowe Self-Lube®

Gama zespołów łożyskowych Self-Lube® daje szeroki wybór obudów z żeliwa, stali tłoczonych, kauczuku syntetycznego, tworzywa termoplastycznego lub stali nierdzewnej zamontowanych z wkładką łożyskową Self-Lube® o sferycznej średnicy zewnętrznej. Generalnie kompensują one wstępną niewspółosiowość obudowy do 0,030 radianów, lecz nie są polecane przy niewspółosiowości obrotu przekraczającej 0,001 radianów.

Ogólne typy obudów to obudowy stojące, obudowy kołnierzowe, obudowy naciągowe, obudowy zintegrowane (kartridż) i podwieszane. Wybór determinują wymagania danej aplikacji, jednakże estetyka konstrukcji maszyny jest często brana pod uwagę. Zespoły Self-Lube® zaprojektowano z myślą o spełnieniu potrzeb w przypadku obu kryteriów.

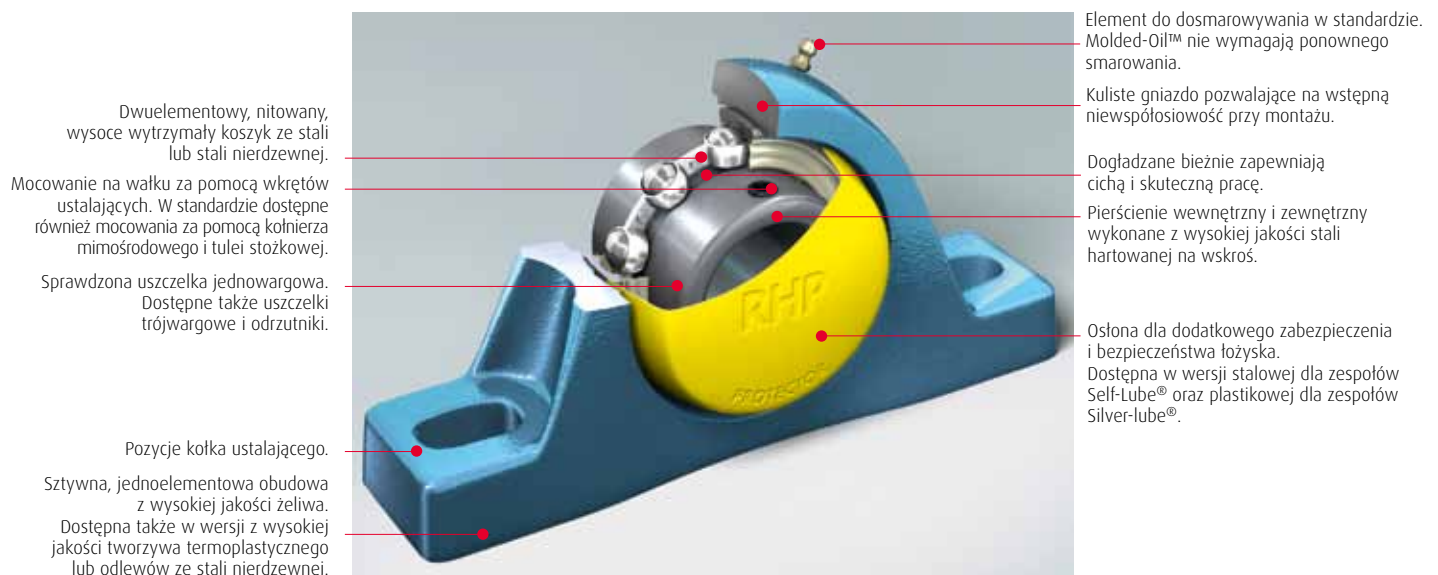
- › Zespoły żeliwne wykonywane są z wysokiej jakości żeliwa i na powierzchniach nie obrabianych pokryte elektrostatyczną farbą schnącą na powietrzu.
- › Obudowy ze stali tłoczonych wykonywane są z miękkiej taśmy stalowej i pokryte cynkiem.
- › Obudowy termoplastyczne wykonane metodą wtryskową z wysokogatunkowego tworzywa PBT – wysokiej jakości poliestrowej żywicy termoplastycznej.
- › Obudowy ze stali nierdzewnej wykonywane są z odlewów stali austenitycznej (SCS13).

Produkty dodatkowe

Firma NSK dostrzega konieczność tworzenia rozwiązań dostosowanych do potrzeb klienta i jest zawsze gotowa zaoferować swą pomoc klientom, którzy zgłaszają zapotrzebowanie na coś spoza asortymentu.

Współczynniki obciążenia dynamicznego

Współczynniki obciążenia dynamicznego podane w niniejszym katalogu i związek pomiędzy nimi a wytrzymałością zmęczeniową łożyska bazują na normie ISO 281.



Nośności i wytrzymałość łożysk

Bazowa nośność dynamiczna promieniowa C_r

Definiowana jako obciążenie, jakie można zastosować do łożyska, by uzyskać bazową żywotność L_{10} jednego miliona obrotów. Jest to trwałość kojarzona z 90% niezawodnością, która, jak wskazuje doświadczenie, jest dopuszczalna w normalnych maszynowych aplikacjach łożyska. Większość łożysk osiąga większą trwałość, a średnia trwałość w przybliżeniu pięciokrotnie przewyższa trwałość L_{10} . Nośności dla każdej serii podane są w tabelach łożysk i stosowane do obliczania trwałości dla obciążeń promieniowych o stałej wielkości i kierunku.

Równoważne promieniowe obciążenie dynamiczne P_r

Dla zastosowań, w których występuje obciążenie osiowe i promieniowe należy dokonać przeliczenia na pojedyncze równoważne obciążenie promieniowe P_r i obliczyć w następujący sposób, gdzie:

- F_r = rzeczywiste obciążenie promieniowe (N)
- F_a = rzeczywiste obciążenie osiowe (N)
- Y = współczynnik obciążenia osiowego z tabeli 18.2
- C_{or} = nośność bazowa statyczna
- C_r = nośność bazowa promieniowa
- f_0 = współczynnik

Uwaga: Obciążenie osiowe F_a nie może przekraczać $0.5 C_{or}$.
Wybrać f_0 z tabeli 18.1 dla właściwej wkładki łożyska.

Obliczyć $\frac{f_0 F_a}{C_{or}}$ i uzyskać wartość Y z tabeli 18.2.

Obliczyć P_r gdzie:

$$P_r = F_r \quad \text{lub} \\ P_r = 0.56 F_r + Y F_a$$

Zastosować największą wartość P_r .

Związek pomiędzy obciążeniem i trwałością

Po wyznaczeniu równoważnego obciążenia P_r nominalną trwałość łożyska L_{10} oblicza się następująco:

$$\text{Trwałość } L_{10} \text{ w godzinach} = \left(\frac{C_r}{P_r}\right)^3 \cdot \frac{10^6}{60n}$$

gdzie n = prędkość robocza łożyska (obr/min).

Ewentualnie, stosując proporcję $\frac{C_r}{P_r}$ trwałość łożyska L_{10} można oszacować, odczytując bezpośrednio z tabel na stronie 9 we właściwej kolumnie prędkości.

Bazowa nośność statyczna C_{or}

Wartość tę oblicza się zgodnie z normą ISO 76. Wartości dla każdej serii podano w tabelach łożysk.

Statyczne równoważne obciążenie promieniowe P_{or}

W przypadku zastosowania statycznych obciążeń osiowego i promieniowego w stosunku do łożyska muszą one zostać przeliczone na równoważne obciążenie statyczne promieniowe P_{or} gdzie:

F_{or} = rzeczywiste obciążenie statyczne promieniowe (N)

F_{oa} = rzeczywiste statyczne obciążenie osiowe (N)

Obliczyć P_{or} gdzie:

$$P_{or} = F_{or} \quad \text{lub}$$

$$P_{or} = 0.6 F_{or} + 0.5 F_{oa}$$

Zastosować większą wartość P_{or} lecz wartość ta **nie powinna przekraczać** bazowego statycznego obciążenia promieniowego łożyska C_{or} .

Współczynniki obciążenia

Zwyczajowo podczas obliczania trwałości łożyska uwzględnia się współczynniki związane z aplikacją, które przewidują wahania obciążenia powstające w trakcie pracy. Z doświadczenia można zastosować jak następuje: W przypadku stałych i lekkich obciążeń udarowych należy pomnożyć obciążenie przez 1.2 do 1.5.

W przypadku średnich obciążeń udarowych należy pomnożyć obciążenie przez 1.7 do 2.0. Podczas dobierania rozmiaru łożyska dla konkretnego obciążenia obliczona trwałość winna odpowiadać trwałościom L_{10} pokazanym poniżej:

- ▶ Maszyny używane przez 8 godzin dziennie – nie w pełni wykorzystane – 10,000 do 20,000 godzin.
- ▶ Maszyny używane przez 8 godzin dziennie – w pełni wykorzystane – 20,000 do 30,000 godzin.
- ▶ Maszyny używane przez 24 godziny dziennie – 40,000 do 80,000 godzin.
- ▶ Maszyny używane sezonowo – 4,000 do 8,000 godzin.

Obciążenia graniczne

Obciążenie osiowe F_{oa} nie może przekraczać połowy nośności bazowej statycznej C_{or} . Wytrzymałość obudowy winna również być uwzględniana jako czynnik graniczny – zob. szczegóły na str. 19.

| Podstawowa wkładka łożyskowa | f_0 | Podstawowa wkładka łożyskowa | f_0 | $\frac{f_0 F_a}{C_{or}}$ | Y |
|------------------------------|-------|------------------------------|-------|--------------------------|------|
| 1017 | 13.1 | 1060 | 14.3 | 0.172 | 2.30 |
| 1020 | 13.1 | 1065 | 14.4 | 0.345 | 1.99 |
| 1025 | 13.9 | 1070 | 14.4 | 0.689 | 1.71 |
| 1030 | 13.8 | 1075 | 14.7 | 1.03 | 1.55 |
| 1035 | 13.8 | 1080 | 14.6 | 1.38 | 1.45 |
| 1040 | 14.0 | 1085 | 14.7 | 2.07 | 1.31 |
| 1045 | 14.1 | 1090 | 14.5 | 3.45 | 1.15 |
| 1050 | 14.4 | 3095 | 13.6 | 5.17 | 1.04 |
| 1055 | 14.3 | | | 6.89 | 1.00 |

Przykłady obliczeń łożysk

Przykład 1

Jaką trwałość nominalną można uzyskać z NP55 o stałym obciążeniu promieniowym $F_r = 3900\text{N}$ przy prędkości 1500 obr/min? Obciążalność dynamiczna C_r zespołu ze str. 25 wynosi 43500N. Jako że łożysko nie podlega obciążeniu osiowemu, obciążenie równoważne $P_r = F_r$ zgodnie ze wzorem na str. 7. W związku z tym stosuje się współczynnik obciążenia 1,2 dla obciążenia stałego.

$$P_r = F_r \cdot 1.2 = 3900 \cdot 1.2 = 4680\text{N}.$$

Ze str. 7,
trwałość L_{10} w godzinach

$$\begin{aligned} &= \left(\frac{C_r}{P_r} \right)^3 \cdot \frac{10^6}{n \times 60} \\ &= \left(\frac{43500}{4680} \right)^3 \cdot \frac{10^6}{1500 \times 60} \\ &= 8923 \text{ godziny} \end{aligned}$$

Ewentualnie, stosując tabelę stosunku obciążenia ze str. 9, przybliżoną trwałość można uzyskać poprzez umieszczenie najbliższej wartości $\frac{C_r}{P_r}$ we właściwej kolumnie obr/min.

$$\text{Stąd } \frac{C_r}{P_r} = \frac{43500}{4680} = 9.29$$

W kolumnie 1500 obr/min najbliższa wartość $\frac{C_r}{P_r}$ to 9.65 co daje przybliżoną trwałość 10 000 godzin.

Przykład 2

W przypadku obciążenia promieniowego $F_r = 2940\text{N}$ oraz obciążenia osiowego $F_a = 1470\text{N}$ przy prędkości 300 obr/min przy średnich obciążeniach udarowych, jaką nominalną trwałość L_{10} można uzyskać dla zespołu SF40? Nośność dynamiczna promieniowa C_r zespołu ze str. 39 wynosi 32500N a nośność statyczna C_{or} wynosi 19900N. Jako że łożysko podlega obciążeniu promieniowemu i osiowemu należy ustalić obciążenie równoważne P_r zgodnie ze wzorem na str. 7.

Najpierw ustalamy wartość $\frac{f_0 F_a}{C_{or}}$

$$\frac{f_0 F_a}{C_{or}} = \frac{14.0 \cdot 1470}{19900} = 1.03$$

Stosując tę wartość z tabeli 18.2 ustalamy wartość $Y = 1.55$.

Ze strony 7 obliczamy następnie wartość P_r

$$P_r = 2940\text{N}$$

lub

$$P_r = 0.56 (2940) + 1.55 (1470) = 3925\text{N}$$

Stosując wyższą wartość P_r oraz stosując czynnik aplikacji 1.7 (str. 7) dla średnich obciążeń udarowych:

$$\begin{aligned} P_r &= 3925 \cdot 1.7 \\ &= 6673\text{N} \end{aligned}$$

Ze str. 7:

trwałość L_{10} w godzinach

$$\begin{aligned} &= \left(\frac{C_r}{P_r} \right)^3 \cdot \frac{10^6}{60n} \\ &= \left(\frac{32500}{6673} \right)^3 \cdot \frac{10^6}{60 \times 300} \\ &= 6418 \text{ godzin} \end{aligned}$$

Ewentualnie, stosując tabele stosunku obciążenia ze str. 9, przybliżoną trwałość można uzyskać umieszczając najbliższą wartość C_r/P_r w odpowiedniej kolumnie obr/min.

Stąd $C_r/P_r = 32500/6673 = 4.87$.

W kolumnie 300 obr/min str. 9 najbliższa wartość wynosi 4.87, co daje przybliżoną trwałość 4.48 i 5.13. Stosując interpolację otrzymujemy przybliżoną żywotność 6250 godzin.

Wytrzymałość obudowy

Aby sprawdzić wytrzymałość obudowy dla przykładu 2 przy obciążeniu osiowym

$F_a = 1470\text{N}$ i zastosowaniu czynnika aplikacji 1.7:

Obciążenie osiowe = $1470 \cdot 1.7 = 2499\text{N}$

Na str. 19 widzimy, iż maksymalne obciążenia osiowe dla tego zespołu to:

0.45 C_{or} w jednym kierunku oraz

0.25 C_{or} w przeciwnym kierunku.

Obliczenie tych dwóch maksymalnych obciążeń osiowych, które można zastosować do obudowy:

$$0.45 \cdot 19900 = 8955\text{N}$$

$$0.25 \cdot 19900 = 4975\text{N}$$

Z powyższego wynika, że obudowa wytrzyma obciążenie osiowe o wartości 2499N w każdym kierunku. Stąd, powyższy zespół jest wystarczający dla podanych warunków obciążenia.

Uwaga: Zaleca się zastosować stopniowany wał w przypadku dużych obciążeń osiowych.

Współczynniki obciążeń

Szacunkowa trwałość łożysk kulkowych dla różnych stosunków C_r/P_r i prędkości

| Trwałość L_{10} (godziny) | Prędkość: obr./min | | | | | | | | |
|--------------------------------|--------------------|------|------|------|------|-------|-------|-------|-------|
| | 25 | 50 | 100 | 150 | 200 | 300 | 500 | 750 | 1000 |
| 100 | | | | | 1.06 | 1.22 | 1.45 | 1.65 | 1.82 |
| 500 | | 1.14 | 1.45 | 1.65 | 1.82 | 2.08 | 2.47 | 2.82 | 3.11 |
| 1000 | 1.14 | 1.44 | 1.82 | 2.08 | 2.29 | 2.62 | 3.11 | 3.56 | 3.91 |
| 1500 | 1.31 | 1.65 | 2.08 | 2.38 | 2.62 | 3.00 | 3.56 | 4.07 | 4.48 |
| 2000 | 1.45 | 1.82 | 2.29 | 2.62 | 2.88 | 3.30 | 3.91 | 4.48 | 4.93 |
| 3000 | 1.65 | 2.08 | 2.62 | 3.00 | 3.30 | 3.78 | 4.48 | 5.13 | 5.65 |
| 5000 | 1.96 | 2.47 | 3.11 | 3.56 | 3.91 | 4.48 | 5.32 | 6.08 | 6.70 |
| 7500 | 2.24 | 2.82 | 3.56 | 4.07 | 4.48 | 5.13 | 6.08 | 6.96 | 7.66 |
| 10000 | 2.47 | 3.11 | 3.91 | 4.48 | 4.93 | 5.65 | 6.70 | 7.66 | 8.43 |
| 19500 | 2.82 | 3.56 | 4.48 | 5.13 | 5.65 | 6.46 | 7.66 | 8.77 | 9.65 |
| 20000 | 3.11 | 3.91 | 4.93 | 5.65 | 6.21 | 7.11 | 8.43 | 9.65 | 10.60 |
| 30000 | 3.56 | 4.48 | 5.65 | 6.46 | 7.11 | 8.14 | 9.65 | 11.10 | 12.20 |
| 40000 | 3.91 | 4.93 | 6.21 | 7.11 | 7.81 | 8.96 | 10.60 | 12.20 | 13.40 |
| 60000 | 4.48 | 5.65 | 7.11 | 8.14 | 8.96 | 10.30 | 12.20 | 13.90 | 15.30 |
| 80000 | 4.93 | 6.21 | 7.81 | 8.96 | 9.83 | 11.30 | 13.40 | 15.30 | 16.80 |

Szacunkowa trwałość łożysk kulkowych dla różnych stosunków C_r/P_r i prędkości

| Trwałość L_{10} (godziny) | Prędkość: obr./min | | | | | | | |
|--------------------------------|--------------------|-------|-------|-------|-------|-------|-------|-------|
| | 1500 | 2000 | 3000 | 4000 | 5000 | 6000 | 8000 | 10000 |
| 100 | 2.08 | 2.29 | 2.62 | 2.88 | 3.11 | 3.30 | 3.63 | 3.91 |
| 500 | 3.56 | 3.91 | 4.48 | 4.93 | 5.32 | 5.65 | 6.21 | 6.69 |
| 1000 | 4.48 | 4.93 | 5.65 | 6.21 | 6.70 | 7.11 | 7.81 | 8.43 |
| 1500 | 5.13 | 5.65 | 6.46 | 7.11 | 7.65 | 8.15 | 8.96 | 9.65 |
| 2000 | 5.65 | 6.21 | 7.11 | 7.81 | 8.43 | 8.96 | 9.83 | 10.60 |
| 3000 | 6.46 | 7.11 | 9.14 | 8.96 | 9.65 | 10.30 | 11.30 | 12.20 |
| 5000 | 7.66 | 8.43 | 9.65 | 10.60 | 11.50 | 12.20 | 13.40 | 14.40 |
| 7500 | 8.77 | 9.65 | 11.10 | 12.20 | 13.10 | 13.90 | 15.30 | 16.50 |
| 10000 | 9.65 | 10.60 | 12.20 | 13.40 | 14.50 | 15.30 | 16.80 | 18.20 |
| 19500 | 11.10 | 12.20 | 13.90 | 15.30 | 16.50 | 17.50 | 19.30 | 20.80 |
| 20000 | 12.20 | 13.40 | 15.30 | 16.80 | 18.50 | 19.30 | 21.20 | 22.90 |
| 30000 | 13.90 | 15.30 | 17.50 | 19.30 | 20.80 | 22.10 | 24.30 | 26.20 |
| 40000 | 15.30 | 16.80 | 19.30 | 22.20 | 22.90 | 24.30 | 26.70 | 28.80 |
| 60000 | 17.50 | 19.30 | 22.10 | 24.30 | 26.20 | 27.80 | 30.70 | 33.00 |
| 80000 | 19.30 | 21.20 | 24.30 | 26.70 | 28.80 | 30.70 | 33.70 | 36.30 |

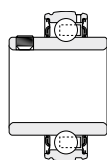




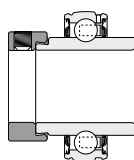
Standardowe oznaczenia zespołów

Typ wkładki

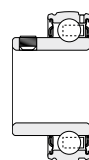
Typ obudowy



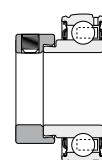
1000G



1000DECG



1200G



1200ECG

Jednoczęściowa żeliwna

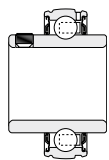


| Strona | 80 | 82 | 83 | 84 |
|-----------|------|----------|--------|---------|
| 24 | NP | NP-DEC | NP-A | NP-EC |
| 30 | SL | SL-DEC | SL-A | SL-EC |
| 32 | MP | | | |
| 36 | SNP | SNP-DEC | SNP-A | SNP-EC |
| 36 | CNP | CNP-DEC | CNP-A | CNP-EC |
| 38 | SF | SF-DEC | SF-A | SF-EC |
| 40 | MSF | | | |
| 44 | SFT | SFT-DEC | SFT-A | SFT-EC |
| 46 | MSFT | | | |
| 50 | LFTC | LFTC-DEC | LFTC-A | LFTC-EC |
| 52 | FC | FC-DEC | FC-A | FC-EC |
| 54 | MFC | | | |
| 56 | ST | ST-DEC | ST-A | ST-EC |
| 58 | MST | | | |
| 62 | BT | | BT-A | BT-EC |
| 64 | SLC | SLC-DEC | SLC-A | SLC-EC |
| 66 | MSC | | | |
| 68 | SCHB | | | |
| 68 | SCH | | | |

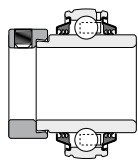
Dwuczęściowa ze stali tłoczonej



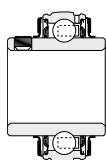
| | | | | |
|-----------|------|----------|--------|---------|
| 70 | SLFE | SLFE-DEC | SLFE-A | SLFE-EC |
| 72 | SLFT | SLFT-DEC | SLFT-A | SLFT-EC |
| 74 | SLFL | SLFL-DEC | SLFL-A | SLFL-EC |
| 76 | LPB | LPB-DEC | LPB-A | LPB-EC |
| 78 | LPBR | LPBR-DEC | LPBR-A | LPBR-EC |



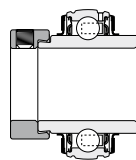
T1000G



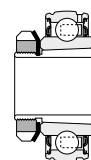
T1000DECG



1000GFS



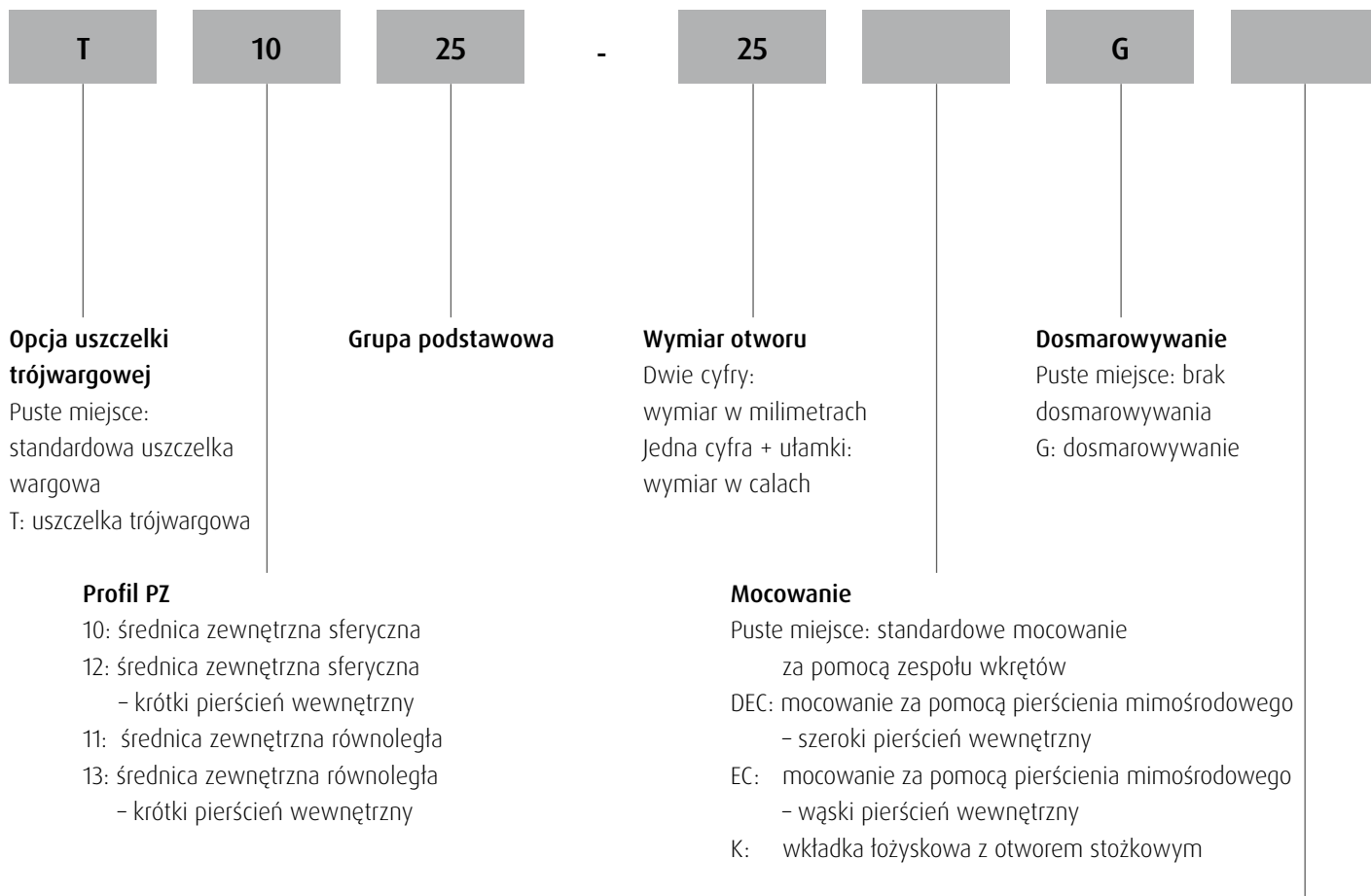
1000DECGFS



1000KG

| 88 | 90 | 91 | 92 | 86 | Strona |
|-----------|-----------|-----------|------------|------------|---------------|
| TNP | TNP-DEC | NP-FS | NP-DECFS | NP1000-K | 28 |
| TSL | TSL-DEC | SL-FS | SL-DECFS | | |
| TMP | | MP-FS | | MP1000-K | 34 |
| TSNP | TSNP-DEC | SNP-FS | SNP-DECFS | | |
| TCNP | TCNP-DEC | CNP-FS | CNP-DECFS | | |
| TSF | TSF-DEC | SF-FS | SF-DECFS | | |
| TMSF | | MSF-FS | | MSF1000-K | 42 |
| TSFT | TSFT-DEC | SFT-FS | SFT-DECFS | | |
| TMSFT | | MSFT-FS | | MSFT1000-K | 48 |
| TLFTC | TLFTC-DEC | LFTC-FS | LFTC-DECFS | | |
| TFC | TFC-DEC | FC-FS | FC-DECFS | | |
| TMFC | | MFC-FS | | | |
| TST | TST-DEC | ST-FS | ST-DECFS | | |
| TMST | | MST-FS | | MST1000-K | 60 |
| TBT | | BT-FS | | | |
| TSLC | TSLC-DEC | SLC-FS | SLC-DECFS | | |
| TMSC | | MSC-FS | | | |
| TSCHB | | SCHB-FS | | | |
| TSCH | | SCH-FS | | | |
| TSLFE | TSLFE-DEC | SLFE-FS | SLFE-DECFS | | |
| TSLFT | TSLFT-DEC | SLFT-FS | SLFT-DECFS | | |
| TSLFL | TSLFL-DEC | SLFL-FS | SLFL-DECFS | | |

Standardowe oznaczenia wkładek Self-Lube®



Lista występujących powszechnie przedrostków i przyrostków

Przedrostki

- B Zespół lub wkładka łożyska bez kołnierza mocującego.
- J Rowek smarowniczy po stronie wkładki łożyskowej bliższej urządzenia mocującego.
- T Wkładka łożyskowa z uszczelką trójwargową.

Przyrostki

- A Zespół z wkładką łożyskową mocowaną za pomocą wkrętów z wpuszczonym pierścieniem wewnętrznym z jednej strony.
- C4 Luz promieniowy większy niż C3.
- CG Wkładka z cylindryczną średnicą zewnętrzną z rowkiem smarowania i zamontowanym pierścieniem sprężynującym.
- DEC Mocowanie za pomocą pierścienia mimośrodowego i poszerzony pierścień wewnętrzny.
- DL Podwójnie mocowany pierścień wewnętrzny – zespół 4 śrub (2 z każdej strony).
- EC Mocowanie za pomocą pierścienia mimośrodowego – wąski pierścień wewnętrzny.
- FS Wkładka łożyskowa z odrzutnikami.
- G Wkładka łożyskowa z dosmarowywaniem.
- HLT Wkładka łożyskowa do wysokich/niskich temperatur.
- K Wkładka łożyska ze stożkowym otworem.
- L Większy niż standardowy zespół dla podstawowego wymiaru otworu.
- P Obudowa zamontowana ze smarowniczką 1/8" BSP (standardowo 1/4" UNF).
- R Mniejszy niż standardowy zespół dla podstawowego wymiaru otworu.

Opcje uszczelnienia

- Puste miejsce: standardowa uszczelka jednowargowa
- FS: odrzutnik
- ZZ: blaszki
- ZZFS: blaszki i odrzutnik
- HLT: wkładka do wysokich/niskich temperatur

Asortyment produktów Self-Lube®

Pod nazwą łożyska Self-Lube® występują dwa podstawowe produkty: wkładki łożyskowe Self-Lube® i zespoły łożyskowe Self-Lube®.

Zespoły łożyskowe Self-Lube®

Asortyment zespołów łożyskowych Self-Lube® oferuje duży wybór obudów z żeliwa, stali tłoczonej oraz kauczuku syntetycznego wyposażonych w pełen zakres wkładek łożyskowych Self-Lube® o sferycznej średnicy zewnętrznej. Przyjmują one wstępną niewspółosiowość obudowy do 0.030 radianów, lecz nie są polecane przy niewspółosiowości obrotu przekraczającej 0.001 radianów.

Ogólne typy obudów to oprawy stojące, oprawy kołnierzone, oprawy naciągowe, obudowy zintegrowane (kartridż) i podwieszane. Wybór determinują wymagania danej aplikacji, jednakże estetyka konstrukcji maszyny jest często brana pod uwagę. Zespoły Self-Lube® zaprojektowano z myślą o spełnieniu potrzeb w przypadku obu kryteriów.

Odlewy obudów wykonywane są z wysokiej jakości żeliwa i na powierzchniach nieobrabianych pokryte elektrostatyczną farbą schnącą na powietrzu.

Obudowy ze stali tłoczonej wykonane są z miękkiej taśmy stalowej i pokryte cynkiem. Obudowy gumowe wytłaczane są z antystatycznego kauczuku nitrylowego.

Osłona Self-Lube®

Osłona Self-Lube® została zaprojektowana tak, aby chronić operatora maszyny przed zagrożeniem od obracających się końców wału, a zewnętrzne powierzchnie łożyska przed zanieczyszczeniami.

Osłonę wykonano z wysokiej jakości miękkiej stali i pokryto farbą emaliową, co czyni ją solidniejszą, atrakcyjną i trwałą. Jest łatwa w montażu i można ją łatwo zdjąć bez uszkodzenia lub deformacji, co pozwala każdorazowo na ponowny montaż.

Standardowe wkładki Self-Lube® o sferycznej średnicy zewnętrznej posiadają dodatkowy „rowek” w pierścieniu zewnętrznym po przeciwnej stronie rowka smarowania. Osłona posiada dwa zaczepy, które poprzez wycięcia w obudowie umieszcza się w „rowku” pierścienia zewnętrznego. Zapewnia to bardzo pewne zamocowanie i zapobiega odpadnięciu osłony. Od użytkownika zespołów Self-Lube® nie wymaga się zakupu specjalnych łożysk ani też zapewnienia dodatkowego urządzenia mocującego, by uzyskać takie zabezpieczenie.

Osłonę można zdjąć poprzez włożenie urządzenia w formie dźwigni w mały otwór w jednym z zaczepów i naciskając lekko na zewnątrz. Powoduje to zwolnienie zaczepu z „rowka” pierścienia zewnętrznego. Wymienialna osłona dostarczana jest opcjonalnie.



Uszczelnianie i smarowanie

Dosmarowywanie łożysk Self-Lube®

łożyska NSK Self-Lube® są fabrycznie wypełnione odpowiednią ilością smaru i nie wymagają dalszego dosmarowywania podczas montażu.

Dosmarowywanie zazwyczaj nie jest konieczne, z wyjątkiem pracy w ekstremalnych temperaturach, prędkościach czy obciążeniach, gdy panują warunki wysokiej wilgotności lub zanieczyszczenia.

Częstotliwość dosmarowywania różni się w zależności od typu i jakości użytego smaru, jak również warunków pracy. Dlatego trudno jest ustalić jedną generalną zasadę; jednak w typowych warunkach pracy pożądane jest aby smar był uzupełniany zanim upłynie jedna trzecia jego obliczonej żywotności. Konieczne jest wzięcie pod uwagę takich czynników jak twardnienie smaru w otworze smarowniczym, uniemożliwiające dosmarowywanie lub degradacja smaru spowodowana utlenianiem podczas biegu maszyny.

Poniższa tabela pokazuje standardowe częstotliwości dosmarowywania. Niezależnie od obliczonej żywotności smaru, lista ta uwzględni również takie czynniki, jak prędkość obrotowa łożysk, temperatury pracy oraz warunki otoczenia oraz względy bezpieczeństwa.

Ilość smaru ma ogromny wpływ na osiągi łożyska. Aby uniknąć nadmiernego napełnienia smarem zaleca się dokonywać jego uzupełnienia podczas pracy maszyny. Dla zapewnienia najlepszych osiągnięć kontynuować napełnianie smarem do momentu aż niewielkie pozostałości przepracowanego smaru wyjdą spod wargi uszczelniającej na pierścieniu wewnętrznym.

Smarowanie

| Zespół | Zakres temperatur zespołu | Smar | Dostawca |
|---------------------|---------------------------|-----------------------|----------|
| Wkładka standardowa | -20°C do +110°C | Alvania S2 | Shell |
| Wkładka HLT | -40°C do +180°C | Kluberquiet BQH72-102 | Kluber |

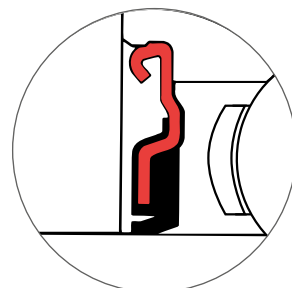
Standardowe częstotliwości uzupełniania smaru

| Typ zespołu | Wartość d_n | Warunki otoczenia | Temperatury pracy °C, °F | | Częstotliwość dosmarowywania | |
|-------------|-----------------|-------------------------------|--------------------------|--------------|------------------------------|-------------------------|
| | | | | | Godziny | Okres |
| Standardowy | 40000 i poniżej | Typowe | -15 do +80 | +5 do +176 | 1500 do 3000 | 6 do 12 miesięcy |
| Standardowy | 70000 i poniżej | Typowe | -15 do +80 | +5 do +176 | 1000 do 2000 | 3 do 6 miesięcy |
| Standardowy | 70000 i poniżej | Typowe | +80 do +100 | +176 do +212 | 500 do 700 | 1 miesiąc |
| HLT | 70000 i poniżej | Typowe | +100 do +130 | +212 do +266 | 300 do 700 | 1 miesiąc |
| HLT | 70000 i poniżej | Typowe | +130 do +180 | +266 do +356 | 100 do 300 | 1 tydzień |
| HLT | 70000 i poniżej | Typowe | -60 do +80 | -76 do +176 | 1000 do 2000 | 3 do 6 miesięcy |
| Standardowy | 70000 i poniżej | Bardzo zapyłone | -15 do +100 | +5 do +212 | 100 do 500 | 1 tydzień do 1 miesiąca |
| Standardowy | 70000 i poniżej | Wystawienie na rozbryzgi wody | -15 do +100 | +5 do +212 | 30 do 100 | 1 dzień do 1 tygodnia |

d_n = średnica otworu (mm) · prędkość (min^{-1})

Uszczelka jednowargowa

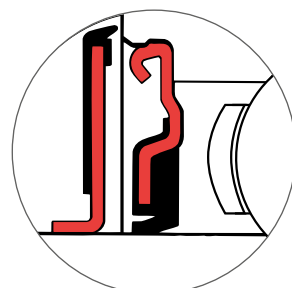
Uszczelka typu 'S' pewnie zamocowana w pierścieniu zewnętrznym łożyska składa się z nitylowego elementu uszczelnienia (w kolorze czarnym) powiązanego z mocnym stalowym nośnikiem. Elastyczna warga uszczelki styka się z dokładnie wykończoną przez szlifowanie powierzchnią pierścienia wewnętrznego, powodując niskie tarcie i skuteczne uszczelnienie.



Uszczelka jednowargowa (standardowa)

Uszczelka odrzutnikowa

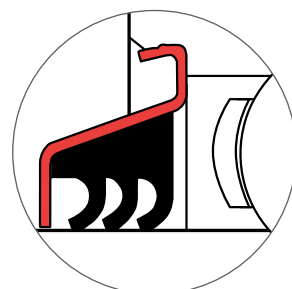
Gdy wymagana jest dodatkowa ochrona bez utraty katalogowej prędkości łożyska, uszczelka odrzutnikowa jest idealna. Składa się ona ze stalowego kołnierza, do którego przytwierdzona jest warga elastycznej uszczelki nitylowej. Uszczelki takie dostępne są dla typów 1000G oraz 1000DECG i oznaczone są przyrostkiem FS (np. 1025-25GFS, NP25FS). Uszczelka odrzutnikowa mocowana jest na pierścieniu wewnętrznym.



Uszczelka jednowargowa + odrzutnikowa

Uszczelka trójwargowa

Dla zastosowań o dużym stopniu zanieczyszczenia zalecane jest specjalnie opracowane uszczelnienie trójwargowe RHP. Składa się ono z jednoczęściowej wytłaczanej uszczelki nitylowej z trzema wargami uszczelniającymi przymocowanej do stalowego nośnika wytłoczonego na zewnątrz, który jest mocno osadzony na pierścieniu zewnętrznym, tworząc wysoce efektywny układ uszczelniający. Nie zalecany w przypadku wysokich prędkości. Zob. strony 88 do 90.

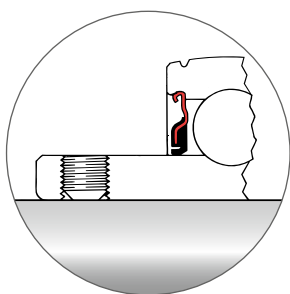


Uszczelka trójwargowa

Układy mocowania na wale

Mocowanie za pomocą zespołu wkrętów

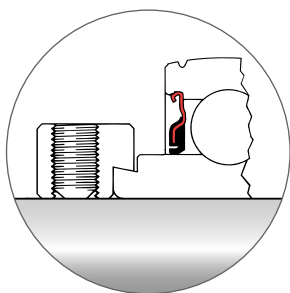
Ten układ składa się z zespołu dwóch samozabezpieczających się wkrętów mocujących z łbem gniazdowym i z radełkowym końcem wgłębionym, wkręcanych w poszerzony pierścień wewnętrzny. W przypadku normalnych obciążeń i umiarkowanych prędkości po prostu zamontować zespół łożyskowy na miejscu i dokręcić zespół wkrętów stosując zalecaną wartość momentu obrotowego. Dodatkowe zabezpieczenie można uzyskać poprzez punktowe nawiercenie wału celem dopasowania punktu docisku. W przypadku nawiercenia punktowego najpierw usunąć wkręty ustalające i ustalić pozycję na wale. Wybrać wiertło o rozmiarze mniejszym niż średnica gwintowanego otworu w pierścieniu wewnętrznym i wywiercić otwór do wału na głębokość punktu wiercenia. Włożyć wkręt ponownie i dokręcić na wale w zwykły sposób. Zalecane momenty dokręcania zespołu wkrętów podano na str. 18.



Mocowanie za pomocą zespołu wkrętów

Mocowanie za pomocą pierścienia mimośrodowego

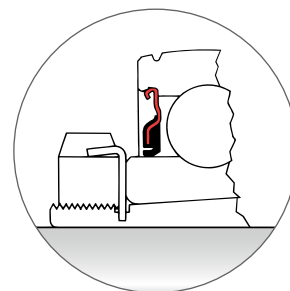
Ten rodzaj mocowania składa się ze średnicy mimośrodowej uformowanej na poszerzonym pierścieniu wewnętrznym łożyska, wykorzystując podobnie uformowaną średnicę mimośrodową w otworze oddzielnego pierścienia. Mocowanie następuje poprzez przekręcenie pierścienia w tym samym kierunku co obroty wału, aż średnice mimośrodowe zarówno pierścienia mocującego, jak i pierścienia wewnętrznego będą w pełni zaciśnięte. Pierścień mocujący dostarczany jest z zaślepionym otworem ułatwiającym dokręcenie podczas mocowania łożyska w wale. Zespół wkrętów dokręconych z zalecaną wartością momentu jak na str. 18 zapobiega cofaniu się pierścienia mocującego podczas pracy.



Mocowanie za pomocą pierścienia mimośrodowego

Mocowanie za pomocą stożkowej tulei wciąganej

Ten układ mocujący, obejmujący standardową stożkową tuleję wciąganą, nakrętkę oraz podkładkę ustalającą, zalecany jest w przypadku, gdy wymagane jest mocowanie współosiowe. Podczas montażu łożyska na wale należy zwrócić uwagę, by nakrętka nie była zbyt mocno dokręcona ponieważ może to zbyttno zmniejszyć luz wewnętrzny łożyska, co może skutkować jego przedwczesnym uszkodzeniem. Zastosowana podkładka ustalająca zapobiega odkręcaniu się nakrętki w momencie gdy jeden z zębów jest wprowadzony do odpowiedniego wycięcia w nakrętce. (Zob. poniżej – instrukcja montażu). Zalecane momenty dokręcania nakrętek podano na str. 18.



Mocowanie za pomocą stożkowej tulei wciąganej

Montaż zespołów łożyskowych Self-Lube® za pomocą tulei wciąganej

- › Najpierw przymocować obudowę Self-Lube® do sprzętu i oczyścić wał oraz otwór tulei z wszelkich pozostałości oleju lub smaru.
- › Umieścić wał w zespole i dokręcić ręcznie nakrętkę. Jeśli zespół tulei obraca się na wale pobij tuleję w kierunku łożyska, by zapewnić pewny zacisk. Dokręcić nakrętkę z zalecanym momentem o wartości podanej na str. 18.
- › W przypadku gdy niedostępne są klucze dynamometryczne do dokręcenia nakrętki można użyć tępą wybijaka i małego młotka.
- › Sprawdzić czy łożysko swobodnie się obraca, by upewnić się czy luz wewnętrzny nie został całkowicie zredukowany oraz czy uniknięto obciążenia wstępnego.
- › Na końcu, zabezpieczyć nakrętkę za pomocą odpowiedniego zęba na podkładce ustalającej. W razie konieczności dokręcić delikatnie nakrętkę, lecz jej nie cofać.
- › Po 100 godzinach pracy zaleca się sprawdzenie siły dokręcenia nakrętki.

Gwinty zespołu wkrętów i momenty dokręcenia

Gwinty i rozmiary zespołu wkrętów

| Numer podstawowy wkładki łożyskowej | Seria | | | |
|-------------------------------------|--------------------------|----------------------------|------------------------------------|----------------------------|
| | 1000G, 1100, 1200G, 1300 | | 1000DECG, 1100DEC, 1200ECG, 1300EC | |
| | Calowe średnice otworów | Metryczne średnice otworów | Calowe średnice otworów | Metryczne średnice otworów |
| 1017 | ¼UNF | M6 x 0.75 | ¼UNF | M6 x 0.75 |
| 1020 | ¼UNF | M6 x 0.75 | ¼UNF | M6 x 0.75 |
| 1025 | ¼UNF | M6 x 0.75 | ¼UNF | M6 x 0.75 |
| 1030 | ¼UNF | M6 x 0.75 | ½UNF | M8 x 1.00 |
| 1035 | ⅝UNF | M8 x 1.00 | ⅝UNF | M8 x 1.00 |
| 1040 | ⅝UNF | M8 x 1.00 | ¾UNF | M10 x 1.25 |
| 1045 | ⅝UNF | M8 x 1.00 | ¾UNF | M10 x 1.25 |
| 1050 | ¾UNF | M10 x 1.25 | ¾UNF | M10 x 1.25 |
| 1055 | ¾UNF | M10 x 1.25 | ¾UNF | M10 x 1.25 |
| 1060 | ¾UNF | M10 x 1.25 | ¾UNF | M10 x 1.25 |
| 1065 | ¾UNF | M10 x 1.25 | ¾UNF | M10 x 1.25 |
| 1070 | 7/16UNF | M12 x 1.50 | ¾UNF | M10 x 1.25 |
| 1075 | 7/16UNF | M12 x 1.50 | ¾UNF | M10 x 1.25 |
| 1080 | 7/16UNF | M12 x 1.50 | - | - |
| 1085 | 7/16UNF | M12 x 1.50 | - | - |
| 1090 | ½UNF | M12 x 1.50 | - | - |
| 3095 | ⅝UNF | M16 x 1.50 | - | - |

Momenty dokręcenia zespołu wkrętów i maksymalne obciążenia osiowe

| Rozmiar zespołu wkrętów | Rozmiar klucza wewnętrznego sześciokątnego (mierzony między bokami sześciokąta) | Zalecany maksymalny moment obrotowy dokręcenia | | Maksymalne obciążenie osiowe wkrętów ustalających | |
|-------------------------|---|--|---------------|---|-----------|
| | | Niutonometry (Nm) | funt-siła-cal | Niutony (N) | funt-siła |
| ¼UNF | ⅛" | 6.8 | 60 | 2500 | 560 |
| ⅝UNF | ⅜" | 12.4 | 110 | 3500 | 785 |
| ¾UNF | ⅝" | 22.6 | 200 | 4500 | 1010 |
| 7/16UNF | 7/32" | 31.6 | 280 | 7500 | 1685 |
| ½UNF | ¼" | 45.2 | 400 | 9000 | 2025 |
| ⅝UNF | ⅝" | 53.9 | 477 | 15000 | 3370 |
| M6 x 0.75 | 3mm | 5.7 | 50 | 2500 | 560 |
| M8 x 1.00 | 4mm | 12.4 | 110 | 3500 | 785 |
| M10 x 1.25 | 5mm | 27.1 | 240 | 5000 | 1235 |
| M12 x 1.50 | 6mm | 38.4 | 340 | 8000 | 1800 |
| M16 x 1.50 | 8mm | 53.9 | 477 | 15000 | 3370 |

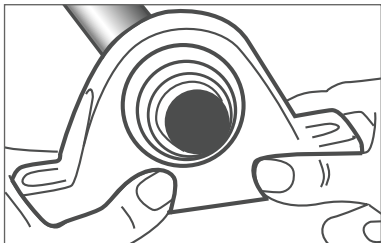
Uwaga: W przypadku obciążeń osiowych przewyższających określone wartości zaleca się zastosowanie wału stopniowanego dla oparcia czoła pierścienia wewnętrznego.

Zalecane momenty dokręcenia dla zespołów z tuleją wciągana

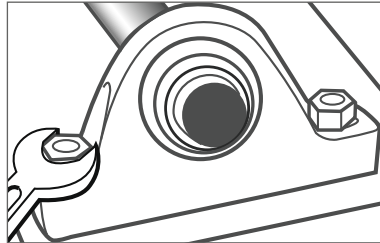
| Wielkość otworu tulei | Momenty dokręcenia | |
|-----------------------|--------------------|---------------|
| | Nm | funt-siła-cal |
| 20mm, ¾" | 30 | 265 |
| 25mm, 1⅜", 1" | 40 | 355 |
| 30mm, 1⅜", 1⅜" | 50 | 440 |
| 35mm, 1¼", 1⅜" | 60 | 530 |
| 40mm, 1⅞", 1½" | 65 | 575 |
| 45mm, 1⅞", 1¾" | 75 | 660 |
| 50mm, 1⅞", 2" | 85 | 750 |

Instrukcja montażu zespołów łożyskowych Self-Lube®

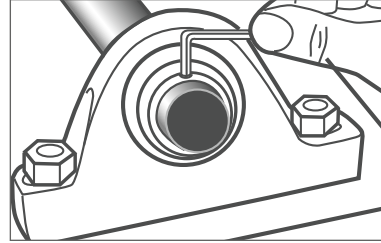
Zespoły Self-Lube® z układem mocowania za pomocą zespołu wkrętów



1. Poluzować wkręty i wsunąć łożysko na wał.

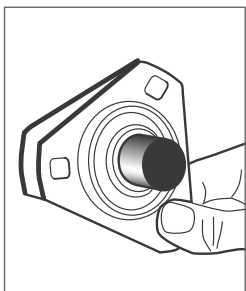


2. Przykręcić obudowę zespołu do płaskiej powierzchni, unikając nadmiernego dokręcenia.

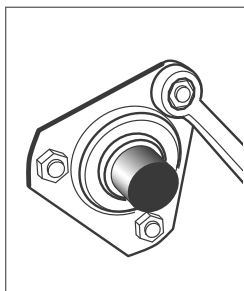


3. Dokręcić wkręty mocujące z zalecanym momentem.

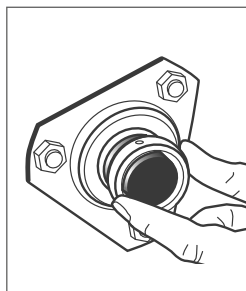
Zespoły Self-Lube® z układem mocowania za pomocą pierścienia mimośrodowego



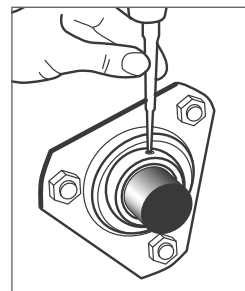
1. Złożyć łożysko oraz obudowę i wsunąć na wał. Nie zakładać pierścienia mocującego.



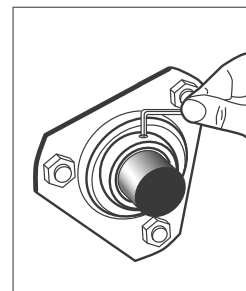
2. Lekko dokręcić śruby, powtórzyć na drugim końcu wału, a następnie ostatecznie dokręcić śruby po obu stronach.



3. Zamocować pierścień mimośrodowy w kierunku zgodnym z kierunkiem obrotu wału.



4. Dokręcić pierścień za pomocą wybijaka i małego młotka.



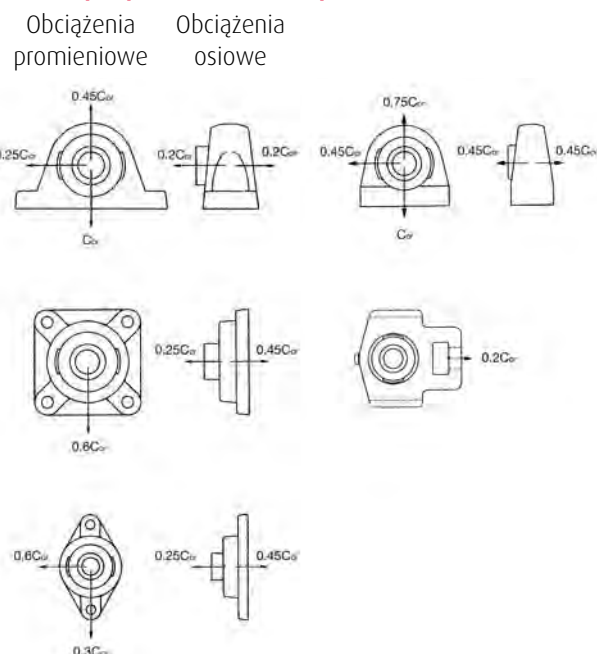
5. Dokręcić wkręty ustalające z zalecanym momentem.

Maksymalne zalecane obciążenia stałe obudowy

Maksymalne obciążenia pokazane obok podano jako proporcję nośności statycznej (C_{0r}) wkładki łożyskowej. W przypadku, gdy wartość obciążenia osiowego przekracza maksymalne obciążenie osiowe trzymania wkrętu ustalającego podane na str. 18, należy zapewnić odsadzenie na wale dla oparcia czoła pierścienia wewnętrznego.

W przypadku obciążeń uderowych należy zastosować dodatkowe środki bezpieczeństwa.

Granice wytrzymałości obudowy



Tolerancje i prędkości

Tolerancje otworu pierścienia wewnętrznego - zespół wkrętów i pierścieni mimośrodowy

| Nominalna średnica otworu d | | | | Tolerancje | | | |
|-----------------------------|---------|-----------|---------|------------|-------|-------------|-------|
| mm ponad | łącznie | cal ponad | łącznie | 0.001 mm | | 0.0001 cala | |
| | | | | górna | dolna | górna | dolna |
| 10 | 18 | 0.3937 | 0.7087 | +15 | 0 | +6 | 0 |
| 18 | 31.750 | 0.7087 | 1.2500 | +18 | 0 | +7 | 0 |
| 31.750 | 50.800 | 1.2500 | 2.0000 | +21 | 0 | +8 | 0 |
| 50.800 | 80 | 2.0000 | 3.1496 | +24 | 0 | +9 | 0 |
| 80 | 100 | 3.1496 | 3.9370 | +28 | 0 | +11 | 0 |

Tolerancje średnicy zewnętrznej pierścienia zewnętrznego

| Nominalna średnica zewnętrzna D | | Tolerancje | | | |
|---------------------------------|---------|------------|-------|-------------|-------|
| mm ponad | łącznie | 0.001 mm | | 0.0001 cala | |
| | | górna | dolna | górna | dolna |
| 30 | 50 | 0 | -11 | 0 | -4 |
| 50 | 80 | 0 | -13 | 0 | -5 |
| 80 | 120 | 0 | -15 | 0 | -6 |
| 120 | 150 | 0 | -18 | 0 | -7 |
| 150 | 180 | 0 | -25 | 0 | -10 |
| 180 | 250 | 0 | -30 | 0 | -12 |

Tolerancje obudowy dla wkładek o równoległej średnicy zewnętrznej - seria 1100, 1100DEC, 1300 oraz 1300EC

| Nominalny otwór obudowy | Pierścień zewnętrzny stacjonarny Tolerancja obudowy ISO H7 | | | | Pierścień zewnętrzny wirujący Tolerancja obudowy ISO N7 | | | |
|-------------------------|---|-------|-------------|-------|--|-------|-------------|-------|
| | 0.001 mm | | 0.0001 cala | | 0.001 mm | | 0.0001 cala | |
| | górna | dolna | górna | dolna | górna | dolna | górna | dolna |
| 40 | +25 | 0 | +10 | 0 | -8 | -33 | -3 | -13 |
| 47 | +25 | 0 | +10 | 0 | -8 | -33 | -3 | -13 |
| 52 | +30 | 0 | +12 | 0 | -9 | -39 | -4 | -15 |
| 62 | +30 | 0 | +12 | 0 | -9 | -39 | -4 | -15 |
| 72 | +30 | 0 | +12 | 0 | -9 | -39 | -4 | -15 |
| 80 | +30 | 0 | +12 | 0 | -9 | -39 | -4 | -15 |
| 85 | +35 | 0 | +14 | 0 | -10 | -45 | -4 | -18 |
| 90 | +35 | 0 | +14 | 0 | -10 | -45 | -4 | -18 |
| 100 | +35 | 0 | +14 | 0 | -10 | -45 | -4 | -18 |
| 110 | +35 | 0 | +14 | 0 | -10 | -45 | -4 | -18 |
| 120 | +35 | 0 | +14 | 0 | -10 | -45 | -4 | -18 |
| 125 | +40 | 0 | +16 | 0 | -12 | -52 | -5 | -20 |
| 130 | +40 | 0 | +16 | 0 | -12 | -52 | -5 | -20 |
| 140 | +40 | 0 | +16 | 0 | -12 | -52 | -5 | -20 |
| 150 | +40 | 0 | +16 | 0 | -12 | -52 | -5 | -20 |
| 160 | +40 | 0 | +16 | 0 | -12 | -52 | -5 | -20 |

Tolerancje wału i dopuszczalne prędkości

| Podstawowa wkładka łożyska | Średnica wału | | Prędkość maks. min ⁻¹ | Duże obciążenia – wysokie prędkości | | | | Prędkość maks. min ⁻¹ | Zastosowania standardowe | | | | Prędkość maks. min ⁻¹ | Lekkie obciążenia – niskie prędkości | | | |
|----------------------------|---------------|------------|----------------------------------|-------------------------------------|-------|-------------|-------|----------------------------------|--------------------------|-------|-------------|-------|----------------------------------|--------------------------------------|-------|-------------|-----|
| | mm | cale | | Tolerancja wału ISO h6 | | | | | Tolerancja wału ISO h7 | | | | | Tolerancja wału ISO h9 | | | |
| | | | | 0.001 mm | | 0.0001 cala | | | 0.001 mm | | 0.0001 cala | | | 0.001 mm | | 0.0001 cala | |
| górną | dolną | górną | dolną | górną | dolną | górną | dolną | górną | dolną | górną | dolną | górną | dolną | górną | dolną | | |
| 1017 | 12-17 | ½-1¼ | 7000 | 0 | -11 | 0 | -4 | 5000 | 0 | -18 | 0 | -7 | 2000 | 0 | -43 | 0 | -17 |
| 1020 | 20 | ¾ | 6700 | 0 | -13 | 0 | -5 | 4200 | 0 | -21 | 0 | -8 | 1700 | 0 | -52 | 0 | -20 |
| 1025 | 25 | 1¼-1 | 6250 | 0 | -13 | 0 | -5 | 3600 | 0 | -21 | 0 | -8 | 1350 | 0 | -52 | 0 | -20 |
| 1030 | 25-30 | 7/8-1¼ | 5300 | 0 | -13 | 0 | -5 | 3100 | 0 | -21 | 0 | -8 | 1100 | 0 | -52 | 0 | -20 |
| 1035 | 30-35 | 1½-17/16 | 4500 | 0 | -16 | 0 | -6 | 2700 | 0 | -25 | 0 | -10 | 900 | 0 | -62 | 0 | -24 |
| 1040 | 35-40 | 1¾-19/16 | 4000 | 0 | -16 | 0 | -6 | 2400 | 0 | -25 | 0 | -10 | 750 | 0 | -62 | 0 | -24 |
| 1045 | 40-45 | 1½-2¼ | 3700 | 0 | -16 | 0 | -6 | 2200 | 0 | -25 | 0 | -10 | 600 | 0 | -62 | 0 | -24 |
| 1050 | 45-50 | 1½-2 | 3400 | 0 | -16 | 0 | -6 | 1950 | 0 | -25 | 0 | -10 | 500 | 0 | -62 | 0 | -24 |
| 1055 | 50-55 | 17/8-23/16 | 3100 | 0 | -19 | 0 | -7 | 1800 | 0 | -30 | 0 | -12 | 450 | 0 | -74 | 0 | -29 |
| 1060 | 55-60 | 21/8-27/16 | 2800 | 0 | -19 | 0 | -7 | 1600 | 0 | -30 | 0 | -12 | 400 | 0 | -74 | 0 | -29 |
| 1065 | 65 | 2½ | 2600 | 0 | -19 | 0 | -7 | 1500 | 0 | -30 | 0 | -12 | 350 | 0 | -74 | 0 | -29 |
| 1070 | 60-70 | 17/8-21¼ | 2450 | 0 | -19 | 0 | -7 | 1400 | 0 | -30 | 0 | -12 | 300 | 0 | -74 | 0 | -29 |
| 1075 | 65-75 | 21¼-215/16 | 2300 | 0 | -19 | 0 | -7 | 1300 | 0 | -30 | 0 | -12 | 280 | 0 | -74 | 0 | -29 |
| 1080 | 75-80 | 215/16-3¼ | 2150 | 0 | -19 | 0 | -7 | 1200 | 0 | -30 | 0 | -12 | 250 | 0 | -74 | 0 | -29 |
| 1085 | 80-85 | 3¾-37/16 | 2000 | 0 | -22 | 0 | -9 | 1100 | 0 | -35 | 0 | -14 | 220 | 0 | -87 | 0 | -34 |
| 1090 | 85-90 | 37/16-3½ | 1900 | 0 | -22 | 0 | -9 | 1050 | 0 | -35 | 0 | -14 | 200 | 0 | -87 | 0 | -34 |
| 3095 | 95-100 | 3 15/16-4 | 1600 | 0 | -22 | 0 | -9 | 1000 | 0 | -35 | 0 | -14 | 180 | 0 | -87 | 0 | -34 |

W przypadku większości aplikacji standardowe mocowanie za pomocą zespołu wkrętów jest wystarczające. W przypadku korzystania z zespołów z pierścieniem mimośrodowym zaleca się stosowanie tolerancji wału dla dużych obciążeń. W przypadku układów mocowania za pomocą stożkowej tulei wciąganej można stosować tolerancje wału dla lekkich obciążeń. Jeśli warunki pracy są bardzo ciężkie (np. duże drgania lub uderzenia) lekkie pasowanie z wciśnięciem może być konieczne pomiędzy wałem a średnicą otworu łożyska.

Tolerancje otworu obudowy dla zespołów łożyskowych – seria FC, MFC, SLC oraz MSC

| Numer zespołu łożyskowego | Tolerancja obudowy | |
|---------------------------|---------------------|------------------|
| | Obudowa stacjonarna | Obudowa wirująca |
| SLC MSC | ISO H7 | ISO N7 |
| FC MFC | ISO H7 | ISO H7 |

Luz wewnętrzny promieniowy (RIC)

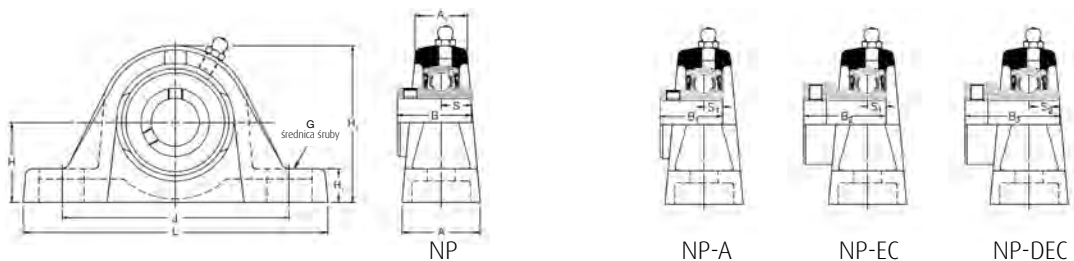
| Luz wewnętrzny promieniowy | Typ łożyska |
|----------------------------|--|
| C3 | Standardowe serie łożysk Self-Lube |
| C4 | Serie łożysk mocowane za pomocą tulei stożkowych |
| C5 | Serie łożysk HLT |





Self-Lube[®] – zespoły z obudowami żeliwnymi stojącymi

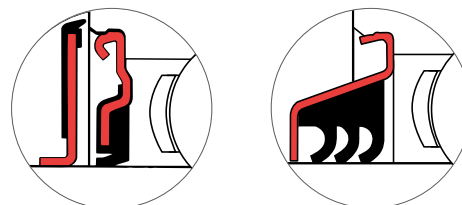
Seria NP



| Średnica wału | | Oznaczenie RHP | | | | Podstawowa wkładka łożyskowa | Grupa obudowy | Wymiary (mm) | | | | Rozstaw otworów pod śruby | |
|---------------|---------|----------------|-----------|-------------|--------------|------------------------------|---------------|--------------|-------|------|-------|---------------------------|------------------|
| mm | cale | | | | | | | L | H | H1 | H2 | J _{max} | J _{min} |
| 12 | | NP12 | | NP12EC | | 1017 | 1 | 126.5 | 30.20 | 14.2 | 57.2 | 100.5 | 85.5 |
| 15 | | NP15 | | NP15EC | | | | | | | | | |
| 16 | | NP16 | | NP16EC | | | | | | | | | |
| 17 | | NP17 | | NP17EC | | | | | | | | | |
| | 1/2 | NP1/2 | | NP1/2EC | | | | | | | | | |
| | 5/8 | NP5/8 | | NP5/8EC | | | | | | | | | |
| 20 | | NP20 | NP20A | NP20EC | NP20DEC | 1020 | 2 | 127.0 | 33.30 | 14.0 | 65.2 | 100.5 | 88.5 |
| | 3/4 | NP3/4 | NP3/4A | NP3/4EC | NP3/4DEC | | | | | | | | |
| 25 | | NP25 | NP25A | NP25EC | NP25DEC | 1025 | 3 | 139.0 | 36.50 | 16.0 | 71.0 | 112.7 | 96.8 |
| | 7/8 | NP7/8 | | NP7/8EC | NP7/8DEC | | | | | | | | |
| | 15/16 | NP15/16 | | NP15/16EC | NP15/16DEC | | | | | | | | |
| | 1 | NP1 | NP1A | NP1EC | NP1DEC | | | | | | | | |
| 30 | | NP30 | NP30A | NP30EC | NP30DEC | 1030 | 4 | 160.5 | 42.90 | 17.7 | 82.7 | 129.5 | 108.5 |
| | 1 1/8 | NP1 1/8 | | NP1 1/8EC | NP1 1/8DEC | | | | | | | | |
| | 1 3/16 | NP1 3/16 | | NP1 3/16EC | NP1 3/16DEC | | | | | | | | |
| | 1 1/4 | NP1 1/4R | NP1 1/4AR | NP1 1/4ECR | NP1 1/4DEC R | | | | | | | | |
| 35 | | NP35 | NP35A | NP35EC | NP35DEC | 1035 | 5 | 166.0 | 47.60 | 17.5 | 93.0 | 136.5 | 121.5 |
| | 1 1/4 | NP1 1/4 | NP1 1/4A | NP1 1/4EC | NP1 1/4DEC | | | | | | | | |
| | 1 3/8 | NP1 3/8 | | NP1 3/8EC | NP1 3/8DEC | | | | | | | | |
| | 1 7/16 | NP1 7/16 | | NP1 7/16EC | NP1 7/16DEC | | | | | | | | |
| 40 | | NP40 | NP40A | NP40EC | NP40DEC | 1040 | 6 | 180.5 | 49.20 | 18.5 | 98.5 | 148.0 | 127.0 |
| | 1 1/2 | NP1 1/2 | NP1 1/2A | NP1 1/2EC | NP1 1/2DEC | | | | | | | | |
| 45 | | NP45 | NP45A | NP45EC | NP45DEC | 1045 | 7 | 190.5 | 54.00 | 20.0 | 108.0 | 154.5 | 140.5 |
| | 1 5/8 | NP1 5/8 | | NP1 5/8EC | NP1 5/8DEC | | | | | | | | |
| | 1 11/16 | NP1 11/16 | | NP1 11/16EC | NP1 11/16DEC | | | | | | | | |
| | 1 3/4 | NP1 3/4 | NP1 3/4A | NP1 3/4EC | NP1 3/4DEC | | | | | | | | |
| 50 | | NP50 | NP50A | NP50EC | NP50DEC | 1050 | 8 | 206.0 | 57.20 | 21.0 | 115.2 | 163.0 | 154.0 |
| | 1 7/8 | NP1 7/8 | | NP1 7/8EC | NP1 7/8DEC | | | | | | | | |
| | 1 15/16 | NP1 15/16 | | NP1 15/16EC | NP1 15/16DEC | | | | | | | | |
| | 2 | NP2R | | | NP2DEC R | | | | | | | | |
| 55 | | NP55 | | | NP55DEC | 1055 | 9 | 219.5 | 63.50 | 24.8 | 129.5 | 178.5 | 162.5 |
| | 2 | NP2 | | | NP2DEC | | | | | | | | |
| | 2 1/8 | NP2 1/8 | | | NP2 1/8DEC | | | | | | | | |
| | 2 3/16 | NP2 3/16 | | | NP2 3/16DEC | | | | | | | | |
| 60 | | NP60 | | | NP60DEC | 1060 | 10 | 240.0 | 69.90 | 26.3 | 142.3 | 201.0 | 176.0 |
| | 2 1/4 | NP2 1/4 | | | NP2 1/4DEC | | | | | | | | |
| | 2 3/8 | NP2 3/8 | | | NP2 3/8DEC | | | | | | | | |
| | 2 7/16 | NP2 7/16 | | | NP2 7/16DEC | | | | | | | | |

Prosimy sprawdzić dostępność

W obudowy mogą być wmontowane wkładki łożyskowe z uszczelkami odrzutnikowymi, jak pokazano na str. 91 i 92. Numer referencyjny tego zespołu posiada przyrostek 'FS', np. NP40FS.

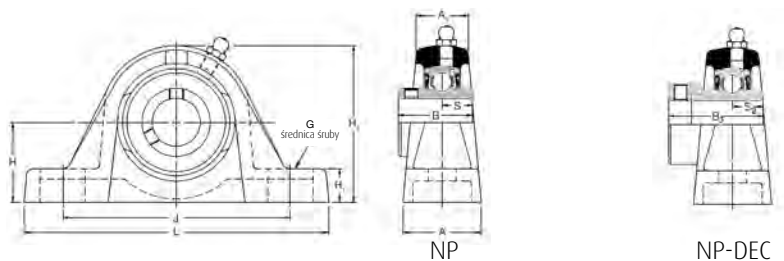


W obudowy mogą być wmontowane wkładki łożyskowe z uszczelkami trójwargowymi, jak pokazano na str. 88-90. Numer referencyjny tego zespołu posiada przedrostek 'T', np. TNP25.

| G | Wymiary (mm) | | | | | | | | | Nośność wg ISO | | Zalecana maks. prędkość min ⁻¹ | Masa (około) kg |
|----|--------------|------|-------|-------|-------|-------|-------|-------|-------|----------------------------------|----------------------------------|---|-----------------|
| | A | A1 | B | B1 | B2 | B3 | s | s1 | s2 | dynamiczna C _r niuton | statyczna C _{0r} niuton | | |
| 10 | 30.5 | 20.5 | 27.38 | - | 28.63 | - | 11.58 | 6.53 | - | 9550 | 4800 | 7000 | 0.5 |
| 10 | 32.5 | 22.5 | 31.00 | 25.80 | 31.03 | 43.73 | 12.73 | 7.53 | 17.13 | 12800 | 6650 | 6700 | 0.6 |
| 10 | 36.5 | 24.5 | 34.10 | 27.30 | 31.03 | 44.43 | 14.33 | 7.53 | 17.53 | 14000 | 7880 | 6250 | 0.7 |
| 12 | 41.5 | 27.5 | 38.10 | 31.20 | 35.73 | 48.43 | 15.93 | 9.03 | 18.33 | 19500 | 11300 | 5300 | 1.3 |
| 12 | 44.5 | 30.5 | 42.90 | 34.90 | 38.93 | 51.13 | 17.53 | 9.53 | 18.83 | 25700 | 15300 | 4500 | 1.7 |
| 12 | 51.0 | 34.5 | 49.20 | 41.20 | 43.73 | 56.33 | 19.03 | 11.03 | 21.43 | 32500 | 19900 | 4000 | 2.1 |
| 12 | 54.0 | 35.0 | 49.20 | 41.20 | 43.73 | 56.33 | 19.04 | 11.04 | 21.43 | 32500 | 20500 | 3700 | 2.8 |
| 16 | 55.0 | 36.0 | 51.60 | 43.50 | 43.73 | 62.73 | 19.04 | 11.04 | 24.64 | 35000 | 23200 | 3400 | 3.2 |
| 16 | 60.0 | 39.5 | 55.60 | - | - | 71.42 | 22.24 | - | 27.84 | 43500 | 29200 | 3100 | 4.0 |
| 16 | 70.0 | 46.0 | 65.10 | - | - | 77.84 | 25.44 | - | 31.04 | 48000 | 33000 | 2800 | 5.9 |

Self-Lube[®] – zespoły z obudowami żeliwnymi stojącymi

Seria NP (ciąg dalszy)



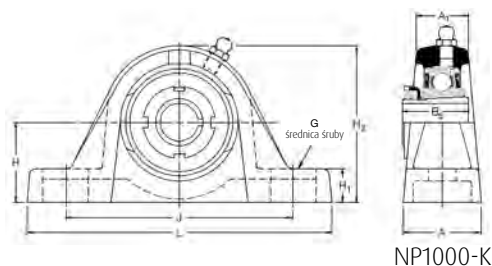
| Średnica wału | | Oznaczenie RHP | | Podstawowa wkładka łożyskowa | Grupa obudowy | Wymiary (mm) | | | | Rozstaw otworów pod śruby | |
|---------------|------|----------------|---------|------------------------------|---------------|--------------|--------|------|-------|---------------------------|------------------|
| mm | cale | | | | | L | H | H1 | H2 | J _{max} | J _{min} |
| 65 | | NP65 | NP65DEC | 1065 | 10/65 | 250.0 | 69.90 | 26.3 | 144.3 | 205.0 | 176.0 |
| | 2½ | NP2½ | NP2½DEC | | | | | | | | |
| 70 | | NP70 | NP70DEC | 1070 | 11 | 266.0 | 79.40 | 30.2 | 156.0 | 220.0 | 200.0 |
| | 2⅞ | NP2⅞ | | | | | | | | | |
| 75 | 2⅞ | NP2⅞ | | 1075 | 12 | 275.0 | 82.60 | 28.0 | 164.0 | 228.0 | 206.0 |
| | 2⅞ | NP2⅞ | | | | | | | | | |
| | 2⅞ | NP2⅞ | | | | | | | | | |
| | 2⅞ | NP2⅞ | | | | | | | | | |
| 80 | | NP80 | | 1080 | 13 | 291.0 | 88.90 | 30.0 | 174.0 | 241.0 | 214.0 |
| | 3 | NP3 | | | | | | | | | |
| 85 | 3 | NP3 | | 1085 | 14 | 310.0 | 95.20 | 32.0 | 187.0 | 262.0 | 232.0 |
| | 3 | NP3L | | | | | | | | | |
| | 3¼ | NP3¼ | | | | | | | | | |
| | 3⅝ | NP3⅝ | | | | | | | | | |
| 90 | | NP90 | | 1090 | 15 | 327.0 | 101.60 | 36.0 | 200.0 | 280.0 | 244.0 |
| | 3⅞ | NP3⅞ | | | | | | | | | |
| | 3⅞ | NP3⅞ | | | | | | | | | |

Prosimy sprawdzić dostępność

| Wymiary (mm) | | | | | | | | | | Nośność wg ISO | | Zalecana maks. prędkość min ⁻¹ | Masa (około) kg |
|--------------|------|------|-------|----|----|-------|-------|----|-------|--|--|--|--------------------|
| G | A | A1 | B | B1 | B2 | B3 | s | s1 | s2 | dynamiczna C _r niuton | statyczna C _{or} niuton | | |
| 16 | 70.0 | 45.0 | 65.10 | - | - | 85.74 | 25.44 | - | 34.14 | 57500 | 40000 | 2600 | 5.9 |
| 24 | 72.0 | 47.0 | 74.60 | - | - | 85.74 | 30.24 | - | 34.14 | 61000 | 45000 | 2450 | 8.0 |
| 24 | 74.0 | 48.0 | 77.80 | - | - | 92.14 | 33.34 | - | 37.34 | 66000 | 49500 | 2300 | 9.0 |
| 24 | 78.0 | 56.0 | 82.60 | - | - | - | 33.34 | - | - | 71500 | 54500 | 2150 | 9.7 |
| 24 | 83.0 | 56.0 | 85.70 | - | - | - | 34.15 | - | - | 83000 | 64000 | 2000 | 11.8 |
| 24 | 88.0 | 62.0 | 96.00 | - | - | - | 39.74 | - | - | 96000 | 71500 | 1900 | 14.7 |

Self-Lube[®] – zespoły z obudowami żeliwnymi stojącymi z tulejami wciąganyymi

Seria NP1000-K



NP1000-K

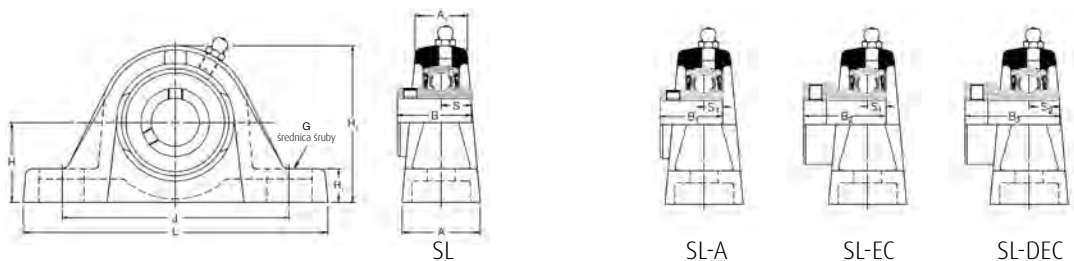
| Średnica wału mm | Oznaczenie RHP kompletnego zespołu | Tylko tuleja, nakrętka i podkładka zabezpieczająca | Zespół bez tulei, nakrętka i podkładki zabezpieczającej | Podsta- wowa wkładka łożyskowa | Grupa obudowy | Wymiary (mm) | | | | Rozstaw otworów pod śruby | |
|---------------------|--|---|--|---|------------------|--------------|-------|------|-------|------------------------------|------------------|
| | | | | | | L | H | H1 | H2 | J _{max} | J _{min} |
| 20 | NP1025-20K | H305 | NP1025K | 1025 | 3 | 139* | 36.50 | 16.0 | 71.0 | 112.7 | 96.8 |
| | NP1025-3/4K | HE305-3/4 | | | | | | | | | |
| 25 | NP1030-25K | H306 | NP1030K | 1030 | 4 | 160.5 | 42.90 | 17.7 | 82.7 | 129.5 | 108.5 |
| | NP1030-15/16K | HE306-15/16 | | | | | | | | | |
| | NP1030-1K | HE306-1 | | | | | | | | | |
| 30 | NP1035-30K | H307 | NP1035K | 1035 | 5 | 166.0 | 47.60 | 17.5 | 93.0 | 136.5 | 121.5 |
| | NP1035-11/8K | HE307-11/8 | | | | | | | | | |
| | NP1035-13/16K | HE307-13/16 | | | | | | | | | |
| 35 | NP1040-35K | H308 | NP1040K | 1040 | 6 | 180.5 | 49.20 | 18.5 | 98.5 | 148.0 | 127.0 |
| | NP1040-11/4K | HE308-11/4 | | | | | | | | | |
| | NP1040-13/8K | HE308-13/8 | | | | | | | | | |
| 40 | NP1045-40K | H309 | NP1045K | 1045 | 7 | 190.5 | 54.00 | 20.0 | 108.0 | 154.5 | 140.5 |
| | NP1045-17/16K | HE309-17/16 | | | | | | | | | |
| | NP1045-11/2K | HE309-11/2 | | | | | | | | | |
| 45 | NP1050-45K | H310 | NP1050K | 1050 | 8 | 206.0 | 57.20 | 21.0 | 115.2 | 163.0 | 154.0 |
| | NP1050-111/16K | HE310-111/16 | | | | | | | | | |
| | NP1050-13/4K | HE310-13/4 | | | | | | | | | |
| 50 | NP1055-50K | H311 | NP1055K | 1055 | 9 | 219.5 | 63.50 | 24.8 | 129.5 | 178.5 | 162.5 |
| | NP1055-115/16K | HE311-115/16 | | | | | | | | | |
| | NP1055-2K | HE311-2 | | | | | | | | | |

Prosimy sprawdzić dostępność

| G | Wymiary (mm) | | | | Nośność wg ISO | | Zalecana maks. prędkość min ⁻¹ | Masa (około) kg |
|----|--------------|------|------|------|----------------------------------|----------------------------------|---|-----------------|
| | A | A1 | B5 | d4 | dynamiczna C _r niuton | statyczna C _{or} niuton | | |
| 10 | 36.5 | 24.5 | 29.0 | 38.0 | 14000 | 7880 | 6250 | 0.7 |
| 12 | 41.5 | 27.5 | 31.0 | 45.0 | 19500 | 11300 | 5300 | 1.3 |
| 12 | 44.5 | 30.5 | 35.0 | 52.0 | 25700 | 15300 | 4500 | 1.7 |
| 12 | 51.0 | 34.5 | 36.0 | 58.0 | 32500 | 19900 | 4000 | 2.1 |
| 12 | 54.0 | 35.0 | 39.0 | 65.0 | 32500 | 20500 | 3700 | 2.8 |
| 16 | 55.0 | 36.0 | 42.0 | 70.0 | 35000 | 23200 | 3400 | 3.2 |
| 16 | 60.0 | 39.5 | 45.0 | 75.0 | 43500 | 29200 | 3100 | 4.0 |

Self-Lube[®] – zespoły z obudowami żeliwnymi stojącymi

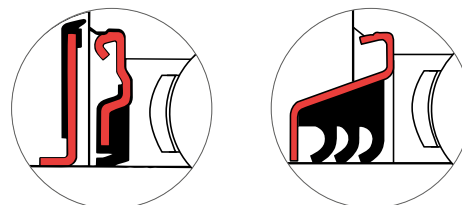
Seria SL



| Średnica wału | | Oznaczenie RHP | | | | Podstawa wkładka łożyskowa | Grupa obudowy | Wymiary (mm) | | | | Rozstaw otworów pod śruby | |
|---------------|---------|----------------|-----------|--------------|--------------|----------------------------|---------------|--------------|-------|------|-------|---------------------------|------------------|
| mm | cale | | | | | | | L | H | H1 | H2 | J _{max} | J _{min} |
| 12 | | SL12 | | SL12EC | | 1017 | 1 | 119.0 | 26.97 | 11.0 | 54.0 | 91.5 | 85.5 |
| 15 | | SL15 | | SL15EC | | | | | | | | | |
| 16 | | SL16 | | SL16EC | | | | | | | | | |
| 17 | | SL17 | | SL17EC | | | | | | | | | |
| | 1/2 | SL1/2 | | SL1/2EC | | | | | | | | | |
| | 5/8 | SL5/8 | | SL5/8EC | | | | | | | | | |
| 20 | | SL20 | SL20A | SL20EC | SL20DEC | 1020 | 2 | 126.5 | 31.75 | 12.5 | 63.7 | 100.5 | 88.5 |
| | 3/4 | SL3/4 | SL3/4A | SL3/4EC | SL3/4DEC | | | | | | | | |
| 25 | | SL25 | SL25A | SL25EC | SL25DEC | 1025 | 3 | 139.0 | 33.32 | 12.8 | 67.8 | 110.2 | 98.2 |
| | 7/8 | SL7/8 | | SL7/8EC | SL7/8DEC | | | | | | | | |
| | 15/16 | SL15/16 | | SL15/16EC | SL15/16DEC | | | | | | | | |
| | 1 | SL1 | SL1A | SL1EC | SL1DEC | | | | | | | | |
| 30 | | SL30 | SL30A | SL30EC | SL30DEC | 1030 | 4 | 161.5 | 39.67 | 14.5 | 79.5 | 130.0 | 109.0 |
| | 1 1/8 | SL1 1/8 | | SL1 1/8EC | SL1 1/8DEC | | | | | | | | |
| | 1 3/16 | SL1 3/16 | | SL1 3/16EC | SL1 3/16DEC | | | | | | | | |
| | 1 1/4 | SL1 1/4R | SL1 1/4AR | SL1 1/4ECR | SL1 1/4DEC R | | | | | | | | |
| 35 | | SL35 | SL35A | SL35EC | SL35DEC | 1035 | 5 | 166.0 | 46.02 | 16.0 | 91.5 | 136.5 | 121.5 |
| | 1 1/4 | SL1 1/4 | SL1 1/4A | SL1 1/4EC | SL1 1/4DEC | | | | | | | | |
| | 1 3/8 | SL1 3/8 | | SL1 3/8EC | SL1 3/8DEC | | | | | | | | |
| | 1 7/16 | SL1 7/16 | | SL1 7/16EC | SL1 7/16DEC | | | | | | | | |
| 40 | | SL40 | SL40A | SL40EC | SL40DEC | 1040 | 6 | 180.5 | 49.20 | 18.5 | 98.5 | 148.0 | 127.0 |
| | 1 1/2 | SL1 1/2 | SL1 1/2A | SL1 1/2EC | SL1 1/2DEC | | | | | | | | |
| 45 | | SL45 | SL45A | SL45EC | SL45DEC | 1045 | 7 | 197.5 | 52.37 | 18.4 | 106.4 | 161.5 | 141.5 |
| | 1 5/8 | SL1 5/8 | | SL1 5/8EC | SL1 5/8DEC | | | | | | | | |
| | 1 1/16 | SL1 1/16 | | SL1 1/16EC | SL1 1/16DEC | | | | | | | | |
| | 1 3/4 | SL1 3/4 | SL1 3/4A | SL1 3/4EC | SL1 3/4DEC | | | | | | | | |
| 50 | | SL50 | SL50A | SL50EC | SL50DEC | 1050 | 8 | 214.0 | 55.55 | 19.3 | 114.0 | 177.0 | 151.0 |
| | 1 7/8 | SL1 7/8 | | SL1 7/8EC | SL1 7/8DEC | | | | | | | | |
| | 1 5/16 | SL1 5/16 | | SL1 5/16EC | SL1 5/16DEC | | | | | | | | |
| | 2 | SL2R | | SL2DEC R | | | | | | | | | |
| 55 | | SL55 | | SL55DEC | | 1055 | 9 | 219.5 | 61.90 | 23.2 | 128.0 | 178.5 | 162.5 |
| | 2 | SL2 | | SL2DEC | | | | | | | | | |
| | 2 1/8 | SL2 1/8 | | SL2 1/8DEC | | | | | | | | | |
| | 2 3/16 | SL2 3/16 | | SL2 3/16DEC | | | | | | | | | |
| 60 | | SL60 | | SL60DEC | | 1060 | 10 | 240.0 | 68.25 | 24.6 | 140.6 | 201.0 | 176.0 |
| | 2 1/4 | SL2 1/4 | | SL2 1/4DEC | | | | | | | | | |
| | 2 3/8 | SL2 3/8 | | SL2 3/8DEC | | | | | | | | | |
| | 2 7/16 | SL2 7/16 | | SL2 7/16DEC | | | | | | | | | |
| 65 | | SL65R | | | | 1065 | 10/65 | 250.0 | 68.25 | 24.6 | 142.6 | 205.0 | 176.0 |
| | 2 1/2 | SL2 1/2 | | SL2 1/2DEC | | | | | | | | | |
| 65 | | SL65 | | SL65DEC | | 1075 | 11 | 286.0 | 82.55 | 28.0 | 165.5 | 241.5 | 200.5 |
| 70 | | SL70 | | SL70DEC | | | | | | | | | |
| 75 | | SL75 | | SL75DEC | | | | | | | | | |
| | 2 11/16 | SL2 11/16 | | SL2 11/16DEC | | | | | | | | | |
| | 2 3/4 | SL2 3/4 | | SL2 3/4DEC | | | | | | | | | |
| | 2 7/8 | SL2 7/8 | | SL2 7/8DEC | | | | | | | | | |
| | 2 15/16 | SL2 15/16 | | SL2 15/16DEC | | | | | | | | | |

Prosimy sprawdzić dostępność

W obudowy mogą być wmontowane wkładki łożyskowe z uszczelkami odrzutnikowymi, jak pokazano na str. 91 i 92. Numer referencyjny tego zespołu posiada przyrostek 'FS', np. SL35FS.

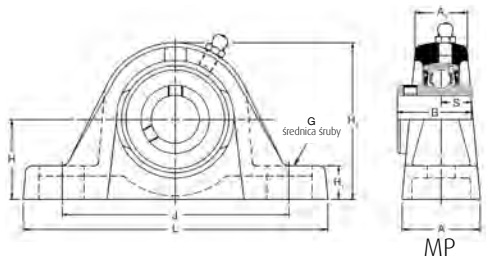


W obudowy mogą być wmontowane wkładki łożyskowe z uszczelkami trójwargowymi, jak pokazano na str. 88-90. Numer referencyjny tego zespołu posiada przedrostek 'T', np. TSL35.

| G | Wymiary (mm) | | | | | | | | | Nośność wg ISO | | Zalecana maks. prędkość min ⁻¹ | Masa (około) kg |
|----|--------------|------|-------|-------|-------|-------|-------|-------|-------|----------------------------------|----------------------------------|---|-----------------|
| | A | A1 | B | B1 | B2 | B3 | s | s1 | s2 | dynamiczna C _r niuton | statyczna C _{0r} niuton | | |
| 10 | 30.5 | 20.5 | 27.38 | - | 28.63 | - | 11.58 | 6.53 | - | 9550 | 4800 | 7000 | 0.5 |
| 10 | 32.0 | 22.5 | 31.00 | 25.80 | 31.03 | 43.73 | 12.73 | 7.53 | 17.13 | 12800 | 6650 | 6700 | 0.6 |
| 10 | 36.0 | 24.5 | 34.10 | 27.30 | 31.03 | 44.43 | 14.33 | 7.53 | 17.53 | 14000 | 7880 | 6250 | 0.7 |
| 12 | 41.0 | 27.5 | 38.10 | 31.20 | 35.73 | 48.43 | 15.93 | 9.03 | 18.33 | 19500 | 11300 | 5300 | 1.3 |
| 12 | 44.5 | 30.5 | 42.90 | 34.90 | 38.93 | 51.13 | 17.53 | 9.53 | 18.83 | 25700 | 15300 | 4500 | 1.7 |
| 12 | 51.0 | 34.5 | 49.20 | 41.20 | 43.73 | 56.33 | 19.03 | 11.03 | 21.43 | 32500 | 19900 | 4000 | 2.1 |
| 12 | 54.0 | 35.0 | 49.20 | 41.20 | 43.73 | 56.33 | 19.04 | 11.04 | 21.43 | 32500 | 20500 | 3700 | 3.0 |
| 12 | 55.0 | 36.0 | 51.60 | 43.50 | 43.73 | 62.73 | 19.04 | 11.04 | 24.64 | 35000 | 23200 | 3400 | 3.4 |
| 16 | 60.0 | 39.5 | 55.60 | - | - | 71.42 | 22.24 | - | 27.84 | 43500 | 29200 | 3100 | 4.0 |
| 16 | 70.0 | 46.0 | 65.10 | - | - | 77.84 | 25.44 | - | 31.04 | 48000 | 33000 | 2800 | 6.1 |
| 16 | 70.0 | 45.0 | 65.10 | - | - | 85.74 | 25.44 | - | 34.14 | 57500 | 40000 | 2600 | 6.2 |
| 20 | 74.0 | 47.5 | 77.80 | - | - | 92.14 | 33.34 | - | 37.34 | 66000 | 49500 | 2300 | 11.6 |

Self-Lube[®] – zespoły z obudowami żeliwnymi stojącymi

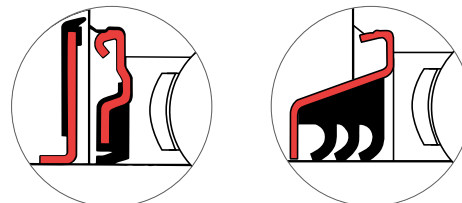
Seria MP



| Średnica wału | | Oznaczenie RHP | Podstawowa wkładka łożyskowa | Grupa obudowy | Wymiary (mm) | | | | Rozstaw otworów pod śruby | |
|---------------|---------------------------------|---------------------------------------|------------------------------|---------------|--------------|--------|------|-------|---------------------------|------------------|
| mm | cale | | | | L | H | H1 | H2 | J _{max} | J _{min} |
| 25 | | MP25 | 1030 | 1 | 160.5 | 44.45 | 19.3 | 84.3 | 127.5 | 108.5 |
| | 1 | MP1 | | | | | | | | |
| 30 | | MP30 | 1035 | 2 | 166.0 | 47.60 | 17.5 | 93.0 | 136.5 | 121.5 |
| | 1 ³ / ₁₆ | MP1³/₁₆ | | | | | | | | |
| | 1 ¹ / ₄ | MP1¹/₄ | | | | | | | | |
| 35 | | MP35 | 1040 | 3 | 203.2 | 53.98 | 23.0 | 107.5 | 160.0 | 135.0 |
| | 1 ³ / ₈ | MP1³/₈ | | | | | | | | |
| | 1 ⁷ / ₁₆ | MP1⁷/₁₆ | | | | | | | | |
| 40 | | MP40 | 1045 | 4 | 222.2 | 58.72 | 22.5 | 116.7 | 172.5 | 145.0 |
| | 1 ¹ / ₂ | MP1¹/₂ | | | | | | | | |
| 45 | | MP45 | 1050 | 5 | 222.2 | 58.72 | 22.5 | 116.7 | 172.5 | 145.0 |
| | 1 ¹¹ / ₁₆ | MP1¹¹/₁₆ | | | | | | | | |
| | 1 ³ / ₄ | MP1³/₄ | | | | | | | | |
| 50 | | MP50 | 1055 | 6 | 219.5 | 63.50 | 24.8 | 129.5 | 178.5 | 162.5 |
| | 1 ⁷ / ₈ | MP1⁷/₈ | | | | | | | | |
| | 1 ¹⁵ / ₁₆ | MP1¹⁵/₁₆ | | | | | | | | |
| | 2 | MP2 | | | | | | | | |
| 55 | | MP55 | 1060 | 7 | 249.5 | 69.85 | 26.2 | 142.2 | 201.0 | 179.0 |
| | 2 ³ / ₁₆ | MP2³/₁₆ | | | | | | | | |
| | 2 ¹ / ₄ | MP2¹/₄ | | | | | | | | |
| 60 | | MP60 | 1070 | 8 | 266.0 | 76.20 | 27.0 | 153.0 | 224.5 | 189.5 |
| 65 | | MP65R | | | | | | | | |
| | 2 ⁷ / ₁₆ | MP2⁷/₁₆ | | | | | | | | |
| | 2 ¹ / ₂ | MP2¹/₂ | | | | | | | | |
| 65 | | MP65 | 1075 | 9 | 330.2 | 88.90 | 28.6 | 177.8 | 255.6 | 206.0 |
| 70 | | MP70 | | | | | | | | |
| | 2 ¹¹ / ₁₆ | MP2¹¹/₁₆ | | | | | | | | |
| | 2 ³ / ₄ | MP2³/₄ | | | | | | | | |
| 75 | | MP75 | 1080 | 10 | 330.2 | 88.90 | 31.8 | 184.2 | 255.6 | 228.0 |
| | 2 ¹⁵ / ₁₆ | MP2¹⁵/₁₆ | | | | | | | | |
| | 3 | MP3 | | | | | | | | |
| 80 | | MP80 | 1085 | 11 | 381.0 | 101.60 | 31.8 | 203.2 | 317.5 | 260.0 |
| | 3 ³ / ₁₆ | MP3³/₁₆ | | | | | | | | |
| | 3 ¹ / ₄ | MP3¹/₄ | | | | | | | | |
| 85 | | MP85 | 1090 | 12 | 381.0 | 101.60 | 33.3 | 209.6 | 319.1 | 246.1 |
| 90 | | MP90 | | | | | | | | |
| | 3 ⁷ / ₁₆ | MP3⁷/₁₆ | | | | | | | | |
| | 3 ¹ / ₂ | MP3¹/₂ | | | | | | | | |
| 95 | | MP95 | 3095 | 13 | 431.8 | 127.00 | 33.3 | 254.0 | 371.5 | 301.6 |
| 100 | | MP100 | | | | | | | | |
| | 3 ¹⁵ / ₁₆ | MP3¹⁵/₁₆ | | | | | | | | |
| | 4 | MP4 | | | | | | | | |

Prosimy sprawdzić dostępność

W obudowy mogą być wmontowane wkładki łożyskowe z uszczelkami odrzutnikowymi, jak pokazano na str. 91 i 92. Numer referencyjny tego zespołu posiada przyrostek 'FS', np. MP40FS.

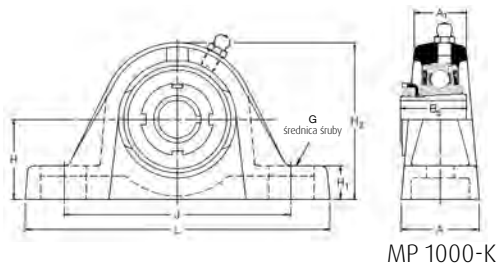


W obudowy mogą być wmontowane wkładki łożyskowe z uszczelkami trójwargowymi, jak pokazano na str. 88-90. Numer referencyjny tego zespołu posiada przedrostek „T”, np. TMP40.

| G | Wymiary (mm) | | | | Nośność wg ISO | | Zalecana maks. prędkość min ⁻¹ | Masa (około) kg |
|----|--------------|-------|--------|-------|----------------------------------|----------------------------------|---|-----------------|
| | A | A1 | B | s | dynamiczna C _r niuton | statyczna C _{0r} niuton | | |
| 12 | 41.5 | 27.5 | 38.10 | 15.93 | 19500 | 11300 | 5300 | 1.3 |
| 12 | 44.5 | 30.5 | 42.90 | 17.53 | 25700 | 15300 | 4500 | 1.7 |
| 12 | 57.0 | 40.5 | 49.20 | 19.03 | 32500 | 19900 | 4000 | 2.7 |
| 16 | 60.0 | 39.5 | 49.20 | 19.04 | 32500 | 20500 | 3700 | 3.2 |
| 16 | 60.0 | 39.5 | 51.60 | 19.04 | 35000 | 23200 | 3400 | 3.2 |
| 16 | 60.0 | 39.5 | 55.60 | 22.24 | 43500 | 29200 | 3100 | 4.0 |
| 20 | 69.5 | 46.00 | 65.10 | 25.44 | 48000 | 33000 | 2800 | 7.1 |
| 20 | 72.0 | 47.0 | 74.60 | 30.24 | 61000 | 45000 | 2450 | 9.3 |
| 24 | 88.9 | 66.7 | 77.80 | 33.34 | 66000 | 49500 | 2300 | 13.4 |
| 24 | 88.9 | 66.7 | 82.60 | 33.34 | 71500 | 54500 | 2150 | 14.3 |
| 24 | 101.6 | 68.3 | 85.70 | 34.15 | 83000 | 64000 | 2000 | 18.2 |
| 24 | 111.1 | 79.4 | 96.00 | 39.74 | 96000 | 71500 | 1900 | 23.4 |
| 24 | 120.6 | 98.4 | 117.48 | 49.31 | 157000 | 122000 | 1600 | 34.4 |

Self-Lube[®] – zespoły z obudowami żeliwnymi stojącymi z tulejami wciąganyymi

Seria MP1000-K



MP 1000-K

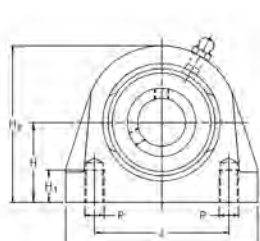
| Średnica wału mm | Oznaczenie RHP kompletnego zespołu | Tylko tuleja, nakrętka i podkładka zabezpieczająca | Zespół bez tulei, nakrętki i podkładki zabezpieczającej | Podsta- wowa wkładka łożyskowa | Grupa obudowy | Wymiary (mm) | | | | Rozstaw otworów pod śruby | |
|---------------------|--|---|--|---|------------------|--------------|-------|------|-------|------------------------------|------------------|
| | | | | | | L | H | H1 | H2 | J _{max} | J _{min} |
| 25 | MP1030-25K | H306 | MP1030K | 1030 | 1 | 160.5 | 44.45 | 19.3 | 87.4 | 127.5 | 108.5 |
| 1 ^{5/16} | MP1030-1 ^{5/16} K | HE306-1 ^{5/16} | | | | | | | | | |
| 1 | MP1030-1K | HE306-1 | | | | | | | | | |
| 30 | MP1035-30K | H307 | MP1035K | 1035 | 2 | 166.0 | 47.60 | 17.5 | 93.0 | 136.5 | 121.5 |
| 1 ^{1/8} | MP1035-1 ^{1/8} K | HE307-1 ^{1/8} | | | | | | | | | |
| 1 ^{3/16} | MP1035-1 ^{3/16} K | HE307-1 ^{3/16} | | | | | | | | | |
| 35 | MP1040-35K | H308 | MP1040K | 1040 | 3 | 203.2 | 53.98 | 23.0 | 106.4 | 160.0 | 135.0 |
| 1 ^{1/4} | MP1040-1 ^{1/4} K | HE308-1 ^{1/4} | | | | | | | | | |
| 1 ^{3/8} | MP1040-1 ^{3/8} K | HE308-1 ^{3/8} | | | | | | | | | |
| 40 | MP1045-40K | H309 | MP1045K | 1045 | 4 | 222.2 | 58.72 | 22.5 | 116.7 | 172.5 | 145.0 |
| 1 ^{7/16} | MP1045-1 ^{7/16} K | HE309-1 ^{7/16} | | | | | | | | | |
| 1 ^{1/2} | MP1045-1 ^{1/2} K | HE309-1 ^{1/2} | | | | | | | | | |
| 45 | MP1050-45K | H310 | MP1050K | 1050 | 5 | 222.2 | 58.72 | 22.5 | 116.7 | 172.5 | 145.0 |
| 1 ^{11/16} | MP1050-1 ^{11/16} K | HE310-1 ^{11/16} | | | | | | | | | |
| 1 ^{3/4} | MP1050-1 ^{3/4} K | HE310-2 | | | | | | | | | |
| 50 | MP1055-50K | H311 | MP1055K | 1055 | 6 | 219.5 | 63.50 | 24.8 | 129.5 | 178.5 | 162.5 |
| 1 ^{5/16} | MP1055-1 ^{5/16} K | HE311-1 ^{5/16} | | | | | | | | | |
| 2 | MP1055-2K | HE311-2 | | | | | | | | | |

Prosimy sprawdzić dostępność

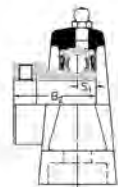
| Wymiary (mm) | | | | | Nośność wg ISO | | Zalecana maks. prędkość min ⁻¹ | Masa (około) kg |
|--------------|------|------|-------|-------|----------------------------------|----------------------------------|---|-----------------|
| G | A | A1 | B5 | d4 | dynamiczna C _r niuton | statyczna C _{0r} niuton | | |
| 12 | 41.5 | 27.5 | 31.00 | 45.00 | 19500 | 11300 | 5300 | 1.3 |
| 12 | 44.5 | 30.5 | 35.00 | 52.00 | 25700 | 15300 | 4500 | 1.7 |
| 12 | 57.0 | 40.5 | 36.00 | 58.00 | 32500 | 19900 | 4000 | 2.7 |
| 16 | 60.0 | 39.5 | 39.00 | 65.00 | 32500 | 20500 | 3700 | 3.2 |
| 16 | 60.0 | 39.5 | 42.00 | 70.00 | 35000 | 23200 | 3400 | 3.2 |
| 16 | 60.0 | 39.5 | 45.00 | 75.00 | 43500 | 29200 | 3100 | 4.0 |

Self-Lube[®] – zespoły z wąskimi obudowami żeliwnymi stojącymi

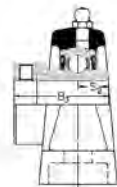
Seria SNP (gwint metryczny), Seria CNP (gwint UNC)**



SNP-A
CNP-A



SNP-EC
CNP-EC



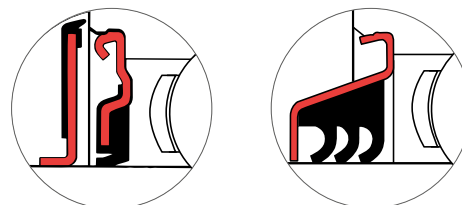
SNP-DEC
CNP-DEC

| Średnica wału | | Oznaczenie RHP kompletnego zespołu | | | | Podstawowa wkładka łożyskowa | Grupa obudowy | Wymiary (mm) | | | | Rozstaw otworów pod śruby | |
|---------------|------|------------------------------------|------------|--------------|---------------|------------------------------|---------------|--------------|-------|------|-------|---------------------------|----------|
| mm | cale | | | | | | | L | H | H1 | H2 | J | SNP |
| 20 | | SNP20 | SNP20A | SNP20EC | SNP20DEC | 1020 | 2 | 65.0 | 33.30 | 13.5 | 65.8 | 50.8 | M8x1.25 |
| | | SNP3/4 | SNP3/4A | SNP3/4EC | SNP3/4DEC | | | | | | | | |
| 25 | | SNP25 | SNP25A | SNP25EC | SNP25DEC | 1025 | 3 | 70.0 | 36.50 | 13.5 | 71.5 | 50.8 | M10x1.50 |
| | | SNP7/8 | | SNP7/8EC | SNP7/8DEC | | | | | | | | |
| | | SNP15/16 | | SNP15/16EC | SNP15/16DEC | | | | | | | | |
| | | SNP1 | SNP1A | SNP1EC | SNP1DEC | | | | | | | | |
| 30 | | SNP30 | SNP30A | SNP30EC | SNP30DEC | 1030 | 4 | 96.0 | 42.90 | 16.5 | 83.9 | 76.2 | M10x1.50 |
| | | SNP1 1/8 | | SNP1 1/8EC | SNP1 1/8DEC | | | | | | | | |
| | | SNP1 3/16 | | SNP1 3/16EC | SNP1 3/16DEC | | | | | | | | |
| | | SNP1 1/4R | SNP1 1/4AR | SNP1 1/4ECR | SNP1 1/4DEC | | | | | | | | |
| 35 | | SNP35 | SNP35A | SNP35EC | SNP35DEC | 1035 | 5 | 110.0 | 47.60 | 19.5 | 95.6 | 82.6 | M10x1.50 |
| | | SNP1 1/4 | SNP1 1/4A | SNP1 1/4EC | SNP1 1/4DEC | | | | | | | | |
| | | SNP1 3/8 | | SNP1 3/8EC | SNP1 3/8DEC | | | | | | | | |
| | | SNP1 7/16 | | SNP1 7/16EC | SNP1 7/16DEC | | | | | | | | |
| 40 | | SNP40 | SNP40A | SNP40EC | SNP40DEC | 1040 | 6 | 118.0 | 49.20 | 19.5 | 101.7 | 88.9 | M12x1.75 |
| | | SNP1 1/2 | SNP1 1/2A | SNP1 1/2EC | SNP1 1/2DEC | | | | | | | | |
| 45 | | SNP45 | SNP45A | SNP45EC | SNP45DEC | 1045 | 7 | 127.0 | 54.00 | 19.5 | 110.0 | 95.3 | M12x1.75 |
| | | SNP1 5/8 | | SNP1 5/8EC | SNP1 5/8DEC | | | | | | | | |
| | | SNP1 11/16 | | SNP1 11/16EC | SNP1 11/16DEC | | | | | | | | |
| | | SNP1 3/4 | SNP1 3/4A | SNP1 3/4EC | SNP1 3/4DEC | | | | | | | | |
| 50 | | SNP50 | SNP50A | SNP50EC | SNP50DEC | 1050 | 8 | 135.0 | 57.20 | 23.5 | 115.0 | 101.6 | M16x2.00 |
| | | SNP1 7/8 | | SNP1 7/8EC | SNP1 7/8DEC | | | | | | | | |
| | | SNP1 15/16 | | SNP1 15/16EC | SNP1 15/16DEC | | | | | | | | |
| | | SNP2R | | | | | | | | | | | |
| 55 | | SNP55 | | | SNP55DEC | 1055 | 9 | 154.0 | 63.50 | 26.5 | 130.0 | 118.0 | M16x2.00 |
| | | SNP2 | | | SNP2DEC | | | | | | | | |
| | | SNP2 1/8 | | | SNP2 1/8DEC | | | | | | | | |
| | | SNP2 3/16 | | | SNP2 3/16DEC | | | | | | | | |
| 60 | | SNP60 | | | SNP60DEC | 1060 | 10 | 154.0 | 69.90 | 26.5 | 141.5 | 118.0 | M16x2.00 |
| | | SNP2 1/4 | | | SNP2 1/4DEC | | | | | | | | |
| | | SNP2 3/8 | | | SNP2 3/8DEC | | | | | | | | |
| | | SNP2 7/16 | | | SNP2 7/16DEC | | | | | | | | |

Prosimy sprawdzić dostępność

**Zespoły te są identyczne z serią SNP z wyjątkiem szczegółów dotyczących gwintów

W obudowy mogą być wmontowane wkładki łożyskowe z uszczelkami odrzutnikowymi, jak pokazano na str. 91 i 92. Numer referencyjny tego zespołu posiada przyrostek „FS”, np. SNP25FS.

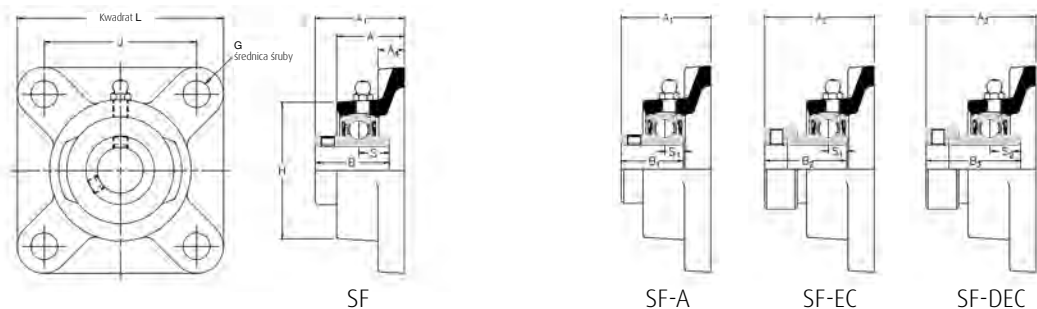


W obudowy mogą być wmontowane wkładki łożyskowe z uszczelkami trójwargowymi, jak pokazano na str. 88–90. Numer referencyjny tego zespołu posiada przedrostek „T”, np. TSNP25.

| P CNP | Wymiary (mm) | | | | | | | | | Nośność wg ISO | | Zalecana maks. prędkość min ⁻¹ | Masa (około) kg |
|------------|--------------|------|-------|-------|-------|-------|-------|-------|-------|----------------------------------|----------------------------------|---|-----------------|
| | A | A1 | B | B1 | B2 | B3 | s | s1 | s2 | dynamiczna C _r niuton | statyczna C _{0r} niuton | | |
| 3/8-16UNC | 32.0 | 22.5 | 31.00 | 25.80 | 31.03 | 43.73 | 12.73 | 7.53 | 17.13 | 12800 | 6650 | 6700 | 0.9 |
| 3/8-16UNC | 36.0 | 25.0 | 34.10 | 27.30 | 31.03 | 44.43 | 14.33 | 7.53 | 17.53 | 14000 | 7880 | 6250 | 1.2 |
| 7/16-14UNC | 40.0 | 26.5 | 38.10 | 31.20 | 35.73 | 48.43 | 15.93 | 9.03 | 18.33 | 19500 | 11300 | 5300 | 1.8 |
| 1/2-13UNC | 45.0 | 30.0 | 42.90 | 34.90 | 38.93 | 51.13 | 17.53 | 9.53 | 18.83 | 25700 | 15300 | 4500 | 2.4 |
| 1/2-13UNC | 47.0 | 32.0 | 49.20 | 41.20 | 43.73 | 56.33 | 19.03 | 11.03 | 21.43 | 32500 | 19900 | 4000 | 2.8 |
| 1/2-13UNC | 48.0 | 33.0 | 49.20 | 41.20 | 43.73 | 56.33 | 19.04 | 11.04 | 21.43 | 32500 | 20500 | 3700 | 3.5 |
| 5/8-11UNC | 54.0 | 34.0 | 51.60 | 43.50 | 43.73 | 62.73 | 19.04 | 11.04 | 24.64 | 35000 | 23200 | 3400 | 3.3 |
| 5/8-11UNC | 60.0 | 41.5 | 55.60 | - | - | 71.42 | 22.24 | - | 27.84 | 43500 | 29200 | 3100 | 4.0 |
| 5/8-11UNC | 60.0 | 41.5 | 65.10 | - | - | 77.84 | 25.44 | - | 31.04 | 48000 | 33000 | 2800 | 4.6 |

Self-Lube[®] – zespoły z obudowami żeliwnymi kołnierzowymi

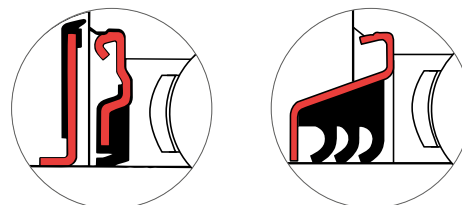
Seria SF



| Średnica wału | | Oznaczenie RHP | | | | Podstawowa wkładka łożyskowa | Grupa obudowy | Wymiary (mm) | | | | | |
|---------------|---------|----------------|-----------|-------------|--------------|------------------------------|---------------|--------------|-------|--------|----|------|-------|
| mm | cale | | | | | | | L | H | J | G | A | A1 |
| 12 | | SF12 | | SF12EC | | 1017 | 1 | 76.2 | 52.5 | 54.00 | 10 | 24.6 | 32.87 |
| 15 | | SF15 | | SF15EC | | | | | | | | | |
| 16 | | SF16 | | SF16EC | | | | | | | | | |
| 17 | | SF17 | | SF17EC | | | | | | | | | |
| | 1/2 | SF1/2 | | SF1/2EC | | | | | | | | | |
| | 5/8 | SF5/8 | | SF5/8EC | | | | | | | | | |
| 20 | | SF20 | SF20A | SF20EC | SF20DEC | 1020 | 2 | 85.7 | 60.3 | 63.50 | 10 | 27.8 | 37.26 |
| | 3/4 | SF3/4 | SF3/4A | SF3/4EC | SF3/4DEC | | | | | | | | |
| 25 | | SF25 | SF25A | SF25EC | SF25DEC | 1025 | 3 | 95.3 | 68.0 | 70.00 | 10 | 28.6 | 38.84 |
| | 7/8 | SF7/8 | | SF7/8EC | SF7/8DEC | | | | | | | | |
| | 15/16 | SF15/16 | | SF15/16EC | SF15/16DEC | | | | | | | | |
| | 1 | SF1 | SF1A | SF30EC | SF1DEC | | | | | | | | |
| 30 | | SF30 | SF30A | SF1EC | SF30DEC | 1030 | 4 | 108.0 | 82.6 | 82.50 | 10 | 29.8 | 42.21 |
| | 1 1/8 | SF1 1/8 | | SF1 1/8EC | SF1 1/8DEC | | | | | | | | |
| | 1 3/16 | SF1 3/16 | | SF1 3/16EC | SF1 3/16DEC | | | | | | | | |
| | 1 1/4 | SF1 1/4R | SF1 1/4AR | SF1 1/4ECR | SF1 1/4DECR | | | | | | | | |
| 35 | | SF35 | SF35A | SF35EC | SF35DEC | 1035 | 5 | 117.5 | 95.3 | 92.00 | 12 | 31.4 | 46.41 |
| | 1 1/4 | SF1 1/4 | SF1 1/4A | SF1 1/4EC | SF1 1/4DEC | | | | | | | | |
| | 1 3/8 | SF1 3/8 | | SF1 3/8EC | SF1 3/8DEC | | | | | | | | |
| | 1 7/16 | SF1 7/16 | | SF1 7/16EC | SF1 7/16DEC | | | | | | | | |
| 40 | | SF40 | SF40A | SF40EC | SF40DEC | 1040 | 6 | 130.2 | 101.6 | 101.50 | 12 | 34.9 | 54.18 |
| | 1 1/2 | SF1 1/2 | SF1 1/2A | SF1 1/2EC | SF1 1/2DEC | | | | | | | | |
| 45 | | SF45 | SF45A | SF45EC | SF45DEC | 1045 | 7 | 136.5 | 111.1 | 105.00 | 16 | 35.3 | 54.18 |
| | 1 5/8 | SF1 5/8 | | SF1 5/8EC | SF1 5/8DEC | | | | | | | | |
| | 1 11/16 | SF1 11/16 | | SF1 11/16EC | SF1 11/16DEC | | | | | | | | |
| | 1 3/4 | SF1 3/4 | SF1 3/4A | SF1 3/4EC | SF1 3/4DEC | | | | | | | | |
| 50 | | SF50 | SF50A | SF50EC | SF50DEC | 1050 | 8 | 142.9 | 115.9 | 111.00 | 16 | 39.7 | 60.53 |
| | 1 7/8 | SF1 7/8 | | SF1 7/8EC | SF1 7/8DEC | | | | | | | | |
| | 1 15/16 | SF1 15/16 | | SF1 15/16EC | SF1 15/16DEC | | | | | | | | |
| | 2 | SF2R | | | | | | | | | | | |
| 55 | | SF55 | | | SF55DEC | 1055 | 9 | 161.9 | 127.0 | 130.00 | 16 | 43.7 | 64.31 |
| | 2 | SF2 | | | SF2DEC | | | | | | | | |
| | 2 1/8 | SF2 1/8 | | | SF2 1/8DEC | | | | | | | | |
| | 2 3/16 | SF2 3/16 | | | SF2 3/16DEC | | | | | | | | |
| 60 | | SF60 | | | SF60DEC | 1060 | 10 | 174.5 | 138.1 | 143.00 | 16 | 47.6 | 73.69 |
| | 2 1/4 | SF2 1/4 | | | SF2 1/4DEC | | | | | | | | |
| | 2 3/8 | SF2 3/8 | | | SF2 3/8DEC | | | | | | | | |
| | 2 7/16 | SF2 7/16 | | | SF2 7/16DEC | | | | | | | | |
| 65 | | SF65R | | | | 1065 | 10/65 | 174.5 | 149.5 | 143.00 | 16 | 47.6 | 73.69 |
| | 2 1/2 | SF2 1/2 | | | SF2 1/2DEC | | | | | | | | |
| 65 | | SF65 | | | SF65DEC | 1070 | 11 | 187.5 | 155.5 | 149.22 | 16 | 47.6 | 77.72 |
| 70 | | SF70 | | | SF70DEC | | | | | | | | |
| | 2 5/8 | SF2 5/8 | | | SF2 5/8DEC | | | | | | | | |
| | 2 11/16 | SF2 11/16 | | | SF2 11/16DEC | | | | | | | | |
| 75 | | SF75 | | | SF75DEC | 1075 | 12 | 196.5 | 158.5 | 152.40 | 20 | 51.3 | 80.90 |
| | 2 3/4 | SF2 3/4 | | | SF2 3/4DEC | | | | | | | | |
| | 2 7/8 | SF2 7/8 | | | SF2 7/8DEC | | | | | | | | |
| | 2 15/16 | SF2 15/16 | | | SF2 15/16DEC | | | | | | | | |
| | 3 | SF3 | | | | | | | | | | | |

Prosimy sprawdzić dostępność

W obudowy mogą być wmontowane wkładki łożyskowe z uszczelkami odrzutnikowymi, jak pokazano na str. 91 i 92. Numer referencyjny tego zespołu posiada przyrostek „FS”, np. SF25FS.

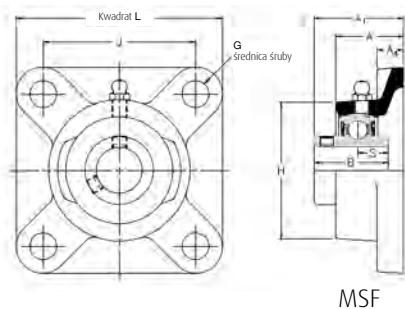


W obudowy mogą być wmontowane wkładki łożyskowe z uszczelkami trójwargowymi, jak pokazano na str. 88-90. Numer referencyjny tego zespołu posiada przedrostek „T”, np. TSF25.

| Wymiary (mm) | | | | | | | | | | Nośność wg ISO | | Zalecana maks. prędkość min ⁻¹ | Masa (około) kg |
|--------------|-------|------|-------|-------|-------|-------|-------|-------|-------|----------------------------------|----------------------------------|---|-----------------|
| A2 | A3 | A4 | B | B1 | B2 | B3 | s | s1 | s2 | dynamiczna C _r niuton | statyczna C _{0r} niuton | | |
| 39.01 | - | 9.5 | 27.38 | - | 28.63 | - | 11.58 | 6.53 | - | 9550 | 4800 | 7000 | 0.5 |
| 42.42 | 45.54 | 11.1 | 31.00 | 25.80 | 31.03 | 43.73 | 12.73 | 7.53 | 17.13 | 12800 | 6650 | 6700 | 0.7 |
| 42.42 | 45.95 | 11.1 | 34.10 | 27.30 | 31.03 | 44.43 | 14.33 | 7.53 | 17.53 | 14000 | 7880 | 6250 | 1.0 |
| 46.66 | 50.90 | 12.7 | 38.10 | 31.20 | 35.73 | 48.43 | 15.93 | 9.03 | 18.33 | 19500 | 11300 | 5300 | 1.3 |
| 50.34 | 53.31 | 12.7 | 42.90 | 34.90 | 38.93 | 51.13 | 17.53 | 9.53 | 18.83 | 25700 | 15300 | 4500 | 1.7 |
| 56.52 | 58.90 | 12.7 | 49.20 | 41.20 | 43.73 | 56.33 | 19.03 | 11.03 | 21.43 | 32500 | 19900 | 4000 | 2.2 |
| 56.62 | 58.90 | 14.3 | 49.20 | 41.20 | 43.73 | 56.33 | 19.03 | 11.03 | 21.43 | 32500 | 20500 | 3700 | 2.6 |
| 60.60 | 66.07 | 14.3 | 51.60 | 43.50 | 43.73 | 62.73 | 19.04 | 11.04 | 24.64 | 35000 | 23200 | 3400 | 2.8 |
| - | 74.57 | 17.5 | 55.60 | - | - | 71.42 | 22.24 | - | 27.84 | 43500 | 29200 | 3100 | 4.0 |
| - | 80.77 | 17.5 | 65.10 | - | - | 77.84 | 25.44 | - | 31.04 | 48000 | 33000 | 2800 | 4.7 |
| - | 80.77 | 18.0 | 65.10 | - | - | 85.74 | 25.44 | - | 34.14 | 57500 | 40000 | 2600 | 4.7 |
| - | 84.86 | 18.0 | 74.60 | - | - | 85.74 | 30.24 | - | 34.14 | 61000 | 45000 | 2450 | 6.8 |
| - | 91.21 | 23.0 | 77.80 | - | - | 92.14 | 33.34 | - | 37.34 | 66000 | 49500 | 2300 | 8.6 |

Self-Lube[®] – zespoły z obudowami żeliwnymi kołnierzowymi

Seria MSF

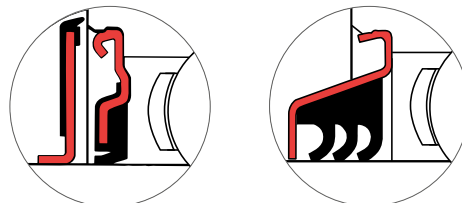


MSF

| Średnica wału | | Oznaczenie RHP | Podstawa wkładka łożyskowa | Grupa obudowy | Wymiary (mm) | | |
|---------------|---------------------------------|------------------------------------|----------------------------|---------------|--------------|-------|--------|
| mm | cale | | | | L | H | J |
| 25 | | MSF25 | 1030 | 1 | 108.0 | 82.6 | 82.50 |
| | 1 | MSF1 | | | | | |
| 30 | | MSF30 | 1035 | 2 | 117.5 | 95.3 | 92.00 |
| | 1 ³ / ₁₆ | MSF1 ³ / ₁₆ | | | | | |
| | 1 ¹ / ₄ | MSF1 ¹ / ₄ | | | | | |
| 35 | | MSF35 | 1040 | 3 | 130.2 | 101.6 | 101.50 |
| | 1 ³ / ₈ | MSF1 ³ / ₈ | | | | | |
| | 1 ⁷ / ₁₆ | MSF1 ⁷ / ₁₆ | | | | | |
| 40 | | MSF40 | 1045 | 4 | 136.5 | 111.1 | 105.00 |
| | 1 ¹ / ₂ | MSF1 ¹ / ₂ | | | | | |
| 45 | | MSF45 | 1050 | 5 | 142.9 | 115.9 | 111.00 |
| | 1 ¹¹ / ₁₆ | MSF1 ¹¹ / ₁₆ | | | | | |
| | 1 ³ / ₄ | MSF1 ³ / ₄ | | | | | |
| 50 | | MSF50 | 1055 | 6 | 161.9 | 127.0 | 130.00 |
| | 1 ⁷ / ₈ | MSF1 ⁷ / ₈ | | | | | |
| | 1 ¹⁵ / ₁₆ | MSF1 ¹⁵ / ₁₆ | | | | | |
| | 2 | MSF2 | | | | | |
| 55 | | MSF55 | 1060 | 7 | 174.5 | 138.1 | 143.00 |
| | 2 ³ / ₁₆ | MSF2 ³ / ₁₆ | | | | | |
| | 2 ¹ / ₄ | MSF2 ¹ / ₄ | | | | | |
| 60 | | MSF60 | 1070 | 8 | 187.6 | 155.5 | 149.22 |
| | 2 ⁷ / ₁₆ | MSF2 ⁷ / ₁₆ | | | | | |
| | 2 ¹ / ₂ | MSF2 ¹ / ₂ | | | | | |
| 65 | | MSF65 | 1075 | 9 | 196.5 | 158.5 | 152.40 |
| 70 | | MSF70 | | | | | |
| | 2 ¹¹ / ₁₆ | MSF1 ¹¹ / ₁₆ | | | | | |
| | 2 ³ / ₄ | MSF2 ³ / ₄ | | | | | |
| 75 | | MSF75 | 1080 | 10 | 196.5 | 173.5 | 152.40 |
| | 2 ¹⁵ / ₁₆ | MSF2 ¹⁵ / ₁₆ | | | | | |
| | 3 | MSF3 | | | | | |
| 80 | | MSF80 | 1085 | 11 | 213.5 | 184.0 | 171.45 |
| | 3 ³ / ₁₆ | MSF3 ³ / ₁₆ | | | | | |
| | 3 ¹ / ₄ | MSF3 ¹ / ₄ | | | | | |
| 85 | | MSF85 | 1090 | 12 | 213.5 | 196.5 | 171.45 |
| 90 | | MSF90 | | | | | |
| | 3 ⁷ / ₁₆ | MSF3 ⁷ / ₁₆ | | | | | |
| | 3 ¹ / ₂ | MSF3 ¹ / ₂ | | | | | |
| 95 | | MSF95 | 3095 | 13 | 267.5 | 235.5 | 211.12 |
| 100 | | MSF100 | | | | | |
| | 3 ¹⁵ / ₁₆ | MSF3 ¹⁵ / ₁₆ | | | | | |
| | 4 | MSF4 | | | | | |

Prosimy sprawdzić dostępność

W obudowy mogą być wmontowane wkładki łożyskowe z uszczelkami odrzutnikowymi, jak pokazano na str. 91 i 92. Numer referencyjny tego zespołu posiada przyrostek „FS”, np. MSF35FS.

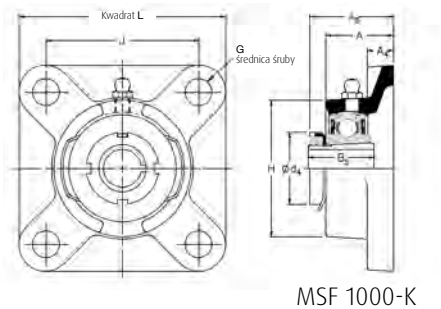


W obudowy mogą być wmontowane wkładki łożyskowe z uszczelkami trójwargowymi, jak pokazano na str. 88–90. Numer referencyjny tego zespołu posiada przedrostek „T”, np. TMSF35.

| G | Wymiary (mm) | | | | | Nośność wg ISO | | Zalecana maks. prędkość min ⁻¹ | Masa (około) kg |
|----|--------------|--------|------|--------|-------|----------------------------------|----------------------------------|---|-----------------|
| | A | A1 | A4 | B | s | dynamiczna C _r niuton | statyczna C _{0r} niuton | | |
| 10 | 29.8 | 42.21 | 12.7 | 38.10 | 15.93 | 19500 | 11300 | 5300 | 1.3 |
| 12 | 31.4 | 46.41 | 12.7 | 42.90 | 17.53 | 25700 | 15300 | 4500 | 1.7 |
| 12 | 34.9 | 54.18 | 12.7 | 49.20 | 19.03 | 32500 | 19900 | 4000 | 2.2 |
| 16 | 35.3 | 54.18 | 14.3 | 49.20 | 19.03 | 32500 | 20500 | 3700 | 2.6 |
| 16 | 39.7 | 60.53 | 14.3 | 51.60 | 19.04 | 35000 | 23200 | 3400 | 2.8 |
| 16 | 43.7 | 64.31 | 17.5 | 55.60 | 22.24 | 43500 | 29200 | 3100 | 4.0 |
| 16 | 47.6 | 73.69 | 17.5 | 65.10 | 25.44 | 48000 | 33000 | 2800 | 4.7 |
| 16 | 47.6 | 77.20 | 18.0 | 74.60 | 30.24 | 61000 | 45000 | 2450 | 6.8 |
| 20 | 51.3 | 80.90 | 23.0 | 77.80 | 33.34 | 66000 | 49500 | 2300 | 8.6 |
| 20 | 55.0 | 88.87 | 23.0 | 82.60 | 33.34 | 71500 | 54500 | 2150 | 9.3 |
| 20 | 54.3 | 89.64 | 26.0 | 85.70 | 34.15 | 83000 | 64000 | 2000 | 11.1 |
| 20 | 61.7 | 100.76 | 26.0 | 96.00 | 39.74 | 96000 | 71500 | 1900 | 13.2 |
| 24 | 83.5 | 126.95 | 32.0 | 117.48 | 49.31 | 157000 | 122000 | 1600 | 24.7 |

Self-Lube[®] – zespoły z obudowami żeliwnymi z tulejami wciąganyymi

Seria MSF 1000-K



MSF 1000-K

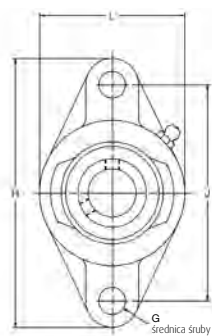
| Średnica wału mm | Oznaczenie RHP kompletnego zespołu | Tylko tuleja, nakrętka i podkładka zabezpieczająca | Zespół bez tulei, nakrętki i podkładki zabezpieczającej | Podsta- wowa wkładka łożyskowa | Grupa obudowy | Wymiary (mm) | | |
|---------------------|--|---|--|---|------------------|--------------|-------|-------|
| | | | | | | L | H | J |
| 20 | MSF1025-20K | H305 | MSF1025K | 1025 | SF3 | 95.3 | 68.0 | 70.0 |
| 3/4 | MSF1025-3/4K | HE305-3/4 | | | | | | |
| 25 | MSF1030-25K | H306 | MSF1030K | 1030 | 1 | 108.0 | 82.6 | 82.5 |
| 15/16 | MSF1030-15/16K | HE306-15/16 | | | | | | |
| 1 | MSF1030-1K | HE306-1 | | | | | | |
| 30 | MSF1035-30K | H307 | MSF1035K | 1035 | 2 | 117.5 | 95.3 | 92.0 |
| 1 1/8 | MSF1035-1 1/8K | HE307-1 1/8 | | | | | | |
| 1 3/16 | MSF1035-1 3/16K | HE307-1 3/16 | | | | | | |
| 35 | MSF1040-35K | H308 | MSF1040K | 1040 | 3 | 130.2 | 101.6 | 101.5 |
| 1 1/4 | MSF1040-1 1/4K | HE308-1 1/4 | | | | | | |
| 1 3/8 | MSF1040-1 3/8K | HE308-1 3/8 | | | | | | |
| 40 | MSF1045-40K | H309 | MSF1045K | 1045 | 4 | 136.5 | 111.1 | 105.0 |
| 1 7/16 | MSF1045-1 7/16K | HE309-1 7/16 | | | | | | |
| 1 1/2 | MSF1045-1 1/2K | HE309-1 1/2 | | | | | | |
| 45 | MSF1050-45K | H310 | MSF1050K | 1050 | 5 | 142.9 | 115.9 | 111.0 |
| 1 11/16 | MSF1050-1 11/16K | HE310-1 11/16 | | | | | | |
| 1 3/4 | MSF1050-1 3/4K | HE310-1 3/4 | | | | | | |
| 50 | MSF1055-50K | H311 | MSF1055K | 1055 | 6 | 161.9 | 127.0 | 130.0 |
| 1 15/16 | MSF1055-1 15/16K | HE311-1 15/16 | | | | | | |
| 2 | MSF1055-2K | HE311-2 | | | | | | |

Prosimy sprawdzić dostępność

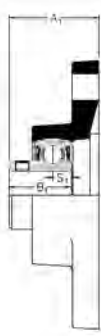
| G | Wymiary (mm) | | | | | Nośność wg ISO | | Zalecana maks. prędkość min ⁻¹ | Masa (około) kg |
|----|--------------|------|------|------|------|----------------------------------|----------------------------------|---|-----------------|
| | A | A4 | A5 | B5 | d4 | dynamiczna C _r niuton | statyczna C _{or} niuton | | |
| 10 | 28.6 | 11.1 | 36.5 | 29.0 | 38.0 | 14000 | 7880 | 6250 | 1.0 |
| 10 | 29.8 | 12.7 | 38.0 | 31.0 | 45.0 | 19500 | 11300 | 5300 | 1.3 |
| 12 | 31.4 | 12.7 | 40.5 | 35.0 | 52.0 | 25700 | 15300 | 4500 | 1.7 |
| 12 | 34.9 | 12.7 | 45.0 | 36.0 | 58.0 | 32500 | 19900 | 4000 | 2.2 |
| 16 | 35.3 | 14.3 | 46.5 | 39.0 | 65.0 | 32500 | 20500 | 3700 | 2.6 |
| 16 | 39.7 | 14.3 | 52.0 | 42.0 | 70.0 | 35000 | 23200 | 3400 | 2.8 |
| 16 | 43.7 | 17.5 | 55.5 | 45.0 | 75.0 | 43500 | 29200 | 3100 | 4.0 |

Self-Lube[®] – zespoły z obudowami żeliwnymi kołnierzowymi

Seria SFT



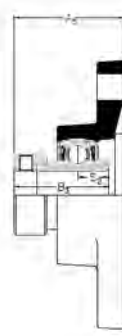
SFT



SFT-A



SFT-EC

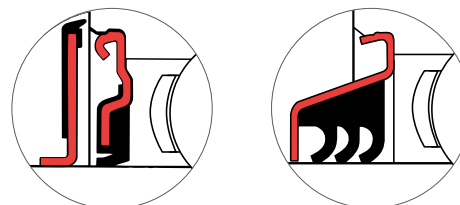


SFT-DEC

| Średnica wału | | Oznaczenie RHP | | | | Podstawowa wkładka łożyskowa | Grupa obudowy | Wymiary (mm) | | | | | |
|---------------|---------|----------------|------------|--------------|---------------|------------------------------|---------------|--------------|-------|--------|----|------|-------|
| mm | cale | | | | | | | L | H | J | G | A | A1 |
| 12 | | SFT12 | | SFT12EC | | 1017 | 1 | 52.5 | 98.5 | 76.50 | 10 | 24.6 | 32.87 |
| 15 | | SFT15 | | SFT15EC | | | | | | | | | |
| 16 | | SFT16 | | SFT16EC | | | | | | | | | |
| 17 | | SFT17 | | SFT17A | | | | | | | | | |
| | 1/2 | SFT1/2 | | SFT1/2EC | | | | | | | | | |
| | 5/8 | SFT5/8 | | SFT5/8EC | | | | | | | | | |
| 20 | | SFT20 | SFT20A | SFT20EC | SFT20DEC | 1020 | 2 | 60.3 | 111.9 | 90.00 | 10 | 27.8 | 37.26 |
| | 3/4 | SFT3/4 | SFT3/4A | SFT3/4EC | SFT3/4DEC | | | | | | | | |
| 25 | | SFT25 | SFT25A | SFT25EC | SFT25DEC | 1025 | 3 | 70.0 | 125.5 | 99.00 | 10 | 28.6 | 38.84 |
| | 7/8 | SFT7/8 | | SFT7/8EC | SFT7/8DEC | | | | | | | | |
| | 15/16 | SFT15/16 | | SFT15/16EC | SFT15/16DEC | | | | | | | | |
| | 1 | SFT1 | SFT1A | SFT1EC | SFT1DEC | | | | | | | | |
| 30 | | SFT30 | SFT30A | SFT30EC | SFT30DEC | 1030 | 4 | 82.6 | 141.3 | 116.50 | 10 | 29.8 | 42.21 |
| | 1 1/8 | SFT1 1/8 | | SFT1 1/8EC | SFT1 1/8DEC | | | | | | | | |
| | 1 3/16 | SFT1 3/16 | | SFT1 3/16EC | SFT1 3/16DEC | | | | | | | | |
| | 1 1/4 | SFT1 1/4R | SFT1 1/4AR | SFT1 1/4ECR | SFT1 1/4DECR | | | | | | | | |
| 35 | | SFT35 | SFT35A | SFT35EC | SFT35DEC | 1035 | 5 | 95.5 | 155.5 | 130.00 | 12 | 31.4 | 46.41 |
| | 1 1/4 | SFT1 1/4 | SFT1 1/4A | SFT1 1/4EC | SFT1 1/4DEC | | | | | | | | |
| | 1 3/8 | SFT1 3/8 | | SFT1 3/8EC | SFT1 3/8DEC | | | | | | | | |
| | 1 7/16 | SFT1 7/16 | | SFT1 7/16EC | SFT1 7/16DEC | | | | | | | | |
| 40 | | SFT40 | SFT40A | SFT40EC | SFT40DEC | 1040 | 6 | 104.5 | 171.4 | 143.50 | 12 | 34.9 | 54.18 |
| | 1 1/2 | SFT1 1/2 | SFT1 1/2A | SFT1 1/2EC | SFT1 1/2DEC | | | | | | | | |
| 45 | | SFT45 | SFT45A | SFT45EC | SFT45DEC | 1045 | 7 | 111.1 | 179.4 | 148.50 | 16 | 35.3 | 54.18 |
| | 1 5/8 | SFT1 5/8 | | SFT1 5/8EC | SFT1 5/8DEC | | | | | | | | |
| | 1 11/16 | SFT1 11/16 | | SFT1 11/16EC | SFT1 11/16DEC | | | | | | | | |
| | 1 3/4 | SFT1 3/4 | SFT1 3/4A | SFT1 3/4EC | SFT1 3/4DEC | | | | | | | | |
| 50 | | SFT50 | SFT50A | SFT50EC | SFT50DEC | 1050 | 8 | 115.9 | 188.9 | 157.00 | 16 | 39.7 | 60.53 |
| | 1 7/8 | SFT1 7/8 | | SFT1 7/8EC | SFT1 7/8DEC | | | | | | | | |
| | 1 15/16 | SFT1 15/16 | | SFT1 15/16EC | SFT1 15/16DEC | | | | | | | | |
| | 2 | SFT2R | | | | | | | | | | | |
| 55 | | SFT55 | | SFT55DEC | | 1055 | 9 | 127.0 | 215.9 | 184.00 | 16 | 43.7 | 64.31 |
| | 2 | SFT2 | | SFT2DEC | | | | | | | | | |
| | 2 1/8 | SFT2 1/8 | | SFT2 1/8DEC | | | | | | | | | |
| | 2 3/16 | SFT2 3/16 | | SFT2 3/16DEC | | | | | | | | | |
| 60 | | SFT60 | | SFT60DEC | | 1060 | 10 | 138.1 | 235.0 | 202.00 | 16 | 47.6 | 73.69 |
| | 2 1/4 | SFT2 1/4 | | SFT2 1/4DEC | | | | | | | | | |
| | 2 3/8 | SFT2 3/8 | | SFT2 3/8DEC | | | | | | | | | |
| | 2 7/16 | SFT2 7/16 | | SFT2 7/16DEC | | | | | | | | | |

Prosimy sprawdzić dostępność

W obudowy mogą być wmontowane wkładki łożyskowe z uszczelkami odrzutnikowymi, jak pokazano na str. 91 i 92. Numer referencyjny tego zespołu posiada przyrostek „FS”, np. SFT25FS.

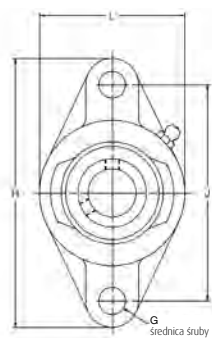


W obudowy mogą być wmontowane wkładki łożyskowe z uszczelkami trójwargowymi, jak pokazano na str. 88-90. Numer referencyjny tego zespołu posiada przedrostek „T”, np. TSFT25.

| Wymiary (mm) | | | | | | | | | | Nośność wg ISO | | Zalecana maks. prędkość min ⁻¹ | Masa (około) kg |
|--------------|-------|------|-------|-------|-------|-------|-------|-------|-------|----------------------------------|----------------------------------|---|-----------------|
| A2 | A3 | A4 | B | B1 | B2 | B3 | s | s1 | s2 | dynamiczna C _r niuton | statyczna C _{0r} niuton | | |
| 39.01 | - | 9.5 | 27.38 | - | 28.63 | - | 11.58 | 6.53 | - | 9550 | 4800 | 7000 | 0.4 |
| 42.42 | 45.54 | 11.1 | 31.00 | 25.80 | 31.03 | 43.73 | 12.73 | 7.53 | 17.13 | 12800 | 6650 | 6700 | 0.6 |
| 42.42 | 45.95 | 11.1 | 34.10 | 27.30 | 31.03 | 44.43 | 14.33 | 7.53 | 17.53 | 14000 | 7880 | 6520 | 0.9 |
| 46.66 | 50.09 | 12.7 | 38.10 | 31.20 | 35.73 | 48.43 | 15.93 | 9.03 | 18.33 | 19500 | 11300 | 5300 | 1.1 |
| 50.34 | 53.34 | 12.7 | 42.90 | 34.90 | 38.93 | 51.13 | 17.53 | 9.53 | 18.83 | 25700 | 15300 | 4500 | 1.4 |
| 56.62 | 58.90 | 12.7 | 49.20 | 41.20 | 43.73 | 56.33 | 19.03 | 11.03 | 21.43 | 32500 | 19900 | 4000 | 1.9 |
| 56.62 | 58.90 | 14.3 | 49.20 | 41.20 | 43.73 | 56.33 | 19.04 | 11.03 | 21.43 | 32500 | 20500 | 3700 | 2.2 |
| 60.60 | 66.07 | 14.3 | 51.60 | 43.50 | 43.73 | 62.73 | 19.04 | 11.04 | 24.64 | 35000 | 23200 | 3400 | 2.5 |
| - | 74.57 | 17.5 | 55.60 | - | - | 71.42 | 22.24 | - | 27.84 | 43500 | 29200 | 3100 | 3.5 |
| - | 80.77 | 17.5 | 65.10 | - | - | 77.84 | 25.44 | - | 31.04 | 48000 | 33000 | 2800 | 4.3 |

Self-Lube[®] – zespoły z obudowami żeliwnymi kołnierzowymi

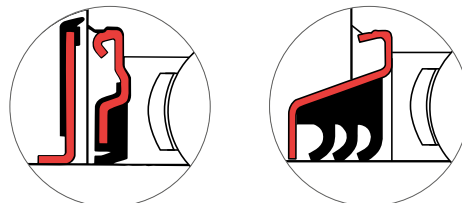
Seria MSFT



| Średnica wału | | Oznaczenie RHP | Podstawowa wkładka łożyskowa | Grupa obudowy | Wymiary (mm) | | |
|---------------|---------------------------------|-------------------------------------|------------------------------|---------------|--------------|-------|--------|
| mm | cale | | | | L | H | J |
| 25 | | MSFT25 | 1030 | 1 | 82.6 | 141.3 | 116.50 |
| | 1 | MSFT1 | | | | | |
| 30 | | MSFT30 | 1035 | 2 | 95.5 | 155.5 | 130.00 |
| | 1 ³ / ₁₆ | MSFT1 ³ / ₁₆ | | | | | |
| | 1 ¹ / ₄ | MSFT1 ¹ / ₄ | | | | | |
| 35 | | MSFT35 | 1040 | 3 | 101.6 | 171.4 | 143.50 |
| | 1 ³ / ₈ | MSFT1 ³ / ₈ | | | | | |
| | 1 ⁷ / ₁₆ | MSFT1 ⁷ / ₁₆ | | | | | |
| 40 | | MSFT40 | 1045 | 4 | 111.1 | 179.4 | 148.50 |
| | 1 ¹ / ₂ | MSFT1 ¹ / ₂ | | | | | |
| 45 | | MSFT45 | 1050 | 5 | 115.9 | 188.9 | 157.00 |
| | 1 ¹¹ / ₁₆ | MSFT1 ¹¹ / ₁₆ | | | | | |
| | 1 ³ / ₄ | MSFT1 ³ / ₄ | | | | | |
| 50 | | MSFT50 | 1055 | 6 | 127.0 | 215.9 | 184.00 |
| | 1 ⁷ / ₈ | MSFT1 ⁷ / ₈ | | | | | |
| | 1 ¹⁵ / ₁₆ | MSFT1 ¹⁵ / ₁₆ | | | | | |
| | 2 | MSFT2 | | | | | |
| 55 | | MSFT55 | 1060 | 7 | 138.1 | 235.0 | 202.00 |
| | 2 ³ / ₁₆ | MSFT2 ³ / ₁₆ | | | | | |

Prosimy sprawdzić dostępność

W obudowy mogą być wmontowane wkładki łożyskowe z uszczelkami odrzutnikowymi, jak pokazano na str. 91 i 92. Numer referencyjny tego zespołu posiada przyrostek „FS”, np. MSFT40FS.

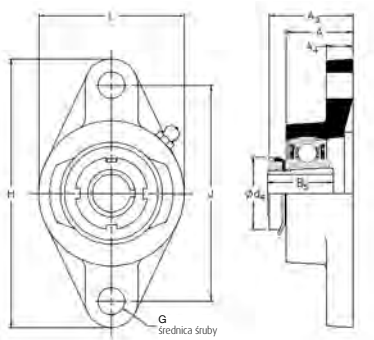


W obudowy mogą być wmontowane wkładki łożyskowe z uszczelkami trójwargowymi, jak pokazano na str. 88-90. Numer referencyjny tego zespołu posiada przedrostek „T”, np. TMSFT40.

| G | Wymiary (mm) | | | | | Nośność wg ISO | | Zalecana maks. prędkość min ⁻¹ | Masa (około) kg |
|----|--------------|-------|------|-------|-------|----------------------------------|----------------------------------|---|-----------------|
| | A | A1 | A4 | B | s | dynamiczna C _r niuton | statyczna C _{0r} niuton | | |
| 10 | 29.8 | 42.21 | 12.7 | 38.10 | 15.93 | 19500 | 11300 | 5300 | 1.1 |
| 12 | 31.4 | 46.41 | 12.7 | 42.90 | 17.53 | 25700 | 15300 | 4500 | 1.4 |
| 12 | 34.9 | 54.18 | 12.7 | 49.20 | 19.03 | 32500 | 19900 | 4000 | 1.9 |
| 16 | 35.3 | 54.18 | 14.3 | 49.20 | 19.04 | 32500 | 20500 | 3700 | 2.2 |
| 16 | 39.7 | 60.53 | 14.3 | 51.60 | 19.04 | 35000 | 23200 | 3400 | 2.5 |
| 16 | 43.7 | 64.31 | 17.5 | 55.60 | 22.24 | 43500 | 29200 | 3100 | 3.5 |
| 16 | 47.6 | 73.69 | 17.5 | 65.10 | 25.44 | 48000 | 33000 | 2800 | 4.3 |

Self-Lube[®] – zespoły z obudowami żeliwnymi kołnierzowymi z tulejami wciąganyymi

Seria MSFT 1000-K



MSFT 1000-K

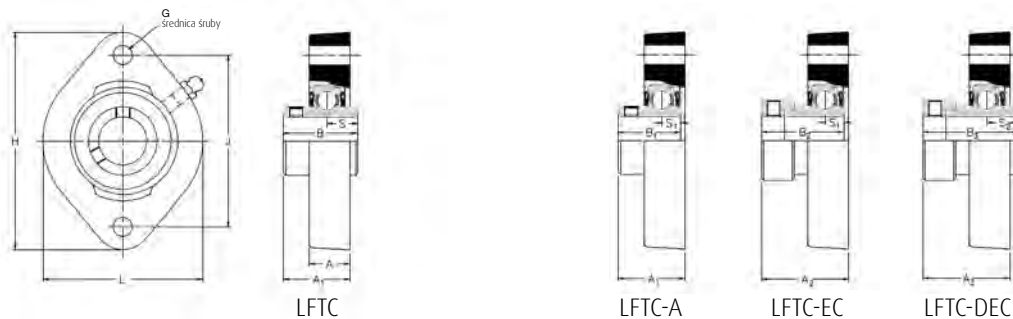
| Średnica wału mm | Oznaczenie RHP kompletnego zespołu | Tylko tuleja, nakrętka i podkładka zabezpieczająca | Zespół bez tulei, nakrętki i podkładki zabezpieczającej | Podsta- wowa wkładka łożyskowa | Grupa obudowy | Wymiary (mm) | | |
|---------------------|--|---|--|---|------------------|--------------|-------|-------|
| | | | | | | L | H | J |
| 20 | MSFT1025-20K | H305 | MSFT1025K | 1025 | SFT3 | 68.3 | 123.8 | 99.0 |
| | MSFT1025-3/4K | HE305-3/4 | | | | | | |
| 25 | MSFT1030-25K | H306 | MSFT1030K | 1030 | 1 | 82.6 | 141.3 | 116.5 |
| | MSFT1030-15/16K | HE306-15/16 | | | | | | |
| | MSFT1030-1K | HE306-1 | | | | | | |
| 30 | MSFT1035-30K | H307 | MSFT1035K | 1035 | 2 | 95.5 | 155.5 | 130.0 |
| | MSFT1035-11/8K | HE307-11/8 | | | | | | |
| | MSFT1035-13/16K | HE307-13/16 | | | | | | |
| 35 | MSFT1040-35K | H308 | MSFT1040K | 1040 | 3 | 101.6 | 171.4 | 143.5 |
| | MSFT1040-11/4K | HE308-11/4 | | | | | | |
| | MSFT1040-13/8K | HE308-13/8 | | | | | | |
| 40 | MSFT1045-40K | H309 | MSFT1045K | 1045 | 4 | 111.1 | 179.4 | 148.5 |
| | MSFT1045-17/16K | HE309-17/16 | | | | | | |
| | MSFT1045-11/2K | HE309-11/2 | | | | | | |
| 45 | MSFT1050-45K | H310 | MSFT1050K | 1050 | 5 | 115.9 | 188.9 | 157.0 |
| | MSFT1050-111/16K | HE310-111/16 | | | | | | |
| | MSFT1050-13/4K | HE310-13/4 | | | | | | |
| 50 | MSFT1055-50K | H311 | MSFT1055K | 1055 | 6 | 127.0 | 215.9 | 184.0 |
| | MSFT1055-115/16K | HE311-115/16 | | | | | | |
| | MSFT1055-2K | HE311-2 | | | | | | |

Prosimy sprawdzić dostępność

| G | Wymiary (mm) | | | | | Nośność wg ISO | | Zalecana maks. prędkość min ⁻¹ | Masa (około) kg |
|----|--------------|------|------|------|------|----------------------------------|----------------------------------|---|-----------------|
| | A | A4 | A5 | B5 | d4 | dynamiczna C _r niuton | statyczna C _{or} niuton | | |
| 10 | 28.6 | 11.1 | 36.5 | 29.0 | 38.0 | 14000 | 7880 | 6250 | 0.9 |
| 10 | 29.8 | 12.7 | 38.0 | 31.0 | 45.0 | 19500 | 11300 | 5300 | 1.1 |
| 12 | 31.4 | 12.7 | 40.5 | 35.0 | 52.0 | 25700 | 15300 | 4500 | 1.4 |
| 12 | 34.9 | 12.7 | 45.0 | 36.0 | 58.0 | 32500 | 19900 | 4000 | 1.9 |
| 16 | 35.3 | 14.3 | 46.5 | 39.0 | 65.0 | 32500 | 20500 | 3700 | 2.2 |
| 16 | 39.7 | 14.3 | 52.0 | 42.0 | 70.0 | 35000 | 23200 | 3400 | 2.5 |
| 16 | 43.7 | 17.5 | 55.5 | 45.0 | 75.0 | 43500 | 29200 | 3100 | 3.5 |

Self-Lube[®] – zespoły z obudowami żeliwnymi kołnierzowymi

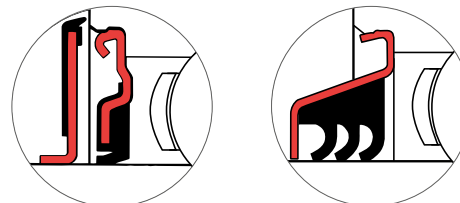
Seria LFTC



| Średnica wału | | Oznaczenie RHP | | | | Podstawowa wkładka łożyskowa | Grupa obudowy | Wymiary (mm) | | | | |
|---------------|--------|----------------|-------------|--------------|---------------|------------------------------|---------------|--------------|-------|-------|------|------|
| mm | cale | | | | | | | L | H | J | G | A |
| 12 | | LFTC12 | | LFTC12EC | | 1017 | 1 | 58.5 | 81.0 | 63.5 | 6.0 | 15.0 |
| 15 | | LFTC15 | | LFTC15EC | | | | | | | | |
| 16 | | LFTC16 | | LFTC16EC | | | | | | | | |
| 17 | | LFTC17 | | LFTC17EC | | | | | | | | |
| | 1/2 | LFTC1/2 | | LFTC1/2EC | | | | | | | | |
| | 5/8 | LFTC5/8 | | LFTC5/8EC | | | | | | | | |
| 20 | | LFTC20 | LFTC20A | LFTC20EC | LFTC20DEC | 1020 | 2 | 66.5 | 90.5 | 71.5 | 8.0 | 17.0 |
| | 3/4 | LFTC3/4 | LFTC3/4A | LFTC3/4EC | LFTC3/4DEC | | | | | | | |
| 25 | | LFTC25 | LFTC25A | LFTC25EC | LFTC25DEC | 1025 | 3 | 71.0 | 96.0 | 76.0 | 8.0 | 17.5 |
| | 7/8 | LFTC7/8 | | LFTC7/8EC | LFTC7/8DEC | | | | | | | |
| | 15/16 | LFTC15/16 | | LFTC15/16EC | LFTC15/16DEC | | | | | | | |
| | 1 | LFTC1 | LFTC1A | LFTC1EC | LFTC1DEC | | | | | | | |
| 30 | | LFTC30 | LFTC30A | LFTC30EC | LFTC30DEC | 1030 | 4 | 84.0 | 112.0 | 90.5 | 10.0 | 20.5 |
| | 1 1/8 | LFTC1 1/8 | | LFTC1 1/8EC | LFTC1 1/8DEC | | | | | | | |
| | 1 3/16 | LFTC1 3/16 | | LFTC1 3/16EC | LFTC1 3/16DEC | | | | | | | |
| | 1 1/4 | LFTC1 1/4 | LFTC1 1/4A | LFTC1 1/4EC | LFTC1 1/4DEC | | | | | | | |
| 35 | | LFTC35 | LFTC 35A | LFTC35EC | LFTC35DEC | 1035 | 5 | 93.0 | 125.0 | 100.0 | 10.0 | 22.0 |
| | 1 1/4 | LFTC1 1/4L | LFTC1 1/4AL | LFTC1 1/4ECL | LFTC1 1/4DECL | | | | | | | |
| | 1 3/8 | LFTC1 3/8 | | LFTC1 3/8EC | LFTC1 3/8DEC | | | | | | | |
| | 1 7/16 | LFTC1 7/16 | | LFTC1 7/16EC | LFTC1 7/16DEC | | | | | | | |

Prosimy sprawdzić dostępność

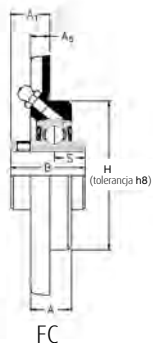
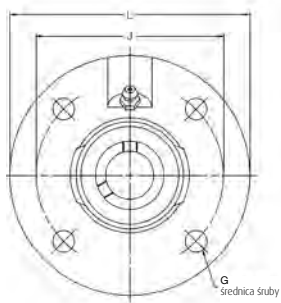
W obudowy mogą być wmontowane wkładki łożyskowe z uszczelkami odrzutnikowymi, jak pokazano na str. 91 i 92. Numer referencyjny tego zespołu posiada przyrostek „FS”, np. LF7C 7/8 FS.



W obudowy mogą być wmontowane wkładki łożyskowe z uszczelkami trójwargowymi, jak pokazano na str. 88-90. Numer referencyjny tego zespołu posiada przedrostek „T”, np. TL7C 7/8.

| Wymiary (mm) | | | | | | | | | | Nośność wg ISO | | Zalecana maks. prędkość min ⁻¹ | Masa (około) kg |
|--------------|-------|-------|-------|-------|-------|-------|-------|------|-------|----------------------------------|----------------------------------|---|-----------------|
| A1 | A2 | A3 | B | B1 | B2 | B3 | s | s1 | s2 | dynamiczna C _r niuton | statyczna C _{0r} niuton | | |
| 24.27 | 30.43 | - | 27.38 | - | 28.63 | - | 11.58 | 6.53 | - | 9550 | 4800 | 7000 | 0.3 |
| 27.76 | 32.92 | 36.04 | 31.00 | 25.80 | 31.03 | 43.73 | 12.73 | 7.53 | 17.13 | 12800 | 6650 | 6700 | 0.4 |
| 29.24 | 32.82 | 36.35 | 34.00 | 27.30 | 31.03 | 44.43 | 14.33 | 7.53 | 17.53 | 14000 | 7880 | 6250 | 0.5 |
| 33.62 | 38.07 | 41.50 | 38.10 | 31.20 | 35.73 | 48.43 | 15.93 | 9.03 | 18.33 | 19500 | 11300 | 5300 | 0.8 |
| 37.80 | 41.74 | 44.71 | 42.90 | 34.90 | 38.93 | 51.13 | 17.53 | 9.53 | 18.83 | 25700 | 15300 | 4500 | 1.1 |

Self-Lube[®] – zespoły z obudowami żeliwnymi kołnierzowymi Seria FC



Na str. 21 pokazano tolerancje obudowy, dla których dopasowano wymiar 'H'.

Uwaga:
Otwór do dosmarowywania - M5 × 0.8 skok



FC-A



FC-EC

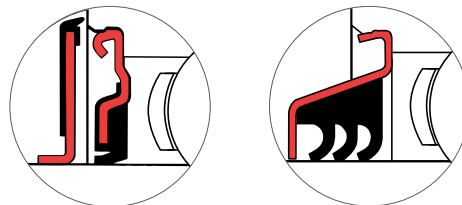


FC-DEC

| Średnica wału | | Oznaczenie RHP | | | | Podstawowa wkładka łożyskowa | Grupa obudowy | Wymiary (mm) | | | | | | | | | | | | | | |
|---------------|------|----------------|----------|------------|-------------|------------------------------|---------------|--------------|-------|-------|----|------|-------|-----------|------|---|-------|-------|-------|----|------|-------|
| mm | cale | | | | | | | L | H | J | G | A | A1 | | | | | | | | | |
| 20 | | FC20 | FC20A | FC20EC | FC20DEC | 1020 | 2 | 100.0 | 62.0 | 78.0 | 8 | 17.0 | 16.29 | | | | | | | | | |
| | | FC3/4 | FC3/4A | FC3/4EC | FC3/4DEC | | | | | | | | | | | | | | | | | |
| 25 | | FC25 | FC25A | FC25EC | FC25DEC | 1025 | 3 | 115.0 | 70.0 | 90.0 | 8 | 19.0 | 17.34 | | | | | | | | | |
| | | FC7/8 | | FC7/8EC | FC7/8DEC | | | | | | | | | | | | | | | | | |
| | | FC15/16 | | FC15/16EC | FC15/16DEC | | | | | | | | | | | | | | | | | |
| | | FC1 | FC1A | FC1EC | FC1DEC | | | | | | | | | | | | | | | | | |
| 30 | | FC30 | FC30A | FC30EC | FC30DEC | 1030 | 4 | 125.0 | 80.0 | 100.0 | 10 | 20.5 | 20.22 | | | | | | | | | |
| | | FC17/8 | | FC17/8C | FC17/8DEC | | | | | | | | | | | | | | | | | |
| | | FC13/16 | | FC13/16EC | FC13/16DEC | | | | | | | | | | | | | | | | | |
| | | FC11/4R | FC11/4AR | FC11/4ECR | FC11/4DEC | | | | | | | | | | | | | | | | | |
| 35 | | FC35 | FC35A | FC35EC | FC35DEC | 1035 | 5 | 135.0 | 90.0 | 110.0 | 10 | 20.5 | 24.40 | | | | | | | | | |
| | | FC13/4 | FC13/4A | FC13/4EC | FC13/4DEC | | | | | | | | | | | | | | | | | |
| | | FC13/8 | | FC13/8EC | FC13/8DEC | | | | | | | | | | | | | | | | | |
| | | FC17/16 | | FC17/16EC | FC17/16DEC | | | | | | | | | | | | | | | | | |
| 40 | | FC40 | FC40A | FC40EC | FC40DEC | 1040 | 6 | 145.0 | 100.0 | 120.0 | 10 | 23.0 | 29.18 | | | | | | | | | |
| | | FC11/2 | FC11/2A | FC11/2EC | FC11/2DEC | | | | | | | | | | | | | | | | | |
| | 45 | | FC45 | FC45A | FC45EC | | | | | | | | | FC45DEC | 1045 | 7 | 155.0 | 105.0 | 130.0 | 12 | 25.0 | 28.18 |
| | | | FC15/8 | | FC15/8EC | | | | | | | | | FC15/8DEC | | | | | | | | |
| | | FC111/16 | | FC111/16EC | FC111/16DEC | | | | | | | | | | | | | | | | | |
| | | FC13/4 | FC13/4A | FC13/4EC | FC13/4DEC | | | | | | | | | | | | | | | | | |
| 50 | | FC50 | FC50A | FC50EC | FC50DEC | 1050 | 8 | 165.0 | 110.0 | 135.0 | 12 | 25.0 | 31.52 | | | | | | | | | |
| | | FC17/8 | | FC17/8EC | FC17/8DEC | | | | | | | | | | | | | | | | | |
| | | FC115/16 | | FC115/16EC | FC115/16DEC | | | | | | | | | | | | | | | | | |
| | | FC2 | | | | | | | | | | | | | | | | | | | | |
| 55 | | FC55 | | | FC55DEC | 1055 | 9 | 185.0 | 125.0 | 150.0 | 16 | 27.5 | 33.30 | | | | | | | | | |
| | | FC2 | | | FC2DEC | | | | | | | | | | | | | | | | | |
| | | FC21/8 | | | FC21/8DEC | | | | | | | | | | | | | | | | | |
| | | FC23/16 | | | FC23/16DEC | | | | | | | | | | | | | | | | | |
| 60 | | FC60 | | | FC60DEC | 1060 | 10 | 195.0 | 135.0 | 160.0 | 16 | 29.0 | 38.65 | | | | | | | | | |
| | | FC21/4 | | | FC21/4DEC | | | | | | | | | | | | | | | | | |
| | | FC23/8 | | | FC23/8DEC | | | | | | | | | | | | | | | | | |
| | | FC27/16 | | | FC27/16DEC | | | | | | | | | | | | | | | | | |

Prosimy sprawdzić dostępność

W obudowy mogą być wmontowane wkładki łożyskowe z uszczelkami odrzutnikowymi, jak pokazano na str. 91 i 92. Numer referencyjny tego zespołu posiada przyrostek 'FS', np. FC40FS.

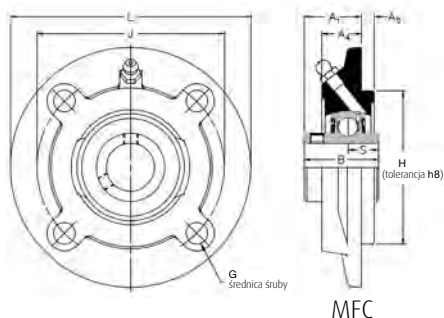


W obudowy mogą być wmontowane wkładki łożyskowe z uszczelkami trójwargowymi, jak pokazano na str. 88-90. Numer referencyjny tego zespołu posiada przedrostek 'T', np. TFC40.

| Wymiary (mm) | | | | | | | | | | Nośność wg ISO | | Zalecana maks. prędkość min ⁻¹ | Masa (około) kg |
|--------------|-------|-------|-------|-------|-------|-------|-------|-------|-------|----------------------------------|----------------------------------|---|-----------------|
| A2 | A3 | A4 | B | B1 | B2 | B3 | s | s1 | s2 | dynamiczna C _r niuton | statyczna C _{0r} niuton | | |
| 21.45 | 24.57 | 8.00 | 31.00 | 25.80 | 31.03 | 43.73 | 12.73 | 7.53 | 17.13 | 12800 | 6650 | 6700 | 0.7 |
| 20.86 | 24.41 | 9.00 | 34.10 | 27.30 | 31.03 | 44.43 | 14.33 | 7.53 | 17.53 | 14000 | 7880 | 6250 | 0.9 |
| 24.64 | 28.10 | 9.50 | 38.10 | 31.20 | 35.73 | 48.43 | 15.93 | 9.03 | 18.33 | 19500 | 11300 | 5300 | 1.1 |
| 28.33 | 31.29 | 10.00 | 42.90 | 34.90 | 38.93 | 51.13 | 17.53 | 9.53 | 18.83 | 25700 | 15300 | 4500 | 1.5 |
| 31.59 | 33.88 | 11.50 | 49.20 | 41.20 | 43.73 | 56.33 | 19.03 | 11.03 | 21.43 | 32500 | 19900 | 4000 | 1.8 |
| 30.59 | 32.88 | 12.00 | 49.20 | 41.20 | 43.73 | 56.33 | 19.04 | 11.03 | 21.43 | 32500 | 20500 | 3700 | 2.2 |
| 31.63 | 37.14 | 13.00 | 51.60 | 43.50 | 43.73 | 62.73 | 19.04 | 11.04 | 24.64 | 35000 | 23200 | 3400 | 2.8 |
| - | 43.72 | 15.00 | 55.60 | - | - | 71.42 | 22.24 | - | 27.84 | 43500 | 29200 | 3100 | 4.0 |
| - | 45.89 | 16.00 | 65.10 | - | - | 77.84 | 25.44 | - | 31.04 | 48000 | 33000 | 2800 | 4.7 |

Self-Lube[®] – zespoły z obudowami żeliwnymi kołnierzowymi

Seria MFC

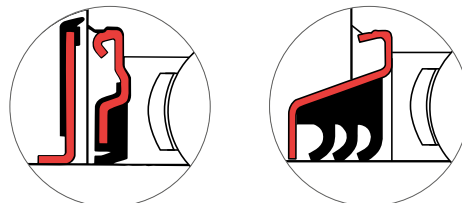


Na str. 21 pokazano tolerancje obudowy, dla których dopasowano wymiar 'H'.

| Średnica wału | | Oznaczenie RHP | Podstawowa wkładka łożyskowa | Grupa obudowy | Wymiary (mm) | | |
|---------------|------|----------------|------------------------------|---------------|--------------|-------|-------|
| mm | cale | | | | L | H | J |
| 25 | | MFC25 | 1030 | 1 | 111.1 | 76.2 | 92.1 |
| | 1 | MFC1 | | | | | |
| | 1¼ | MFC1¼R | | | | | |
| 30 | | MFC30 | 1035 | 2 | 127.0 | 85.7 | 104.8 |
| | 1¾ | MFC1¾ | | | | | |
| | 1¼ | MFC1¼ | | | | | |
| 35 | | MFC35 | 1040 | 3 | 133.4 | 92.1 | 111.1 |
| 40 | | MFC40 | | | | | |
| | 1⅝ | MFC1⅝ | | | | | |
| | 1⅞ | MFC1⅞ | | | | | |
| | 1½ | MFC1½ | | | | | |
| 45 | | MFC45 | 1050 | 4 | 155.6 | 108.0 | 130.2 |
| | 1⅞ | MFC1⅞ | | | | | |
| | 1¾ | MFC1¾ | | | | | |
| | 2 | MFC2R | | | | | |
| 50 | | MFC50 | 1055 | 5 | 161.9 | 114.3 | 136.5 |
| | 1⅞ | MFC1⅞ | | | | | |
| | 1⅞ | MFC1⅞ | | | | | |
| | 2 | MFC2 | | | | | |
| 55 | | MFC55 | 1060 | 6 | 181.0 | 127.0 | 152.4 |
| | 2⅞ | MFC2⅞ | | | | | |
| | 2¼ | MFC2¼ | | | | | |
| 60 | | MFC60 | 1070 | 7 | 193.7 | 139.7 | 165.1 |
| 65 | | MFC65R | | | | | |
| | 2⅞ | MFC2⅞ | | | | | |
| | 2½ | MFC2½ | | | | | |
| 65 | | MP65 | 1075 | 8 | 222.2 | 161.9 | 190.5 |
| 70 | | MFC70 | | | | | |
| | 2⅞ | MFC2⅞ | | | | | |
| | 2¾ | MFC2¾ | | | | | |
| 75 | | MFC75 | 1080 | 9 | 222.2 | 161.9 | 190.5 |
| 80 | | MFC80 | | | | | |
| | 2⅞ | MFC2⅞ | | | | | |
| | 3 | MFC3 | | | | | |
| | 3¼ | MFC3¼ | | | | | |
| 85 | | MFC85 | 1090 | 10 | 260.4 | 187.3 | 219.1 |
| 90 | | MFC90 | | | | | |
| | 3⅞ | MFC3⅞ | | | | | |
| | 3½ | MFC3½ | | | | | |
| 95 | | MFC95 | 3095 | 11 | 298.4 | 228.6 | 260.4 |
| 100 | | MFC100 | | | | | |
| | 3⅞ | MFC3⅞ | | | | | |
| | 4 | MFC4 | | | | | |

Prosimy sprawdzić dostępność

W obudowy mogą być wmontowane wkładki łożyskowe z uszczelkami odrzutnikowymi, jak pokazano na str. 91 i 92. Numer referencyjny tego zespołu posiada przyrostek „FS”, np. MFC30FS.

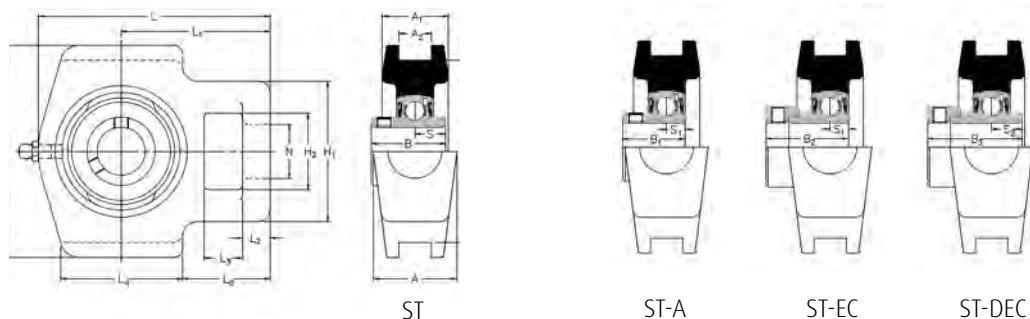


W obudowy mogą być wmontowane wkładki łożyskowe z uszczelkami trójwargowymi, jak pokazano na str. 88-90. Numer referencyjny tego zespołu posiada przedrostek „T”, np. TMFC30.

| G | Wymiary (mm) | | | | | Nośność wg ISO | | Zalecana maks. prędkość min ⁻¹ | Masa (około) kg |
|----|--------------|------|------|--------|-------|----------------------------------|----------------------------------|---|-----------------|
| | A1 | A4 | A5 | B | s | dynamiczna C _r niuton | statyczna C _{0r} niuton | | |
| 8 | 33.32 | 21.0 | 6.4 | 38.10 | 15.93 | 19500 | 11300 | 5300 | 1.4 |
| 10 | 33.32 | 19.0 | 6.4 | 42.90 | 17.53 | 25700 | 15300 | 4500 | 1.5 |
| 10 | 38.10 | 19.0 | 6.4 | 49.20 | 19.03 | 32500 | 19900 | 4000 | 1.9 |
| 10 | 39.67 | 19.0 | 6.4 | 51.60 | 19.04 | 35000 | 23200 | 3400 | 2.7 |
| 10 | 39.67 | 19.0 | 6.4 | 55.60 | 22.24 | 43500 | 29200 | 3100 | 3.0 |
| 12 | 42.85 | 15.9 | 9.5 | 65.10 | 25.44 | 48000 | 33000 | 2800 | 3.4 |
| 12 | 46.02 | 15.9 | 12.7 | 74.60 | 30.24 | 61000 | 45000 | 2450 | 4.5 |
| 16 | 50.80 | 21.0 | 12.7 | 77.80 | 33.34 | 66000 | 49500 | 2300 | 5.9 |
| 16 | 50.80 | 16.7 | 12.7 | 82.60 | 33.34 | 71500 | 54500 | 2150 | 5.4 |
| 20 | 67.46 | 29.4 | 12.7 | 96.00 | 39.74 | 96000 | 71500 | 1900 | 9.8 |
| 20 | 88.90 | 46.0 | 12.7 | 117.48 | 49.31 | 157000 | 122000 | 1600 | 17.7 |

Self-Lube[®] – zespoły naciągowe żeliwne

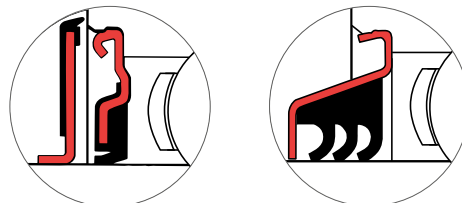
Seria ST



| Średnica wału | | Oznaczenie RHP | | | | Podstawowa wkładka łożyskowa | Grupa obudowy | Wymiary (mm) | | | | | | |
|---------------|------|----------------------|----------------------|-------------------------|--------------------------|------------------------------|---------------|--------------|-------|------|------|-------|------|-------|
| mm | cale | | | | | | | L | L1 | L2 | L3 | L4 | L5 | H |
| 20 | | ST20 | ST20A | ST20EC | ST20DEC | 1020 | 2 | 96.5 | 62.0 | 11.5 | 16.0 | 50.5 | 36.5 | 88.5 |
| | | ST ^{3/4} | ST ^{3/4} A | ST ^{3/4} EC | ST ^{3/4} DEC | | | | | | | | | |
| 25 | | ST25 | ST25A | ST25EC | ST25DEC | 1025 | 3 | 98.0 | 62.0 | 11.5 | 16.0 | 50.5 | 36.5 | 88.5 |
| | | ST ^{7/8} | | ST ^{7/8} EC | ST ^{7/8} DEC | | | | | | | | | |
| | | ST ^{15/16} | | ST ^{15/16} EC | ST ^{15/16} DEC | | | | | | | | | |
| 30 | 1 | ST1 | ST1A | ST1EC | ST1DEC | 1030 | 4 | 115.5 | 71.7 | 12.5 | 16.5 | 64.5 | 43.0 | 101.5 |
| | | ST ^{1/8} | | ST ^{1/8} EC | ST ^{1/8} DEC | | | | | | | | | |
| | | ST ^{13/16} | | ST ^{13/16} EC | ST ^{13/16} DEC | | | | | | | | | |
| | | ST ^{1/4} R | ST ^{1/4} AR | ST ^{1/4} ECR | ST ^{1/4} DEC R | | | | | | | | | |
| 35 | | ST35 | ST35A | ST35EC | ST35DEC | 1035 | 5 | 124.0 | 75.5 | 12.5 | 16.5 | 64.5 | 43.0 | 101.5 |
| | | ST ^{1/4} | ST ^{1/4} A | ST ^{1/4} EC | ST ^{1/4} DEC | | | | | | | | | |
| | | ST ^{13/8} | | ST ^{13/8} EC | ST ^{13/8} DEC | | | | | | | | | |
| | | ST ^{17/16} | | ST ^{17/16} EC | ST ^{17/16} DEC | | | | | | | | | |
| 40 | | ST40 | ST40A | ST40EC | ST40DEC | 1040 | 6 | 143.5 | 89.2 | 15.5 | 20.5 | 81.5 | 50.5 | 118.0 |
| | | ST ^{1/2} | ST ^{1/2} A | ST ^{1/2} EC | ST ^{1/2} DEC | | | | | | | | | |
| 45 | | ST45 | ST45A | ST45EC | ST45DEC | 1045 | 7 | 147.0 | 89.2 | 15.5 | 20.5 | 81.5 | 50.5 | 118.0 |
| | | ST ^{15/8} | | ST ^{15/8} EC | ST ^{15/8} DEC | | | | | | | | | |
| | | ST ^{111/16} | | ST ^{111/16} EC | ST ^{111/16} DEC | | | | | | | | | |
| | | ST ^{13/4} | ST ^{13/4} A | ST ^{13/4} EC | ST ^{13/4} DEC | | | | | | | | | |
| 50 | | ST50 | ST50 | ST50EC | ST50DEC | 1050 | 8 | 151.0 | 90.5 | 15.5 | 20.5 | 81.5 | 50.5 | 118.0 |
| | | ST ^{17/8} | | ST ^{17/8} EC | ST ^{17/8} DEC | | | | | | | | | |
| | | ST ^{115/16} | | ST ^{115/16} EC | ST ^{115/16} DEC | | | | | | | | | |
| | | ST2R | | | | | | | | | | | | |
| 55 | | ST55 | | | ST55DEC | 1055 | 9 | 182.0 | 114.0 | 19.0 | 32.0 | 97.5 | 70.0 | 146.0 |
| | | ST2 | | | ST2DEC | | | | | | | | | |
| | | ST ^{21/8} | | | ST ^{21/8} DEC | | | | | | | | | |
| | | ST ^{23/16} | | | ST ^{23/16} DEC | | | | | | | | | |
| 60 | | ST60 | | | ST60DEC | 1060 | 10 | 192.0 | 119.0 | 19.0 | 32.0 | 97.5 | 70.0 | 146.0 |
| | | ST ^{21/4} | | | ST ^{21/4} DEC | | | | | | | | | |
| | | ST ^{23/8} | | | ST ^{23/8} DEC | | | | | | | | | |
| | | ST ^{27/16} | | | ST ^{27/16} DEC | | | | | | | | | |
| 65 | | ST65 | | | ST65DEC | 1070 | 11 | 222.5 | 137.5 | 21.5 | 32.0 | 120.5 | 77.0 | 166.5 |
| 70 | | ST70 | | | ST70DEC | | | | | | | | | |
| | | ST ^{21/2} | | | ST ^{21/2} DEC | 1075 | 12 | 222.5 | 137.5 | 21.5 | 32.0 | 120.5 | 77.0 | 166.5 |
| | | ST ^{211/16} | | | ST ^{211/16} DEC | | | | | | | | | |
| | | ST75 | | | ST75DEC | | | | | | | | | |
| | | ST ^{23/4} | | | ST ^{23/4} DEC | 1080 | 13 | 231.5 | 139.5 | 20.5 | 32.0 | 125.0 | 74.0 | 184.0 |
| | | ST ^{27/8} | | | ST ^{27/8} DEC | | | | | | | | | |
| | | ST ^{215/16} | | | ST ^{215/16} DEC | | | | | | | | | |
| 80 | | ST80 | | | | 1080 | 13 | 231.5 | 139.5 | 20.5 | 32.0 | 125.0 | 74.0 | 184.0 |
| | | ST3 | | | | | | | | | | | | |
| | | ST ^{33/16} | | | | | | | | | | | | |
| 85 | | ST85 | | | | 1085 | 14 | 260.5 | 162.0 | 28.5 | 38.0 | 140.0 | 90.5 | 198.5 |
| | | ST ^{31/4} | | | | | | | | | | | | |
| | | ST ^{33/8} | | | | | | | | | | | | |
| | | ST ^{37/16} | | | | | | | | | | | | |

Prosimy sprawdzić dostępność

W obudowy mogą być wmontowane wkładki łożyskowe z uszczelkami odrzutnikowymi, jak pokazano na str. 91 i 92. Numer referencyjny tego zespołu posiada przyrostek „FS”, np. ST45FS.

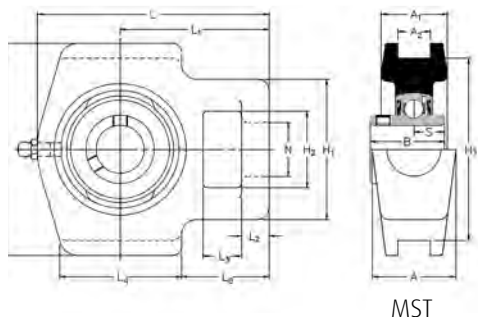


W obudowy mogą być wmontowane wkładki łożyskowe z uszczelkami trójwargowymi, jak pokazano na str. 88-90. Numer referencyjny tego zespołu posiada przedrostek „T”, np. TST45.

| Wymiary (mm) | | | | | | | | | | | | | | Nośność wg ISO | | Zalecana maks. prędkość min ⁻¹ | Masa (około) kg |
|--------------|------|-------|------|------|------|-------|-------|-------|-------|-------|-------|-------|-------|----------------------------------|----------------------------------|---|-----------------|
| H1 | H2 | H3 | N | A | A1 | A2 | B | B1 | B2 | B3 | s | s1 | s2 | dynamiczna C _r niuton | statyczna C _{0r} niuton | | |
| 58.5 | 32.0 | 76.0 | 22.5 | 36.0 | 27.5 | 13.50 | 31.00 | 25.80 | 31.03 | 43.73 | 12.73 | 7.53 | 17.13 | 12800 | 6650 | 6700 | 0.8 |
| 58.5 | 32.0 | 76.0 | 22.5 | 36.0 | 27.5 | 13.50 | 34.10 | 27.30 | 31.03 | 44.43 | 14.33 | 7.53 | 17.53 | 14000 | 7880 | 6250 | 1.0 |
| 64.5 | 37.5 | 89.0 | 22.5 | 36.5 | 30.0 | 13.50 | 38.10 | 31.20 | 35.73 | 48.43 | 15.93 | 9.03 | 18.33 | 19500 | 11300 | 5300 | 1.6 |
| 64.5 | 37.5 | 89.0 | 22.5 | 36.5 | 30.0 | 13.50 | 42.90 | 34.90 | 38.93 | 51.13 | 17.53 | 9.53 | 18.83 | 25700 | 15300 | 4500 | 1.6 |
| 82.5 | 49.5 | 101.0 | 29.0 | 49.5 | 37.0 | 17.50 | 49.20 | 41.20 | 43.73 | 56.33 | 19.03 | 11.03 | 21.43 | 32500 | 19900 | 4000 | 2.7 |
| 82.5 | 49.5 | 101.0 | 29.0 | 49.5 | 37.0 | 17.50 | 49.20 | 41.20 | 43.73 | 56.33 | 19.04 | 11.03 | 21.43 | 32500 | 20500 | 3700 | 2.8 |
| 82.5 | 49.5 | 101.0 | 29.0 | 49.5 | 37.0 | 17.50 | 51.60 | 43.50 | 43.73 | 62.73 | 19.04 | 11.03 | 24.64 | 35000 | 23200 | 3400 | 2.8 |
| 101.0 | 64.0 | 130.0 | 35.0 | 63.5 | 46.5 | 27.00 | 55.60 | - | - | 71.42 | 22.24 | - | 27.84 | 43500 | 29200 | 3100 | 4.2 |
| 101.0 | 64.0 | 130.0 | 35.0 | 63.5 | 46.5 | 27.00 | 65.10 | - | - | 77.84 | 25.44 | - | 31.04 | 48000 | 33000 | 2800 | 5.4 |
| 113.0 | 70.0 | 150.8 | 42.0 | 70.0 | 50.5 | 27.00 | 74.60 | - | - | 85.74 | 30.24 | - | 34.14 | 61000 | 45000 | 2450 | 7.9 |
| 113.0 | 70.0 | 150.8 | 42.0 | 70.0 | 50.5 | 27.00 | 77.80 | - | - | 92.14 | 33.34 | - | 37.34 | 66000 | 49500 | 2300 | 8.4 |
| 113.0 | 70.0 | 165.1 | 42.0 | 70.0 | 54.0 | 27.00 | 82.60 | - | - | - | 33.34 | - | - | 71500 | 54500 | 2150 | 9.0 |
| 124.0 | 73.0 | 173.0 | 47.5 | 79.5 | 68.5 | 46.05 | 85.70 | - | - | - | 34.15 | - | - | 83000 | 64000 | 2000 | 13.7 |

Self-Lube[®] – zespoły naciągowe żeliwne

Seria MST

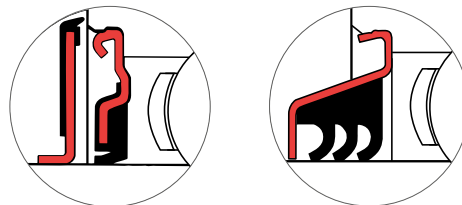


| Średnica wału | | Oznaczenie RHP | Podstawowa wkładka łożyskowa | Grupa obudowy | Wymiary (mm) | | | | | |
|---------------|---------------------------------|------------------------------------|------------------------------|---------------|--------------|-------|------|------|-------|-------|
| mm | cale | | | | L | L1 | L2 | L3 | L4 | L5 |
| 25 | | MST25 | 1030 | 1 | 115.5 | 71.7 | 12.5 | 16.5 | 64.5 | 43.0 |
| | 1 | MST1 | | | | | | | | |
| 30 | | MST30 | 1035 | 2 | 124.0 | 75.5 | 12.5 | 16.5 | 64.5 | 43.0 |
| | 1 ³ / ₁₆ | MST1 ³ / ₁₆ | | | | | | | | |
| | 1 ¹ / ₄ | ** | | | | | | | | |
| 35 | | MST35 | 1040 | 3 | 143.5 | 89.2 | 15.5 | 20.5 | 81.5 | 50.5 |
| | 1 ³ / ₈ | MST1 ³ / ₈ | | | | | | | | |
| | 1 ⁷ / ₁₆ | MST1 ⁷ / ₁₆ | | | | | | | | |
| 40 | | MST40 | 1045 | 4 | 147.0 | 89.2 | 15.5 | 20.5 | 81.5 | 50.5 |
| | 1 ¹ / ₂ | MST1 ¹ / ₂ | | | | | | | | |
| 45 | | MST45 | 1050 | 5 | 151.0 | 90.5 | 15.5 | 20.5 | 81.5 | 50.5 |
| | 1 ¹¹ / ₁₆ | MST1 ¹¹ / ₁₆ | | | | | | | | |
| | 1 ³ / ₄ | MST1 ³ / ₄ | | | | | | | | |
| 50 | | MST50 | 1055 | 6 | 182.0 | 114.0 | 19.0 | 32.0 | 97.5 | 70.0 |
| | 1 ⁷ / ₈ | MST1 ⁷ / ₈ | | | | | | | | |
| | 1 ¹⁵ / ₁₆ | MST1 ¹⁵ / ₁₆ | | | | | | | | |
| | 2 | ** | | | | | | | | |
| 55 | | MST55 | 1060 | 7 | 192.0 | 119.0 | 19.0 | 32.0 | 97.5 | 70.0 |
| | 2 ³ / ₁₆ | MST2 ³ / ₁₆ | | | | | | | | |
| | 2 ¹ / ₄ | ** | | | | | | | | |
| 60 | | MST60 | 1070 | 8 | 222.5 | 137.5 | 21.5 | 32.0 | 120.5 | 77.0 |
| | 2 ⁷ / ₁₆ | MST2 ⁷ / ₁₆ | | | | | | | | |
| | 2 ¹ / ₂ | ** | | | | | | | | |
| 65 | | MST65 | 1075 | 9 | 222.5 | 137.5 | 21.5 | 32.0 | 120.5 | 77.0 |
| 70 | MST70 | | | | | | | | | |
| 75 | | MST75 | 1080 | 10 | 231.5 | 139.5 | 20.5 | 32.0 | 125.0 | 74.0 |
| | 2 ¹⁵ / ₁₆ | MST2 ¹⁵ / ₁₆ | | | | | | | | |
| | 3 | ** | | | | | | | | |
| 80 | | MST80 | 1085 | 11 | 260.5 | 162.0 | 28.5 | 38.0 | 140.0 | 90.5 |
| | 3 ³ / ₁₆ | MST3 ³ / ₁₆ | | | | | | | | |
| | 3 ¹ / ₄ | ** | | | | | | | | |
| 85 | | MST85 | 1090 | 12 | 270.0 | 165.0 | 28.5 | 38.0 | 152.5 | 90.0 |
| 90 | MST90 | | | | | | | | | |
| 95 | | MST95 | 3095 | 13 | 317.5 | 190.5 | 32.0 | 38.0 | 175.0 | 103.0 |
| | 3 ⁷ / ₁₆ | MST3 ⁷ / ₁₆ | | | | | | | | |
| | 3 ¹ / ₂ | MST3 ¹ / ₂ | | | | | | | | |
| 100 | | MST100 | | | | | | | | |
| | 3 ¹⁵ / ₁₆ | MST3 ¹⁵ / ₁₆ | | | | | | | | |
| | 4 | MST4 | | | | | | | | |

Prosimy sprawdzić dostępność

** Dla tych wymiarów otworów należy dokonać doboru z serii ST (zob. str. 56)

W obudowy mogą być wmontowane wkładki łożyskowe z uszczelkami odrzutnikowymi, jak pokazano na str. 91 i 92. Numer referencyjny tego zespołu posiada przyrostek „FS”, np. MST35FS.

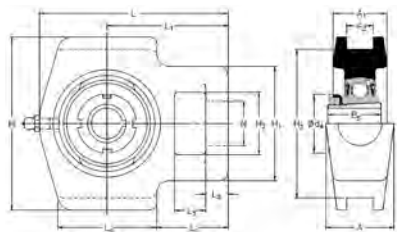


W obudowy mogą być wmontowane wkładki łożyskowe z uszczelkami trójwargowymi, jak pokazano na str. 88-90. Numer referencyjny tego zespołu posiada przedrostek „T”, np. TMST35.

| Wymiary (mm) | | | | | | | | | | Nośność wg ISO | | Zalecana maks. prędkość min ⁻¹ | Masa (około) kg |
|--------------|-------|------|-------|------|------|------|-------|--------|-------|----------------------------------|----------------------------------|---|-----------------|
| H | H1 | H2 | H3 | N | A | A1 | A2 | B | s | dynamiczna C _r niuton | statyczna C _{0r} niuton | | |
| 101.5 | 64.5 | 37.5 | 89.0 | 22.5 | 36.5 | 30.0 | 13.50 | 38.10 | 15.93 | 19500 | 11300 | 5300 | 1.6 |
| 101.5 | 64.5 | 37.5 | 89.0 | 22.5 | 36.5 | 30.0 | 13.50 | 42.90 | 17.53 | 25700 | 15300 | 4500 | 1.6 |
| 118.0 | 82.5 | 49.5 | 101.0 | 29.0 | 49.5 | 37.0 | 17.50 | 49.20 | 19.03 | 32500 | 19900 | 4000 | 2.7 |
| 118.0 | 82.5 | 49.5 | 101.0 | 29.0 | 49.5 | 37.0 | 17.50 | 49.20 | 19.04 | 32500 | 20500 | 3700 | 2.8 |
| 118.0 | 82.5 | 49.5 | 101.0 | 29.0 | 49.5 | 37.0 | 17.50 | 51.60 | 19.04 | 35000 | 23200 | 3400 | 2.8 |
| 146.0 | 101.0 | 64.0 | 130.0 | 35.0 | 63.5 | 46.5 | 27.00 | 55.60 | 22.24 | 43500 | 29200 | 3100 | 4.2 |
| 146.0 | 101.0 | 64.0 | 130.0 | 35.0 | 63.5 | 46.5 | 27.00 | 65.10 | 25.44 | 48000 | 33000 | 2800 | 5.4 |
| 166.5 | 113.0 | 70.0 | 150.8 | 42.0 | 70.0 | 50.5 | 27.00 | 74.60 | 30.24 | 61000 | 45000 | 2450 | 7.9 |
| 166.5 | 113.0 | 70.0 | 150.8 | 42.0 | 70.0 | 50.5 | 27.00 | 77.80 | 33.34 | 66000 | 49500 | 2300 | 8.4 |
| 184.0 | 113.0 | 70.0 | 165.1 | 42.0 | 70.0 | 54.0 | 27.00 | 82.60 | 33.34 | 71500 | 54500 | 2150 | 9.0 |
| 198.5 | 124.0 | 73.0 | 173.0 | 47.5 | 79.5 | 68.5 | 46.05 | 85.70 | 34.15 | 83000 | 64000 | 2000 | 13.7 |
| 216.0 | 127.0 | 73.0 | 190.5 | 47.5 | 79.5 | 68.5 | 46.05 | 96.00 | 39.74 | 96000 | 71500 | 1900 | 16.8 |
| 260.5 | 152.5 | 85.5 | 235.0 | 54.5 | 98.5 | 82.5 | 55.55 | 117.48 | 49.31 | 157000 | 122000 | 1600 | 22.2 |

Self-Lube[®] – zespoły naciągowe żeliwne z tulejami wciąganyymi

Seria MST 1000-K



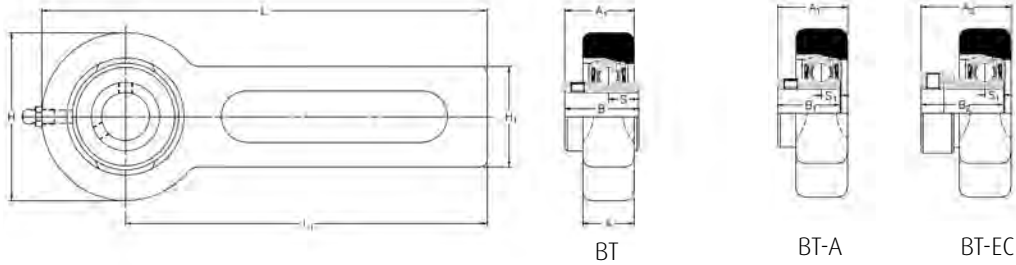
MST1000-K

| Średnica wału | | Oznaczenie RHP kompletnego zespołu | Tylko tuleja, nakrętka i podkładka zabezpieczająca | Zespół bez tulei, nakrętki i podkładki zabezpieczającej | łożysko podsta- wowe | Grupa obudowy | Wymiary (mm) | | | | | |
|---------------|---------|--|---|--|----------------------------|------------------|--------------|-------|------|------|------|------|
| mm | cale | | | | | | L | L1 | L2 | L3 | L4 | L5 |
| 20 | | MST1025-20K | H305 | MST1025K | 1025 | ST3 | 98.0 | 62.0 | 11.5 | 16.0 | 50.5 | 36.5 |
| | 3/4 | MST1025-3/4K | HE305-3/4 | | | | | | | | | |
| 25 | | MST1030-25K | H306 | MST1030K | 1030 | 1 | 115.5 | 71.7 | 12.5 | 16.5 | 64.5 | 43.0 |
| | 15/16 | MST1030-15/16K | HE306-15/16 | | | | | | | | | |
| | 1 | MST1030-1K | HE306-1 | | | | | | | | | |
| 30 | | MST1035-30K | H307 | MST1035K | 1035 | 2 | 124.0 | 75.5 | 12.5 | 16.5 | 64.5 | 43.0 |
| | 1 1/8 | MST1035-1 1/8K | HE307-1 1/8 | | | | | | | | | |
| | 1 3/16 | MST1035-1 3/16K | HE307-1 3/16 | | | | | | | | | |
| 35 | | MST1040-35K | H308 | MST1040K | 1040 | 3 | 143.5 | 89.2 | 15.5 | 20.5 | 81.5 | 50.5 |
| | 1 1/4 | MST1040-1 1/4K | HE308-1 1/4 | | | | | | | | | |
| | 1 3/8 | MST1040-1 3/8K | HE308-1 3/8 | | | | | | | | | |
| 40 | | MST1045-40K | H309 | MST1045K | 1045 | 4 | 147.0 | 89.2 | 15.5 | 20.5 | 81.5 | 50.5 |
| | 1 7/16 | MST1045-1 7/16K | HE309-1 7/16 | | | | | | | | | |
| | 1 1/2 | MST1045-1 1/2K | HE309-1 1/2 | | | | | | | | | |
| 45 | | MST1050-45K | H310 | MST1050K | 1050 | 5 | 151.0 | 90.5 | 15.5 | 20.5 | 81.5 | 50.5 |
| | 1 11/16 | MST1050-1 11/16K | HE310-1 11/16 | | | | | | | | | |
| | 1 3/4 | MST1050-1 3/4K | HE310-1 3/4 | | | | | | | | | |
| 50 | | MST1055-50K | H311 | MST1055K | 1055 | 6 | 182.0 | 114.0 | 19.0 | 32.0 | 97.5 | 70.0 |
| | 1 15/16 | MST1055-1 15/16K | HE3011-1 15/16 | | | | | | | | | |
| | 2 | MST1055-2K | HE3011-2 | | | | | | | | | |

Prosimy sprawdzić dostępność

| Wymiary (mm) | | | | | | | | | | Nośność wg ISO | | Zalecana maks. prędkość | Masa (około) |
|--------------|-------|------|-------|------|------|------|-------|------|------|--|--|-------------------------|--------------|
| H | H1 | H2 | H3 | N | A | A1 | A2 | B5 | d4 | dynamiczna C _r niuton | statyczna C _{or} niuton | min ⁻¹ | kg |
| 88.5 | 58.5 | 32.0 | 76.0 | 22.5 | 36.0 | 27.5 | 13.50 | 29.0 | 38.0 | 14000 | 7880 | 6250 | 1.0 |
| 101.5 | 64.5 | 37.5 | 89.0 | 22.5 | 36.5 | 30.0 | 13.50 | 31.0 | 45.0 | 19500 | 11300 | 5300 | 1.6 |
| 101.5 | 64.5 | 37.5 | 89.0 | 22.5 | 36.5 | 30.0 | 13.50 | 35.0 | 52.0 | 25700 | 15300 | 4500 | 1.6 |
| 118.0 | 82.5 | 49.5 | 101.0 | 29.0 | 49.5 | 37.0 | 17.50 | 36.0 | 58.0 | 32500 | 19900 | 4000 | 2.7 |
| 118.0 | 82.5 | 49.5 | 101.0 | 29.0 | 49.5 | 37.0 | 17.50 | 39.0 | 65.0 | 32500 | 20500 | 3700 | 2.8 |
| 118.0 | 82.5 | 49.5 | 101.0 | 29.0 | 49.5 | 37.0 | 17.50 | 42.0 | 70.0 | 35000 | 23200 | 3400 | 2.8 |
| 146.0 | 101.0 | 64.0 | 130.0 | 35.0 | 63.5 | 46.5 | 27.00 | 45.0 | 75.0 | 43500 | 29200 | 3100 | 4.2 |

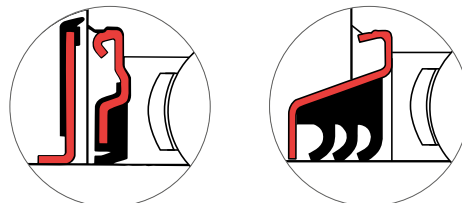
Self-Lube[®] – zespoły żeliwne napinacza pasa przenośnika Seria BT



| Średnica wału | | Oznaczenie RHP | | | Podstawowa wkładka łożyskowa | Grupa obudowy | Wymiary (mm) | | | |
|---------------|------|---------------------------------------|-------------------------------------|--|------------------------------|---------------|--------------|------|-------|-------|
| mm | cale | | | | | | H | H1 | L | L1 |
| 25 | | BT25 | BT25A | BT25EC | 1025 | 3 | 78.0 | 42.5 | 264.0 | 225.0 |
| | | BT⁷/₈ | | BT⁷/₈EC | | | | | | |
| | | BT¹⁵/₁₆ | | BT¹⁵/₁₆EC | | | | | | |
| | | BT1 | BT1A | BT1EC | | | | | | |
| 30 | | BT30L | | | 1035 | 5 | 98.0 | 42.5 | 274.0 | 225.0 |
| 35 | | BT35 | BT35A | BT35EC | | | | | | |
| | | BT¹³/₁₆L | | | | | | | | |
| | | BT¹/₄ | BT¹/₄A | BT¹/₄EC | | | | | | |
| | | BT¹/₈ | | BT¹/₈EC | | | | | | |
| | | BT¹⁷/₁₆ | | BT¹⁷/₁₆EC | | | | | | |

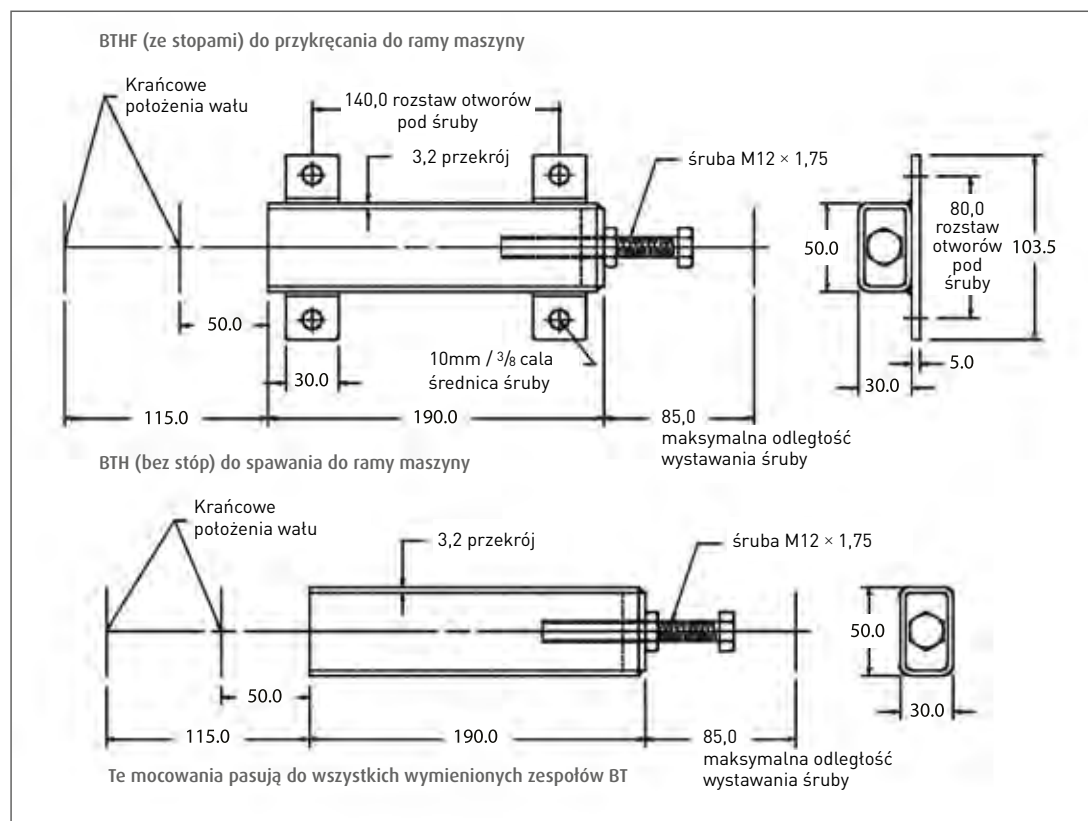
Prosimy sprawdzić dostępność

W obudowy mogą być wmontowane wkładki łożyskowe z uszczelkami odrzutnikowymi, jak pokazano na str. 91 i 92. Numer referencyjny tego zespołu posiada przyrostek „FS”, np. BT35FS.

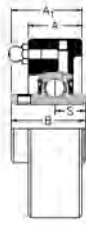


W obudowy mogą być wmontowane wkładki łożyskowe z uszczelkami trójwargowymi, jak pokazano na str. 88-90. Numer referencyjny tego zespołu posiada przedrostek „T”, np. TBT35.

| Wymiary (mm) | | | | | | | | Nośność wg ISO | | Zalecana maks. prędkość min ⁻¹ | Masa (około) kg |
|--------------|-------|-------|-------|-------|-------|-------|------|----------------------------------|----------------------------------|---|-----------------|
| A | A1 | A2 | B | B1 | B2 | s | s1 | dynamiczna C _r niuton | statyczna C _{0r} niuton | | |
| 22.0 | 30.57 | 34.20 | 34.10 | 27.30 | 31.03 | 14.33 | 7.53 | 14000 | 7880 | 6250 | 1.8 |
| 22.0 | 36.13 | 40.20 | 42.90 | 34.90 | 38.93 | 17.53 | 9.53 | 25700 | 15300 | 4500 | 2.3 |



Self-Lube[®] – zespoły żeliwne typu kartridż (węzeł łożyskowy wkładany) Seria SLC

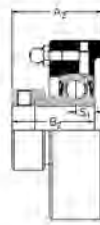


SLC

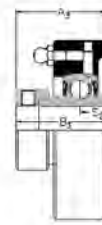
Na str. 21 pokazano tolerancje obudowy odpowiednie dla średnicy zewnętrznej „L”.



SLC-A



SLC-EC

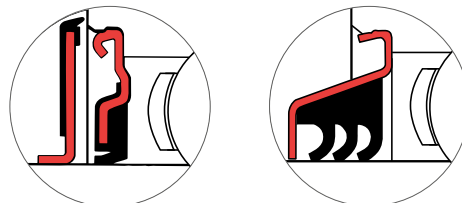


SLC-DEC

| Średnica wału | | Oznaczenie RHP | | | | Podstawowa wkładka łożyskowa | Grupa obudowy | Wymiary (mm) | | | |
|---------------|---------|----------------|------------|--------------|---------------|------------------------------|---------------|--------------|-------|-------|-------|
| mm | cale | | | | | | | L | A | A1 | A2 |
| 12 | | SLC12 | SLC12EC | | | 1017 | 1 | 68.287 | 22.22 | 24.21 | 30.35 |
| 15 | | SLC15 | SLC15EC | | | | | | | | |
| 16 | | SLC16 | SLC16EC | | | | | | | | |
| 17 | | SLC17 | SLC17EC | | | | | | | | |
| | 1/2 | SLC1/2 | SLC1/2EC | | | | | | | | |
| | 5/8 | SLC5/8 | SLC5/8EC | | | | | | | | |
| 20 | | SLC20 | SLC20A | SLC20EC | SLC20DEC | 1020 | 2 | 74.367 | 22.22 | 29.39 | 34.54 |
| | 3/4 | SLC3/4 | SLC3/4A | SLC3/4EC | SLC3/4DEC | | | | | | |
| 25 | | SLC25 | SLC25A | SLC25EC | SLC25DEC | 1025 | 3 | 79.400 | 26.19 | 32.94 | 36.52 |
| | 7/8 | SLC7/8 | | SLC7/8EC | SLC7/8DEC | | | | | | |
| | 15/16 | SLC15/16 | | SLC15/16EC | SLC15/16DEC | | | | | | |
| | 1 | SLC1 | SLC1A | SLC1EC | SLC1DEC | | | | | | |
| 30 | | SLC30 | SLC30A | SLC30EC | SLC30DEC | 1030 | 4 | 88.925 | 27.78 | 36.12 | 40.56 |
| | 1 1/8 | SLC1 1/8 | | SLC1 1/8EC | SLC1 1/8DEC | | | | | | |
| | 1 3/16 | SLC1 3/16 | | SLC1 3/16EC | SLC1 3/16DEC | | | | | | |
| | 1 1/4 | SLC1 1/4R | SLC1 1/4AR | SLC1 1/4ECR | SLC1 1/4DECR | | | | | | |
| 35 | | SLC35 | SLC35A | SLC35EC | SLC35DEC | 1035 | 5 | 98.450 | 30.96 | 40.87 | 44.81 |
| | 1 1/4 | SLC1 1/4 | SLC1 1/4A | SLC1 1/4EC | SLC1 1/4DEC | | | | | | |
| | 1 3/8 | SLC1 3/8 | | SLC1 3/8EC | SLC1 3/8DEC | | | | | | |
| | 1 7/16 | SLC1 7/16 | | SLC1 7/16EC | SLC1 7/16DEC | | | | | | |
| 40 | | SLC40 | SLC40A | SLC40EC | SLC40DEC | 1040 | 6 | 106.387 | 37.31 | 48.84 | 51.28 |
| | 1 1/2 | SLC1 1/2 | SLC1 1/2A | SLC1 1/2EC | SLC1 1/2DEC | | | | | | |
| 45 | | SLC45 | SLC45A | SLC45EC | SLC45DEC | 1045 | 7 | 111.150 | 36.51 | 48.44 | 50.88 |
| | 1 5/8 | SLC1 5/8 | | SLC1 5/8EC | SLC1 5/8DEC | | | | | | |
| | 1 11/16 | SLC1 11/16 | | SLC1 11/16EC | SLC1 11/16DEC | | | | | | |
| | 1 3/4 | SLC1 3/4 | SLC1 3/4A | SLC1 3/4EC | SLC1 3/4DEC | | | | | | |
| 50 | | SLC50 | SLC50A | SLC50EC | SLC50DEC | 1050 | 8 | 115.913 | 37.31 | 51.18 | 51.28 |
| | 1 7/8 | SLC1 7/8 | | SLC1 7/8EC | SLC1 7/8DEC | | | | | | |
| | 1 15/16 | SLC1 15/16 | | SLC1 15/16EC | SLC1 15/16DEC | | | | | | |
| | 2 | SLC2R | | | | | | | | | |
| 55 | | SLC55 | | | SLC55DEC | 1055 | 9 | 125.437 | 40.48 | 53.57 | - |
| | 2 | SLC2 | | | SLC2DEC | | | | | | |
| | 2 1/8 | SLC2 1/8 | | | SLC2 1/8DEC | | | | | | |
| | 2 3/16 | SLC2 3/16 | | | SLC2 3/16DEC | | | | | | |
| 60 | | SLC60 | | | SLC60DEC | 1060 | 10 | 149.250 | 41.28 | 60.30 | - |
| | 2 1/4 | SLC2 1/4 | | | SLC2 1/4DEC | | | | | | |
| | 2 3/8 | SLC2 3/8 | | | SLC2 3/8DEC | | | | | | |
| | 2 7/16 | SLC2 7/16 | | | SLC2 7/16DEC | | | | | | |
| 65 | | SLC65 | | | | 1065 | 10/65 | 149.250 | 41.28 | 60.30 | - |
| | 2 1/2 | SLC2 1/2 | | | SLC2 1/2DEC | | | | | | |

Prosimy sprawdzić dostępność

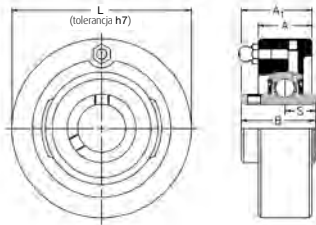
W obudowy mogą być wmontowane wkładki łożyskowe z uszczelkami odrzutnikowymi, jak pokazano na str. 91 i 92. Numer referencyjny tego zespołu posiada przyrostek „FS”, np. SLC25FS.



W obudowy mogą być wmontowane wkładki łożyskowe z uszczelkami trójwargowymi, jak pokazano na str. 88–90. Numer referencyjny tego zespołu posiada przedrostek „T”, np. TSLC25.

| Wymiary (mm) | | | | | | | | Nośność wg ISO | | Zalecana maks. prędkość min ⁻¹ | Masa (około) kg |
|--------------|-------|-------|-------|-------|-------|-------|-------|----------------------------------|----------------------------------|---|-----------------|
| A3 | B | B1 | B2 | B3 | s | s1 | s2 | dynamiczna C _r niuton | statyczna C _{0r} niuton | | |
| - | 27.38 | - | 28.63 | - | 11.58 | 6.53 | - | 9550 | 4800 | 7000 | 0.6 |
| 37.67 | 31.00 | 25.80 | 31.03 | 43.73 | 12.73 | 7.53 | 17.13 | 12800 | 6650 | 6700 | 0.7 |
| 40.06 | 34.10 | 27.30 | 31.03 | 44.43 | 14.33 | 7.53 | 17.53 | 14000 | 7880 | 6250 | 0.8 |
| 43.99 | 38.10 | 31.20 | 35.73 | 48.43 | 15.93 | 9.03 | 18.33 | 19500 | 11300 | 5300 | 1.1 |
| 47.78 | 42.90 | 34.90 | 38.93 | 51.13 | 17.53 | 9.53 | 18.83 | 25700 | 15300 | 4500 | 1.4 |
| 53.57 | 49.20 | 41.20 | 43.73 | 56.33 | 19.03 | 11.03 | 21.43 | 32500 | 19900 | 4000 | 2.0 |
| 53.16 | 49.20 | 41.20 | 43.73 | 56.33 | 19.04 | 11.04 | 21.43 | 32500 | 20500 | 3700 | 2.1 |
| 56.72 | 51.60 | 43.50 | 43.73 | 62.73 | 19.04 | 11.04 | 24.64 | 35000 | 23200 | 3400 | 2.3 |
| 63.83 | 55.60 | - | - | 71.42 | 22.24 | - | 27.82 | 43500 | 29200 | 3100 | 2.9 |
| 67.39 | 65.10 | - | - | 77.84 | 25.44 | - | 31.04 | 48000 | 33000 | 2800 | 4.4 |
| 67.39 | 65.10 | - | - | 85.74 | 25.44 | - | 34.14 | 57500 | 40000 | 2600 | 4.5 |

Self-Lube[®] – zespoły żeliwne typu kartridż (węzeł łożyskowy wkładany) Seria MSC



MSC

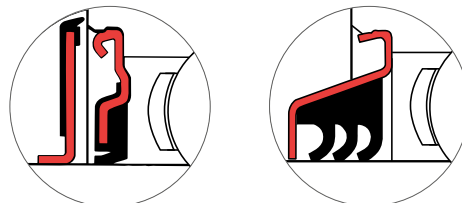
Na str. 21 pokazano tolerancje obudowy odpowiednie dla średnicy zewnętrznej „L”.

| Średnica wału | | Oznaczenie RHP | Podstawa wkładka łożyskowa | Grupa obudowy | Wymiary (mm) | |
|---------------|---------------------------------|------------------------------------|----------------------------|---------------|--------------|-------|
| mm | cale | | | | L | A |
| 25 | | MSC25 | 1030 | 1 | 88.925 | 27.78 |
| 30 | | ** | | | | |
| | 1 | MSC1 | | | | |
| 35 | | ** | 1035 | 2 | 98.450 | 30.96 |
| | 1 ³ / ₁₆ | MSC1 ³ / ₁₆ | | | | |
| | 1 ¹ / ₄ | ** | | | | |
| 40 | | ** | 1040 | 3 | 106.387 | 37.31 |
| | 1 ³ / ₈ | MSC1 ³ / ₈ | | | | |
| | 1 ⁷ / ₁₆ | MSC1 ⁷ / ₁₆ | | | | |
| 45 | | ** | 1045 | 4 | 111.150 | 36.51 |
| | 1 ¹ / ₂ | MSC1 ¹ / ₂ | | | | |
| 50 | | ** | 1050 | 5 | 115.913 | 37.31 |
| | 1 ¹¹ / ₁₆ | MSC1 ¹¹ / ₁₆ | | | | |
| | 1 ³ / ₄ | MSC1 ³ / ₄ | | | | |
| 55 | | ** | 1055 | 6 | 125.437 | 40.48 |
| | 1 ⁷ / ₈ | MSC1 ⁷ / ₈ | | | | |
| | 1 ¹⁵ / ₁₆ | MSC1 ¹⁵ / ₁₆ | | | | |
| | 2 | ** | | | | |
| 60 | | ** | 1060 | 7 | 149.250 | 41.28 |
| | 2 ³ / ₁₆ | MSC2 ³ / ₁₆ | | | | |
| | 2 ¹ / ₄ | ** | | | | |
| 65 | | MSC65 | 1070 | 8 | 158.775 | 50.80 |
| 70 | | MSC70 | | | | |
| | 2 ⁷ / ₁₆ | MSC2 ⁷ / ₁₆ | | | | |
| | 2 ¹ / ₂ | MSC2 ¹ / ₂ | | | | |
| 75 | | MSC75 | 1075 | 9 | 168.300 | 50.80 |
| | 2 ¹¹ / ₁₆ | MSC2 ¹¹ / ₁₆ | | | | |
| | 2 ³ / ₄ | MSC2 ³ / ₄ | | | | |
| 80 | | MSC80 | 1080 | 10 | 177.825 | 55.56 |
| | 2 ¹⁵ / ₁₆ | MSC2 ¹⁵ / ₁₆ | | | | |
| | 3 | MSC3 | | | | |
| 85 | | MSC85 | 1085 | 11 | 188.937 | 63.50 |
| | 3 ³ / ₁₆ | MSC3 ³ / ₁₆ | | | | |
| | 3 ¹ / ₄ | MSC3 ¹ / ₄ | | | | |
| 90 | | MSC90 | 1090 | 12 | 207.987 | 63.50 |
| | 3 ⁷ / ₁₆ | MSC3 ⁷ / ₁₆ | | | | |
| | 3 ¹ / ₂ | MSC3 ¹ / ₂ | | | | |
| 95 | | MSC95 | 3095 | 13 | 241.325 | 76.20 |
| 100 | | MSC100 | | | | |
| | 3 ¹⁵ / ₁₆ | MSC3 ¹⁵ / ₁₆ | | | | |
| | 4 | MSC4 | | | | |

Prosimy sprawdzić dostępność

** Dla tych wymiarów otworów należy dokonać doboru z serii SLC (zob. str. 64)

W obudowy mogą być wmontowane wkładki łożyskowe z uszczelkami odrzutnikowymi, jak pokazano na str. 91 i 92. Numer referencyjny tego zespołu posiada przyrostek „FS”, np. MSC 1 ³/₁₆ FS.

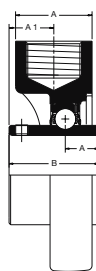
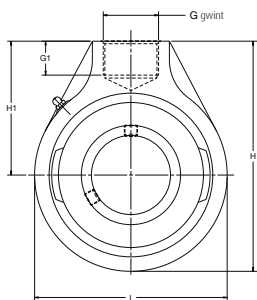


W obudowy mogą być wmontowane wkładki łożyskowe z uszczelkami trójwargowymi, jak pokazano na str. 88-90. Numer referencyjny tego zespołu posiada przedrostek „T”, np. TMS 1 ³/₁₆.

| A1 | B | s | Nośność wg ISO | | Zalecana maks. prędkość min ⁻¹ | Masa (około) kg |
|--------|--------|-------|----------------------------------|----------------------------------|---|-----------------|
| | | | dynamiczna C _r niuton | statyczna C _{0r} niuton | | |
| 36.12 | 38.10 | 15.93 | 19500 | 11300 | 5300 | 1.1 |
| 40.87 | 42.90 | 17.53 | 25700 | 15300 | 4500 | 1.4 |
| 48.84 | 49.20 | 19.03 | 32500 | 19900 | 4000 | 2.0 |
| 48.44 | 49.20 | 19.04 | 32500 | 20500 | 3700 | 2.1 |
| 51.18 | 51.60 | 19.04 | 35000 | 23200 | 3400 | 2.3 |
| 53.57 | 55.60 | 22.24 | 43500 | 29200 | 3100 | 2.9 |
| 60.30 | 65.10 | 25.44 | 48000 | 33000 | 2800 | 4.4 |
| 69.80 | 74.60 | 30.24 | 61000 | 45000 | 2450 | 5.3 |
| 69.80 | 77.80 | 33.34 | 66000 | 49500 | 2300 | 6.2 |
| 76.99 | 82.60 | 33.34 | 71500 | 54500 | 2150 | 7.9 |
| 83.29 | 85.70 | 34.15 | 83000 | 64000 | 2000 | 9.3 |
| 88.06 | 96.00 | 39.74 | 96000 | 71500 | 1900 | 12.7 |
| 106.38 | 117.48 | 49.31 | 157000 | 122000 | 1600 | 20.4 |

Self-Lube[®] – zespoły żeliwne podwieszane

Seria SCHB (gwint BSP), Seria SCH (gwint metryczny)**



SCHB (gwint BSP)

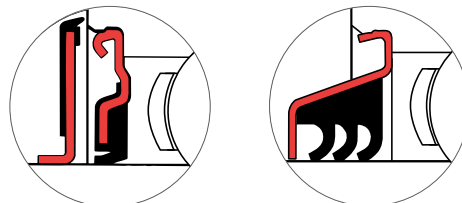
SCH (gwint metryczny)

| Średnica wału | | Oznaczenie RHP | | Podstawowa wkładka łożyskowa | Grupa obudowy | Wymiary (mm) | | | |
|---------------|---------|----------------|------------|------------------------------|---------------|--------------|---------------|---------|-------|
| mm | cale | | | | | G (BSP) | G (metryczne) | G1 (mm) | L |
| 20 | | SCHB20 | SCH20 | 1020 | 0 | 1/2 | M16 x 2.00 | 19.0 | 67.0 |
| | 3/4 | SCHB3/4 | SCH3/4 | | | | | | |
| 25 | | SCHB25 | SCH25 | 1030 | 2/0 | 1/2 | M20 x 2.50 | 16.0 | 89.0 |
| 30 | | SCHB30 | SCH30 | | | | | | |
| | 7/8 | SCHB7/8 | SCH7/8 | | | | | | |
| | 1 | SCHB1 | SCH1 | | | | | | |
| | 1 1/8 | SCHB1 1/8 | SCH1 1/8 | | | | | | |
| 35 | | SCHB35 | SCH35 | 1035 | 1 | 3/4 | M24 x 3.00 | 19.0 | 97.0 |
| | 1 3/16 | SCHB1 3/16 | SCH1 3/16 | | | | | | |
| | 1 1/4 | SCHB1 1/4 | SCH1 1/4 | | | | | | |
| | 1 3/8 | SCHB1 3/8 | SCH1 3/8 | | | | | | |
| 40 | | SCHB40 | SCH40 | 1040 | 2 | 3/4 | M24 x 3.00 | 19.0 | 107.0 |
| | 1 7/16 | SCHB1 7/16 | SCH1 7/16 | | | | | | |
| | 1 1/2 | SCHB1 1/2 | SCH1 1/2 | | | | | | |
| 45 | | SCHB45 | SCH45 | 1050 | 3 | 1 | M24 x 3.00 | 21.0 | 121.0 |
| 50 | | SCHB50 | SCH50 | | | | | | |
| | 1 11/16 | SCHB1 11/16 | SCH1 11/16 | | | | | | |
| | 1 3/4 | SCHB1 3/4 | SCH1 3/4 | | | | | | |
| | 1 7/8 | SCHB1 7/8 | SCH1 7/8 | | | | | | |
| | 1 15/16 | SCHB1 15/16 | SCH1 15/16 | | | | | | |
| | 2 | SCHB2 | SCH2 | | | | | | |
| 55 | | SCHB55 | SCH55 | 1060 | 4 | 1 1/4 | M42 x 4.50 | 29.0 | 146.5 |
| 60 | | SCHB60 | SCH60 | | | | | | |
| | 2 3/16 | SCHB2 3/16 | SCH2 3/16 | | | | | | |
| | 2 1/4 | SCHB2 1/4 | SCH2 1/4 | | | | | | |
| | 2 3/8 | SCHB2 3/8 | SCH2 3/8 | | | | | | |
| | 2 7/16 | SCHB2 7/16 | SCH2 7/16 | | | | | | |
| | 2 1/2 | SCHB2 1/2 | SCH2 1/2 | 1065 | 4/65 | 1 1/4 | M42 x 4.50 | 29.0 | 143.0 |
| 65 | | SCHB65 | SCH65 | 1075 | 5 | 1 1/2 | M48 x 5.00 | 32.0 | 165.0 |
| 70 | | SCHB70 | SCH70 | | | | | | |
| 75 | | SCHB75 | SCH75 | | | | | | |
| | 2 11/16 | SCHB2 11/16 | SCH2 11/16 | | | | | | |
| | 2 3/4 | SCHB2 3/4 | SCH2 3/4 | | | | | | |
| | 2 7/8 | SCHB2 7/8 | SCH2 7/8 | | | | | | |
| | 2 15/16 | SCHB2 15/16 | SCH2 15/16 | | | | | | |
| 80 | | SCHB80 | SCH80 | 1080 | 6 | 1 1/2 | M48 x 5.00 | 32.0 | 174.5 |
| | 3 | SCHB3 | SCH3 | | | | | | |
| | 3 3/16 | SCHB3 3/16 | SCH3 3/16 | | | | | | |

Prosimy sprawdzić dostępność

**Seria ta jest identyczna jak seria SCHB z wyjątkiem szczegółów dotyczących gwintu

W obudowy mogą być wmontowane wkładki łożyskowe z uszczelkami odrzutnikowymi, jak pokazano na str. 91 i 92. Numer referencyjny tego zespołu posiada przyrostek „FS”, np. SCHB35FS.

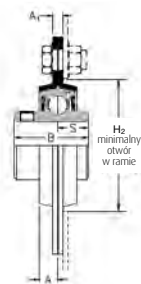
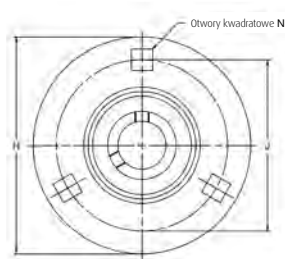


W obudowy mogą być wmontowane wkładki łożyskowe z uszczelkami trójwargowymi, jak pokazano na str. 88-90. Numer referencyjny tego zespołu posiada przedrostek „T”, np. TSCHB35.

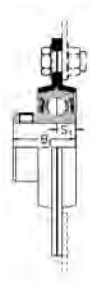
| Wymiary (mm) | | | | | | Nośność wg ISO | | Zalecana maks. prędkość min ⁻¹ | Masa (około) kg |
|--------------|-------|------|-------|-------|-------|----------------------------------|----------------------------------|---|-----------------|
| H | H1 | A | A1 | B | s | dynamiczna C _r niuton | statyczna C _{0r} niuton | | |
| 91.6 | 57.2 | 34.0 | 18.26 | 30.96 | 12.75 | 12800 | 6650 | 6700 | 0.8 |
| 107.5 | 61.9 | 33.5 | 22.22 | 38.10 | 15.93 | 19500 | 11300 | 5300 | 1.2 |
| 119.0 | 69.8 | 39.5 | 25.40 | 42.88 | 17.53 | 25700 | 15300 | 4500 | 1.5 |
| 127.5 | 73.0 | 39.5 | 27.79 | 49.23 | 19.10 | 32500 | 19900 | 4000 | 1.6 |
| 144.0 | 82.6 | 47.5 | 27.79 | 51.59 | 19.10 | 35000 | 23200 | 3400 | 2.2 |
| 175.0 | 101.6 | 58.5 | 30.94 | 65.07 | 25.45 | 48000 | 33000 | 2800 | 3.5 |
| 173.5 | 101.6 | 58.5 | 30.94 | 65.07 | 25.45 | 57500 | 40000 | 2600 | 3.4 |
| 200.6 | 117.5 | 70.0 | 34.94 | 77.77 | 33.37 | 66000 | 49500 | 2300 | 6.8 |
| 211.5 | 123.8 | 71.5 | 41.29 | 82.55 | 33.37 | 71500 | 54500 | 2150 | 8.1 |

Self-Lube[®] – zespoły z obudowami kołnierzowymi ze stali tłoczonej (obudowy ocynkowane)

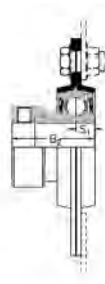
Seria SLFE**



SLFE



SLFE-A



SLFE-EC



SLFE-DEC

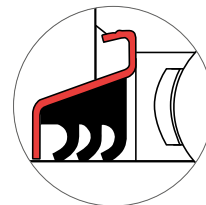
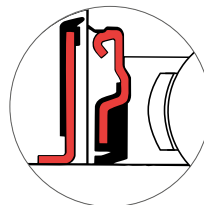
| Średnica wału | | Oznaczenie RHP | | | | Podstawowa wkładka łożyskowa | Grupa obudowy | Wymiary (mm) | | | |
|---------------|---------|----------------|-------------|---------------|----------------|------------------------------|---------------|--------------|-------|-------|-------|
| mm | cale | | | | | | | H | H2 | J | N |
| 12 | | SLFE12 | | SLFE12EC | | 1017 | 1 | 81.0 | 49.0 | 63.5 | 7.1 |
| 15 | | SLFE15 | | SLFE15EC | | | | | | | |
| 16 | | SLFE16 | | SLFE16EC | | | | | | | |
| 17 | | SLFE17 | | SLFE17A | | | | | | | |
| | 1/2 | SLFE1/2 | | SLFE1/2EC | | | | | | | |
| | 5/8 | SLFE5/8 | | SLFE5/8EC | | | | | | | |
| 20 | | SLFE20 | SLFE20A | SLFE20EC | SLFE20DEC | 1020 | 2 | 90.5 | 55.0 | 71.5 | 8.7 |
| | 3/4 | SLFE3/4 | SLFE3/4A | SLFE3/4EC | SLFE3/4DEC | | | | | | |
| 25 | | SLFE25 | SLFE25A | SLFE25EC | SLFE25DEC | 1025 | 3 | 95.2 | 60.0 | 76.0 | 8.7 |
| | 7/8 | SLFE7/8 | | SLFE7/8EC | SLFE7/8DEC | | | | | | |
| | 15/16 | SLFE15/16 | | SLFE15/16EC | SLFE15/16DEC | | | | | | |
| | 1 | SLFE1 | SLFE1A | SLFE1EC | SLFE1DEC | | | | | | |
| 30 | | SLFE30 | SLFE30A | SLFE30EC | SLFE30DEC | 1030 | 4 | 112.7 | 71.0 | 90.5 | 10.5 |
| | 1 1/8 | SLFE1 1/8 | | SLFE1 1/8EC | SLFE1 1/8DEC | | | | | | |
| | 1 3/16 | SLFE1 3/16 | | SLFE1 3/16EC | SLFE1 3/16DEC | | | | | | |
| | 1 1/4 | SLFE1 1/4 | SLFE1 1/4A | SLFE1 1/4EC | SLFE1 1/4DEC | | | | | | |
| | 1 1/4 | SLFE1 1/4L | SLFE1 1/4AL | SLFE1 1/4ECL | SLFE1 1/4DECL | | 1035 | 5 | 122.2 | 81.0 | 100.0 |
| | 35 | SLFE35 | SLFE35A | SLFE35EC | SLFE35DEC | | | | | | |
| | 1 3/8 | SLFE1 3/8 | | SLFE1 3/8EC | SLFE1 3/8DEC | | | | | | |
| | 1 7/16 | SLFE1 7/16 | | SLFE1 7/16EC | SLFE1 7/16DEC | | | | | | |
| 40 | | SLFE40 | SLFE40A | SLFE40EC | SLFE40DEC | 1040 | 6 | 147.8 | 91.0 | 119.0 | 13.5 |
| | 1 1/2 | SLFE1 1/2 | SLFE1 1/2A | SLFE1 1/2EC | SLFE1 1/2DEC | | | | | | |
| 45 | | SLFE45 | SLFE45A | SLFE45EC | SLFE45DEC | 1045 | 7 | 149.2 | 97.0 | 120.5 | 13.5 |
| | 1 5/8 | SLFE1 5/8 | | SLFE1 5/8EC | SLFE1 5/8DEC | | | | | | |
| | 1 11/16 | SLFE1 11/16 | | SLFE1 11/16EC | SLFE1 11/16DEC | | | | | | |
| | 1 3/4 | SLFE1 3/4 | SLFE1 3/4A | SLFE1 3/4EC | SLFE1 3/4DEC | | | | | | |
| 50 | | SLFE50 | SLFE50A | SLFE50EC | SLFE50DEC | 1050 | 8 | 155.6 | 102.0 | 127.0 | 13.5 |
| | 1 7/8 | SLFE1 7/8 | | SLFE1 7/8EC | SLFE1 7/8DEC | | | | | | |
| | 1 15/16 | SLFE1 15/16 | | SLFE1 15/16EC | SLFE1 15/16DEC | | | | | | |
| | 2 | SLFE2R | | | | | | | | | |
| 55 | | SLFE55 | | SLFE55DEC | | 1055 | 9 | 166.6 | 113.0 | 138.0 | 13.5 |
| | 2 | SLFE2 | | SLFE2DEC | | | | | | | |
| | 2 1/8 | SLFE2 1/8 | | SLFE2 1/8DEC | | | | | | | |
| | 2 3/16 | SLFE2 3/16 | | SLFE2 3/16DEC | | | | | | | |
| 60 | | SLFE60 | | SLFE60DEC | | 1060 | 10 | 176.2 | 122.0 | 147.6 | 13.5 |
| | 2 1/4 | SLFE2 1/4 | | SLFE2 1/4DEC | | | | | | | |
| | 2 7/16 | SLFE2 7/16 | | SLFE2 7/16DEC | | | | | | | |

Prosimy sprawdzić dostępność

Zmodyfikowana wersja tych zespołów dostępna jest w przypadku montażu osłony, szczegóły – zob. str. 93.

**Obudowy z grup 6 do 10 włącznie posiadają cztery otwory na śruby. Uwaga: zespoły te nie mają funkcji dosmarowywania.

W obudowy mogą być wmontowane wkładki łożyskowe z uszczelkami odrzutnikowymi, jak pokazano na str. 91 i 92. Numer referencyjny tego zespołu posiada przyrostek „FS”, np. SLFE25FS.

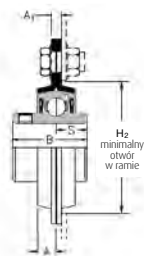
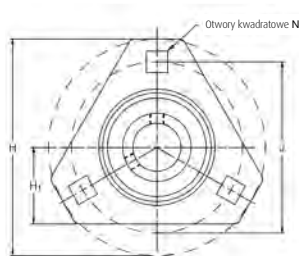


W obudowy mogą być wmontowane wkładki łożyskowe z uszczelkami trójwargowymi, jak pokazano na str. 88-90. Numer referencyjny tego zespołu posiada przedrostek „T”, np. TSLFE25.

| Wymiary (mm) | | | | | | | | | Maksymalne obciążenie promieniowe obudowy niuton | Zalecana maks. prędkość min ⁻¹ | Masa (około) kg |
|--------------|------|-------|-------|-------|-------|-------|-------|-------|--|---|-----------------|
| A | A1 | B | B1 | B2 | B3 | s | s1 | s2 | | | |
| 6.7 | 4.0 | 27.38 | - | 28.63 | - | 11.58 | 6.53 | - | 2670 | 3000 | 0.2 |
| 7.7 | 4.0 | 31.00 | 25.80 | 31.03 | 43.73 | 12.73 | 7.53 | 17.13 | 3110 | 3000 | 0.3 |
| 8.7 | 4.0 | 34.10 | 27.30 | 31.03 | 44.43 | 14.33 | 7.53 | 17.53 | 3560 | 2500 | 0.4 |
| 9.0 | 5.0 | 38.10 | 31.20 | 35.73 | 48.43 | 15.93 | 9.03 | 18.33 | 4890 | 2500 | 0.7 |
| 10.5 | 10.0 | 5.0 | 42.90 | 34.90 | 38.93 | 51.13 | 17.53 | 9.53 | 18.83 | 6250 | 2000 |
| 10.0 | 7.0 | 49.20 | 41.20 | 43.73 | 56.33 | 19.03 | 11.03 | 21.43 | 7550 | 2000 | 1.5 |
| 10.0 | 7.0 | 49.20 | 41.20 | 43.73 | 56.33 | 19.04 | 11.04 | 21.43 | 7550 | 2000 | 1.6 |
| 10.5 | 8.0 | 51.60 | 43.50 | 43.73 | 62.73 | 19.04 | 11.04 | 24.64 | 8450 | 1500 | 1.8 |
| 10.7 | 8.0 | 55.60 | - | - | 71.42 | 22.24 | - | 27.84 | 10200 | 1500 | 2.2 |
| 11.9 | 8.0 | 65.10 | - | - | 77.84 | 25.44 | - | 31.04 | 11300 | 1500 | 2.5 |

Self-Lube[®] – zespoły z obudowami kołnierzowymi ze stali tłoczonej (obudowy ocynkowane)

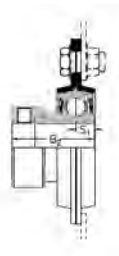
Seria SLFT**



SLFT



SLFT-A



SLFT-EC



SLFT-DEC

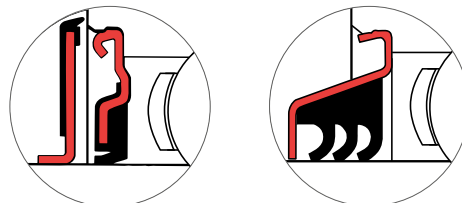
| Średnica wału | | Oznaczenie RHP | | | | Podstawowa wkładka łożyskowa | Grupa obudowy | Wymiary (mm) | | | | |
|---------------|--------|----------------|-------------|--------------|---------------|------------------------------|---------------|--------------|------|------|-------|------|
| mm | cale | | | | | | | H | H1 | H2 | J | N |
| 25 | | SLFT25 | SLFT25A | SLFT25EC | SLFT25DEC | 1025 | 3 | 95.2 | 34.2 | 60.0 | 76.0 | 8.7 |
| | 7/8 | SLFT7/8 | | SLFT7/8EC | SLFT7/8DEC | | | | | | | |
| | 15/16 | SLFT15/16 | | SLFT15/16EC | SLFT15/16DEC | | | | | | | |
| | 1 | SLFT1 | SLFT1A | SLFT1EC | SLFT1DEC | | | | | | | |
| 30 | | SLFT30 | SLFT30A | SLFT30EC | SLFT30DEC | 1030 | 4 | 112.7 | 40.2 | 71.0 | 90.5 | 10.5 |
| | 1 1/8 | SLFT1 1/8 | | SLFT1 1/8EC | SLFT1 1/8DEC | | | | | | | |
| | 1 3/16 | SLFT1 3/16 | | SLFT1 3/16EC | SLFT1 3/16DEC | | | | | | | |
| | 1 1/4 | SLFT1 1/4 | SLFT1 1/4A | SLFT1 1/4EC | SLFT1 1/4DEC | | | | | | | |
| | 1 1/4 | SLFT1 1/4L | SLFT1 1/4AL | SLFT1 1/4ECL | SLFT1 1/4DECL | 1035 | 5 | 122.2 | 44.2 | 81.0 | 100.0 | 10.5 |
| 35 | SLFT35 | SLFT35A | SLFT35EC | SLFT35DEC | | | | | | | | |
| | 1 3/8 | SLFT1 3/8 | | SLFT1 3/8EC | SLFT1 3/8DEC | | | | | | | |
| | 1 7/16 | SLFT1 7/16 | | SLFT1 7/16EC | SLFT1 7/16DEC | | | | | | | |

Prosimy sprawdzić dostępność

Zmodyfikowana wersja tych zespołów dostępna jest w przypadku montażu osłony, szczegóły – zob. str. 93.

**Uwaga: Zespoły te nie mają funkcji dosmarowywania.

W obudowy mogą być wmontowane wkładki łożyskowe z uszczelkami odrzutnikowymi, jak pokazano na str. 91 i 92. Numer referencyjny tego zespołu posiada przyrostek „FS”, np. SLFE25FS.



W obudowy mogą być wmontowane wkładki łożyskowe z uszczelkami trójwargowymi, jak pokazano na str. 88–90. Numer referencyjny tego zespołu posiada przedrostek „T”, np. TSLFE25.

| Wymiary (mm) | | | | | | | | | Maksymalne obciążenie promieniowe obudowy niuton | Zalecana maks. prędkość min ⁻¹ | Masa (około) kg |
|--------------|-----|-------|-------|-------|-------|-------|------|-------|--|---|-----------------|
| A | A1 | B | B1 | B2 | B3 | s | s1 | s2 | | | |
| 8.7 | 4.0 | 34.11 | 27.35 | 30.92 | 44.40 | 14.33 | 7.56 | 17.49 | 3560 | 2500 | 0.3 |
| 9.0 | 5.0 | 38.10 | 31.21 | 35.68 | 48.42 | 15.93 | 9.03 | 18.33 | 4890 | 2500 | 0.5 |
| 10.0 | 5.0 | 42.88 | 34.90 | 38.88 | 51.18 | 17.53 | 9.55 | 18.89 | 6250 | 2000 | 0.7 |

Self-Lube[®] – zespoły z obudowami kołnierzowymi ze stali tłoczonej (obudowy ocynkowane)

Seria SLFL**



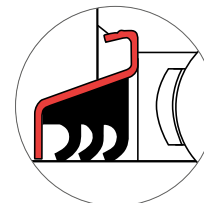
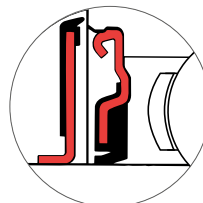
| Średnica wału | | Oznaczenie RHP | | | | Podstawowa wkładka łożyskowa | Grupa obudowy | Wymiary (mm) | | | | |
|---------------|--------|----------------|-------------|---------------|----------------|------------------------------|---------------|--------------|-------|------|------|------|
| mm | cale | | | | | | | L | H | H2 | J | N |
| 12 | | SLFL12 | SLFL12EC | | | 1017 | 1 | 58.7 | 81.0 | 49.0 | 63.5 | 7.1 |
| 15 | | SLFL15 | SLFL15EC | | | | | | | | | |
| 16 | | SLFL16 | SLFL16EC | | | | | | | | | |
| 17 | | SLFL17 | SLFL17EC | | | | | | | | | |
| | 1/2 | SLFL 1/2 | SLFL 1/2EC | | | | | | | | | |
| | 5/8 | SLFL 5/8 | SLFL 5/8EC | | | | | | | | | |
| 20 | | SLFL20 | SLFL20A | SLFL20EC | SLFL20DEC | 1020 | 2 | 66.7 | 90.5 | 55.0 | 71.5 | 8.7 |
| | 3/4 | SLFL 3/4 | SLFL 3/4A | SLFL 3/4EC | SLFL 3/4DEC | | | | | | | |
| 25 | | SLFL25 | SLFL25A | SLFL25EC | SLFL25DEC | 1025 | 3 | 71.0 | 95.3 | 60.0 | 76.0 | 8.7 |
| | 7/8 | SLFL 7/8 | | SLFL 7/8EC | SLFL 7/8DEC | | | | | | | |
| | 15/16 | SLFL 15/16 | | SLFL 15/16EC | SLFL 15/16DEC | | | | | | | |
| | 1 | SLFL1 | SLFL1A | SLFL1EC | SLFL1DEC | | | | | | | |
| 30 | | SLFL30 | SLFL30A | SLFL30EC | SLFL30DEC | 1030 | 4 | 84.1 | 112.7 | 71.0 | 90.5 | 10.5 |
| | 1 1/8 | SLFL 1 1/8 | | SLFL 1 1/8EC | SLFL 1 1/8DEC | | | | | | | |
| | 1 3/16 | SLFL 1 3/16 | | SLFL 1 3/16EC | SLFL 1 3/16DEC | | | | | | | |
| | 1 1/4 | SLFL 1 1/4 | SLFL 1 1/4A | SLFL 1 1/4EC | SLFL 1 1/4DEC | | | | | | | |

Prosimy sprawdzić dostępność

Zmodyfikowana wersja tych zespołów dostępna jest w przypadku montażu osłony, szczegóły – zob. str. 93.

**Uwaga: Zespoły te nie mają funkcji dosmarowywania.

W obudowy mogą być wmontowane wkładki łożyskowe z uszczelkami odrzutnikowymi, jak pokazano na str. 91 i 92. Numer referencyjny tego zespołu posiada przyrostek „FS”, np. SLFL1FS.



W obudowy mogą być wmontowane wkładki łożyskowe z uszczelkami trójwargowymi, jak pokazano na str. 88-90. Numer referencyjny tego zespołu posiada przedrostek „T”, np. TSLFL1.

| Wymiary (mm) | | | | | | | | | Maksymalne obciążenie promieniowe obudowy niuton | Zalecana maks. prędkość min ⁻¹ | Masa (około) kg |
|--------------|-----|-------|-------|-------|-------|-------|------|-------|--|---|-----------------|
| A | A1 | B | B1 | B2 | B3 | s | s1 | s2 | | | |
| 6.7 | 4.0 | 27.38 | - | 28.54 | - | 11.55 | 6.55 | - | 2670 | 3000 | 0.2 |
| 7.7 | 4.0 | 30.96 | 25.77 | 30.92 | 43.62 | 12.73 | 7.56 | 17.13 | 3110 | 3000 | 0.3 |
| 8.7 | 4.0 | 34.11 | 27.35 | 30.92 | 44.40 | 14.33 | 7.56 | 17.49 | 3560 | 2500 | 0.3 |
| 9.0 | 5.0 | 38.10 | 31.21 | 35.68 | 48.42 | 15.93 | 9.04 | 18.32 | 4890 | 2500 | 0.5 |

Self-Lube[®] – zespoły stojące z obudowami ze stali tłoczonej (obudowy ocynkowane)

Seria LPB**



| Średnica wału | | Oznaczenie RHP | | | | Podstawowa wkładka łożyskowa | Grupa obudowy | Wymiary (mm) | | | | |
|---------------|--------|----------------|------------|-------------|--------------|------------------------------|---------------|--------------|------|-----|------|-------|
| mm | cale | | | | | | | L | H | H1 | H2 | J |
| 12 | | LPB12 | | LPB12EC | | 1017 | 1 | 85.7 | 22.2 | 2.4 | 43.2 | 68.0 |
| 15 | | LPB15 | | LPB15EC | | | | | | | | |
| 16 | | LPB16 | | LPB16EC | | | | | | | | |
| 17 | | LPB17 | | LPB17EC | | | | | | | | |
| | 1/2 | LPB1/2 | | LPB1/2EC | | | | | | | | |
| | 5/8 | LPB5/8 | | LPB5/8EC | | | | | | | | |
| 20 | | LPB20 | LPB20A | LPB20EC | LPB20DEC | 1020 | 2 | 98.4 | 25.4 | 2.4 | 49.9 | 76.0 |
| | 3/4 | LPB3/4 | LPB3/4A | LPB3/4EC | LPB3/4DEC | | | | | | | |
| 25 | | LPB25 | LPB25A | LPB25EC | LPB25DEC | 1025 | 3 | 108.0 | 28.6 | 2.8 | 55.8 | 86.0 |
| | 7/8 | LPB7/8 | | LPB7/8EC | LPB7/8DEC | | | | | | | |
| | 15/16 | LPB15/16 | | LPB15/16EC | LPB15/16DEC | | | | | | | |
| | 1 | LPB1 | LPB1A | LPB1EC | LPB1DEC | | | | | | | |
| 30 | | LPB30 | LPB30A | LPB30EC | LPB30DEC | 1030 | 4 | 117.5 | 33.3 | 3.6 | 65.7 | 95.0 |
| | 1 1/8 | LPB1 1/8 | | LPB1 1/8EC | LPB1 1/8DEC | | | | | | | |
| | 1 3/16 | LPB1 3/16 | | LPB1 3/16EC | LPB1 3/16DEC | | | | | | | |
| | 1 1/4 | LPB1 1/4 | LPB1 1/4A | LPB1 1/4EC | LPB1 1/4DEC | | | | | | | |
| 35 | | LPB35 | LPB35A | LPB35EC | LPB35DEC | 1035 | 5 | 128.6 | 39.7 | 4.4 | 77.5 | 106.0 |
| | 1 1/4 | LPB1 1/4L | LPB1 1/4AL | LPB1 1/4ECL | LPB1 1/4DECL | | | | | | | |
| | 1 3/8 | LPB1 3/8 | | LPB1 3/8EC | LPB1 3/8DEC | | | | | | | |
| | 1 7/16 | LPB1 7/16 | | LPB1 7/16EC | LPB1 7/16DEC | | | | | | | |

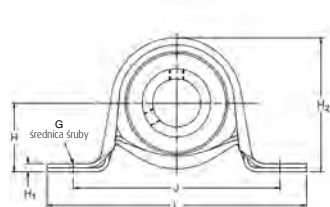
Prosimy sprawdzić dostępność

**Uwaga: Zespoły te nie mają funkcji dosmarowywania.

| Wymiary (mm) | | | | | | | | | | Maksymalne obciążenie promieniowe obudowy niuton | Zalecana maks. prędkość min ⁻¹ | Masa (około) kg |
|--------------|------|------|-------|-------|-------|-------|-------|------|-------|--|---|-----------------|
| G | A | A1 | B | B1 | B2 | B3 | s | s1 | s2 | | | |
| 8 | 25.4 | 15.9 | 27.38 | - | 28.54 | - | 11.55 | 6.55 | - | 1330 | 3000 | 0.2 |
| | | | | | | | | | | | | |
| | | | | | | | | | | | | |
| 8 | 31.7 | 21.6 | 30.96 | 25.77 | 30.92 | 43.62 | 12.73 | 7.56 | 17.13 | 1570 | 3000 | 0.2 |
| 10 | 31.7 | 21.6 | 34.11 | 27.35 | 30.92 | 44.40 | 14.33 | 7.56 | 17.49 | 1780 | 2500 | 0.3 |
| | | | | | | | | | | | | |
| 10 | 37.5 | 25.5 | 38.10 | 31.21 | 35.68 | 48.42 | 15.93 | 9.04 | 18.32 | 2670 | 2500 | 0.5 |
| | | | | | | | | | | | | |
| 10 | 41.0 | 28.4 | 42.88 | 34.90 | 38.88 | 51.18 | 17.53 | 9.55 | 18.89 | 3560 | 2000 | 0.9 |
| | | | | | | | | | | | | |
| | | | | | | | | | | | | |

Self-Lube[®] – zespoły stojące z obudowami ze stali tłoczonej z wkładką gumową (obudowy ocynkowane)

Seria LPBR**



LPBR



LPBR-A



LPBR-EC



LPBR-DEC

| Średnica wału | | Oznaczenie RHP | | | | Podstawowa wkładka łożyskowa | Grupa obudowy | Wymiary (mm) | | | | |
|---------------|--------|----------------|------------|--------------|---------------|------------------------------|---------------|--------------|------|-----|------|-------|
| mm | cale | | | | | | | L | H | H1 | H2 | J |
| 12 | | LPBR12 | LPBR12EC | | | 1017 | 2 | 98.4 | 25.4 | 2.4 | 49.9 | 76.0 |
| 15 | | LPBR15 | LPBR15EC | | | | | | | | | |
| 16 | | LPBR16 | LPBR16EC | | | | | | | | | |
| 17 | | LPBR17 | LPBR17EC | | | | | | | | | |
| | 1/2 | LPBR1/2 | LPBR1/2EC | | | | | | | | | |
| | 5/8 | LPBR5/8 | LPBR5/8EC | | | | | | | | | |
| 20 | | LPBR20 | LPBR20A | LPBR20EC | LPBR20DEC | 1020 | 3 | 108.0 | 28.6 | 2.8 | 55.8 | 86.0 |
| | 3/4 | LPBR3/4 | LPBR3/4A | LPBR3/4EC | LPBR3/4DEC | | | | | | | |
| 25 | | LPBR25 | LPBR25A | LPBR25EC | LPBR25DEC | 1025 | 4 | 117.5 | 33.3 | 3.6 | 65.7 | 95.0 |
| | 7/8 | LPBR7/8 | | LPBR7/8EC | LPBR7/8DEC | | | | | | | |
| | 15/16 | LPBR15/16 | | LPBR15/16EC | LPBR15/16DEC | | | | | | | |
| | 1 | LPBR1 | LPBR1A | LPBR1EC | LPBR1DEC | | | | | | | |
| 30 | | LPBR30 | LPBR30A | LPBR30EC | LPBR30DEC | 1030 | 5 | 128.6 | 39.7 | 4.4 | 77.5 | 106.0 |
| | 1 1/8 | LPBR1 1/8 | | LPBR1 1/8EC | LPBR1 1/8DEC | | | | | | | |
| | 1 3/16 | LPBR1 3/16 | | LPBR1 3/16EC | LPBR1 3/16DEC | | | | | | | |
| | 1 1/4 | LPBR1 1/4 | LPBR1 1/4A | LPBR1 1/4EC | LPBR1 1/4DEC | | | | | | | |

Prosimy sprawdzić dostępność

**Uwaga: Zespoły te nie mają funkcji dosmarowywania.

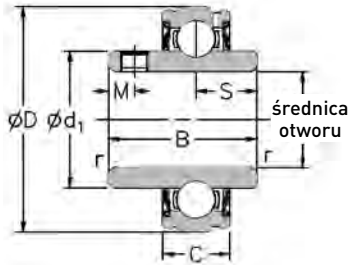
| G | Wymiary (mm) | | | | | | | | | Maksymalne obciążenie promieniowe obudowy niuton | Zalecana maks. prędkość min⁻¹ | Masa (około) kg |
|----------|---------------------|-----------|----------|-----------|-----------|-----------|----------|-----------|-----------|---|---|------------------------|
| | A | A1 | B | B1 | B2 | B3 | s | s1 | s2 | | | |
| 8 | 31.7 | 21.6 | 27.38 | - | 28.54 | - | 11.55 | 6.55 | - | 890 | 3000 | 0.2 |
| | | | | | | | | | | | | |
| | | | | | | | | | | | | |
| | | | | | | | | | | | | |
| 10 | 31.7 | 21.6 | 30.96 | 25.77 | 30.92 | 43.62 | 12.73 | 7.56 | 17.13 | 1110 | 3000 | 0.3 |
| 10 | 37.5 | 25.5 | 34.11 | 27.35 | 30.92 | 44.40 | 14.33 | 7.56 | 17.49 | 1330 | 2500 | 0.5 |
| | | | | | | | | | | | | |
| | | | | | | | | | | | | |
| 10 | 41.0 | 28.4 | 38.10 | 31.21 | 35.68 | 48.42 | 15.93 | 9.04 | 18.32 | 1560 | 2500 | 0.9 |
| | | | | | | | | | | | | |
| | | | | | | | | | | | | |

Wkładki łożyskowe Self-Lube[®]

Serie 1000G oraz 1100

1000G

Ze sferyczną średnicą zewnętrzną i zintegrowanym mocowaniem za pomocą zespołu wkrętów



1100

Z walcową średnicą zewnętrzną i zintegrowanym mocowaniem za pomocą zespołu wkrętów



| Średnica wału | | Oznaczenie RHP | | Wymiary (mm) | | | | | | | Nośność wg ISO | | Zalecana maks. prędkość | Masa (około) |
|---------------|---------|----------------|--------------|--------------|-------|-------|-------|-------|-------|------|--|--|-------------------------|--------------|
| mm | cale | Seria 1000G | Seria 1100 | D | C | B | s | d1 | M | r | dynamiczna C _r niuton | statyczna C _{0r} niuton | min ⁻¹ | kg |
| 12 | | 1017-12G | 1117-12 | 40.000 | 12.00 | 27.38 | 11.58 | 24.80 | 5.00 | 0.60 | 9550 | 4800 | 7000 | 0.09 |
| 15 | | 1017-15G | 1117-15 | | | | | | | | | | | |
| 16 | | 1017-16G | 1117-16 | | | | | | | | | | | |
| 17 | | 1017-17G | 1117-17 | | | | | | | | | | | |
| | 1/2 | 1017-1/2G | 1117-1/2 | | | | | | | | | | | |
| | 5/8 | 1017-5/8G | 1117-5/8 | | | | | | | | | | | |
| 20 | | 1020-20G | 1120-20 | 47.000 | 14.00 | 31.00 | 12.73 | 28.30 | 5.00 | 1.00 | 12800 | 6650 | 6700 | 0.13 |
| | 3/4 | 1020-3/4G | 1120-3/4 | | | | | | | | | | | |
| 25 | | 1025-25G | 1125-25 | 52.000 | 15.00 | 34.10 | 14.33 | 34.00 | 5.00 | 1.00 | 14000 | 7880 | 6250 | 0.17 |
| | 7/8 | 1025-7/8G | 1125-7/8 | | | | | | | | | | | |
| | 1 1/16 | 1025-1 1/16G | 1125-1 1/16 | | | | | | | | | | | |
| | 1 | 1025-1G | 1125-1 | | | | | | | | | | | |
| 25 | | 1030-25G | 1130-25 | 62.000 | 16.00 | 38.10 | 15.93 | 40.30 | 5.00 | 1.00 | 19500 | 11300 | 5300 | 0.37 |
| 30 | | 1030-30G | 1130-30 | | | | | | | | | | | |
| | 1 | 1030-1G | 1130-1 | | | | | | | | | | | |
| | 1 1/8 | 1030-1 1/8G | 1130-1 1/8 | | | | | | | | | | | |
| | 1 3/16 | 1030-1 3/16G | 1130-1 3/16 | | | | | | | | | | | |
| | 1 1/4 | 1030-1 1/4G | 1130-1 1/4 | | | | | | | | | | | |
| 30 | | 1035-30G | 1135-30 | 72.000 | 17.00 | 42.90 | 17.53 | 46.90 | 6.50 | 1.00 | 25700 | 15300 | 4500 | 0.51 |
| 35 | | 1035-35G | 1135-35 | | | | | | | | | | | |
| | 1 3/16 | 1035-1 3/16G | 1135-1 3/16 | | | | | | | | | | | |
| | 1 1/4 | 1035-1 1/4G | 1135-1 1/4 | | | | | | | | | | | |
| | 1 5/16 | 1035-1 5/16G | 1135-1 5/16 | | | | | | | | | | | |
| | 1 3/8 | 1035-1 3/8G | 1135-1 3/8 | | | | | | | | | | | |
| | 1 7/16 | 1035-1 7/16G | 1135-1 7/16 | | | | | | | | | | | |
| 35 | | 1040-35G | 1140-35 | 80.000 | 18.00 | 49.20 | 19.03 | 52.40 | 8.00 | 1.00 | 32500 | 19900 | 4000 | 0.64 |
| 40 | | 1040-40G | 1140-40 | | | | | | | | | | | |
| | 1 3/8 | 1040-1 3/8G | 1140-1 3/8 | | | | | | | | | | | |
| | 1 7/16 | 1040-1 7/16G | 1140-1 7/16 | | | | | | | | | | | |
| | 1 1/2 | 1040-1 1/2G | 1140-1 1/2 | | | | | | | | | | | |
| 40 | | 1045-40G | 1145-40 | 85.000 | 19.00 | 49.20 | 19.04 | 57.40 | 8.00 | 1.00 | 32500 | 20500 | 3700 | 0.73 |
| 45 | | 1045-45G | 1145-45 | | | | | | | | | | | |
| | 1 1/2 | 1045-1 1/2G | 1145-1 1/2 | | | | | | | | | | | |
| | 1 5/8 | 1045-1 5/8G | 1145-1 5/8 | | | | | | | | | | | |
| | 1 11/16 | 1045-1 11/16G | 1145-1 11/16 | | | | | | | | | | | |
| | 1 3/4 | 1045-1 3/4G | 1145-1 3/4 | | | | | | | | | | | |
| 45 | | 1050-45G | 1150-45 | 90.000 | 20.00 | 51.60 | 19.04 | 62.40 | 10.00 | 1.00 | 35000 | 23200 | 3400 | 0.91 |
| 50 | | 1050-50G | 1150-50 | | | | | | | | | | | |
| | 1 11/16 | 1050-1 11/16G | 1150-1 11/16 | | | | | | | | | | | |
| | 1 3/4 | 1050-1 3/4G | 1150-1 3/4 | | | | | | | | | | | |
| | 1 7/8 | 1050-1 7/8G | 1150-1 7/8 | | | | | | | | | | | |
| | 1 15/16 | 1050-1 15/16G | 1150-1 15/16 | | | | | | | | | | | |
| | 2 | 1050-2G | 1150-2 | | | | | | | | | | | |
| 50 | | 1055-50G | 1155-50 | 100.000 | 21.00 | 55.60 | 22.24 | 68.90 | 10.00 | 1.50 | 43500 | 29200 | 3100 | 1.12 |
| 55 | | 1055-55G | 1155-55 | | | | | | | | | | | |
| | 1 7/8 | 1055-1 7/8G | 1155-1 7/8 | | | | | | | | | | | |
| | 1 15/16 | 1055-1 15/16G | 1155-1 15/16 | | | | | | | | | | | |
| | 2 | 1055-2G | 1155-2 | | | | | | | | | | | |
| | 2 1/8 | 1055-2 1/8G | 1155-2 1/8 | | | | | | | | | | | |
| | 2 3/16 | 1055-2 3/16G | 1155-2 3/16 | | | | | | | | | | | |

Prosimy sprawdzić dostępność

| Średnica wału | | Oznaczenie RHP | | Wymiary (mm) | | | | | | Nośność wg ISO | | Zalecana maks. prędkość | Masa (około) | |
|---------------|---------------------------------|--|--------------------------------------|--------------|-------|--------|-------|--------|-------|----------------|--|--|-------------------|------|
| mm | cale | Seria 1000G | Seria 1100 | D | C | B | s | d1 | M | r | dynamiczna C _r niuton | statyczna C _{0r} niuton | min ⁻¹ | kg |
| 55 | | 1060-55G | 1160-55 | 110.000 | 22.00 | 65.10 | 25.44 | 76.00 | 10.00 | 1.50 | 48000 | 33000 | 2800 | 1.47 |
| 60 | | 1060-60G | 1160-60 | | | | | | | | | | | |
| | 2 ³ / ₁₆ | 1060-2 ³ / ₁₆ G | 1160-2 ³ / ₁₆ | | | | | | | | | | | |
| | 2 ¹ / ₄ | 1060-2 ¹ / ₄ G | 1160-2 ¹ / ₄ | | | | | | | | | | | |
| | 2 ³ / ₈ | 1060-2 ³ / ₈ G | 1160-2 ³ / ₈ | | | | | | | | | | | |
| | 2 ⁷ / ₁₆ | 1060-2 ⁷ / ₁₆ G | 1160-2 ⁷ / ₁₆ | | | | | | | | | | | |
| 60 | | 1065-60G | 1165-60 | 120.000 | 23.00 | 65.10 | 25.44 | 82.50 | 10.00 | 1.50 | 57500 | 40000 | 2600 | 2.02 |
| 65 | | 1065-65G | 1165-65 | | | | | | | | | | | |
| | 2 ¹ / ₂ | 1065-2 ¹ / ₂ G | 1165-2 ¹ / ₂ | | | | | | | | | | | |
| 60 | | 1070-60G | 1170-60 | 125.000 | 24.00 | 74.60 | 30.24 | 89.00 | 12.00 | 1.50 | 61000 | 45000 | 2450 | 2.27 |
| 65 | | 1070-65G | 1170-65 | | | | | | | | | | | |
| 70 | | 1070-70G | 1170-70 | | | | | | | | | | | |
| | 2 ⁷ / ₁₆ | 1070-2 ⁷ / ₁₆ G | 1170-2 ⁷ / ₁₆ | | | | | | | | | | | |
| | 2 ¹ / ₂ | 1070-2 ¹ / ₂ G | 1170-2 ¹ / ₂ | | | | | | | | | | | |
| | 2 ⁵ / ₈ | 1070-2 ⁵ / ₈ G | 1170-2 ⁵ / ₈ | | | | | | | | | | | |
| | 2 ¹¹ / ₁₆ | 1070-2 ¹¹ / ₁₆ G | 1170-2 ¹¹ / ₁₆ | | | | | | | | | | | |
| 65 | | 1075-65G | 1175-65 | 130.000 | 25.00 | 77.80 | 33.34 | 94.00 | 12.00 | 1.50 | 66000 | 49500 | 2300 | 2.61 |
| 70 | | 1075-70G | 1175-70 | | | | | | | | | | | |
| 75 | | 1075-75G | 1175-75 | | | | | | | | | | | |
| | 2 ¹¹ / ₁₆ | 1075-2 ¹¹ / ₁₆ G | 1175-2 ¹¹ / ₁₆ | | | | | | | | | | | |
| | 2 ³ / ₄ | 1075-2 ³ / ₄ G | 1175-2 ³ / ₄ | | | | | | | | | | | |
| | 2 ⁷ / ₈ | 1075-2 ⁷ / ₈ G | 1175-2 ⁷ / ₈ | | | | | | | | | | | |
| | 2 ¹⁵ / ₁₆ | 1075-2 ¹⁵ / ₁₆ G | 1175-2 ¹⁵ / ₁₆ | | | | | | | | | | | |
| | 3 | 1075-3G | 1175-3 | | | | | | | | | | | |
| 75 | | 1080-75G | 1180-75 | 140.000 | 26.00 | 82.60 | 33.34 | 100.00 | 12.00 | 2.00 | 71500 | 54500 | 2150 | 3.23 |
| 80 | | 1080-80G | 1180-80 | | | | | | | | | | | |
| | 2 ¹⁵ / ₁₆ | 1080-2 ¹⁵ / ₁₆ G | 1180-2 ¹⁵ / ₁₆ | | | | | | | | | | | |
| | 3 | 1080-3G | 1180-3 | | | | | | | | | | | |
| | 3 ³ / ₁₆ | 1080-3 ³ / ₁₆ G | 1180-3 ³ / ₁₆ | | | | | | | | | | | |
| | 3 ¹ / ₄ | 1080-3 ¹ / ₄ G | 1180-3 ¹ / ₄ | | | | | | | | | | | |
| 80 | | 1085-80G | 1185-80 | 150.000 | 28.00 | 85.70 | 34.15 | 107.10 | 12.00 | 2.00 | 83000 | 64000 | 2000 | 3.74 |
| 85 | | 1085-85G | 1185-85 | | | | | | | | | | | |
| | 3 ³ / ₁₆ | 1085-3 ³ / ₁₆ G | 1185-3 ³ / ₁₆ | | | | | | | | | | | |
| | 3 ¹ / ₄ | 1085-3 ¹ / ₄ G | 1185-3 ¹ / ₄ | | | | | | | | | | | |
| | 3 ³ / ₈ | 1085-3 ³ / ₈ G | 1185-3 ³ / ₈ | | | | | | | | | | | |
| | 3 ⁷ / ₁₆ | 1085-3 ⁷ / ₁₆ G | 1185-3 ⁷ / ₁₆ | | | | | | | | | | | |
| 85 | | 1090-85G | 1190-85 | 160.000 | 30.00 | 96.00 | 39.74 | 111.50 | 15.00 | 2.00 | 96000 | 71500 | 1900 | 4.99 |
| 90 | | 1090-90G | 1190-90 | | | | | | | | | | | |
| | 3 ⁷ / ₁₆ | 1090-3 ⁷ / ₁₆ G | 1190-3 ⁷ / ₁₆ | | | | | | | | | | | |
| | 3 ¹ / ₂ | 1090-3 ¹ / ₂ G | 1190-3 ¹ / ₂ | | | | | | | | | | | |
| 95 | | 3095-95G | | 200.000 | 45.00 | 117.48 | 49.31 | 127.10 | 16.00 | 2.50 | 157000 | 122000 | 1600 | 9.53 |
| 100 | | 3095-100G | | | | | | | | | | | | |
| | 3 ¹⁵ / ₁₆ | 3095-3 ¹⁵ / ₁₆ G | | | | | | | | | | | | |
| | 4 | 3095-4G | | | | | | | | | | | | |

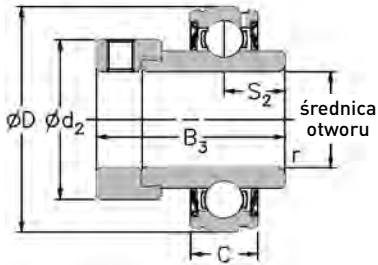
Prosimy sprawdzić dostępność

Wkładki łożyskowe Self-Lube®

Serie 1000DECG oraz 1100DEC

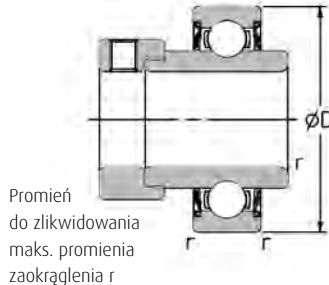
1000DECG

Ze sferyczną średnicą zewnętrzną i mocowaniem za pomocą pierścienia mimośrodowego



1100DEC

Z walcową średnicą zewnętrzną i mocowaniem za pomocą pierścienia mimośrodowego



| Średnica wału | | Oznaczenie RHP | | Wymiary (mm) | | | | | | Nośność wg ISO | | Zalecana maks. prędkość | Masa (około) |
|---------------|---------|------------------|-----------------|--------------|-------|-------|-------|--------|------|--|--|-------------------------|--------------|
| mm | cale | Seria 1000DECG | Seria 1100DEC | D | C | B3 | s2 | d2 | r | dynamiczna C _r niuton | statyczna C _{0r} niuton | min ⁻¹ | kg |
| 20 | | 1020-20DECG | 1120-20DEC | 47.000 | 14.00 | 43.73 | 17.13 | 33.30 | 1.00 | 12800 | 6650 | 6700 | 0.20 |
| | 3/4 | 1020-3/4DECG | 1120-3/4DEC | | | | | | | | | | |
| 25 | | 1025-25DECG | 1125-25DEC | 52.000 | 15.00 | 44.43 | 17.53 | 38.10 | 1.00 | 14000 | 7880 | 6250 | 0.26 |
| | 7/8 | 1025-7/8DECG | 1125-7/8DEC | | | | | | | | | | |
| | 15/16 | 1025-15/16DECG | 1125-15/16DEC | | | | | | | | | | |
| | 1 | 1025-1DECG | 1125-1DEC | | | | | | | | | | |
| 30 | | 1030-30DECG | 1130-30DEC | 62.000 | 16.00 | 48.43 | 18.33 | 44.50 | 1.00 | 19500 | 11300 | 5300 | 0.53 |
| | 1 1/8 | 1030-1 1/8DECG | 1130-1 1/8DEC | | | | | | | | | | |
| | 1 3/16 | 1030-1 3/16DECG | 1130-1 3/16DEC | | | | | | | | | | |
| | 1 1/4 | 1030-1 1/4DECG | 1130-1 1/4DEC | | | | | | | | | | |
| 35 | | 1035-35DECG | 1135-35DEC | 72.000 | 17.00 | 51.13 | 18.83 | 55.60 | 1.00 | 25700 | 15300 | 4500 | 0.70 |
| | 1 1/4 | 1035-1 1/4DECG | 1135-1 1/4DEC | | | | | | | | | | |
| | 1 3/8 | 1035-1 3/8DECG | 1135-1 3/8DEC | | | | | | | | | | |
| | 1 7/16 | 1035-1 7/16DECG | 1135-1 7/16DEC | | | | | | | | | | |
| 40 | | 1040-40DECG | 1140-40DEC | 80.000 | 18.00 | 56.33 | 21.43 | 60.30 | 1.00 | 32500 | 19900 | 4000 | 0.82 |
| | 1 1/2 | 1040-1 1/2DECG | 1140-1 1/2DEC | | | | | | | | | | |
| 45 | | 1045-45DECG | 1145-45DEC | 85.000 | 19.00 | 56.33 | 21.43 | 63.50 | 1.00 | 32500 | 20500 | 3700 | 1.08 |
| | 1 5/8 | 1045-1 5/8DECG | 1145-1 5/8DEC | | | | | | | | | | |
| | 1 11/16 | 1045-1 11/16DECG | 1145-1 11/16DEC | | | | | | | | | | |
| | 1 3/4 | 1045-1 3/4DECG | 1145-1 3/4DEC | | | | | | | | | | |
| 50 | | 1050-50DECG | 1150-50DEC | 90.000 | 20.00 | 62.73 | 24.64 | 69.90 | 1.00 | 35000 | 23200 | 3400 | 1.19 |
| | 1 7/8 | 1050-1 7/8DECG | 1150-1 7/8DEC | | | | | | | | | | |
| | 1 15/16 | 1050-1 15/16DECG | 1150-1 15/16DEC | | | | | | | | | | |
| 55 | | 1055-55DECG | 1155-55DEC | 100.000 | 21.00 | 71.42 | 27.84 | 76.20 | 1.50 | 43500 | 29200 | 3100 | 1.40 |
| | 2 | 1055-2DECG | 1155-2DEC | | | | | | | | | | |
| | 2 1/8 | 1055-2 1/8DECG | 1155-2 1/8DEC | | | | | | | | | | |
| | 2 3/16 | 1055-2 3/16DECG | 1155-2 3/16DEC | | | | | | | | | | |
| 60 | | 1060-60DECG | 1160-60DEC | 110.000 | 22.00 | 77.84 | 31.04 | 84.20 | 1.50 | 48000 | 33000 | 2800 | 1.72 |
| | 2 1/4 | 1060-2 1/4DECG | 1160-2 1/4DEC | | | | | | | | | | |
| | 2 3/8 | 1060-2 3/8DECG | 1160-2 3/8DEC | | | | | | | | | | |
| | 2 7/16 | 1060-2 7/16DECG | 1160-2 7/16DEC | | | | | | | | | | |
| | 2 1/2 | 1065-2 1/2DECG | 1165-2 1/2DEC | 120.000 | 23.00 | 85.74 | 34.14 | 92.00 | 1.50 | 57500 | 40000 | 2600 | 2.21 |
| 65 | | 1070-65DECG | 1170-65DEC | 125.000 | 24.00 | 85.74 | 34.14 | 97.00 | 1.50 | 61000 | 45000 | 2450 | 2.56 |
| 70 | | 1070-70DECG | 1170-70DEC | | | | | | | | | | |
| | 2 1/2 | 1070-2 1/2DECG | 1170-2 1/2DEC | | | | | | | | | | |
| | 2 5/8 | 1070-2 5/8DECG | 1170-2 5/8DEC | | | | | | | | | | |
| | 2 11/16 | 1070-2 11/16DECG | 1170-2 11/16DEC | | | | | | | | | | |
| 65 | | 1075-65DECG | 1175-65DEC | 130.000 | 25.00 | 92.14 | 37.34 | 102.00 | 1.50 | 66000 | 49500 | 2300 | 2.94 |
| 70 | | 1075-70DECG | 1175-70DEC | | | | | | | | | | |
| 75 | | 1075-75DECG | 1175-75DEC | | | | | | | | | | |
| | 2 11/16 | 1075-2 11/16DECG | 1175-2 11/16DEC | | | | | | | | | | |
| | 2 3/4 | 1075-2 3/4DECG | 1175-2 3/4DEC | | | | | | | | | | |
| | 2 7/8 | 1075-2 7/8DECG | 1175-2 7/8DEC | | | | | | | | | | |
| | 2 15/16 | 1075-2 15/16DECG | 1175-2 15/16DEC | | | | | | | | | | |

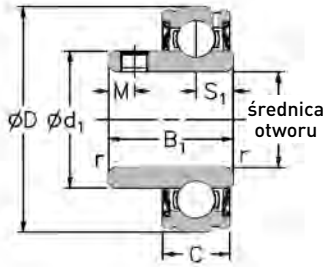
Prosimy sprawdzić dostępność

Wkładki łożyskowe Self-Lube[®]

Serie 1200G oraz 1300

1200G

Ze sferyczną średnicą zewnętrzną i zintegrowanym mocowaniem za pomocą zespołu wkrętów



1300

Z walcową średnicą zewnętrzną i zintegrowanym mocowaniem za pomocą zespołu wkrętów



| Średnica wału | | Oznaczenie RHP | | Wymiary (mm) | | | | | | | Nośność wg ISO | | Zalecana maks. prędkość | Masa (około) |
|---------------|-------|----------------|------------|--------------|-------|-------|-------|-------|-------|------|--|--|-------------------------|--------------|
| mm | cale | Seria 1200G | Seria 1300 | D | C | B1 | s1 | d1 | M | r | dynamiczna C _r niuton | statyczna C _{0r} niuton | min ⁻¹ | kg |
| 20 | | 1220-20G | 1320-20 | 47.000 | 14.00 | 25.80 | 7.53 | 28.30 | 5.00 | 1.00 | 12800 | 6650 | 6700 | 0.10 |
| | 3/4 | 1220-3/4G | 1320-3/4 | | | | | | | | | | | |
| 25 | | 1225-25G | 1325-25 | 52.000 | 15.00 | 27.30 | 7.53 | 34.00 | 5.00 | 1.00 | 14000 | 7880 | 6250 | 0.13 |
| | 1 | 1225-1G | 1325-1 | | | | | | | | | | | |
| 30 | | 1230-30G | 1330-30 | 62.000 | 16.00 | 31.20 | 9.03 | 40.30 | 5.00 | 1.00 | 19500 | 11300 | 5300 | 0.32 |
| | 1 1/4 | 1230-1 1/4G | 1330-1 1/4 | | | | | | | | | | | |
| 35 | | 1235-35G | 1335-35 | 72.000 | 17.00 | 34.90 | 9.53 | 46.90 | 6.50 | 1.00 | 25700 | 15300 | 4500 | 0.43 |
| | 1 1/4 | 1235-1 1/4G | 1335-1 1/4 | | | | | | | | | | | |
| 40 | | 1240-40G | 1340-40 | 80.000 | 18.00 | 41.20 | 11.03 | 52.40 | 8.00 | 1.00 | 32500 | 19900 | 4000 | 0.54 |
| | 1 1/2 | 1240-1 1/2G | 1340-1 1/2 | | | | | | | | | | | |
| 45 | | 1245-45G | 1345-45 | 85.000 | 19.00 | 41.20 | 11.04 | 57.40 | 8.00 | 1.00 | 32500 | 20500 | 3700 | 0.61 |
| | 1 3/4 | 1245-1 3/4G | 1345-1 3/4 | | | | | | | | | | | |
| 50 | | 1250-50G | 1350-50 | 90.000 | 20.00 | 43.50 | 11.04 | 62.40 | 10.00 | 1.00 | 35000 | 23200 | 3400 | 0.76 |

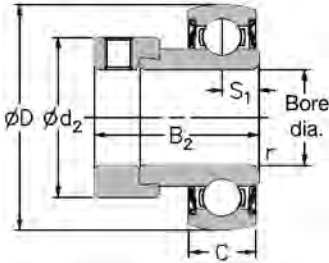
Prosimy sprawdzić dostępność

Wkładki łożyskowe Self-Lube[®]

Serie 1200EC, 1200ECG oraz 1300EC

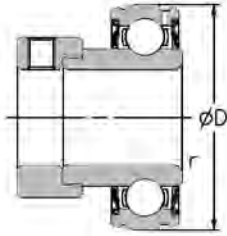
1200EC

Ze sferyczną średnicą zewnętrzną, pierścieniem zewnętrznym bez funkcji dosmarowywania i mocowaniem za pomocą pierścienia mimośrodowego



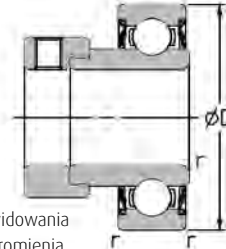
1200ECG

Ze sferyczną średnicą zewnętrzną, pierścieniem zewnętrznym z funkcją dosmarowywania i mocowaniem za pomocą pierścienia mimośrodowego



1300EC

Z walcową średnicą zewnętrzną i mocowaniem za pomocą pierścienia mimośrodowego



Promień do zlikwidowania maks. promienia zaokrąglenia r

| Średnica wału | | Oznaczenie RHP | | | Wymiary (mm) | | | | | | Nośność wg ISO | | Zalecana maks. prędkość | Masa (około) |
|---------------|---------|----------------|-----------------|----------------|--------------|-------|-------|-------|-------|------|--|--|-------------------------|--------------|
| mm | cale | Seria 1200EC | Seria 1200ECG | Seria 1300EC | D | C | B2 | s1 | d2 | r | dynamiczna C _r niuton | statyczna C _{0r} niuton | min ⁻¹ | kg |
| 12 | | 1217-12EC | 1217-12ECG | 1317-12EC | 40.000 | 12.00 | 28.63 | 6.53 | 28.60 | 0.60 | 9550 | 4800 | 7000 | 0.15 |
| 15 | | 1217-15EC | 1217-15ECG | 1317-15EC | | | | | | | | | | |
| 16 | | 1217-16EC | 1217-16ECG | 1317-16EC | | | | | | | | | | |
| 17 | | 1217-17EC | 1217-17ECG | 1317-17EC | | | | | | | | | | |
| | 1/2 | 1217-1/2EC | 1217-1/2ECG | 1317-1/2EC | | | | | | | | | | |
| | 5/8 | 1217-5/8EC | 1217-5/8ECG | 1317-5/8EC | | | | | | | | | | |
| 20 | | 1220-20EC | 1220-20ECG | 1320-20EC | 47.000 | 14.00 | 31.03 | 7.53 | 33.30 | 1.00 | 12800 | 6650 | 6700 | 0.16 |
| | 3/4 | 1220-3/4EC | 1220-3/4ECG | 1320-3/4EC | | | | | | | | | | |
| 25 | | 1225-25EC | 1225-25ECG | 1325-25EC | 52.000 | 15.00 | 31.03 | 7.53 | 38.10 | 1.00 | 14000 | 7880 | 6250 | 0.23 |
| | 7/8 | 1225-7/8EC | 1225-7/8ECG | 1325-7/8EC | | | | | | | | | | |
| | 15/16 | 1225-15/16EC | 1225-15/16ECG | 1325-15/16EC | | | | | | | | | | |
| | 1 | 1225-1EC | 1225-1ECG | 1325-1EC | | | | | | | | | | |
| 30 | | 1230-30EC | 1230-30ECG | 1330-30EC | 62.000 | 16.00 | 35.73 | 9.03 | 44.50 | 1.00 | 19500 | 11300 | 5300 | 0.40 |
| | 1 1/8 | 1230-1 1/8EC | 1230-1 1/8ECG | 1330-1 1/8EC | | | | | | | | | | |
| | 1 1/16 | 1230-1 1/16EC | 1230-1 1/16ECG | 1330-1 1/16EC | | | | | | | | | | |
| | 1 1/4 | 1230-1 1/4EC | 1230-1 1/4ECG | 1330-1 1/4EC | | | | | | | | | | |
| 35 | | 1235-35EC | 1235-35ECG | 1335-35EC | 72.000 | 17.00 | 38.93 | 9.53 | 55.60 | 1.00 | 25700 | 15300 | 4500 | 0.58 |
| | 1 1/4 | 1235-1 1/4EC | 1235-1 1/4ECG | 1335-1 1/4EC | | | | | | | | | | |
| | 1 3/8 | 1235-1 3/8EC | 1235-1 3/8ECG | 1335-1 3/8EC | | | | | | | | | | |
| | 1 7/16 | 1235-1 7/16EC | 1235-1 7/16ECG | 1335-1 7/16EC | | | | | | | | | | |
| 40 | | 1240-40EC | 1240-40ECG | 1340-40EC | 80.000 | 18.00 | 43.73 | 11.03 | 60.30 | 1.00 | 32500 | 19900 | 4000 | 0.73 |
| | 1 1/2 | 1240-1 1/2EC | 1240-1 1/2ECG | 1340-1 1/2EC | | | | | | | | | | |
| 45 | | 1245-45EC | 1245-45ECG | 1345-45EC | 85.000 | 19.00 | 43.73 | 11.03 | 63.50 | 1.00 | 32500 | 20500 | 3700 | 0.87 |
| | 1 5/8 | 1245-1 5/8EC | 1245-1 5/8ECG | 1345-1 5/8EC | | | | | | | | | | |
| | 1 11/16 | 1245-1 11/16EC | 1245-1 11/16ECG | 1345-1 11/16EC | | | | | | | | | | |
| | 1 3/4 | 1245-1 3/4EC | 1245-1 3/4ECG | 1345-1 3/4EC | | | | | | | | | | |
| 50 | | 1250-50EC | 1250-50ECG | 1350-50EC | 90.000 | 20.00 | 43.73 | 11.04 | 69.90 | 1.00 | 35000 | 23200 | 3400 | 0.98 |
| | 1 7/8 | 1250-1 7/8EC | 1250-1 7/8ECG | 1350-1 7/8EC | | | | | | | | | | |
| | 1 15/16 | 1250-1 15/16EC | 1250-1 15/16ECG | 1350-1 15/16EC | | | | | | | | | | |
| | 2 | 1250-2EC | 1250-2ECG | 1350-2EC | | | | | | | | | | |

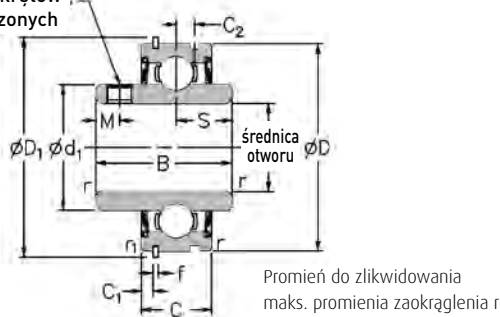
Prosimy sprawdzić dostępność

Wkładki łożyskowe Self-Lube® w komplecie z pierścieniem osadczym Seria 1100CG

1100CG

Z walcową średnicą zewnętrzną i zintegrowanym mocowaniem za pomocą pierścienia mimośrodowego

zespół 2 wkrętów
rozmieszczonych
co 120°

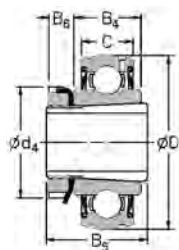


| Średnica wału mm | cale | Oznaczenie RHP Seria 1100CG | Wymiary (mm) | | | | | | | | | | | Nośność wg ISO | | Zalecana maks. prędkość min ⁻¹ | Masa (około) kg | |
|---------------------|---------|-----------------------------------|--------------|--------|-------|------|------|-------|-------|-------|------|-------|------|----------------|--|--|-----------------------|--|
| | | | D | D1 | C | C1 | C2 | B | s | d1 | f | M | r | r1 | dynamiczna C _r niuton | | | statyczna C _{0r} niuton |
| 20 | | 1120-20CG | 47.000 | 52.68 | 15.88 | 2.39 | 4.17 | 31.00 | 12.73 | 28.30 | 1.12 | 5.00 | 1.00 | 0.50 | 12800 | 6650 | 6700 | 0.23 |
| | ¾ | 1120-¾CG | | | | | | | | | | | | | | | | |
| 25 | | 1125-25CG | 52.000 | 57.81 | 19.05 | 2.39 | 4.39 | 34.10 | 14.33 | 34.00 | 1.12 | 5.00 | 1.00 | 0.50 | 14000 | 7880 | 6250 | 0.31 |
| | 7/8 | 1125-7/8CG | | | | | | | | | | | | | | | | |
| | 1 1/16 | 1125-1 1/16CG | | | | | | | | | | | | | | | | |
| | 1 | 1125-1CG | | | | | | | | | | | | | | | | |
| 30 | | 1130-30CG | 62.000 | 67.69 | 22.22 | 3.18 | 5.10 | 38.10 | 15.93 | 40.30 | 1.70 | 5.00 | 1.00 | 0.50 | 19500 | 11300 | 5300 | 0.42 |
| | 1 1/8 | 1130-1 1/8CG | | | | | | | | | | | | | | | | |
| | 1 3/16 | 1130-1 3/16CG | | | | | | | | | | | | | | | | |
| 35 | | 1135-35CG | 72.000 | 78.51 | 23.81 | 3.18 | 5.61 | 42.90 | 17.53 | 46.90 | 1.70 | 6.50 | 1.00 | 1.00 | 25700 | 15300 | 4500 | 0.61 |
| | 1 1/4 | 1135-1 1/4CG | | | | | | | | | | | | | | | | |
| | 1 3/8 | 1135-1 3/8CG | | | | | | | | | | | | | | | | |
| | 1 7/8 | 1135-1 7/8CG | | | | | | | | | | | | | | | | |
| 40 | | 1140-40CG | 80.000 | 86.51 | 27.78 | 3.18 | 6.22 | 49.20 | 19.03 | 52.40 | 1.70 | 8.00 | 1.00 | 1.00 | 32500 | 19900 | 4000 | 0.91 |
| | 1 1/2 | 1140-1 1/2CG | | | | | | | | | | | | | | | | |
| 45 | | 1145-45CG | 85.000 | 91.51 | 27.78 | 3.18 | 6.52 | 49.20 | 19.04 | 57.40 | 1.70 | 8.00 | 1.00 | 1.00 | 32500 | 20500 | 3700 | 1.05 |
| | 1 5/8 | 1145-1 5/8CG | | | | | | | | | | | | | | | | |
| | 1 11/16 | 1145-1 11/16CG | | | | | | | | | | | | | | | | |
| | 1 3/4 | 1145-1 3/4CG | | | | | | | | | | | | | | | | |
| | 1 7/8 | 1150-1 7/8CG | 90.000 | 96.49 | 28.58 | 3.18 | 6.72 | 51.59 | 19.10 | 62.40 | 2.46 | 10.00 | 1.00 | 1.00 | 35000 | 23200 | 3400 | 1.10 |
| | 1 15/16 | 1150-1 15/16CG | | | | | | | | | | | | | | | | |
| 55 | | 1155-55CG | 100.00 | 106.50 | 30.16 | 3.18 | 7.43 | 55.60 | 22.20 | 68.90 | 2.46 | 10.00 | 1.00 | 1.00 | 43500 | 29200 | 3100 | 1.50 |
| | 2 | 1155-2CG | | | | | | | | | | | | | | | | |
| | 2 3/16 | 1155-2 3/16CG | | | | | | | | | | | | | | | | |

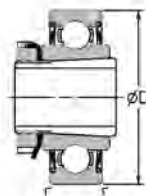
Prosimy sprawdzić dostępność

Wkładki łożyskowe Self-Lube[®] z tulejami wciąganyymi

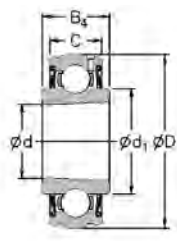
Serie 1000-KG oraz 1100-K



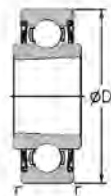
1000-KG



1100-K



1000KG



1100K

Otwór stożkowy
o zbieżności 1:12

| Średnica wału | | Oznaczenie RHP | | Tylko zespół: tuleja, nakrętka i podkładka zabezpieczająca | Wkładka podstawowa bez tulei, nakrętki i podkładki zabezpieczającej | | Wymiary (mm) | | |
|---------------|---------|----------------|---------------|---|--|-------|--------------|-------|-------|
| mm | cale | Seria 1000-KG | Seria 1100-K | | 1000KG | 1100K | D | C | B4 |
| 20 | | 1025-20KG | 1125-20K | H305 | 1025KG | 1125K | 52.000 | 15.00 | 19.00 |
| | 3/4 | 1025-3/4KG | 1125-3/4K | HE305-3/4 | | | | | |
| 25 | | 1030-25KG | 1130-25K | H306 | 1030KG | 1130K | 62.000 | 16.00 | 20.00 |
| | 15/16 | 1030-15/16KG | 1130-15/16K | HE306-15/16 | | | | | |
| 30 | 1 | 1030-1KG | 1130-1K | HE306-1 | | | 72.000 | 17.00 | 21.00 |
| | 1 1/8 | 1035-1 1/8KG | 1135-1 1/8K | HE307-1 1/8 | 1035KG | 1135K | | | |
| 35 | 1 1/16 | 1035-1 1/16KG | 1135-1 1/16K | HE307-1 1/16 | | | 80.000 | 18.00 | 22.00 |
| | 1 1/4 | 1040-1 1/4KG | 1140-1 1/4K | HE308-1 1/4 | 1040KG | 1140K | | | |
| 40 | 1 3/8 | 1040-1 3/8KG | 1140-1 3/8K | HE308-1 3/8 | | | 85.000 | 19.00 | 23.00 |
| | 1 7/16 | 1045-1 7/16KG | 1145-1 7/16K | HE309-1 7/16 | 1045KG | 1145K | | | |
| 45 | 1 1/2 | 1045-1 1/2KG | 1145-1 1/2K | HE309-1 1/2 | | | 90.000 | 20.00 | 24.00 |
| | 1 11/16 | 1050-1 11/16KG | 1150-1 11/16K | HE310-1 11/16 | 1050KG | 1150K | | | |
| 50 | 1 3/4 | 1050-1 3/4KG | 1150-1 3/4K | HE310-1 3/4 | | | 100.000 | 21.00 | 25.00 |
| | 1 5/8 | 1055-1 5/8KG | 1155-1 5/8K | HE311-1 5/8 | 1055KG | 1155K | | | |
| | 2 | 1055-2KG | 1155-2K | HE311-2 | | | | | |

Prosimy sprawdzić dostępność

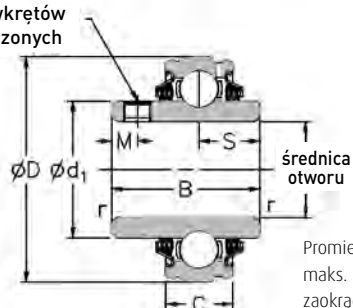
| Wymiary (mm) | | | | | | Nośność wg ISO | | Zalecana maks. prędkość min ⁻¹ | Masa (około) kg |
|--------------|-------|--------|-------|-------|------|----------------------------------|----------------------------------|---|-----------------|
| B5 | B6 | d | d1 | d4 | r | dynamiczna C _r niuton | statyczna C _{or} niuton | | |
| 29.00 | 8.00 | 25.000 | 34.00 | 38.00 | 1.00 | 14000 | 7880 | 6250 | 0.20 |
| 31.00 | 8.00 | 30.000 | 40.30 | 45.00 | 1.00 | 19500 | 11300 | 5300 | 0.30 |
| 35.00 | 9.00 | 35.000 | 46.90 | 52.00 | 1.00 | 25700 | 15300 | 4500 | 0.42 |
| 36.00 | 10.00 | 40.000 | 52.40 | 58.00 | 1.00 | 32500 | 19900 | 4000 | 0.54 |
| 39.00 | 11.00 | 45.000 | 57.40 | 65.00 | 1.00 | 32500 | 20500 | 3700 | 0.64 |
| 42.00 | 12.00 | 50.000 | 62.40 | 70.00 | 1.00 | 35000 | 23200 | 3400 | 0.75 |
| 45.00 | 12.00 | 55.000 | 68.90 | 75.00 | 1.50 | 43500 | 29200 | 3100 | 0.95 |

Wkładki łożyskowe Self-Lube[®] z uszczelkami trójwargowymi Seria T1000G

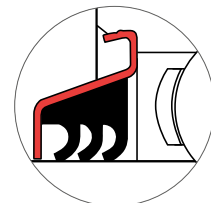
T1000G

Ze sferyczną średnicą zewnętrzną i zintegrowanym mocowaniem za pomocą zespołu wkrętów

zespół 2 wkrętów rozmieszczonych co 120°



Promień do zlikwidowania maks. promienia zaokrąglenia r



| Średnica wału | | Oznaczenie RHP | Wymiary (mm) | | | | | | | Nośność wg ISO | | Zalecana maks. prędkość min ⁻¹ | Masa (około) kg |
|---------------|---------------|----------------|--------------|-------|-------|-------|-------|-------|------|----------------------------------|----------------------------------|---|-----------------|
| mm | cale | | D | C | B | s | d1 | M | r | dynamiczna C _r niuton | statyczna C _{0r} niuton | | |
| 25 | | T1025-25G | 52.000 | 15.00 | 34.10 | 14.33 | 34.00 | 5.00 | 1.00 | 14000 | 7880 | 1000 | 0.17 |
| | | T1025-7/8G | | | | | | | | | | | |
| | | T1025-15/16G | | | | | | | | | | | |
| | | T1025-1G | | | | | | | | | | | |
| 25 30 | | T1030-25G | 62.000 | 18.00 | 38.10 | 15.93 | 40.30 | 5.00 | 1.00 | 19500 | 11300 | 850 | 0.37 |
| | | T1030-30G | | | | | | | | | | | |
| | | T1030-7/8G | | | | | | | | | | | |
| | | T1030-1G | | | | | | | | | | | |
| | | T1030-1 1/8G | | | | | | | | | | | |
| | | T1030-1 3/16G | | | | | | | | | | | |
| 30 35 | | T1035-30G | 72.000 | 19.00 | 42.90 | 17.53 | 46.90 | 6.50 | 1.00 | 25700 | 15300 | 750 | 0.51 |
| | | T1035-35G | | | | | | | | | | | |
| | | T1035-1 3/16G | | | | | | | | | | | |
| | | T1035-1 1/4G | | | | | | | | | | | |
| | | T1035-1 3/8G | | | | | | | | | | | |
| | | T1035-1 7/16G | | | | | | | | | | | |
| 35 40 | | T1040-35G | 80.000 | 21.00 | 49.20 | 19.03 | 52.40 | 8.00 | 1.00 | 32500 | 19900 | 650 | 0.64 |
| | | T1040-40G | | | | | | | | | | | |
| | | T1040-1 3/8G | | | | | | | | | | | |
| | | T1040-1 7/16G | | | | | | | | | | | |
| | | T1040-1 1/2G | | | | | | | | | | | |
| 40 45 | | T1045-40G | 85.000 | 22.00 | 49.20 | 19.04 | 57.40 | 8.00 | 1.00 | 32500 | 20500 | 600 | 0.73 |
| | | T1045-45G | | | | | | | | | | | |
| | | T1045-1 1/2G | | | | | | | | | | | |
| | | T1045-1 5/8G | | | | | | | | | | | |
| | | T1045-1 11/16G | | | | | | | | | | | |
| | | T1045-1 3/4G | | | | | | | | | | | |
| 45 50 | | T1050-45G | 90.000 | 23.00 | 51.60 | 19.04 | 62.40 | 10.00 | 1.00 | 35000 | 23200 | 550 | 0.91 |
| | | T1050-50G | | | | | | | | | | | |
| | | T1050-1 11/16G | | | | | | | | | | | |
| | | T1050-1 3/4G | | | | | | | | | | | |
| | | T1050-1 7/8G | | | | | | | | | | | |
| | | T1050-1 15/16G | | | | | | | | | | | |
| | | T1050-2G | | | | | | | | | | | |
| 50 55 | | T1055-50G | 100.000 | 25.00 | 55.60 | 22.24 | 68.90 | 10.00 | 1.50 | 43500 | 29200 | 500 | 1.12 |
| | | T1055-55G | | | | | | | | | | | |
| | | T1055-1 7/8G | | | | | | | | | | | |
| | | T1055-1 15/16G | | | | | | | | | | | |
| | | T1055-2G | | | | | | | | | | | |
| | | T1055-2 1/8G | | | | | | | | | | | |
| | T1055-2 3/16G | | | | | | | | | | | | |

Prosimy sprawdzić dostępność

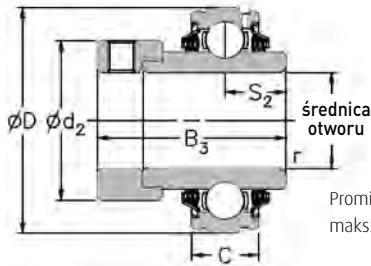
| Średnica wału | | Oznaczenie RHP | Wymiary (mm) | | | | | | | Nośność wg ISO | | Zalecana maks. prędkość min ⁻¹ | Masa (około) kg |
|---------------|---------------------------------|--|--------------|-------|-------|-------|--------|-------|------|--|--|--|--------------------|
| mm | cale | | D | C | B | s | d1 | M | r | dynamiczna C _r niuton | statyczna C _{or} niuton | | |
| 55 | | T1060-55G | 110.000 | 25.00 | 65.10 | 25.44 | 76.00 | 10.00 | 1.50 | 48000 | 33000 | 450 | 1.50 |
| 60 | | T1060-60G | | | | | | | | | | | |
| | 2 ³ / ₁₆ | T1060-2³/₁₆G | | | | | | | | | | | |
| | 2 ¹ / ₄ | T1060-2¹/₄G | | | | | | | | | | | |
| | 2 ³ / ₈ | T1060-2³/₈G | | | | | | | | | | | |
| | 2 ⁷ / ₁₆ | T1060-2⁷/₁₆G | | | | | | | | | | | |
| 60 | | T1070-60G | 125.000 | 28.00 | 74.60 | 30.24 | 89.00 | 12.00 | 1.50 | 61000 | 45000 | 400 | 2.30 |
| 65 | | T1070-65G | | | | | | | | | | | |
| 70 | | T1070-70G | | | | | | | | | | | |
| | 2 ⁷ / ₁₆ | T1070-2⁷/₁₆G | | | | | | | | | | | |
| | 2 ¹ / ₂ | T1070-2¹/₂G | | | | | | | | | | | |
| | 2 ³ / ₈ | T1070-2³/₈G | | | | | | | | | | | |
| | 2 ¹¹ / ₁₆ | T1070-2¹¹/₁₆G | | | | | | | | | | | |
| 75 | | T1080-75G | 140.000 | 30.00 | 82.60 | 33.34 | 100.00 | 12.00 | 2.00 | 71500 | 54500 | 345 | 3.27 |
| 80 | | T1080-80G | | | | | | | | | | | |
| | 2 ¹⁵ / ₁₆ | T1080-2¹⁵/₁₆G | | | | | | | | | | | |
| | 3 | T1080-3G | | | | | | | | | | | |

Prosimy sprawdzić dostępność

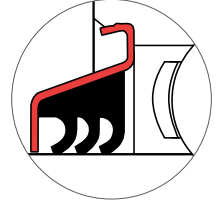
Wkładki łożyskowe Self-Lube[®] z uszczelką trójwargową Seria T1000DECG

T1000DECG

Ze sferyczną średnicą zewnętrzną
i mocowaniem za pomocą zespołu wkrętów



Promień do zlikwidowania
maks. promienia zaokrąglenia r



| Średnica wału | | Oznaczenie RHP | Wymiary (mm) | | | | | | Nośność wg ISO | | Zalecana maks. prędkość min ⁻¹ | Masa (około) kg |
|---------------|---------|--------------------------|--------------|-------|-------|-------|-------|------|----------------------------------|----------------------------------|---|-----------------|
| mm | cale | | D | C | B3 | s2 | d2 | r | dynamiczna C _r niuton | statyczna C _{0r} niuton | | |
| 25 | | T1025-25DECG | 52.000 | 15.00 | 44.43 | 17.53 | 38.10 | 1.00 | 14000 | 7880 | 1000 | 0.26 |
| | 7/8 | T1025-7/8DECG | | | | | | | | | | |
| | 15/16 | T1025-15/16DECG | | | | | | | | | | |
| | 1 | T1025-1DECG | | | | | | | | | | |
| 30 | | T1030-30DECG | 62.000 | 18.00 | 48.43 | 18.33 | 44.50 | 1.00 | 19500 | 11300 | 850 | 0.53 |
| | 1 1/8 | T1030-1 1/8DECG | | | | | | | | | | |
| | 1 3/16 | T1030-1 3/16DECG | | | | | | | | | | |
| | 1 1/4 | T1030-1 1/4DECG | | | | | | | | | | |
| 35 | | T1035-35DECG | 72.000 | 19.00 | 51.13 | 18.83 | 55.60 | 1.00 | 25700 | 15300 | 750 | 0.70 |
| | 1 1/4 | T1035-1 1/4DECG | | | | | | | | | | |
| | 1 3/8 | T1035-1 3/8DECG | | | | | | | | | | |
| | 1 7/16 | T1035-1 7/16DECG | | | | | | | | | | |
| 40 | | T1040-40DECG | 80.000 | 21.00 | 56.33 | 21.43 | 60.30 | 1.00 | 32500 | 19900 | 650 | 0.82 |
| | 1 1/2 | T1040-1 1/2DECG | | | | | | | | | | |
| 45 | | T1045-45DECG | 85.000 | 22.00 | 56.33 | 21.43 | 63.50 | 1.00 | 32500 | 20500 | 600 | 1.08 |
| | 1 5/8 | T1045-1 5/8DECG | | | | | | | | | | |
| | 1 11/16 | T1045-1 11/16DECG | | | | | | | | | | |
| | 1 3/4 | T1045-1 3/4DECG | | | | | | | | | | |
| 50 | | T1050-50DECG | 90.000 | 23.00 | 62.73 | 24.64 | 69.90 | 1.00 | 35000 | 23200 | 550 | 1.19 |
| | 1 7/8 | T1050-1 7/8DECG | | | | | | | | | | |
| | 1 15/16 | T1050-1 15/16DECG | | | | | | | | | | |
| 55 | | T1055-55DECG | 100.000 | 25.00 | 71.42 | 27.84 | 76.20 | 1.50 | 43500 | 29200 | 500 | 1.40 |
| | 2 | T1055-2DECG | | | | | | | | | | |
| | 2 1/8 | T1055-2 1/8DECG | | | | | | | | | | |
| | 2 1/16 | T1055-2 1/16DECG | | | | | | | | | | |
| 60 | | T1060-60DECG | 110.000 | 25.00 | 77.84 | 31.04 | 84.20 | 1.50 | 48000 | 33000 | 450 | 1.81 |
| | 2 1/4 | T1060-2 1/4DECG | | | | | | | | | | |
| | 2 7/16 | T1060-2 7/16DECG | | | | | | | | | | |
| 65 | | T1070-65DECG | 125.000 | 28.00 | 85.74 | 34.14 | 97.00 | 1.50 | 61000 | 45000 | 400 | 2.49 |
| 70 | | T1070-70DECG | | | | | | | | | | |

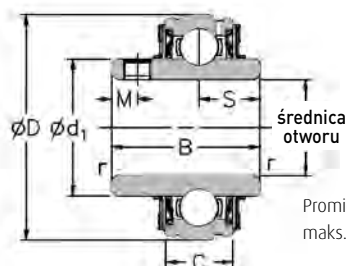
Prosimy sprawdzić dostępność

Wkładki łożyskowe Self-Lube® z uszczelkami odrzutnikowymi

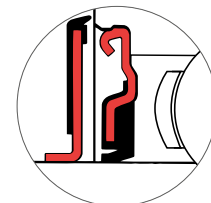
Seria 1000GFS

1000GFS

Ze sferyczną średnicą zewnętrzną
i zintegrowanym mocowaniem za pomocą zespołu wkrętów



Promień do zlikwidowania
maks. promienia zaokrąglenia r



| Średnica wału | | Oznaczenie RHP | Wymiary (mm) | | | | | | | Nośność wg ISO | | Zalecana maks. prędkość min ⁻¹ | Masa (około) kg | |
|---------------|--------|----------------|-----------------|-------|-------|-------|-------|-------|------|----------------------------------|----------------------------------|---|-----------------|-----------------|
| mm | cale | | D | C | B | s | d1 | M | r | dynamiczna C _r niuton | statyczna C _{0r} niuton | | | |
| 25 | | 1025-25GFS | 52.000 | 15.00 | 34.10 | 14.33 | 34.00 | 5.00 | 1.00 | 14000 | 7880 | 6250 | 0.17 | |
| | | 1025-7/8GFS | | | | | | | | | | | | |
| | | 1025-15/16GFS | | | | | | | | | | | | |
| | | 1025-1GFS | | | | | | | | | | | | |
| 25 | | 1030-25GFS | 62.000 | 16.00 | 38.10 | 15.93 | 40.30 | 5.00 | 1.00 | 19500 | 11300 | 5300 | 0.37 | |
| | 30 | | | | | | | | | | | | | 1030-30GFS |
| | | | | | | | | | | | | | | 1030-7/8GFS |
| | | 1 | | | | | | | | | | | | 1030-1GFS |
| | | 1 1/8 | | | | | | | | | | | | 1030-1 1/8GFS |
| | | 1 3/16 | | | | | | | | | | | | 1030-1 3/16GFS |
| | 1 1/4 | 1030-1 1/4GFS | | | | | | | | | | | | |
| 30 | | 1035-30GFS | 72.000 | 17.00 | 42.90 | 17.53 | 46.90 | 6.50 | 1.00 | 25700 | 15300 | 4500 | 0.51 | |
| | 35 | | | | | | | | | | | | | 1035-35GFS |
| | | | | | | | | | | | | | | 1035-1 3/16GFS |
| | | 1 1/4 | | | | | | | | | | | | 1035-1 1/4GFS |
| | | 1 5/16 | | | | | | | | | | | | 1035-1 5/16GFS |
| | | 1 3/8 | | | | | | | | | | | | 1035-1 3/8GFS |
| | 1 7/16 | 1035-1 7/16GFS | | | | | | | | | | | | |
| 35 | | 1040-35GFS | 80.000 | 18.00 | 49.20 | 19.03 | 52.40 | 8.00 | 1.00 | 32500 | 19900 | 4000 | 0.64 | |
| | 40 | | | | | | | | | | | | | 1040-40GFS |
| | | | | | | | | | | | | | | 1040-1 3/8GFS |
| | | | | | | | | | | | | | | 1040-1 7/16GFS |
| | | | | | | | | | | | | | | 1040-1 1/2GFS |
| 40 | | 1045-40GFS | 85.000 | 19.00 | 49.20 | 19.04 | 57.40 | 8.00 | 1.00 | 32500 | 20500 | 3700 | 0.73 | |
| | 45 | | | | | | | | | | | | | 1045-45GFS |
| | | | | | | | | | | | | | | 1045-1 1/2GFS |
| | | 1 5/8 | | | | | | | | | | | | 1045-1 5/8GFS |
| | | 1 11/16 | | | | | | | | | | | | 1045-1 11/16GFS |
| | | 1 3/4 | | | | | | | | | | | | 1045-1 3/4GFS |
| 45 | | 1050-45GFS | 90.000 | 20.00 | 51.60 | 19.04 | 62.40 | 10.00 | 1.00 | 35000 | 23200 | 3400 | 0.91 | |
| | 50 | | | | | | | | | | | | | 1050-50GFS |
| | | | | | | | | | | | | | | 1050-1 11/16GFS |
| | | 1 3/4 | | | | | | | | | | | | 1050-1 3/4GFS |
| | | 1 7/8 | | | | | | | | | | | | 1050-1 7/8GFS |
| | | 1 15/16 | | | | | | | | | | | | 1050-1 15/16GFS |
| | | 2 | | | | | | | | | | | | 1050-2GFS |
| | 50 | | | | | | | | | | | | | 1055-50GFS |
| 55 | | | 1055-55GFS | | | | | | | | | | | |
| | | | 1055-1 7/8GFS | | | | | | | | | | | |
| | | 1 15/16 | 1055-1 15/16GFS | | | | | | | | | | | |
| | | 2 | 1055-2GFS | | | | | | | | | | | |
| | | 2 1/8 | 1055-2 1/8GFS | | | | | | | | | | | |
| | 2 3/16 | 1055-2 3/16GFS | | | | | | | | | | | | |
| 55 | | 1060-55GFS | 110.000 | 22.00 | 65.10 | 25.44 | 76.00 | 10.00 | 1.50 | 48000 | 33000 | 2800 | 1.47 | |
| | 60 | | | | | | | | | | | | | 1060-60GFS |
| | | 1060-2 3/16GFS | | | | | | | | | | | | |
| | | 2 1/4 | 1060-2 1/4GFS | | | | | | | | | | | |
| | | 2 3/8 | 1060-2 3/8GFS | | | | | | | | | | | |
| | | 2 7/16 | 1060-2 7/16GFS | | | | | | | | | | | |

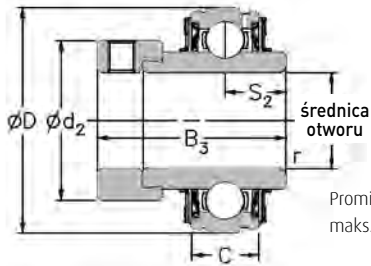
Prosimy sprawdzić dostępność

Wkładki łożyskowe Self-Lube[®] z uszczelkami odrzutnikowymi

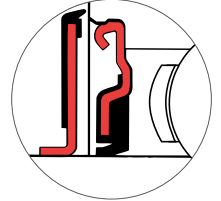
Seria 1000DECGFS

1000DECGFS

Ze sferyczną średnicą zewnętrzną i mocowaniem za pomocą pierścienia mimośrodowego



Promień do zlikwidowania maks. promienia zaokrąglenia r



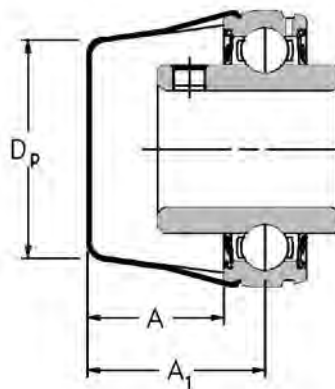
| Średnica wału | | Oznaczenie RHP | Wymiary (mm) | | | | | | Nośność wg ISO | | Zalecana maks. prędkość min ⁻¹ | Masa (około) kg |
|---------------|---------|--------------------|--------------|-------|-------|-------|-------|------|----------------------------------|----------------------------------|---|-----------------|
| mm | cale | | D | C | B3 | s2 | d2 | r | dynamiczna C _r niuton | statyczna C _{0r} niuton | | |
| 25 | | 1025-25DECGFS | 52.000 | 15.00 | 44.43 | 17.53 | 38.10 | 1.00 | 14000 | 7880 | 6250 | 0.26 |
| | 7/8 | 1025-7/8DECGFS | | | | | | | | | | |
| | 15/16 | 1025-15/16DECGFS | | | | | | | | | | |
| | 1 | 1025-1DECGFS | | | | | | | | | | |
| 30 | | 1030-30DECGFS | 62.000 | 16.00 | 48.43 | 18.33 | 44.50 | 1.00 | 19500 | 11300 | 5300 | 0.53 |
| | 1 | 1030-1 1/8DECGFS | | | | | | | | | | |
| | 1 3/16 | 1030-1 3/16DECGFS | | | | | | | | | | |
| | 1 1/4 | 1030-1 1/4DECGFS | | | | | | | | | | |
| 35 | | 1035-35DECGFS | 72.000 | 17.00 | 51.13 | 18.83 | 55.60 | 1.00 | 25700 | 15300 | 4500 | 0.70 |
| | 1 1/4 | 1035-1 1/4DECGFS | | | | | | | | | | |
| | 1 5/16 | 1035-1 5/16DECGFS | | | | | | | | | | |
| | 1 3/8 | 1035-1 3/8DECGFS | | | | | | | | | | |
| | 1 7/16 | 1035-1 7/16DECGFS | | | | | | | | | | |
| 40 | | 1040-40DECGFS | 80.000 | 18.00 | 56.33 | 21.43 | 60.30 | 1.00 | 32500 | 19900 | 4000 | 0.82 |
| | 1 1/2 | 1040-1 1/2DECGFS | | | | | | | | | | |
| 45 | | 1045-45DECGFS | 85.000 | 19.00 | 56.33 | 21.43 | 63.50 | 1.00 | 32500 | 20500 | 3700 | 1.08 |
| | 1 5/8 | 1045-1 5/8DECGFS | | | | | | | | | | |
| | 1 11/16 | 1045-1 11/16DECGFS | | | | | | | | | | |
| | 1 3/4 | 1045-1 3/4DECGFS | | | | | | | | | | |
| 50 | | 1050-50DECGFS | 90.000 | 20.00 | 62.73 | 24.64 | 69.90 | 1.00 | 35000 | 23200 | 3400 | 1.19 |
| | 1 7/8 | 1050-1 7/8DECGFS | | | | | | | | | | |
| | 1 15/16 | 1050-1 15/16DECGFS | | | | | | | | | | |
| 55 | | 1055-55DECGFS | 100.000 | 21.00 | 71.42 | 27.84 | 76.20 | 1.50 | 43500 | 29200 | 3100 | 1.40 |
| | 2 | 1055-2DECGFS | | | | | | | | | | |
| | 2 1/8 | 1055-2 1/8DECGFS | | | | | | | | | | |
| | 2 3/16 | 1055-2 3/16DECGFS | | | | | | | | | | |
| 60 | | 1060-60DECGFS | 110.000 | 22.00 | 77.84 | 31.04 | 84.20 | 1.50 | 48000 | 33000 | 2800 | 1.72 |
| | 2 1/4 | 1060-2 1/4DECGFS | | | | | | | | | | |
| | 2 3/8 | 1060-2 3/8DECGFS | | | | | | | | | | |
| | 2 7/16 | 1060-2 7/16DECGFS | | | | | | | | | | |

Prosimy sprawdzić dostępność

Ostona Self-Lube®

Asortyment oston

| Oznaczenie RHP | Wymiary (mm) | | | Podstawowa wkładka łożyskowa |
|----------------|--------------|------|------|------------------------------|
| | Dp | A | A1 | |
| 20P | 37.0 | 23.0 | 30.0 | 1020 |
| 25P | 42.5 | 23.0 | 30.5 | 1025 |
| 30P | 50.5 | 26.5 | 34.5 | 1030 |
| 35P | 60.5 | 28.5 | 37.0 | 1035 |
| 40P | 67.5 | 30.5 | 39.5 | 1040 |
| 45P | 72.0 | 30.0 | 39.5 | 1045 |
| 50P | 76.0 | 32.5 | 42.5 | 1050 |
| 55P | 85.0 | 37.5 | 48.0 | 1055 |
| 60P | 94.0 | 40.5 | 51.5 | 1060 |



Poniższa tabela pokazuje asortyment zespołów, które można zamontować z osłoną i wskazuje jak poprawnie dobrać osłonę.

| Wymiar otworu | Zespół Self-Lube® | | | | | | | | | | | | |
|--------------------|-------------------|---------|---------|-----------|--------|--------|-------|-----------|-----------|-----|------|--------|------|
| | NP | SFT | SNP | LFTC | FC | ST | BT | SLFEP | SLFTP | MFC | SCHB | NP-K | MP |
| | NP-A | SFT-A | SNP-A | LFTC-A | FC-A | ST-A | BT-A | SLFEP-A | SLFTP-A | | SCH | MP-K | MSF |
| | NP-EC | SFT-EC | SNP-EC | LFTC-EC | FC-EC | ST-EC | BT-EC | SLFEP-EC | SLFTP-EC | | | MSF-K | MSFT |
| | NP-DEC | SFT-DEC | SNP-DEC | LFTC-DEC | FC-DEC | ST-DEC | | SLFEP-DEC | SLFTP-DEC | | | MSFT-K | MST |
| | SL | SLC | CNP | SLFLP | | | | | | | | MST-K | MSC |
| | SL-A | SLC-A | CNP-A | SLFLP-A | | | | | | | | | |
| | SL-EC | SLC-EC | CNP-EC | SLFLP-EC | | | | | | | | | |
| | SL-DEC | SLC-DEC | CNP-DEC | SLFLP-DEC | | | | | | | | | |
| | SF | | | | | | | | | | | | |
| | SF-A | | | | | | | | | | | | |
| | SF-EC | | | | | | | | | | | | |
| | SF-DEC | | | | | | | | | | | | |
| 20, 3/4 | 20P | 20P | 20P | 20P | 20P | 20P | - | 20P | - | - | 20P | 20P | - |
| 25, 7/8, 15/16, 1 | 25P | 25P | 25P | 25P | 25P | 25P | 25P | 25P | 25P | 30P | 30P | 30P | 30P |
| 30, 1 1/8 | 30P | 30P | 30P | 30P | 30P | 30P | - | 30P | 30P | 30P | 30P | 35P | 35P |
| 1 3/16 | 30P | 30P | 30P | 30P | 30P | 30P | - | 30P | 30P | 35P | 35P | 35P | 35P |
| 1 1/4 | 35P | 35P | 35P | 35P | 35P | 35P | 35P | 30P | 30P | 35P | 35P | 40P | 35P |
| 35, 1 3/8 | 35P | 35P | 35P | 35P | 35P | 35P | 35P | 35P | 35P | 40P | 35P | 40P | 40P |
| 1 7/16 | 35P | 35P | 35P | 35P | 35P | 35P | 35P | 35P | 35P | 40P | 40P | 45P | 40P |
| 40, 1 1/2 | 40P | 40P | 40P | - | 40P | 40P | - | 40P* | - | 40P | 40P | 45P | 45P |
| 45, 1 5/8 | 45P | 45P | 45P | - | 45P | 45P | - | 45P* | - | 50P | 50P | 50P | 50P |
| 1 1 1/16, 1 3/4 | 45P | 45P | 45P | - | 45P | 45P | - | 45P* | - | 50P | 50P | 50P | 50P |
| 50, 1 7/8, 1 15/16 | 50P | 50P | - | - | 50P | 50P | - | 50P* | - | 55P | 50P | 55P | 55P |
| 2 | 55P | 55P | - | - | 55P | 55P | - | 55P* | - | 55P | 50P | 55P | 55P |
| 55, 2 1/8, 2 3/16 | 55P | 55P | - | - | 55P | 55P | - | 55P* | - | 60P | 60P | - | 60P |
| 2 1/4 | 60P | 60P | - | - | 60P | 60P | - | 60P* | - | 60P | 60P | - | 60P |
| 60, 2 3/8, 2 7/16 | 60P | 60P | - | - | 60P | 60P | - | 60P* | - | - | 60P | - | - |

* Prosimy sprawdzić dostępność zespołów (osłony mogą być dostępne, ale specjalne zespoły SLFEP nie).

Uwaga 1: Odpowiednią osłonę określa grupa podstawowej wkładki łożyskowej.

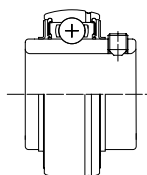
Uwaga 2: Jeśli zamontowano produkt z serii SLFL, SLFE lub SLFT z osłoną, nr referencyjny zespołu zawiera literę "P", np. SLFEP-25EC.



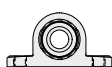


Numery referencyjne zespołów Silver-Lube®

Typ wkładki



Typ obudowy



| Strona | 100 |
|--------|------|
| 102 | PNP |
| 104 | PSF |
| 106 | PSFT |
| 108 | PST |

Numery referencyjne wkładki Silver-Lube®

| | | | | | | |
|---|--|-------------------------|---|---|---|--|
| J | 10 | 25 | - | 25 | G | CR |
| Odwrócony pierścień zewnętrzny (Rowek do smarowania po tej samej stronie co zespół wkrętów) | Profil PZ (średnica zewn.) 10: średnica zewnętrzna sferyczna | Grupa podstawowa | | Wymiar otworu 2 cyfry: wymiar w milimetrach Pojedyncza cyfra + ułamek: wymiar w calach | Dosmarowywalne G: Wszystkie oferowane jako dosmarowywalne | Odporne na korozję Pierścienie, koszyk, kulki i uszczelka odrzutnikowa wykonane ze stali nierdzewnej |

Asortyment produktów Silver-Lube®

Wprowadzenie

Seria Silver-Lube® to odporne na korozję zespoły łożyskowe przeznaczone specjalnie do zastosowań w przemyśle wszędzie tam, gdzie konieczne jest częste splukiwanie, liczą się optymalne standardy higieniczne oraz istotna jest dobra odporność chemiczna w dużych zakresach temperatur.

Zespoły dostępne są w konfiguracjach z obudową stojącą, obudową kołnierkową dwuśrubową, obudową kołnierkową czterośrubową i z obudową naciągową są w stanie skompensować wstępną niewspółosiowość spowodowaną błędami montażowymi.

W trakcie pracy zespoły udowodniły swą niezawodność w najbardziej niekorzystnych warunkach. Dosmarowanie jest możliwe celem uzyskania długiej bezawaryjnej żywotności, ograniczenia konserwacji oraz zmaksymalizowania produktywności i podtrzymania standardów higienicznych.

Zespoły Silver-Lube® wykonane są z żywicy termoplastycznej PBT, która oprócz tego, że nie koroduje, jest odporna na działanie detergentów i wielu środków chemicznych. Obudowy nie są pokrywane farbą lub innymi powłokami, co zapobiega łuszczeniu lub odpryskiwaniu, i posiadają gładkie powierzchnie sprzyjające intensywnemu splukiwaniu.

Wkładki łożyskowe Silver-Lube® wykonane są ze stali nierdzewnej i dostarczane w standardzie z efektywnymi uszczelnieniami i napełnione smarem glinowym kompleksowym dla przemysłu spożywczego, sprawdzonym w wysokich temperaturach.

Dla łożysk Silver-Lube® stosowany jest wewnętrzny luz promieniowy C3.

Wytrzymałość obudów

Obciążalność obudowy zależy od obciążalności dla danej aplikacji, która może być przerywana, ciągła lub cykliczna. Maksymalne obciążenia obudowy podane zostały w tabelach 1, 2, 3 i 4. Obciążenia te nie mogą zostać przekroczone bez wcześniejszej konsultacji z NSK.

Opublikowane maksymalne obciążalności obudów nie uwzględniają żadnego ograniczenia wytrzymałości spowodowanego narażeniem obudowy na działanie chemikaliów, wody, pary, wysokiej temperatury, światła ultrafioletowego lub jakiegokolwiek kombinacji powyższych czynników. Jeśli którykolwiek z tych czynników występuje w danym zastosowaniu, projektant lub użytkownik końcowy winien ustalić skutek takiego działania i odpowiednio ograniczyć podane obciążenie maksymalne obudowy.

Celem zmaksymalizowania obciążalności zaleca się zastosowanie podkładek ze śrubami mocującymi. Tabele 1, 2 oraz 3 podają również maksymalne momenty dokręcania śrub.

Generowanie elektryczności statycznej

W niektórych warunkach pracy zespoły łożyskowe Silver-Lube® mogą generować elektryczność statyczną.

W związku z tym zaleca się nie stosować łożysk Silver-Lube® w środowiskach grożących eksplozją lub łatwopalnych. Jeśli zespoły łożyskowe Silver-Lube® stosowane są w warunkach grożących eksplozją lub łatwopalnością, wkładka łożyskowa winna zostać uziemiona.

Wytrzymałość obudowy

Seria PNP

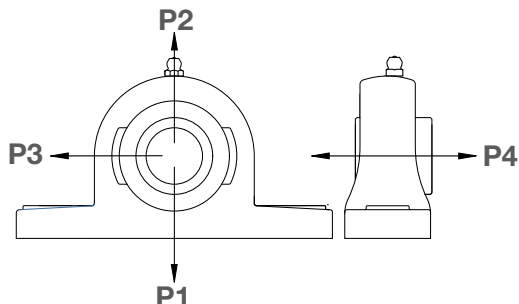


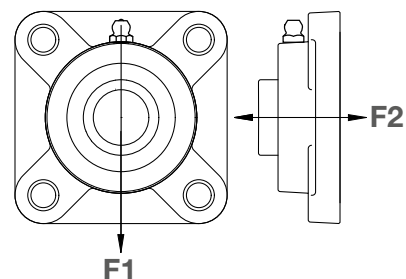
Tabela 1 Zespoły stojące PNP Silver-Lube® – obciążalność obudowy

| Oznaczenie RHP | Maksymalne obciążenie obudowy (N) w 20°C | | | | | | | | | | | | Maksymalny moment dokręcenia śruby mocującej (Nm) |
|----------------|--|-------------------|----------------------|-----------------------|-------------------|----------------------|-----------------------|-------------------|----------------------|-----------------------|-------------------|----------------------|---|
| | P1 | | | P2 | | | P3 | | | P4 | | | |
| | Obciążenie przerywane | Obciążenie ciągłe | Obciążenie cykliczne | Obciążenie przerywane | Obciążenie ciągłe | Obciążenie cykliczne | Obciążenie przerywane | Obciążenie ciągłe | Obciążenie cykliczne | Obciążenie przerywane | Obciążenie ciągłe | Obciążenie cykliczne | |
| PNP20CR | 3500 | 1700 | 800 | 2800 | 1400 | 800 | 2600 | 1300 | 700 | 1300 | 700 | 400 | 18 |
| PNP¾CR | 3500 | 1700 | 800 | 2800 | 1400 | 800 | 2600 | 1300 | 700 | 1300 | 700 | 400 | 18 |
| PNP25CR | 4000 | 2000 | 1000 | 3100 | 1500 | 800 | 2600 | 1300 | 700 | 1700 | 900 | 500 | 25 |
| PNP1CR | 4000 | 2000 | 1000 | 3100 | 1500 | 800 | 2600 | 1300 | 700 | 1700 | 900 | 500 | 25 |
| PNP30CR | 5000 | 2500 | 1200 | 3500 | 1800 | 1000 | 4000 | 2000 | 1100 | 2600 | 1300 | 700 | 30 |
| PNP1¾CR | 5000 | 2500 | 1200 | 3500 | 1800 | 1000 | 4000 | 2000 | 1100 | 2600 | 1300 | 700 | 30 |
| PNP1¼RCR | 5000 | 2500 | 1200 | 3500 | 1800 | 1000 | 4000 | 2000 | 1100 | 2600 | 1300 | 700 | 30 |
| PNP35CR | 6000 | 3000 | 1500 | 4300 | 2100 | 1200 | 4100 | 2100 | 1100 | 3200 | 1600 | 900 | 35 |
| PNP1¼CR | 6000 | 3000 | 1500 | 4300 | 2100 | 1200 | 4100 | 2100 | 1100 | 3200 | 1600 | 900 | 35 |
| PNP1¾CR | 6000 | 3000 | 1500 | 4300 | 2100 | 1200 | 4100 | 2100 | 1100 | 3200 | 1600 | 900 | 35 |
| PNP40CR | 10700 | 5300 | 2900 | 8000 | 4000 | 2200 | 6800 | 3400 | 1900 | 5200 | 2600 | 1400 | 40 |
| PNP1½CR | 10700 | 5300 | 2900 | 8000 | 4000 | 2200 | 6800 | 3400 | 1900 | 5200 | 2600 | 1400 | 40 |

Tabela 2 Zespoły kołnierzone PSF Silver-Lube® czterosrubowe – obciążalność obudowy

| Oznaczenie RHP | Maksymalne obciążenie obudowy (N) w 20°C | | | | | | Maksymalny moment dokręcenia śruby mocującej (Nm) |
|----------------|--|-------------------|----------------------|-----------------------|-------------------|----------------------|---|
| | F1 | | | F2 | | | |
| | Obciążenie przerywane | Obciążenie ciągłe | Obciążenie cykliczne | Obciążenie przerywane | Obciążenie ciągłe | Obciążenie cykliczne | |
| PSF20CR | 3100 | 1600 | 900 | 1300 | 700 | 400 | 18 |
| PSF¾CR | 3100 | 1600 | 900 | 1300 | 700 | 400 | 18 |
| PSF25CR | 3500 | 1700 | 1000 | 1300 | 700 | 400 | 25 |
| PSF1CR | 3500 | 1700 | 1000 | 1300 | 700 | 400 | 25 |
| PSF30CR | 4600 | 2300 | 1300 | 2200 | 1100 | 600 | 30 |
| PSF1¾CR | 4600 | 2300 | 1300 | 2200 | 1100 | 600 | 30 |
| PSF1¼RCR | 4600 | 2300 | 1300 | 2200 | 1100 | 600 | 30 |
| PSF35CR | 6200 | 3100 | 1700 | 2600 | 1300 | 700 | 35 |
| PSF1¼CR | 6200 | 3100 | 1700 | 2600 | 1300 | 700 | 35 |
| PSF1¾CR | 6200 | 3100 | 1700 | 2600 | 1300 | 700 | 35 |
| PSF40CR | 6200 | 3100 | 1700 | 4000 | 2000 | 1100 | 40 |
| PSF1½CR | 6200 | 3100 | 1700 | 4000 | 2000 | 1100 | 40 |

Seria PSF



Seria PSFT

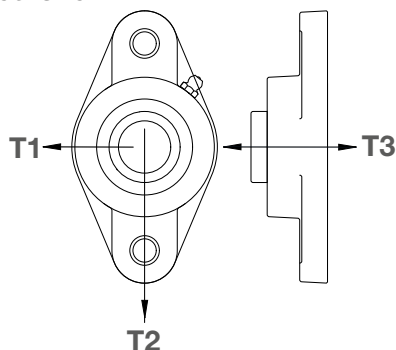


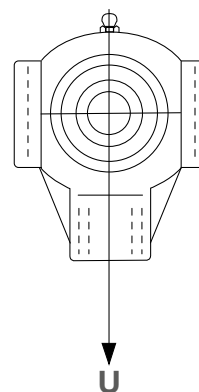
Tabela 3 PSFT z obudową kołnierzową dwuśrubową Silver-Lube® - obciążalność obudowy

| Oznaczenie RHP | Maksymalne obciążenie obudowy (N) w 20°C | | | | | | | | | Maksymalny moment dokręcenia śruby mocującej (Nm) |
|----------------|--|-------------------|----------------------|-----------------------|-------------------|----------------------|-----------------------|-------------------|----------------------|---|
| | T1 | | | T2 | | | T3 | | | |
| | Obciążenie przerywane | Obciążenie ciągłe | Obciążenie cykliczne | Obciążenie przerywane | Obciążenie ciągłe | Obciążenie cykliczne | Obciążenie przerywane | Obciążenie ciągłe | Obciążenie cykliczne | |
| PSFT20CR | 4400 | 2200 | 1200 | 1900 | 900 | 500 | 1300 | 700 | 400 | 18 |
| PSFT¾CR | 4400 | 2200 | 1200 | 1900 | 900 | 500 | 1300 | 700 | 400 | 18 |
| PSFT25CR | 4400 | 2200 | 1200 | 3000 | 1500 | 800 | 1400 | 700 | 400 | 25 |
| PSFT1CR | 4400 | 2200 | 1200 | 3000 | 1500 | 800 | 1400 | 700 | 400 | 25 |
| PSFT30CR | 5900 | 2900 | 1600 | 3300 | 1600 | 900 | 2000 | 1000 | 500 | 30 |
| PSFT1¼CR | 5900 | 2900 | 1600 | 3300 | 1600 | 900 | 2000 | 1000 | 500 | 30 |
| PSFT1¼RCR | 5900 | 2900 | 1600 | 3300 | 1600 | 900 | 2000 | 1000 | 500 | 30 |
| PSFT35CR | 6400 | 3200 | 1700 | 3900 | 2000 | 1100 | 2800 | 1400 | 800 | 35 |
| PSFT1¼CR | 6400 | 3200 | 1700 | 3900 | 2000 | 1100 | 2800 | 1400 | 800 | 35 |
| PSFT1¼CR | 6400 | 3200 | 1700 | 3900 | 2000 | 1100 | 2800 | 1400 | 800 | 35 |
| PSFT40CR | 9000 | 4500 | 2500 | 3900 | 2000 | 1100 | 3300 | 1600 | 900 | 40 |
| PSFT1½CR | 9000 | 4500 | 2500 | 3900 | 2000 | 1100 | 3300 | 1600 | 900 | 40 |

Tabela 4 PST Silver-Lube® z obudową naciągową - obciążalność obudowy

| Oznaczenie RHP | Maksymalne obciążenie obudowy (N) w 20°C | | |
|----------------|--|---------------------|------------------------|
| | U Obciążenie przerywane | U Obciążenie ciągłe | U Obciążenie cykliczne |
| PST20CR | 5700 | 2800 | 1600 |
| PST¾CR | 5700 | 2800 | 1600 |
| PST25CR | 5400 | 2700 | 1500 |
| PST1CR | 5400 | 2700 | 1500 |
| PST30CR | 8100 | 4000 | 2300 |
| PST1¼CR | 8100 | 4000 | 2300 |
| PST1¼RCR | 8100 | 4000 | 2300 |
| PST35CR | 7800 | 3900 | 2200 |
| PST1¼CR | 7800 | 3900 | 2200 |
| PST1¼CR | 7800 | 3900 | 2200 |
| PST40CR | 8100 | 4000 | 2300 |
| PST1½CR | 8100 | 4000 | 2300 |

Seria PST



Wkładki łożyskowe Silver-Lube®

Wkładki łożyskowe Silver-Lube® posiadają pierścienie i kulki wykonane z nierdzewnej stali martenzytycznej oraz koszyk, uszczelki odrzutnikowe i zespół wkrętów wykonane z nierdzewnej stali austenitycznej.

Smar dostarczany w tym produkcie to kompleksowy smar aluminiowy dla przemysłu spożywczego sklasyfikowany jako H1 NSF. W razie zaistnienia konieczności dosmarowywania ten typ smaru należy stosować w pierwszej kolejności.

Jeśli kompleksowy smar aluminiowy dla przemysłu spożywczego nie jest dostępny ważne jest, aby jakkolwiek smar alternatywny był zaaprobowany jako NSF H1 i idealnie kompatybilny pod względem składu chemicznego z oryginalnym smarem. Jeśli nie można zapewnić zgodności chemicznej zaleca się wypłukanie całości pozostałego smaru z układu przed ponownym wprowadzeniem nowego smaru. W razie potrzeby należy skonsultować się z NSK.

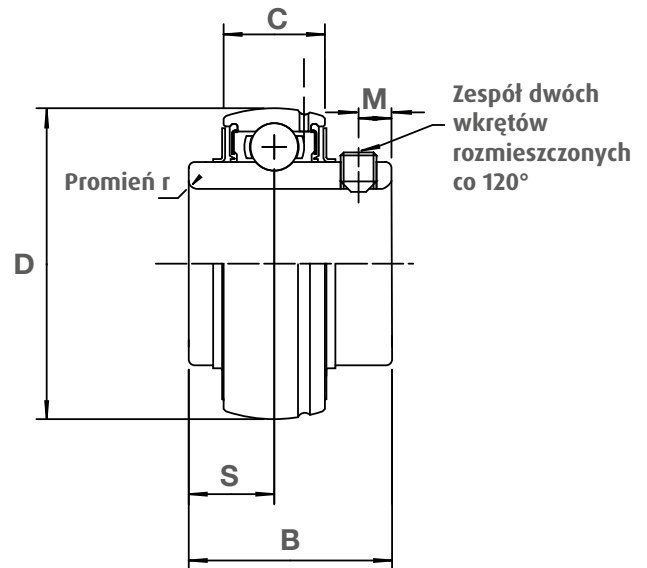


Tabela 5 Oznaczenia wkładek, wymiary i waga

Jednostki: mm

| Oznaczenie RHP | Średnica otworu | D | C | B | S | r | M | C _r (N) | C _{or} (N) | Waga (kg) |
|----------------|-----------------|----|----|------|------|-----|-----|--------------------|---------------------|-----------|
| J1020-20GCR | 20 | 47 | 17 | 31.0 | 12.7 | 1.5 | 5.0 | 9910 | 5350 | 0.16 |
| J1020-¾GCR | ¾" | 47 | 17 | 31.0 | 12.7 | 1.5 | 5.0 | 9910 | 5350 | 0.16 |
| J1025-25GCR | 25 | 52 | 17 | 34.1 | 14.3 | 1.5 | 5.0 | 10820 | 6300 | 0.20 |
| J1025-1GCR | 1" | 52 | 17 | 34.1 | 14.3 | 1.5 | 5.0 | 10820 | 6300 | 0.20 |
| J1030-30GCR | 30 | 62 | 19 | 38.1 | 15.9 | 1.5 | 5.0 | 15000 | 9050 | 0.32 |
| J1030-1⅜GCR | 1⅜" | 62 | 19 | 38.1 | 15.9 | 1.5 | 5.0 | 15000 | 9050 | 0.32 |
| J1030-1¼GCR | 1¼" | 62 | 19 | 38.1 | 15.9 | 1.5 | 5.0 | 15000 | 9050 | 0.32 |
| J1035-35GCR | 35 | 72 | 20 | 42.9 | 17.5 | 2.0 | 6.5 | 19820 | 12300 | 0.48 |
| J1035-1¼GCR | 1¼" | 72 | 20 | 42.9 | 17.5 | 2.0 | 6.5 | 19820 | 12300 | 0.48 |
| J1035-1⅞GCR | 1⅞" | 72 | 20 | 42.9 | 17.5 | 2.0 | 6.5 | 19820 | 12300 | 0.48 |
| J1040-40GCR | 40 | 80 | 21 | 49.2 | 19.0 | 2.0 | 8.0 | 22540 | 14300 | 0.64 |
| J1040-1½GCR | 1½" | 80 | 21 | 49.2 | 19.0 | 2.0 | 8.0 | 22540 | 14300 | 0.64 |

Tolerancje wału i dopuszczalne prędkości

Dopuszczalna prędkość wkładki łożyskowej zależy od tolerancji wału. Dla wyższych prędkości zaleca się tolerancję wału ISO h7. Tolerancja wału ISO h9 może zostać wykorzystana dla aplikacji wymagających niższych prędkości. Więcej informacji znajduje się w tabeli 6.

| Podstawowa wkładka łożyskowa | Prędkość graniczna łożyska (min ⁻¹) | Tolerancja wału ISO h7 (Odchyłka górna 0.001 mm) | Tolerancja wału ISO h7 (Odchyłka dolna 0.001 mm) | Prędkość graniczna łożyska (min ⁻¹) | Tolerancja wału ISO h9 (Odchyłka górna 0.001 mm) | Tolerancja wału ISO h9 (Odchyłka dolna 0.001 mm) |
|------------------------------|---|--|--|---|--|--|
| J1020 | 2900 | 0 | -21 | 1490 | 0 | -52 |
| J1025 | 2600 | 0 | -21 | 1300 | 0 | -52 |
| J1030 | 2180 | 0 | -21 | 1090 | 0 | -52 |
| J1035 | 1870 | 0 | -25 | 940 | 0 | -62 |
| J1040 | 1650 | 0 | -25 | 830 | 0 | -62 |

Materiały i momenty obrotowe dokręcania

Materiały

| | Części | Materiały |
|-----------------|------------------------|--|
| Łożysko | Pierścienie łożyska | Nierdzewna stal martenzytyczna (odpowiednik stali SUS440C) |
| | Kulka | Nierdzewna stal martenzytyczna (odpowiednik stali SUS440C) |
| | Uszczelka odrzutnikowa | Nierdzewna stal austenityczna (odpowiednik stali SUS302) |
| | Zespół wkrętów | Nierdzewna stal martenzytyczna (odpowiednik stali SUS304) |
| | Koszyk | Nierdzewna stal austenityczna (odpowiednik stali SUS302) |
| Obudowa łożyska | | Żywica termoplastyczna PBT |

Momenty obrotowe dokręcania wkrętów

Wkręty ustalające wkładki łożyskowych Silver-Lube® produkowane są ze stali nierdzewnej i mogą pękać w przypadku nadmiernego dokręcenia.

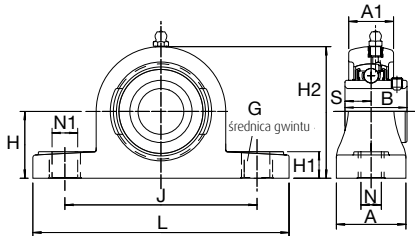
Podane poniżej w Tabeli 7 graniczne momenty dokręcenia wkrętów nie powinny być przekraczane.

Tabela 7 Zalecane momenty dokręcania wkrętów ustalających

| Oznaczenie łożyska | Oznaczenie wkrętów ustalających | Maksymalny moment dokręcenia (Nm) |
|--------------------|---------------------------------|-----------------------------------|
| J1020-20GCR | M6 X 6.0 LONG | 4 |
| J1020-3/4GCR | M6 X 6.0 LONG | 4 |
| J1025-25GCR | M6 X 6.0 LONG | 4 |
| J1025-1GCR | M6 X 6.0 LONG | 4 |
| J1030-30GCR | M6 X 6.0 LONG | 4 |
| J1030-13/16GCR | M6 X 6.0 LONG | 4 |
| J1030-11/4GCR | M6 X 6.0 LONG | 4 |
| J1035-35GCR | M8 X 8.0 LONG | 8 |
| J1035-11/4GCR | M8 X 8.0 LONG | 8 |
| J1035-17/16GCR | M8 X 8.0 LONG | 8 |
| J1040-40GCR | M8 X 8.0 LONG | 8 |
| J1040-11/2GCR | M8 X 8.0 LONG | 8 |

Wymiary zespołów

Tabela 8: Obudowy stojące PNP Silver-Lube® – wymiary zespołów



Seria PNP

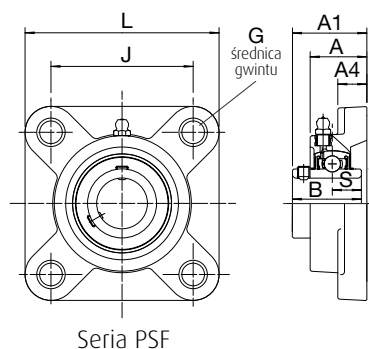
| Średnica wału | | Oznaczenie RHP | Podstawowa wkładka łożyskowa | Typ obudowy | Wymiary (mm) | | | | |
|---------------|--------|----------------|------------------------------|-------------|--------------|------|------|------|-------|
| mm | cale | | | | L | H | H1 | H2 | J |
| 20 | | PNP20CR | J1020 | 2 | 127.2 | 33.3 | 14.2 | 65.9 | 94.9 |
| | 3/4 | PNP3/4CR | J1020 | 2 | 127.2 | 33.3 | 14.2 | 65.9 | 94.9 |
| 25 | | PNP25CR | J1025 | 3 | 140.2 | 36.5 | 14.5 | 71.9 | 104.9 |
| | 1 | PNP1CR | J1025 | 3 | 140.2 | 36.5 | 14.5 | 71.9 | 104.9 |
| 30 | | PNP30CR | J1030 | 4 | 162.2 | 42.9 | 17.8 | 83.9 | 118.9 |
| | 1 1/16 | PNP1 1/16CR | J1030 | 4 | 162.2 | 42.9 | 17.8 | 83.9 | 118.9 |
| | 1 1/4 | PNP1 1/4RCR | J1030 | 4 | 162.2 | 42.9 | 17.8 | 83.9 | 118.9 |
| 35 | | PNP35CR | J1035 | 5 | 167.2 | 47.6 | 18.0 | 94.9 | 126.9 |
| | 1 1/4 | PNP1 1/4CR | J1035 | 5 | 167.2 | 47.6 | 18.0 | 94.9 | 126.9 |
| | 1 7/16 | PNP1 7/16CR | J1035 | 5 | 167.2 | 47.6 | 18.0 | 94.9 | 126.9 |
| 40 | | PNP40CR | J1040 | 6 | 184.2 | 49.2 | 19.5 | 98.9 | 136.8 |
| | 1 1/2 | PNP1 1/2CR | J1040 | 6 | 184.2 | 49.2 | 19.5 | 98.9 | 136.8 |

Wszystkie wymiary podano w mm, oprócz wymiarów wału w calach.

| Wymiary (mm) | | | | | | | Waga kg |
|--------------|------|-----|------|------|------|------|------------|
| N | N1 | G | A | A1 | B | S | |
| 11.0 | 14.2 | M10 | 37.8 | 22.5 | 31.0 | 12.7 | 0.27 |
| 11.0 | 14.2 | M10 | 37.8 | 22.5 | 31.0 | 12.7 | 0.27 |
| 11.0 | 14.2 | M10 | 37.8 | 24.5 | 34.0 | 14.3 | 0.39 |
| 11.0 | 14.2 | M10 | 37.8 | 24.5 | 34.0 | 14.3 | 0.39 |
| 14.0 | 18.2 | M12 | 45.8 | 27.0 | 38.1 | 15.9 | 0.52 |
| 14.0 | 18.2 | M12 | 45.8 | 27.0 | 38.1 | 15.9 | 0.52 |
| 14.0 | 18.2 | M12 | 45.8 | 27.0 | 38.1 | 15.9 | 0.52 |
| 14.0 | 18.2 | M12 | 47.8 | 32.5 | 42.9 | 17.5 | 0.72 |
| 14.0 | 18.2 | M12 | 47.8 | 32.5 | 42.9 | 17.5 | 0.72 |
| 14.0 | 18.2 | M12 | 47.8 | 32.5 | 42.9 | 17.5 | 0.72 |
| 14.0 | 18.2 | M12 | 53.8 | 36.0 | 49.2 | 19.0 | 0.99 |
| 14.0 | 18.2 | M12 | 53.8 | 36.0 | 49.2 | 19.0 | 0.99 |

Wymiary zespołów

Tabela 9: Zespoły PSF z obudową kołnierzową czterośrubową Silver-Lube®
– wymiary zespołów



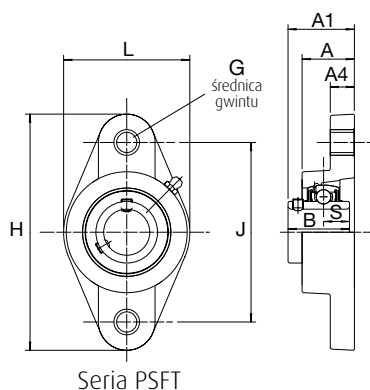
| Średnica wału | | Oznaczenie RHP | Podstawowa wkładka łożyskowa | Typ obudowy | Wymiary (mm) | | |
|---------------|--------|----------------|------------------------------|-------------|--------------|-------|-----|
| mm | cale | | | | L | J | G |
| 20 | | PSF20CR | J1020 | 2 | 86.5 | 63.5 | M10 |
| | 3/4 | PSF3/4CR | J1020 | 2 | 86.5 | 63.5 | M10 |
| 25 | | PSF25CR | J1025 | 3 | 95.0 | 70.0 | M10 |
| | 1 | PSF1CR | J1025 | 3 | 95.0 | 70.0 | M10 |
| 30 | | PSF30CR | J1030 | 4 | 107.5 | 83.0 | M12 |
| | 1 1/16 | PSF1 1/16CR | J1030 | 4 | 107.5 | 83.0 | M12 |
| | 1/4 | PSF1 1/4RCR | J1030 | 4 | 107.5 | 83.0 | M12 |
| 35 | | PSF35CR | J1035 | 5 | 117.5 | 92.0 | M12 |
| | 1/4 | PSF1 1/4CR | J1035 | 5 | 117.5 | 92.0 | M12 |
| | 1 1/16 | PSF1 1/16CR | J1035 | 5 | 117.5 | 92.0 | M12 |
| 40 | | PSF40CR | J1040 | 6 | 130.5 | 102.0 | M12 |
| | 1 1/2 | PSF1 1/2CR | J1040 | 6 | 130.5 | 102.0 | M12 |

Wszystkie wymiary podano w mm, oprócz wymiarów wału w calach.

| Wymiary (mm) | | | | | Waga kg |
|--------------|------|------|------|------|------------|
| A | A1 | A4 | B | S | |
| 27.8 | 36.3 | 13.4 | 31.0 | 12.7 | 0.28 |
| 27.8 | 36.3 | 13.4 | 31.0 | 12.7 | 0.28 |
| 27.9 | 36.7 | 14.3 | 34.0 | 14.3 | 0.34 |
| 27.9 | 36.7 | 14.3 | 34.0 | 14.3 | 0.34 |
| 31.5 | 41.4 | 14.3 | 38.1 | 15.9 | 0.50 |
| 31.5 | 41.4 | 14.3 | 38.1 | 15.9 | 0.50 |
| 31.5 | 41.4 | 14.3 | 38.1 | 15.9 | 0.50 |
| 34.8 | 46.9 | 15.5 | 42.9 | 17.5 | 0.74 |
| 34.8 | 46.9 | 15.5 | 42.9 | 17.5 | 0.74 |
| 34.8 | 46.9 | 15.5 | 42.9 | 17.5 | 0.74 |
| 37.5 | 53.2 | 17.1 | 49.2 | 19.0 | 0.98 |
| 37.5 | 53.2 | 17.1 | 49.2 | 19.0 | 0.98 |

Wymiary zespołów

Tabela 10: Zespoły PSFT z obudową kołnierzową dwuśrubową Silver-Lube®
– wymiary zespołów



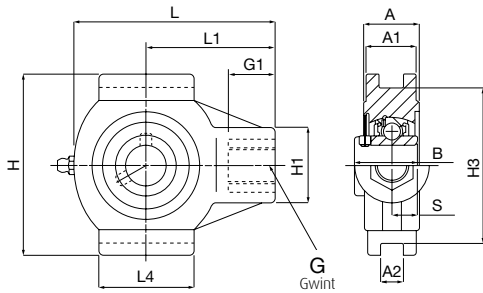
| Średnica wału | | Oznaczenie RHP | Podstawowa wkładka łożyskowa | Typ obudowy | Wymiary (mm) | | |
|---------------|--------|----------------|------------------------------|-------------|--------------|-------|-------|
| mm | cale | | | | L | H | J |
| 20 | | PSFT20CR | J1020 | 2 | 64.1 | 113.3 | 90.0 |
| | 3/4 | PSFT3/4CR | J1020 | 2 | 64.1 | 113.3 | 90.0 |
| 25 | | PSFT25CR | J1025 | 3 | 68.4 | 130.3 | 99.0 |
| | 1 | PSFT1CR | J1025 | 3 | 68.4 | 130.3 | 99.0 |
| 30 | | PSFT30CR | J1030 | 4 | 80.1 | 148.3 | 117.0 |
| | 1 1/16 | PSFT1 1/16 CR | J1030 | 4 | 80.1 | 148.3 | 117.0 |
| | 1/4 | PSFT1 1/4 RCR | J1030 | 4 | 80.1 | 148.3 | 117.0 |
| 35 | | PSFT35CR | J1035 | 5 | 90.1 | 163.3 | 130.0 |
| | 1/4 | PSFT1 1/4 CR | J1035 | 5 | 90.1 | 163.3 | 130.0 |
| | 1 1/16 | PSFT1 1/16 CR | J1035 | 5 | 90.1 | 163.3 | 130.0 |
| 40 | | PSFT40CR | J1040 | 6 | 100.1 | 175.3 | 144.0 |
| | 1 1/2 | PSFT1 1/2 CR | J1040 | 6 | 100.1 | 175.3 | 144.0 |

Wszystkie wymiary podano w mm, oprócz wymiarów wału w calach.

| G | Wymiary (mm) | | | | | Waga kg |
|----------|---------------------|-----------|-----------|----------|----------|--------------------|
| | A | A1 | A4 | B | S | |
| M10 | 26.5 | 33.7 | 11.4 | 31.0 | 12.7 | 0.24 |
| M10 | 26.5 | 33.7 | 11.4 | 31.0 | 12.7 | 0.24 |
| M10 | 29.1 | 36.7 | 13.4 | 34.0 | 14.3 | 0.30 |
| M10 | 29.1 | 36.7 | 13.4 | 34.0 | 14.3 | 0.30 |
| M10 | 30.5 | 41.2 | 13.4 | 38.1 | 15.9 | 0.44 |
| M10 | 30.5 | 41.2 | 13.4 | 38.1 | 15.9 | 0.44 |
| M10 | 30.5 | 41.2 | 13.4 | 38.1 | 15.9 | 0.44 |
| M12 | 32.8 | 43.4 | 16.1 | 42.9 | 17.5 | 0.64 |
| M12 | 32.8 | 43.4 | 16.1 | 42.9 | 17.5 | 0.64 |
| M12 | 32.8 | 43.4 | 16.1 | 42.9 | 17.5 | 0.64 |
| M12 | 37.5 | 51.7 | 20.0 | 49.2 | 19.0 | 0.89 |
| M12 | 37.5 | 51.7 | 20.0 | 49.2 | 19.0 | 0.89 |

Wymiary zespołów

Tabela 11: Zespoły naciągowe PST Silver-Lube® – wymiary zespołów



Seria PST

| Średnica wału | | Oznaczenie RHP | Podstawowa wkładka łożyskowa | Typ obudowy | Wymiary (mm) | | | | |
|---------------|--------|----------------|------------------------------|-------------|--------------|------|------|-------|------|
| mm | cale | | | | L | L1 | L4 | H | H1 |
| 20 | | PST20CR | J1020 | 2 | 99.0 | 64.0 | 47.0 | 88.0 | 35.0 |
| | 3/4 | PST3/4CR | J1020 | 2 | 99.0 | 64.0 | 47.0 | 88.0 | 35.0 |
| 25 | | PST25CR | J1025 | 3 | 99.0 | 64.0 | 47.0 | 88.0 | 35.0 |
| | 1 | PST1CR | J1025 | 3 | 99.0 | 64.0 | 47.0 | 88.0 | 35.0 |
| 30 | | PST30CR | J1030 | 4 | 125.0 | 76.0 | 63.0 | 102.0 | 40.0 |
| | 1 1/16 | PST1 1/16 CR | J1030 | 4 | 125.0 | 76.0 | 63.0 | 102.0 | 40.0 |
| | 1 1/4 | PST1 1/4 RCR | J1030 | 4 | 125.0 | 76.0 | 63.0 | 102.0 | 40.0 |
| 35 | | PST35CR | J1035 | 5 | 125.0 | 76.0 | 63.0 | 102.0 | 40.0 |
| | 1 1/4 | PST1 1/4 CR | J1035 | 5 | 125.0 | 76.0 | 63.0 | 102.0 | 40.0 |
| | 1 1/16 | PST1 1/16 CR | J1035 | 5 | 125.0 | 76.0 | 63.0 | 102.0 | 40.0 |
| 40 | | PST40CR | J1040 | 6 | 140.0 | 85.0 | 80.0 | 114.0 | 40.0 |
| | 1 1/2 | PST1 1/2 CR | J1040 | 6 | 140.0 | 85.0 | 80.0 | 114.0 | 40.0 |

Wszystkie wymiary podano w mm, oprócz wymiarów wału w calach.

| Wymiary (mm) | | | | | | | | Waga kg |
|--------------|----------|------|------|------|------|------|------|------------|
| H3 | G | G1 | A | A1 | A2 | B | S | |
| 75.8 | M16X2.00 | 22.5 | 27.5 | 24.5 | 12.2 | 31.0 | 12.7 | 0.32 |
| 75.8 | M16X2.00 | 22.5 | 27.5 | 24.5 | 12.2 | 31.0 | 12.7 | 0.32 |
| 75.8 | M16X2.00 | 22.5 | 27.5 | 24.5 | 12.2 | 34.0 | 14.3 | 0.36 |
| 75.8 | M16X2.00 | 22.5 | 27.5 | 24.5 | 12.2 | 34.0 | 14.3 | 0.36 |
| 88.8 | M16X2.00 | 22.5 | 34.5 | 30.0 | 12.2 | 38.1 | 15.9 | 0.53 |
| 88.8 | M16X2.00 | 22.5 | 34.5 | 30.0 | 12.2 | 38.1 | 15.9 | 0.53 |
| 88.8 | M16X2.00 | 22.5 | 34.5 | 30.0 | 12.2 | 38.1 | 15.9 | 0.53 |
| 88.8 | M16X2.00 | 22.5 | 34.5 | 30.0 | 12.2 | 42.9 | 17.5 | 0.74 |
| 88.8 | M16X2.00 | 22.5 | 34.5 | 30.0 | 12.2 | 42.9 | 17.5 | 0.74 |
| 88.8 | M16X2.00 | 22.5 | 34.5 | 30.0 | 12.2 | 42.9 | 17.5 | 0.74 |
| 101.8 | M16X2.00 | 22.5 | 34.0 | 32.0 | 16.2 | 49.2 | 19.0 | 1.00 |
| 101.8 | M16X2.00 | 22.5 | 34.0 | 32.0 | 16.2 | 49.2 | 19.0 | 1.00 |



Wkładki Molded-Oil™ z obudowami ze stali nierdzewnej

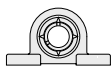


Oznaczenia zespołów Molded-Oil™ ze stali nierdzewnej

Rodzaj wkładki

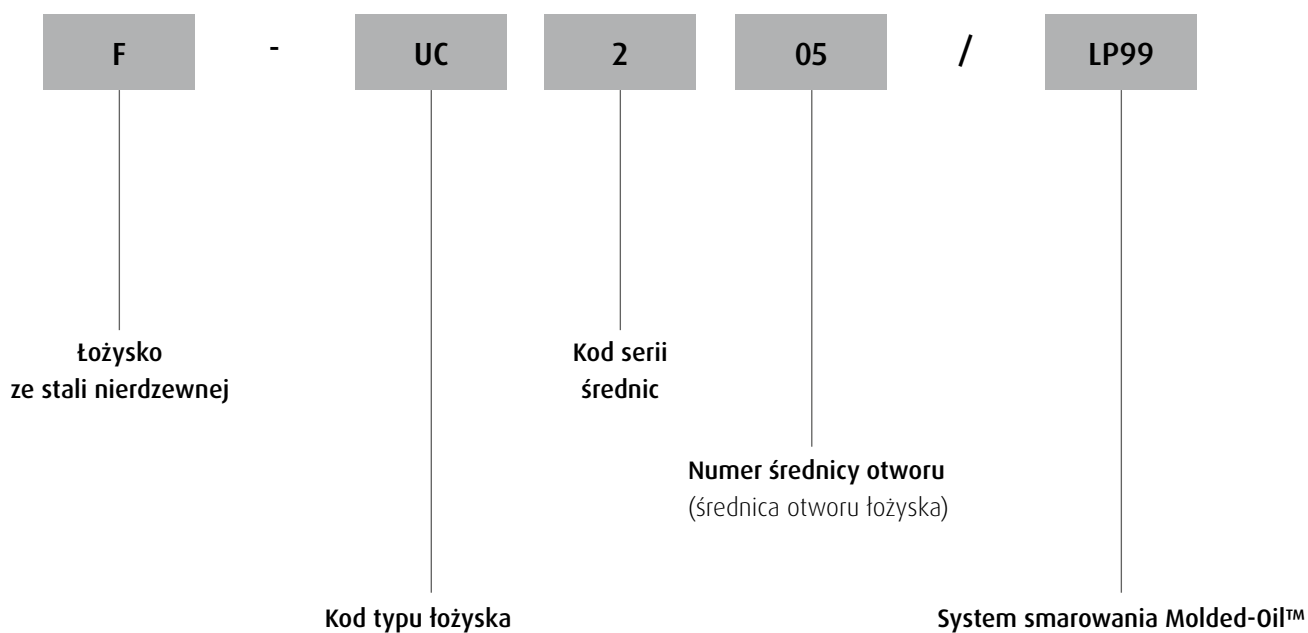


Rodzaj obudowy



| Strona | Seria |
|--------|---------|
| 114 | F-UCPM2 |
| 116 | F-UCFM2 |

Oznaczenia wkładek Molded-Oil™



Seria zespołów łożysk kulkowych ze stali nierdzewnej

Wprowadzenie

Seria ta zapewnia odporność na korozję i dłuższą żywotność smarowania w czystym zespole z niskim momentem obrotowym.

Zespoły łożysk kulkowych firmy NSK z serii nierdzewnej to łożyska kulkowe osadzone w obudowach wykonanych z nierdzewnej stali zapewniającej wyższą odporność na korozję w porównaniu ze standardowymi seriami zespołów wykonanych z odlewów żeliwnych. Seria ta jest bardzo przydatna dla szerokiej gamy zastosowań dzięki nierdzewnym właściwościom obudowy.

Łożyska Molded-Oil™ smarowane są własnym materiałem NSK impregnowanym olejem – Molded-Oil™. Materiał Molded-Oil™ składa się z oleju smarującego oraz żywicy poliolefinowej, wykazując podobieństwo do smarowania olejowego. Olej wolno uwalniający się z materiału zapewnia obfite smarowanie łożyska przez dłuższy czas.

W związku z tym, że olej uwalniający się z materiału Molded-Oil™ wewnątrz łożyska zapewnia wystarczające smarowanie, nie ma potrzeby dokonywać uciążliwego napełniania, dzięki czemu zapobiega się zanieczyszczeniu otoczenia.

Przed wypełnieniem łożysk materiałem Molded-Oil™, ich wewnętrzne powierzchnie poddawane są specjalnemu zabiegowi. W wyniku tego działania moment obrotowy łożyska jest o wiele wyższy niż w przypadku łożysk smarowanych smarem.

Podstawowe wymiary są takie same jak obecnych zespołów NSK i są również zgodne z zespołami innych producentów stosujących standardy ISO.

Materiały

| | Części | Materiały |
|-----------------|--|--|
| Łożysko | Bieżnie | Nierdzewna stal martenzytyczna (odpowiednik stali SUS440C) |
| | Kulka | Nierdzewna stal martenzytyczna (odpowiednik stali SUS440C) |
| | Uszczelnienia odrzutnikowe, koszyk | Nierdzewna stal austenityczna (odpowiednik stali SUS304) |
| | Uszczelka gumowa | Guma nitylowa |
| Obudowa łożyska | Wkręty ustalające (W kształt Iba wkręta) | Nierdzewna stal martenzytyczna (odpowiednik stali SUS410) |
| | | Odlew z nierdzewnej stali austenitycznej (SCS13) |

Zalecana temperatura pracy i dozwolone prędkości

Zaleca się, by łożyska Molded-Oil™ pracowały w temperaturze od -15 do +80°C. Jednakże, temperatura pracy winna być niższa niż +60°C jeśli łożysko eksploatowane jest w sposób ciągły.

Wartość dn: $12 \cdot 10^4$ max

(dn = średnica otworu w mm × prędkość w min⁻¹)

Uwaga: Zalecany zakres temperatur i dopuszczalne prędkości stosowane są do wszystkich łożysk Molded-Oil™. W przypadku aplikacji przekraczającej zalecenia prosimy o kontakt z NSK.

Zalecane momenty dokręcania wkrętów ustalających

| Oznaczenie łożyska (F-UC) | Oznaczenie wkrętów ustalających (W kształt Iba wkręta) | Maksymalne momenty dokręcania (Nm) |
|---------------------------|--|------------------------------------|
| 204, 205 | M5 x 0.8 | 3.9 |
| 206 | M6 x 0.75 | 4.9 |
| 207 | M6 x 0.75 | 5.8 |
| 208-210 | M8 x 1 | 7.8 |

Tolerancje pierścienia wewnętrznego

Jednostki: μm

| Nominalna średnica otworu d | | Średnica otworu | | | Szerokość | | Bicie promieniowe (wzgl.) max |
|-----------------------------|-------------|-----------------|-------|-----------------|--------------|-------|-------------------------------|
| ponad mm | włącznie mm | Odchyłka Δdmp | | Rozrzut Vdp max | Odchyłka ΔBs | | |
| | | górną | dolną | | górną | dolną | |
| 18 | 31.750 | +18 | 0 | 12 | 0 | -120 | 18 |
| 31.750 | 50.800 | +21 | 0 | 14 | 0 | -120 | 20 |

Δdmp : odchyłka średnicy średniej otworu.

Vdp : rozrzut średnicy otworu.

ΔBs : odchyłka szerokości pierścienia wewnętrznego.

Tolerancje pierścienia zewnętrznego

Jednostki: μm

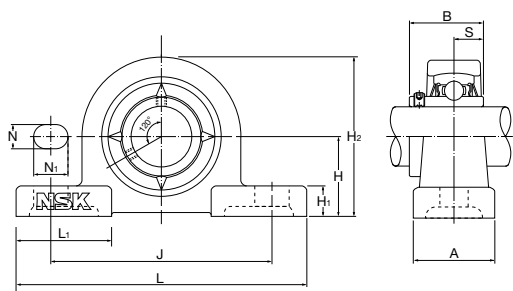
| Nominalna średnica zewnętrzna D | | Odchyłka ΔDm | | Bicie promieniowe (wzgl.) max |
|---------------------------------|-------------|--------------|-------|-------------------------------|
| ponad mm | włącznie mm | | | |
| | | górną | dolną | |
| 30 | 50 | 0 | -11 | 20 |
| 50 | 80 | 0 | -13 | 25 |
| 80 | 120 | 0 | -15 | 35 |

ΔDm : odchyłka średnicy średniej zewnętrznej.

Niższa wartość odchyłki ΔDm nie ma zastosowania w odległości ¼ szerokości pierścienia zewnętrznego od którejkolwiek ze stron.

Zespół łożyskowy kulkowy stojący

Seria F-UCPM2: otwór walcowy, mocowanie za pomocą wkrętów ustalających, z Molded-Oil™

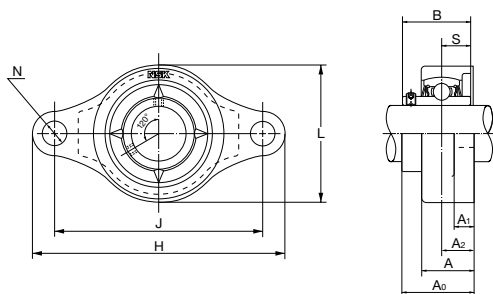


| Średnica wału mm | Numer zespołu | Wymiary (mm) | | | | | | | | | | |
|---------------------|------------------|--------------|-----|-----|----|----|----------------|----------------|----------------|----------------|------|------|
| | | H | L | J | A | N | N ₁ | H ₁ | H ₂ | L ₁ | B | S |
| 20 | F-UCPM204D0/LP99 | 33.3 | 120 | 95 | 30 | 12 | 14 | 11 | 64 | 42 | 31.0 | 12.7 |
| 25 | F-UCPM205D0/LP99 | 36.5 | 130 | 105 | 30 | 12 | 14 | 12 | 70 | 42 | 34.1 | 14.3 |
| 30 | F-UCPM206D0/LP99 | 42.9 | 155 | 121 | 36 | 17 | 20 | 13 | 82 | 54 | 38.1 | 15.9 |
| 35 | F-UCPM207D0/LP99 | 47.6 | 161 | 127 | 38 | 17 | 20 | 14 | 92 | 54 | 42.9 | 17.5 |
| 40 | F-UCPM208D0/LP99 | 49.2 | 171 | 137 | 40 | 17 | 20 | 14 | 98 | 52 | 49.2 | 19 |
| 45 | F-UCPM209D0/LP99 | 54 | 180 | 146 | 40 | 17 | 20 | 14 | 105 | 60 | 49.2 | 19 |
| 50 | F-UCPM210D0/LP99 | 57.2 | 195 | 159 | 45 | 19 | 22 | 16 | 114 | 65 | 51.6 | 19 |

| Rozmiar śruby | Numer łożyska | Numer obudowy | Masa zespołu (w przybliżeniu) kg |
|---------------|---------------|---------------|--|
| M10 | F-UC204/LP99 | PM204 | 0.6 |
| M10 | F-UC205/LP99 | PM205 | 0.7 |
| M14 | F-UC206/LP99 | PM206 | 1.0 |
| M14 | F-UC207/LP99 | PM207 | 1.3 |
| M14 | F-UC208/LP99 | PM208 | 1.8 |
| M14 | F-UC209/LP99 | PM209 | 2.1 |
| M16 | F-UC210/LP99 | PM210 | 2.5 |

Zespół łożyskowy kulkowy kołnierzowy dwuśrubowy

Seria F-UCFM2: otwór walcowy, mocowanie za pomocą wkrętów ustalających, z Molded-Oil™

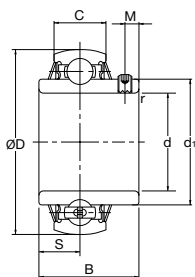


| Średnica wału mm | Numer zespołu | Wymiary (mm) | | | | | | | | | |
|---------------------|------------------|--------------|-----|----------------|----------------|------|----|-----|----------------|------|------|
| | | H | J | A ₂ | A ₁ | A | N | L | A ₀ | B | S |
| 20 | F-UCFM204D0/LP99 | 112 | 90 | 15 | 10 | 25.5 | 12 | 60 | 33.3 | 31.0 | 12.7 |
| 25 | F-UCFM205D0/LP99 | 127 | 99 | 16 | 10 | 26.5 | 16 | 68 | 35.8 | 34.1 | 14.3 |
| 30 | F-UCFM206D0/LP99 | 145 | 117 | 18 | 10 | 30 | 16 | 80 | 40.2 | 38.1 | 15.9 |
| 35 | F-UCFM207D0/LP99 | 158 | 130 | 19 | 12 | 32 | 16 | 90 | 44.4 | 42.9 | 17.5 |
| 40 | F-UCFM208D0/LP99 | 172 | 144 | 21 | 12 | 35 | 16 | 100 | 51.2 | 49.2 | 19 |
| 45 | F-UCFM209D0/LP99 | 180 | 148 | 22 | 13 | 36 | 19 | 108 | 52.2 | 49.2 | 19 |
| 50 | F-UCFM210D0/LP99 | 189 | 157 | 22 | 13 | 37 | 19 | 115 | 54.6 | 51.6 | 19 |

| Rozmiar śruby | Numer łożyska | Numer obudowy | Masa zespołu (w przybliżeniu) kg |
|---------------|---------------|---------------|--|
| M10 | F-UC204/LP99 | FM204 | 0.5 |
| M14 | F-UC205/LP99 | FM205 | 0.6 |
| M14 | F-UC206/LP99 | FM206 | 0.9 |
| M14 | F-UC207/LP99 | FM207 | 1.2 |
| M14 | F-UC208/LP99 | FM208 | 1.6 |
| M16 | F-UC209/LP99 | FM209 | 1.9 |
| M16 | F-UC210/LP99 | FM210 | 2.2 |

Wkładka łożyskowa ze stali nierdzewnej

Otwór walcowy, mocowanie za pomocą wkrętów ustalających, z Molded-Oil™



| Średnica wału mm | Numer zespołu | Wymiary (mm) | | | |
|---------------------|---------------|--------------|------|----|------------------|
| | | D | B | C | r _{min} |
| 20 | F-UC204/LP99 | 47 | 31.0 | 17 | 1 |
| 25 | F-UC205/LP99 | 52 | 34.1 | 17 | 1 |
| 30 | F-UC206/LP99 | 62 | 38.1 | 19 | 1 |
| 35 | F-UC207/LP99 | 72 | 42.9 | 20 | 1.5 |
| 40 | F-UC208/LP99 | 80 | 49.2 | 21 | 1.5 |
| 45 | F-UC209/LP99 | 85 | 49.2 | 22 | 1.5 |
| 50 | F-UC210/LP99 | 90 | 51.6 | 24 | 1.5 |

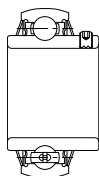
| Wymiary (mm) | | | Nośność podstawowa N | | Masa zespołu (w przybliżeniu) |
|--------------|-----|------|---------------------------|---------------------------|----------------------------------|
| S | M | d1 | Dynamiczna C _r | Statyczna C _{or} | kg |
| 12.7 | 4.5 | 29.6 | 9900 | 6650 | 0.17 |
| 14.3 | 5 | 33.9 | 10800 | 7850 | 0.20 |
| 15.9 | 5 | 40.8 | 15000 | 11300 | 0.33 |
| 17.5 | 6 | 46.8 | 19700 | 15300 | 0.49 |
| 19 | 8 | 53.0 | 22400 | 17800 | 0.65 |
| 19 | 8 | 57.5 | 25200 | 20400 | 0.70 |
| 19 | 9 | 62.4 | 27000 | 23300 | 0.80 |



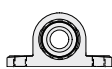


Oznaczenia zespołów Life-Lube®

Rodzaj wkładki

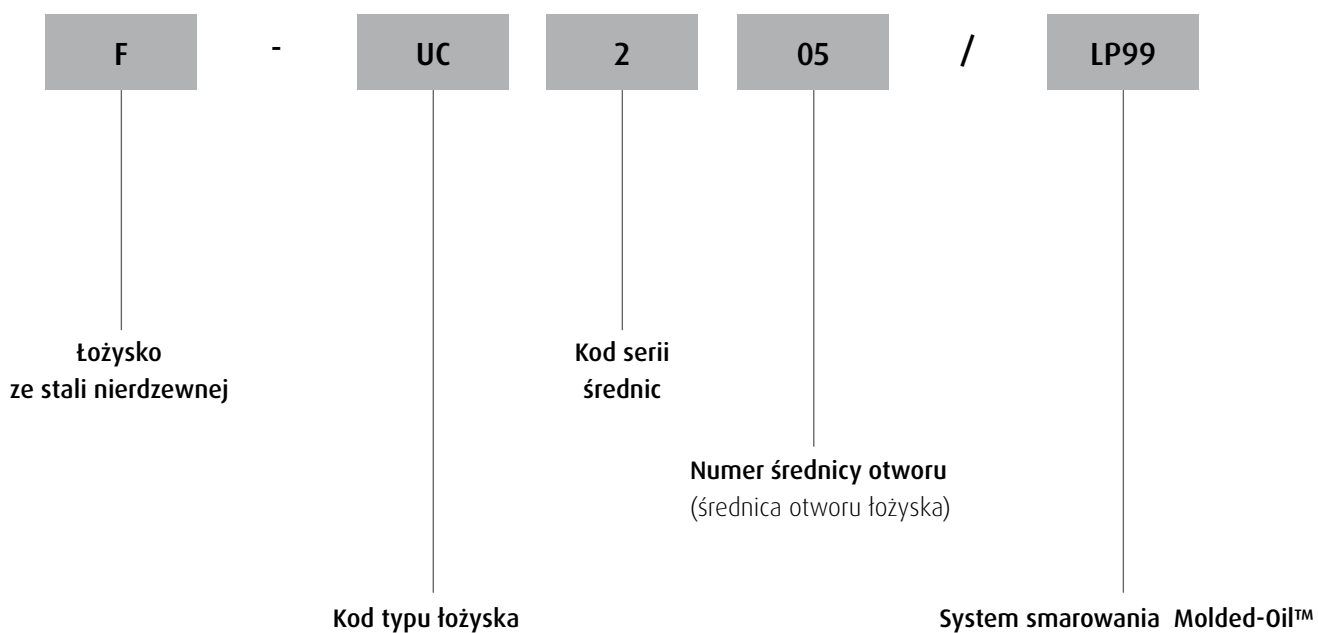


Rodzaj obudowy



| Strona | 125 |
|------------|-----------|
| 126 | PNP/LP99 |
| 128 | PSF/LP99 |
| 130 | PSFT/LP99 |
| 132 | PST/LP99 |

Oznaczenia wkładek Life-Lube®



Asortyment produktów Life-Lube®

Wprowadzenie

Seria Life-Lube® łączy w sobie właściwości antykorozyjne obudów Silver-Lube® z doskonałymi właściwościami uszczelniającymi i smarującymi wkładek Molded-Oil™. Zespoły Life-Lube® zostały zaprojektowane specjalnie dla przemysłu, gdzie nie da się uniknąć styczności z wodą i płynami technologicznymi, gdzie wymagana jest doskonała odporność na działanie środków chemicznych oraz dłuższa żywotność smarowania.

Zespoły Life-Lube® dostępne są w konfiguracjach z obudową stojącą, obudową kołnierзовą dwuśrubową, obudową kołnierзовą czterośrubową i z obudową naciągową są w stanie skompensować wstępną niewspółosiowość spowodowaną błędami montażowymi. W trakcie pracy zespoły udowodniły swą niezawodność w najbardziej niekorzystnych warunkach.

Obudowy Life-Lube® wykonane są z żywicy termoplastycznej PBT, która oprócz tego, że nie koroduje, jest odporna na działanie detergentów i wielu środków chemicznych. Obudowy nie są pokrywane farbą lub innymi powłokami, co zapobiega łuszczeniu lub odpryskiwaniu, i posiadają gładkie powierzchnie sprzyjające intensywnemu spłukiwaniu.

Wkładki łożyskowe Life-Lube® wykonane są ze stali nierdzewnej, co zapewnia wyższą odporność na korozję. Wkładki smarowane są własnym materiałem NSK impregnowanym olejem Molded-Oil™. Materiał Molded-Oil™ składa się z oleju smarującego oraz żywicy poliolefinowej, wykazując podobieństwo do smarowania olejowego. Olej wolno uwalniający się z materiału zapewnia obfite smarowanie łożyska przez dłuższy czas. Uszczelki odrzutnikowe ze stali nierdzewnej i uszczelki z gumy nitylowej są montowane w standardzie.

Wytrzymałość obudowy

Obciążalność obudowy zależy od obciążalności dla danej aplikacji, która może być przerywana, ciągła lub cykliczna. Maksymalna obciążalność obudowy podana została w tabelach 1, 2, 3 i 4. Obciążenia te nie mogą zostać przekroczone bez wcześniejszej konsultacji z NSK.

Opublikowane maksymalne obciążalności obudów nie uwzględniają żadnego ograniczenia wytrzymałości obudowy spowodowanego narażeniem obudowy na działanie chemikaliów, wody, pary, wysokiej temperatury, światła ultrafioletowego lub jakiegokolwiek kombinacji powyższych czynników. Jeśli którykolwiek z tych czynników występuje w danym zastosowaniu projektant lub użytkownik końcowy winien ustalić skutek takiego działania i odpowiednio ograniczyć podane obciążenie maksymalne obudowy.

Celem zmaksymalizowania obciążalności zaleca się zastosowanie podkładek ze śrubami mocującymi. Tabele 1, 2 oraz 3 podają również maksymalne momenty dokręcania śrub.

Generowanie elektryczności statycznej

W niektórych warunkach pracy zespoły łożyskowe Life-Lube® mogą generować elektryczność statyczną.

W związku z tym zaleca się nie stosować łożysk Life-Lube® w środowiskach grożących eksplozją lub łatwopalnych. Jeśli zespoły łożyskowe Life-Lube® stosowane są w warunkach grożących eksplozją lub łatwopalnością wkładka łożyskowa winna zostać uziemiona.

Wytrzymałość obudowy

Tabela 1 Obudowy stojące PNP Life-Lube® – obciążalność obudowy

| Oznaczenie RHP | Maksymalne obciążenie obudowy (N) w 20°C | | | | | | | | | | | | Maksymalny moment dokręcenia śrub (Nm) |
|----------------|--|-------------------|----------------------|-----------------------|-------------------|----------------------|-----------------------|-------------------|----------------------|-----------------------|-------------------|----------------------|--|
| | P1 | | | P2 | | | P3 | | | P4 | | | |
| | Obciążenie przerywane | Obciążenie ciągłe | Obciążenie cykliczne | Obciążenie przerywane | Obciążenie ciągłe | Obciążenie cykliczne | Obciążenie przerywane | Obciążenie ciągłe | Obciążenie cykliczne | Obciążenie przerywane | Obciążenie ciągłe | Obciążenie cykliczne | |
| PNP20/LP99 | 3500 | 1700 | 800 | 2800 | 1400 | 800 | 2600 | 1300 | 700 | 1300 | 700 | 400 | 18 |
| PNP25/LP99 | 4000 | 2000 | 1000 | 3100 | 1500 | 800 | 2600 | 1300 | 700 | 1700 | 900 | 500 | 25 |
| PNP30/LP99 | 5000 | 2500 | 1200 | 3500 | 1800 | 1000 | 4000 | 2000 | 1100 | 2600 | 1300 | 700 | 30 |
| PNP35/LP99 | 6000 | 3000 | 1500 | 4300 | 2100 | 1200 | 4100 | 2100 | 1100 | 3200 | 1600 | 900 | 35 |
| PNP40/LP99 | 10700 | 5300 | 2900 | 8000 | 4000 | 2200 | 6800 | 3400 | 1900 | 5200 | 2600 | 1400 | 40 |

Tabela 2 Obudowy kołnierzowe czterośrubowe PSF Life-Lube® – obciążalność obudowy

| Oznaczenie RHP | Maksymalne obciążenie obudowy (N) w 20°C | | | | | | Maksymalny moment dokręcenia śrub (Nm) |
|----------------|--|-------------------|----------------------|-----------------------|-------------------|----------------------|--|
| | F1 | | | F2 | | | |
| | Obciążenie przerywane | Obciążenie ciągłe | Obciążenie cykliczne | Obciążenie przerywane | Obciążenie ciągłe | Obciążenie cykliczne | |
| PSF20/LP99 | 3100 | 1600 | 900 | 1300 | 700 | 400 | 18 |
| PSF25/LP99 | 3500 | 1700 | 1000 | 1300 | 700 | 400 | 25 |
| PSF30/LP99 | 4600 | 2300 | 1300 | 2200 | 1100 | 600 | 30 |
| PSF35/LP99 | 6200 | 3100 | 1700 | 2600 | 1300 | 700 | 35 |
| PSF40/LP99 | 6200 | 3100 | 1700 | 4000 | 2000 | 1100 | 40 |

Tabela 3 Obudowy kołnierzowe dwuśrubowe PSFT Life-Lube® – obciążalność obudowy

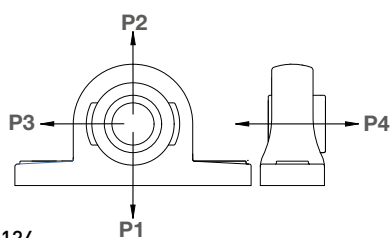
| Oznaczenie RHP | Maksymalne obciążenie obudowy (N) w 20°C | | | | | | | | | Maksymalny moment dokręcenia śrub (Nm) |
|----------------|--|-------------------|----------------------|-----------------------|-------------------|----------------------|-----------------------|-------------------|----------------------|--|
| | T1 | | | T2 | | | T3 | | | |
| | Obciążenie przerywane | Obciążenie ciągłe | Obciążenie cykliczne | Obciążenie przerywane | Obciążenie ciągłe | Obciążenie cykliczne | Obciążenie przerywane | Obciążenie ciągłe | Obciążenie cykliczne | |
| PSFT20/LP99 | 4400 | 2200 | 1200 | 1900 | 900 | 500 | 1300 | 700 | 400 | 18 |
| PSFT25/LP99 | 4400 | 2200 | 1200 | 3000 | 1500 | 800 | 1400 | 700 | 400 | 25 |
| PSFT30/LP99 | 5900 | 2900 | 1600 | 3300 | 1600 | 900 | 2000 | 1000 | 500 | 30 |
| PSFT35/LP99 | 6400 | 3200 | 1700 | 3900 | 2000 | 1100 | 2800 | 1400 | 800 | 35 |
| PSFT40/LP99 | 9000 | 4500 | 2500 | 3900 | 2000 | 1100 | 3300 | 1600 | 900 | 40 |

Tabela 4 Obudowy naciągowe PST Life-Lube® – obciążalność obudowy

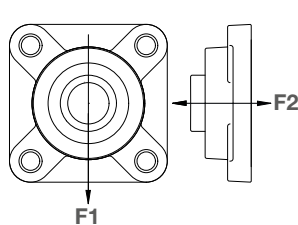
| Oznaczenie RHP | Maksymalne obciążenie obudowy (N) w 20°C | | |
|----------------|--|-------------------|----------------------|
| | U | | |
| | Obciążenie przerywane | Obciążenie ciągłe | Obciążenie cykliczne |
| PST20/LP99 | 5700 | 2800 | 1600 |
| PST25/LP99 | 5400 | 2700 | 1500 |
| PST30/LP99 | 8100 | 4000 | 2300 |
| PST35/LP99 | 7800 | 3900 | 2200 |
| PST40/LP99 | 8100 | 4000 | 2300 |

Prosimy zauważyć, iż dla zespołów naciagowych nie obowiązuje maksymalny moment dokręcenia śrub.

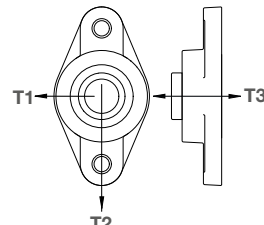
Seria PNP



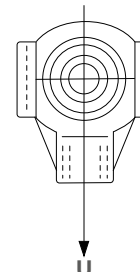
Seria PSF



Seria PSFT



Seria PST



Wkładki łożyskowe Life-Lube®

Wkładki łożyskowe Life-Lube® posiadają pierścienie i kulki wykonane z nierdzewnej stali martenzytycznej oraz koszyk, uszczelnienia odrzutnikowe oraz wkręty ustalające z nierdzewnej stali austenitycznej.

Wkładki łożyskowe Life-Lube® smarowane są własnym materiałem NSK impregnowanym olejem – Molded-Oil™. Materiał Molded-Oil™ składa się z oleju smarującego oraz żywicy poliolefinowej, wykazując podobieństwo do smarowania olejowego. Olej wolno uwalniający się z materiału zapewnia obfite smarowanie łożyska przez dłuższy czas. W przypadku wkładek Life-Lube® z Molded-Oil™ ponowne smarowanie nie jest konieczne.

Zalecana temperatura pracy i dozwolone prędkości

Zaleca się, by wkładki Molded-Oil™ pracowały w temperaturze od -15 do +80°C. Jednakże, temperatura pracy winna być niższa niż +60°C jeśli łożysko eksploatowane jest w sposób ciągły.

Dopuszczalna prędkość:

Wartość dn : $12 \times 10^4 \text{ max}$

(dn = średnica otworu w mm \times prędkość w min^{-1})

Uwaga: Zalecany zakres temperatur i dopuszczalne prędkości stosowane są do wszystkich wkładek Molded-Oil™. W przypadku aplikacji przekraczającej zalecenia prosimy o kontakt z NSK.

Materiały

| | Części | Materiały |
|-----------------|------------------------|--|
| Łożysko | Pierścienie łożyska | Nierdzewna stal martenzytyczna (odpowiednik stali SUS440C) |
| | Kulka | Nierdzewna stal martenzytyczna (odpowiednik stali SUS440C) |
| | Uszczelka odrzutnikowa | Nierdzewna stal austenityczna (odpowiednik stali SUS302) |
| | Uszczelka | Guma nitylowa |
| | Wkręty ustalające | Nierdzewna stal martenzytyczna (odpowiednik stali SUS410) |
| Obudowa łożyska | | Termoplastyczna żywica PBT |

Zalecane momenty dokręcania wkrętów ustalających

Wkręty ustalające wkładek łożyskowych Life-Lube® produkowane są ze stali nierdzewnej i mogą ulec pęknięciu, jeśli są nadmiernie dokręcone. Nie należy przekraczać granicznych momentów dokręcania wkrętów podanych w Tabeli 5.

Zalecane momenty dokręcania wkrętów ustalających

| Oznaczenie wkładki | Oznaczenie wkrętów ustalających | Maksymalne momenty dokręcenia (Nm) |
|--------------------|---------------------------------|------------------------------------|
| F-UC204/LP99 | M5 \times 0.8 | 3.9 |
| F-UC205/LP99 | M5 \times 0.8 | 3.9 |
| F-UC206/LP99 | M6 \times 0.75 | 4.9 |
| F-UC207/LP99 | M6 \times 0.75 | 5.8 |
| F-UC208/LP99 | M8 \times 1 | 7.8 |

Tolerancje pierścienia wewnętrznego

Jednostki: μm

| Nominalna średnica otworu d | | Średnica otworu | | | Szerokość | | Bicie promieniowe (wzgl.) max |
|-----------------------------|-------------|-----------------------------|-------|-------------|----------------------------|-------|-------------------------------|
| ponad mm | włącznie mm | Odchyłka Δdmp | | Rozrzut Vdp | Odchyłka ΔBs | | |
| | | górną | dolną | max | górną | dolną | |
| 18 | 31.750 | +18 | 0 | 12 | 0 | -120 | 18 |
| 31.750 | 50.800 | +21 | 0 | 14 | 0 | -120 | 20 |

Δdmp : odchyłka średnicy średniej otworu

Vdp : rozrzut średnicy otworu

ΔBs : odchyłka szerokości pierścienia wewnętrznego

Tolerancje pierścienia zewnętrznego

Jednostki: μm

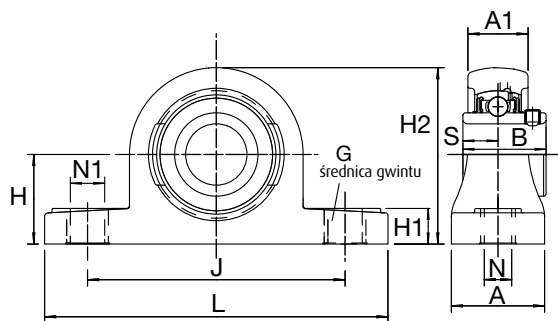
| Nominalna średnica zewnętrzna D | | Odchyłki ΔDm | | Bicie promieniowe (wzgl.) max |
|---------------------------------|-------------|----------------------------|-------|-------------------------------|
| ponad mm | włącznie mm | górną | dolną | |
| 30 | 50 | 0 | -11 | 20 |
| 50 | 80 | 0 | -13 | 25 |
| 80 | 120 | 0 | -15 | 35 |

ΔDm : odchyłka średniej średnicy zewnętrznej

Niższa wartość odchyłki ΔDm nie ma zastosowania w odległości $\frac{1}{4}$ szerokości pierścienia zewnętrznego od którejkolwiek ze stron.

Wymiary zespołów

Tabela 1: Obudowy stojące PNP/LP99 Life-Lube® – wymiary zespołów



Serie PNP/LP99

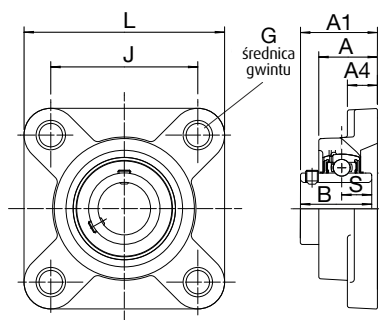
| Średnica wału mm | Oznaczenie RHP | Podstawowa wkładka | Grupa obudowy | Wymiary (mm) | | | |
|---------------------|----------------|--------------------|---------------|--------------|------|------|------|
| | | | | L | H | H1 | H2 |
| 20 | PNP20/LP99 | F-UC204/LP99 | 2 | 127.2 | 33.3 | 14.2 | 65.9 |
| 25 | PNP25/LP99 | F-UC205/LP99 | 3 | 140.2 | 36.5 | 14.5 | 71.9 |
| 30 | PNP30/LP99 | F-UC206/LP99 | 4 | 162.2 | 42.9 | 17.8 | 83.9 |
| 35 | PNP35/LP99 | F-UC207/LP99 | 5 | 167.2 | 47.6 | 18.0 | 94.9 |
| 40 | PNP40/LP99 | F-UC208/LP99 | 6 | 184.2 | 49.2 | 19.5 | 98.9 |

| Wymiary (mm) | | | | | | | | Waga kg |
|--------------|----|------|-----|------|------|------|------|---------|
| J | N | N1 | G | A | A1 | B | S | |
| 94.9 | 11 | 14.2 | M10 | 37.8 | 22.5 | 31.0 | 12.7 | 0.27 |
| 104.9 | 11 | 14.2 | M10 | 37.8 | 24.5 | 34.0 | 14.3 | 0.39 |
| 118.9 | 14 | 18.2 | M12 | 45.8 | 27.0 | 38.1 | 15.9 | 0.52 |
| 126.9 | 14 | 18.2 | M12 | 47.8 | 32.5 | 42.9 | 17.5 | 0.72 |
| 136.8 | 14 | 18.2 | M12 | 53.8 | 36.0 | 49.2 | 19.0 | 0.99 |

Wymiary zespołów

Tabela 2: Obudowy kołnierzowe czterośrubowe PSF/LP99 Life-Lube®

– wymiary zespołów



Serie PSF/LP99

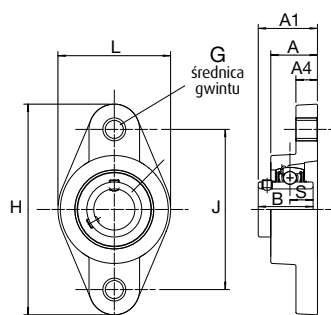
| Średnica wału mm | Oznaczenie RHP | Wkładka podstawowa | Grupa obudowy | Wymiary (mm) | | |
|---------------------|----------------|--------------------|---------------|--------------|-------|-----|
| | | | | L | J | G |
| 20 | PSF20/LP99 | F-UC204/LP99 | 2 | 86.5 | 63.5 | M10 |
| 25 | PSF25/LP99 | F-UC205/LP99 | 3 | 95.0 | 70.0 | M10 |
| 30 | PSF30/LP99 | F-UC206/LP99 | 4 | 107.5 | 83.0 | M12 |
| 35 | PSF35/LP99 | F-UC207/LP99 | 5 | 117.5 | 92.0 | M12 |
| 40 | PSF40/LP99 | F-UC208/LP99 | 6 | 130.5 | 102.0 | M12 |

| Wymiary (mm) | | | | | Waga kg |
|--------------|------|------|------|------|---------|
| A | A1 | A4 | B | S | |
| 27.8 | 36.3 | 13.4 | 31.0 | 12.7 | 0.28 |
| 27.9 | 36.7 | 14.3 | 34.0 | 14.3 | 0.34 |
| 31.5 | 41.4 | 14.3 | 38.1 | 15.9 | 0.50 |
| 34.8 | 46.9 | 15.5 | 42.9 | 17.5 | 0.74 |
| 37.5 | 53.2 | 17.1 | 49.2 | 19.0 | 0.99 |

Wymiary zespołów

Tabela 3: Obudowy kołnierzowe dwuśrubowe PSFT/LP99 Life-Lube®

– wymiary zespołów



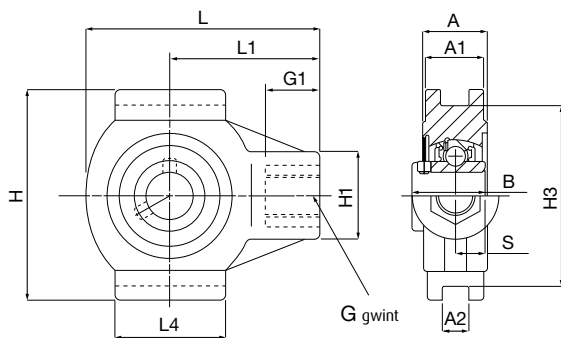
Serie PSFT/LP99

| Średnica wału mm | Oznaczenie RHP | Wkładka podstawowa | Grupa obudowy | Wymiary (mm) | | |
|---------------------|----------------|--------------------|---------------|--------------|-------|-------|
| | | | | L | H | J |
| 20 | PSFT20/LP99 | F-UC204/LP99 | 2 | 64.1 | 113.3 | 90.0 |
| 25 | PSFT25/LP99 | F-UC205/LP99 | 3 | 68.4 | 130.3 | 99.0 |
| 30 | PSFT30/LP99 | F-UC206/LP99 | 4 | 80.1 | 148.3 | 117.0 |
| 35 | PSFT35/LP99 | F-UC207/LP99 | 5 | 90.1 | 163.3 | 130.0 |
| 40 | PSFT40/LP99 | F-UC208/LP99 | 6 | 100.1 | 175.3 | 144.0 |

| G | Wymiary (mm) | | | | | Waga kg |
|----------|---------------------|-----------|-----------|----------|----------|----------------|
| | A | A1 | A4 | B | S | |
| M10 | 26.5 | 33.7 | 11.4 | 31.0 | 12.7 | 0.24 |
| M10 | 29.1 | 36.7 | 13.4 | 34.0 | 14.3 | 0.30 |
| M10 | 30.5 | 41.2 | 13.4 | 38.1 | 15.9 | 0.44 |
| M12 | 32.8 | 43.4 | 16.1 | 42.9 | 17.5 | 0.64 |
| M12 | 37.5 | 51.7 | 20.0 | 49.2 | 19.0 | 0.89 |

Wymiary zespołów

Tabela 4: Zespoły naciągowe PST/LP99 Life-Lube® – wymiary zespołów



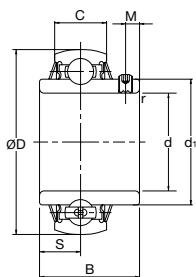
Serie PST/LP99

| Średnica wału mm | Oznaczenie RHP | Wkładka podstawowa | Grupa obudowy | Wymiary (mm) | | | | |
|---------------------|----------------|-----------------------|---------------|--------------|------|------|-------|------|
| | | | | L | L1 | L4 | H | H1 |
| 20 | PST20/LP99 | F-UC204/LP99 | 2 | 99.0 | 64.0 | 47.0 | 88.0 | 35.0 |
| 25 | PST25/LP99 | F-UC205/LP99 | 3 | 99.0 | 64.0 | 47.0 | 88.0 | 35.0 |
| 30 | PST30/LP99 | F-UC206/LP99 | 4 | 125.0 | 76.0 | 63.0 | 102.0 | 40.0 |
| 35 | PST35/LP99 | F-UC207/LP99 | 5 | 125.0 | 76.0 | 63.0 | 102.0 | 40.0 |
| 40 | PST40/LP99 | F-UC208/LP99 | 6 | 140.0 | 85.0 | 80.0 | 114.0 | 40.0 |

| Wymiary (mm) | | | | | | | | Waga kg |
|--------------|----------|------|------|------|------|------|------|---------|
| H3 | G | G1 | A | A1 | A2 | B | S | |
| 75.8 | M16X2.00 | 22.5 | 27.5 | 24.5 | 12.2 | 31.0 | 12.7 | 0.32 |
| 75.8 | M16X2.00 | 22.5 | 27.5 | 24.5 | 12.2 | 34.0 | 14.3 | 0.36 |
| 88.8 | M16X2.00 | 22.5 | 34.5 | 30.0 | 12.2 | 38.1 | 15.9 | 0.53 |
| 88.8 | M16X2.00 | 22.5 | 34.5 | 30.0 | 12.2 | 42.9 | 17.5 | 0.74 |
| 101.8 | M16X2.00 | 22.5 | 34.0 | 32.0 | 16.2 | 49.2 | 19.0 | 1.00 |

Zespoły łożyskowe Life-Lube®

Otwór walcowy, mocowanie za pomocą wkrętów ustalających, z Molded-Oil™

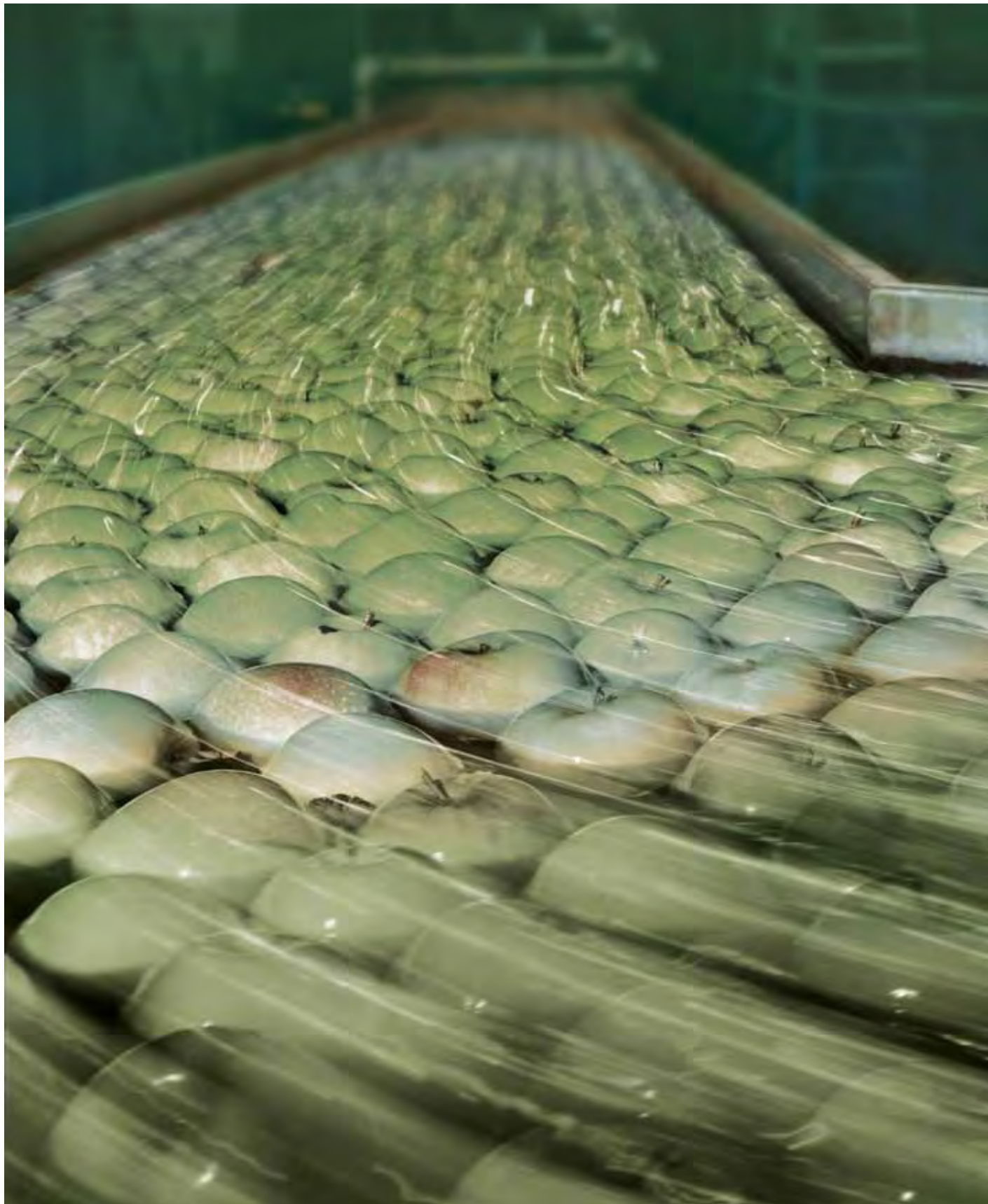


| Średnica wału mm | Numer zespołu | Wymiary (mm) | | | |
|---------------------|---------------|--------------|------|----|------------------|
| | | D | B | C | r _{min} |
| 20 | F-UC204/LP99 | 47 | 31 | 17 | 1 |
| 25 | F-UC205/LP99 | 52 | 34.1 | 17 | 1 |
| 30 | F-UC206/LP99 | 62 | 38.1 | 19 | 1 |
| 35 | F-UC207/LP99 | 72 | 42.9 | 20 | 1.5 |
| 40 | F-UC208/LP99 | 80 | 49.2 | 21 | 1.5 |
| 45 | F-UC209/LP99 | 85 | 49.2 | 22 | 1.5 |

| Wymiary (mm) | | | Nośność podstawowa N | | Masa (około) |
|--------------|-----|------|---------------------------|---------------------------|--------------|
| S | M | d1 | Dynamiczna C _r | Statyczna C _{or} | kg |
| 12.7 | 4.5 | 29.6 | 9900 | 6650 | 0.17 |
| 14.3 | 5 | 33.9 | 10800 | 7850 | 0.20 |
| 15.9 | 5 | 40.8 | 15000 | 11300 | 0.33 |
| 17.5 | 6 | 46.8 | 19700 | 15300 | 0.49 |
| 19 | 8 | 53.0 | 22400 | 17800 | 0.65 |
| 19 | 8 | 57.5 | 25200 | 20400 | 0.70 |



Specjalne produkty i rozwiązania w zakresie łożysk



Produkty dodatkowe

W założeniu projektowym rodzina zespołów łożyskowych Self-Lube® może być łączona tak, by tworzyć alternatywne asortymenty wkładek i obudów w zależności od potrzeb klienta. Jest to względnie proste, jednak należy się każdorazowo skonsultować z firmą NSK.

Ponadto firma NSK rozumie potrzebę rozwiązań skierowanych do konkretnego klienta i zawsze chętnie pomaga klientom, którzy potrzebują czegoś niezwykłego odpowiedniego pod względem konkretnych kryteriów ceny i ilości.

Firma NSK posiada zaplecze, by wyprodukować specjalne partie kombinacji produktu, takie jak:

- › Alternatywne połączenia wkładka/obudowa
- › Specjalne rodzaje smaru i wypełnienia smarem
- › Alternatywne połączenia – uszczelki odrzutnikowych, trójwargowych i blaszek

Prosimy o przedstawienie NSK państwa wymagań.

HLT Self-Lube®

Wkładki HLT Self-Lube® zaprojektowano z myślą o niezawodnej pracy w ekstremalnych temperaturach, z dolnymi i górnymi limitami od -40°C do $+180^{\circ}\text{C}$. Wkładki HLT są dostępne dla całego asortymentu Self-Lube®.

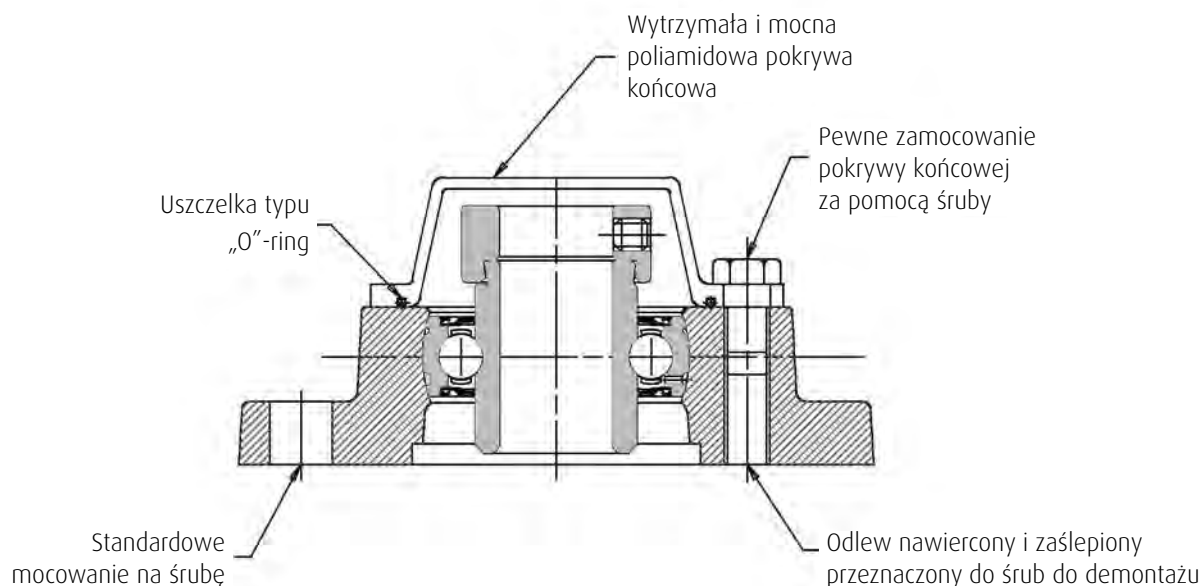
Wkładki HLT posiadają:

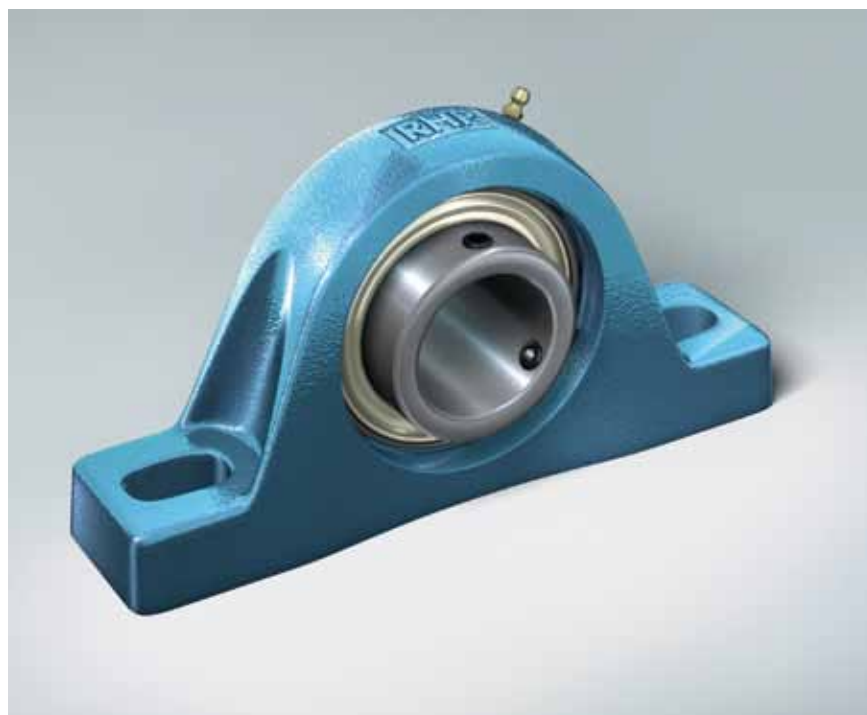
- › Wysoce wytrzymały stalowy koszyk
- › Specjalną geometrię wewnętrzną
- › Smar Kluber o wysokich osiągnięciach
- › Uszczelki silikonowe
- › Osłona w opcji
- › Element ułatwiający dosmarowywanie

Specjalne opcje w zakresie obudowy

W przypadku wymogu dotyczącego oryginalnego wyposażenia firma NSK może zaprojektować specjalne obudowy dostosowane do wymogów klienta w wymaganej ilości.

Typowy przykład przedstawiono poniżej.





Lista zamienników

| Nr referencyjny | Producent | Zamienniki łożysk wg RHP i NSK |
|--------------------|--|--------------------------------|
| B | Asahi | 1200G RHP |
| B200 | Asahi | AS200 RHP |
| B-B | Asahi | 1200G RHP |
| BF200 | Asahi | SF-A RHP |
| BFC200 | Asahi | FC-A RHP |
| BFL200 | Asahi | SFT-A RHP |
| BLCTE200 | Asahi | ASFD200 NSK |
| BP200 | Asahi | NP-A RHP |
| BPF | Asahi | SLFE-A RHP |
| BPF200 | Asahi | ASPF200 NSK |
| BPFL | Asahi | SLFL-A RHP |
| BPFL200 | Asahi | ASPF200 NSK |
| BPP | Asahi | LPB-A RHP |
| BPP200 | Asahi | ASPP200 NSK |
| BT200 | Asahi | ST-A RHP |
| CS200ZZ | Asahi | CS200LLU RHP |
| FHFC200 | Asahi | FC-EC RHP |
| FHLCTE200 | Asahi | AELFD200 NSK |
| FHPF200 | Asahi | AELPF200 NSK |
| FHPFL200 | Asahi | AELPFL200 NSK |
| FHR200ER(U) | Asahi | 1300EC RHP |
| FHT200 | Asahi | ST-EC RHP |
| KH200+ER | Asahi | AEL200 NSK |
| SER | Asahi | 1100CG RHP |
| UC300 | Asahi | UC300 NSK |
| UCEH200 | Asahi | UCHB200 NSK |
| UCF200 | Asahi | UCF200 NSK |
| UCFC200 | Asahi | UCFC200 NSK |
| UCFCX00 | Asahi | UCFCX00 NSK |
| UCFK200 | Asahi | UCFH200 NSK |
| UCFL200 | Asahi | UCFL200 NSK |
| UCFLX00 | Asahi | UCFLX00 NSK |
| UCFX00 | Asahi | UCFX00 NSK |
| UCLF200(U) | Asahi | SF RHP |
| UCLP200(U) | Asahi | SL RHP |
| UCP200 | Asahi | UCP200 NSK |
| UCPA200 | Asahi | UCUP200 NSK |
| UCPX00 | Asahi | UCPX00 NSK |
| UCST200(U) | Asahi | ST RHP |
| UCT200 | Asahi | UCT200 NSK |
| UCW200 | Asahi | 1000G RHP |
| UD200EEA | Asahi | 1200ECG RHP |
| UDF200A | Asahi | SF-EC RHP |
| UDFL200B | Asahi | SFT-EC RHP |
| UDT200A | Asahi | NP-EC RHP |
| UDT200B | Asahi | ST-EC RHP |
| UG200+ER | Asahi | UEL200 NSK |
| UGF200 | Asahi | U ELF200 NSK |
| UGFC200 | Asahi | U ELF200 NSK |
| UGFL200 | Asahi | U ELF200 NSK |
| UGP200 | Asahi | U EL200 NSK |
| UGT200 | Asahi | U EL200 NSK |
| UH200UR(U) | Asahi | 1200EC RHP |
| UHF200 | Asahi | SF-EC RHP |
| UHFL200 | Asahi | SFT-EC RHP |
| UHP200 | Asahi | NP-EC RHP |
| UHPP200 | Asahi | AELPP200 NSK |
| UK200 | Asahi | UK200 NSK |
| UCP200 | Asahi, FYH, Koyo, Nachi, NBR, NSK, NTN | NP RHP |
| UCT200 | Asahi, FYH, Koyo, Nachi, NBR, NSK, NTN | ST RHP |
| UCPX | Asahi, FYH, Koyo, NSK | MP RHP |

| Nr referencyjny | Producent | Zamienniki łożysk wg RHP i NSK |
|-------------------|--|--------------------------------|
| UCTX | Asahi, FYH, Koyo, NSK | MST RHP |
| UCX | Asahi, FYH, Koyo, NSK | 1000G RHP |
| UC200 | Asahi, FYH, Koyo, Nachi, NBR, NSK, NTN | 1000G RHP |
| UCF200 | Asahi, FYH, Koyo, Nachi, NBR, NSK, NTN | SF RHP |
| UCFL200 | Asahi, FYH, Koyo, Nachi, NBR, NSK, NTN | SFT RHP |
| UCFX | Asahi, FYH, Koyo, NSK | MSF RHP |
| UCLFX | Asahi, FYH, Koyo, NSK | MSFT RHP |
| FG200ER(U) | Asahi, Nachi | 1000DECG RHP |
| FGAK200 | Asahi, Nachi | SL-DEC RHP |
| FH200ER(U) | Asahi, Nachi | 1200EC RHP |
| FNR-R | BCA | SF-EC RHP |
| PNR-R | BCA | SL-EC RHP |
| PNR-RS | BCA | NP-EC RHP |
| PWG-R | BCA | SL-DEC RHP |
| PWG-RS | BCA | NP-DEC RHP |
| TNR-R | BCA | SFT-EC RHP |
| FB220 | Browning | SF-EC RHP |
| FB230 | Browning | SFT-EC RHP |
| FB250 | Browning | SF RHP |
| FB260 | Browning | SFT RHP |
| FB350 | Browning | MSF RHP |
| PB220 | Browning | SL-EC RHP |
| PB221 | Browning | NP-EC RHP |
| PB250 | Browning | SL RHP |
| PB251 | Browning | NP RHP |
| PB350 | Browning | MP RHP |
| 1000KRR | Fafnir | 1100DEC RHP |
| 200NPPB | Fafnir | 1726200-2RS RHP |
| FLCTE | Fafnir | LFTC-EC RHP |
| GC-KRRB | Fafnir | 1000G RHP |
| GC-KRRG2 | Fafnir | 1100CG RHP |
| GE-KPPB | Fafnir | T1000DECG RHP |
| GE-KRRB | Fafnir | 1000DECG RHP |
| G-KPPB3 | Fafnir | T1000DECG RHP |
| GLCTE | Fafnir | LFTC-EC RHP |
| GRAE-NPPB | Fafnir | 1200ECG RHP |
| GW208PPB5 | Fafnir | 1/PDNF240/9G RHP |
| GW208PPB6 | Fafnir | 1/PDNF240/8G RHP |
| GW208PPB8 | Fafnir | PDNF240/9G RHP |
| GW209PPB11 | Fafnir | 28/DNF245-45G RHP |
| GW209PPB2 | Fafnir | PDNF145-45G RHP |
| GW209PPB5 | Fafnir | PDNF245/10G RHP |
| GW209PPB8 | Fafnir | DNF245/10G RHP |
| GW210PP4 | Fafnir | PDF150/9G RHP |
| GW210PPB2 | Fafnir | PDNF150-1.15'16G RHP |
| GW210PPB4 | Fafnir | PDNF150/9G RHP |
| GW211PP2 | Fafnir | PDF155-2.3'16G RHP |
| GW211PP3 | Fafnir | PDF155/12G RHP |
| PASE | Fafnir | NP-EC RHP |
| PB | Fafnir | LPB-EC RHP |
| PCF | Fafnir | SF-EC RHP |
| PCFT | Fafnir | SFT-EC RHP |
| PHE | Fafnir | SCH-EC RHP |
| PMNE | Fafnir | FC-EC RHP |
| PSHE | Fafnir | SNP-EC RHP |
| PTUE | Fafnir | ST-EC RHP |

| Nr referencyjny | Producent | Zamienniki łożysk wg RHP i NSK | |
|-----------------|-----------|--------------------------------|-----|
| RA | Fafnir | SLFE-EC | RHP |
| RAE..NPP | Fafnir | 1300EC | RHP |
| RAKC | Fafnir | SL | RHP |
| RAKHP | Fafnir | MP | RHP |
| RASC | Fafnir | NP | RHP |
| RASE | Fafnir | NP-DEC | RHP |
| RAT | Fafnir | SLFL-EC | RHP |
| RATR | Fafnir | SLFT-EC | RHP |
| RC | Fafnir | SLC-DEC | RHP |
| RCC | Fafnir | SLC | RHP |
| RCE | Fafnir | SLC-DEC | RHP |
| RCHP | Fafnir | MSC | RHP |
| RCJ | Fafnir | SF-DEC | RHP |
| RCJHP | Fafnir | MSF | RHP |
| RCJSP | Fafnir | SF | RHP |
| RCJT | Fafnir | SFT-DEC | RHP |
| RCJTC | Fafnir | SFT | RHP |
| RCJTE | Fafnir | SFT-DEC | RHP |
| RCJTHP | Fafnir | MSFT | RHP |
| RCJTP | Fafnir | SFT | RHP |
| RFC | Fafnir | MFC | RHP |
| RFHP | Fafnir | MFC | RHP |
| RHCM | Fafnir | SCHB | RHP |
| RHE | Fafnir | SCH-DEC | RHP |
| RMNE | Fafnir | FC-DEC | RHP |
| RMNEY | Fafnir | FC | RHP |
| RPB | Fafnir | LPBR-EC | RHP |
| RR | Fafnir | SLFE-DEC | RHP |
| RRC | Fafnir | SLFE | RHP |
| RRT | Fafnir | SLFL-DEC | RHP |
| RRTR | Fafnir | SLFT-DEC | RHP |
| RSHE | Fafnir | SNP-DEC | RHP |
| RTUE | Fafnir | ST-DEC | RHP |
| RTUHP | Fafnir | MST | RHP |
| RTUP | Fafnir | ST | RHP |
| TAS | Fafnir | TNP-DEC | RHP |
| TASE | Fafnir | TNP-DEC | RHP |
| TCJ | Fafnir | TSF-DEC | RHP |
| TCJT | Fafnir | TSFT-DEC | RHP |
| THE | Fafnir | TSCH-DEC | RHP |
| TMNE | Fafnir | TFC-DEC | RHP |
| TMNE | Fafnir | TFC-DEC | RHP |
| TSHE | Fafnir | TSNP-DEC | RHP |
| TTUE | Fafnir | TST-DEC | RHP |
| VAK | Fafnir | SL-EC | RHP |
| VAK | Fafnir | SL-EC | RHP |
| VAS | Fafnir | NP-EC | RHP |
| VAS | Fafnir | NP-EC | RHP |
| VCJ | Fafnir | SF-EC | RHP |
| VCJ | Fafnir | SF-EC | RHP |
| VCJT | Fafnir | SFT-EC | RHP |
| VCJT | Fafnir | SFT-EC | RHP |
| VMNE | Fafnir | FC-EC | RHP |
| VMNE | Fafnir | FC-EC | RHP |
| VSHE | Fafnir | SNP-EC | RHP |
| VSHE | Fafnir | SNP-EC | RHP |
| W208PP10 | Fafnir | 36/DF140-1.12 | RHP |
| W208PP5 | Fafnir | 2/DF240/9 | RHP |
| W208PP6 | Fafnir | 2/DF240/8 | RHP |
| W208PP8 | Fafnir | PDF240/9 | RHP |
| W208PP9 | Fafnir | PDNF240/8 | RHP |
| W208PPB13 | Fafnir | 2/DNF240/7 | RHP |
| W208PPB2 | Fafnir | 36/PDNF140-1.12 | RHP |
| W208PPB4 | Fafnir | PDNF140-1.316 | RHP |
| W208PPB5 | Fafnir | 2/DNF240/9 | RHP |
| W208PPB6 | Fafnir | 2/DNF240/8 | RHP |

| Nr referencyjny | Producent | Zamienniki łożysk wg RHP i NSK | |
|-----------------|-------------|--------------------------------|-----|
| W208PPB7 | Fafnir | 2/DNF140-1.316 | RHP |
| W208PPB8 | Fafnir | PDNF240/9 | RHP |
| W208PPB9 | Fafnir | PDNF240/8 | RHP |
| W209PPB2 | Fafnir | PDNF145-45 | RHP |
| W209PPB4 | Fafnir | 28/PDNF145-1.12 | RHP |
| W209PPB5 | Fafnir | PDNF245/10 | RHP |
| W209PPB8 | Fafnir | DNF245/10 | RHP |
| W210PP2 | Fafnir | PDF150-1.15/16 | RHP |
| W210PP4 | Fafnir | PDF150/9 | RHP |
| W210PPB2 | Fafnir | PDNF150-1.15/16 | RHP |
| W210PPB4 | Fafnir | PDNF150/9 | RHP |
| W210PPB5 | Fafnir | 5/PDNF150-1.3/4 | RHP |
| W210PPB6 | Fafnir | PDNF250/9 | RHP |
| W211PP2 | Fafnir | PDF155-2.3/16 | RHP |
| W211PP3 | Fafnir | PDF155/12 | RHP |
| W211PPB2 | Fafnir | PDNF155-2.3/16 | RHP |
| W211PPB3 | Fafnir | PDNF155/12 | RHP |
| 200NPPB | Fafnir, INA | 1726200-2RS | RHP |
| GE-KPPB3 | Fafnir, INA | T1000DECG | RHP |
| G-KRRB | Fafnir, INA | 1000DECG | RHP |
| GRA-NPPB | Fafnir, INA | 1200ECG | RHP |
| PB | Fafnir, INA | LPB-EC | RHP |
| RAE-NPPB | Fafnir, INA | 1200EC | RHP |
| RAK | Fafnir, INA | SL-DEC | RHP |
| RA-NPP | Fafnir, INA | 1300EC | RHP |
| RA-NPPB | Fafnir, INA | 1200EC | RHP |
| RSHE | Fafnir, INA | SNP-DEC | RHP |
| TC-J | Fafnir, INA | TSF-DEC | RHP |
| TCJT | Fafnir, INA | TSFT-DEC | RHP |
| 36200 | FAG | 1000DECG | RHP |
| 56200 | FAG | 1000G | RHP |
| 76200 | FAG | 1726200-2RS | RHP |
| 76200B.2RSR | FAG | 1726200-2RS | RHP |
| FB16200 | FAG | SLFE-EC | RHP |
| FB56200 | FAG | SLFE | RHP |
| FG16200 | FAG | SF-EC | RHP |
| FG56200 | FAG | SF | RHP |
| H | FAG | H | RHP |
| KM | FAG | AN | RHP |
| SB16200 | FAG | LPB-EC | RHP |
| SC16200 | FAG | NP-EC | RHP |
| SG36200 | FAG | NP-DEC | RHP |
| SG56200 | FAG | NP | RHP |
| E200 | FYH | 1100CG | RHP |
| NA200 | FYH | 1000DECG | RHP |
| NANF200 | FYH | SF-DEC | RHP |
| NANFL200 | FYH | SFT-DEC | RHP |
| NAP200 | FYH | NP-DEC | RHP |
| NASL200 | FYH | SL-DEC | RHP |
| NAT-E | FYH | ST-DEC | RHP |
| RB200 | FYH | 1100 | RHP |
| SA200 | FYH | 1200EC | RHP |
| SAA200 | FYH | 1300EC | RHP |
| SAF-FE | FYH | SF-EC | RHP |
| SAFL-FE | FYH | SFT-EC | RHP |
| SAP200 | FYH | NP-EC | RHP |
| SAPF200 | FYH | SLFE-EC | RHP |
| SAPP200F | FYH | LPB-A | RHP |
| SASL200F | FYH | SL-EC | RHP |
| SBPF200 | FYH | SLFL-A | RHP |
| SBPP200F | FYH | LPB-EC | RHP |
| SC200 | FYH | 1726200-2RS | RHP |
| UCHA200 | FYH | SCHB | RHP |
| UCS200N | FYH | 1100CG | RHP |

Lista zamienników

| Nr referencyjny | Producent | Zamienniki łożysk wg RHP i NSK |
|-----------------|---------------------------------|--------------------------------|
| UK200 | FYH, Koyo, Nachi, NBR, NSK, NTN | 1000-KG RHP |
| UKP200 | FYH, Koyo, Nachi, NBR, NSK, NTN | RHP |
| UCPA200 | FYH, Koyo, NSK, NTN | SNP RHP |
| UCF200 | FYH, Koyo, NSK, NTN | FC RHP |
| UKT200 | FYH, Koyo, NSK, NTN | MST1000-K RHP |
| UKF200 | FYH, Nachi, NBR, NSK, NTN | MSF1000-K RHP |
| UKFL200 | FYH, Nachi, NBR, NSK, NTN | MSFT1000-K RHP |
| SB200 | FYH, NBR | 1200G RHP |
| EW | Hoffmann, Pollard | FT RHP |
| RMS | Hoffmann, Pollard | MRJ RHP |
| 2-NPPB | INA | 1726200-2RS RHP |
| E..KRR | INA | 1100DEC RHP |
| E-KRR | INA | 1100DEC RHP |
| FLCTE | INA | LFTC-EC RHP |
| FLCTE / GLCTE | INA | LFTC-EC RHP |
| FLCTEY | INA | LFTC-A RHP |
| G..KRRBW | INA | 1000DEC RHP |
| GAY-NPPB | INA | 1200G RHP |
| GE..KRRB FA101T | INA | 1000DECGHLT RHP |
| GE..KRRB-CC | INA | 1000DECGFS RHP |
| GE-KPPB3 | INA | T1000DECG RHP |
| GE-KRRB | INA | 1000DECG RHP |
| GLCTE | INA | LFTC-EC RHP |
| GLCTEY | INA | LFTC-A RHP |
| GRA..NPPBW | INA | 1200ECG RHP |
| GRAE-NPPB | INA | 1200ECG RHP |
| GSH-RRB | INA | 1000KG RHP |
| GY..KRRBW | INA | 1000G RHP |
| GYE..KRRB VA | INA | J1000GCR RHP |
| GYE-KRRB | INA | 1000G RHP |
| GY-KRRB | INA | 1000G RHP |
| PAK | INA | SL-EC RHP |
| PAKY | INA | SL-EC RHP |
| PASE | INA | NP-EC RHP |
| PASEY | INA | NP-A RHP |
| PB | INA | LPB-EC RHP |
| PBY | INA | LPB-A RHP |
| PCJ | INA | SF-EC RHP |
| PCJT | INA | SFT-EC RHP |
| PCJTY | INA | SFT-A RHP |
| PCJY | INA | SF-A RHP |
| PHE | INA | SCH-EC / SCHB-EC RHP |
| PHEY | INA | SCH-A / SCHB-A RHP |
| PHUSE | INA | BT-EC+ BTHF RHP |
| PME | INA | FC-EC RHP |
| PMEY | INA | FC-A RHP |
| PSHE | INA | SNP-EC RHP |
| PSHEY | INA | SNP-A RHP |
| PTUE | INA | ST-EC RHP |
| PTUEY | INA | ST-A RHP |
| RA | INA | SLFE-EC RHP |
| RA..NPPW | INA | 1300EC RHP |
| RACEY | INA | NP RHP |
| RAE..NPP | INA | 1300EC RHP |
| RAKY | INA | SL RHP |
| RASE | INA | NP-DEC RHP |
| RASE..FA101T | INA | NP-HLT RHP |
| RASEA | INA | NP1000KG RHP |

| Nr referencyjny | Producent | Zamienniki łożysk wg RHP i NSK |
|-----------------|-----------|--------------------------------|
| RASEY | INA | NP RHP |
| RASEY..TN VA | INA | PNP-CR RHP |
| RAT | INA | SLFL-EC RHP |
| RATR | INA | SLFT-EC RHP |
| RATRY | INA | SLFT-A RHP |
| RATY | INA | SLFL-A RHP |
| RAY | INA | SLFE-A RHP |
| RB | INA | LPB-DEC RHP |
| RBY | INA | LPB RHP |
| RCJ | INA | SF-DEC RHP |
| RCJ..FA101T | INA | SF-HLT RHP |
| RCJT | INA | SFT-DEC RHP |
| RCJT..FA101T | INA | SFT-HLT RHP |
| RCJTA | INA | SFT1000KG RHP |
| RCJTY | INA | SFT RHP |
| RCJY | INA | SF RHP |
| RCJY..TN VA | INA | PSF-CR RHP |
| RHE | INA | SCH-DEC / SCHB-DEC RHP |
| RHEY | INA | SCH/SCHB RHP |
| RME | INA | FC-DEC RHP |
| RMEY | INA | FC RHP |
| RR | INA | SLFE-DEC RHP |
| RRT | INA | SLFL-DEC RHP |
| RRTR | INA | SLFT-DEC RHP |
| RRTY | INA | SLFL RHP |
| RRY | INA | SLFE RHP |
| RSHE | INA | SNP-DEC RHP |
| RSHEY | INA | SNP RHP |
| RTT | INA | TSLFL-DEC RHP |
| RTTR | INA | TSLFT-DEC RHP |
| RTUE | INA | ST-DEC RHP |
| RTUEY | INA | ST RHP |
| TASE | INA | TNP-DEC RHP |
| TASE | INA | TNP-DEC RHP |
| TB | INA | TLPB-DEC RHP |
| TCJ | INA | TSF-DEC RHP |
| TCJT | INA | TSFT-DEC RHP |
| TCJTY..TN VA | INA | PSFT-CR RHP |
| THE | INA | TSCH-DEC / TSCHB-DEC RHP |
| TME | INA | TFC-DEC RHP |
| TME | INA | TFC-DEC RHP |
| TR | INA | TSLFE-DEC RHP |
| TSHE | INA | TSNP-DEC RHP |
| TSHE | INA | TSNP-DEC RHP |
| TTUE | INA | TST-DEC RHP |
| TTUE | INA | TST-DEC RHP |
| YE-KRR | INA | 1100 RHP |
| Y-KRR | INA | 1100 RHP |
| CB200 | Koyo | 172620000-2RS RHP |
| GA1100-2RSB | Koyo | 1000DECG RHP |
| GAP1100B | Koyo | NP-EC RHP |
| GAPL1100B | Koyo | SL-DEC RHP |
| GARA100-2RSA | Koyo | 1200ECG RHP |
| GARAF100A | Koyo | SF-EC RHP |
| GARAF100A | Koyo | SFT-EC RHP |
| GARAP100A | Koyo | NP-EC RHP |
| GARAPL100A | Koyo | SL-EC RHP |
| GFF1100B | Koyo | SF-DEC RHP |
| GFFL1100B | Koyo | SFT-DEC RHP |
| HFC | Koyo | MFC RHP |
| HV-(M) | Koyo | MST RHP |
| LC | Koyo | SLC RHP |
| LV-(M) | Koyo | ST RHP |
| PB | Koyo | 1200G RHP |
| PF-A | Koyo | SLFE-EC RHP |
| PF-M | Koyo | SLFE RHP |

| Nr referencyjny | Producent | Zamienniki łożysk wg RHP i NSK | |
|-----------------|--------------------|-----------------------------------|-----|
| PFT1100B | Koyo | SLFE-DEC | RHP |
| RA100 | Koyo | 1200EC | RHP |
| SCHB | Koyo | SCHB | RHP |
| SP | Koyo | LPB-A | RHP |
| SP100A | Koyo | LPB-EC | RHP |
| F3Y200N | Link Belt | SF-DEC | RHP |
| FX3Y200N | Link Belt | SFT-DEC | RHP |
| P3Y200N | Link Belt | NP-DEC | RHP |
| PL3Y200N | Link Belt | SL-DEC | RHP |
| C25 | McGill | NP | RHP |
| C35 | McGill | MP | RHP |
| CL25 | McGill | SL | RHP |
| FC2-25 | McGill | SFT | RHP |
| FC2-35 | McGill | MSFT | RHP |
| FC4-25 | McGill | SF | RHP |
| FC4-35 | McGill | MSF | RHP |
| ER | McGill, Sealmaster | 1100CG | RHP |
| BPF-B | Nachi | SLFE-A | RHP |
| BPP-B | Nachi | LPB-A | RHP |
| FHPR200 | Nachi | LPBR-EC | RHP |
| SA200 | NBR | 1200ECG | RHP |
| SAFL200 | NBR | SLFL-EC | RHP |
| SAP200 | NBR | LPB-EC | RHP |
| SAY200 | NBR | SLFE-EC | RHP |
| SBF200 | NBR | SLFE-A | RHP |
| SBFL200 | NBR | SLFL-A | RHP |
| SBP200 | NBR | LPB-A | RHP |
| 2FE | NDH | SFT-EC | RHP |
| 2FS | NDH | SFT | RHP |
| 4FE | NDH | SF-EC | RHP |
| 4FS | NDH | SF | RHP |
| HPE | NDH | NP-EC | RHP |
| HPS | NDH | NP | RHP |
| PE | NDH | SL-EC | RHP |
| PS | NDH | SL | RHP |
| R2FE | NDH | SFT-EC | RHP |
| R2FS | NDH | SFT | RHP |
| R4FE | NDH | SF-EC | RHP |
| R4FS | NDH | SF | RHP |
| RHPE | NDH | NP-EC | RHP |
| RHPS | NDH | NP | RHP |
| RPE | NDH | SL-EC | RHP |
| RPS | NDH | SL | RHP |
| CS-DDU | NSK | 1726200-2RS | RHP |
| EM200 | NSK | 1200EC | RHP |
| EMR200 | NSK | 1300EC | RHP |
| EN200 | NSK | 1200EC | RHP |
| ENFL200 | NSK | SFT-EC | RHP |
| ENP200 | NSK | NP-EC | RHP |
| ENPF200 | NSK | SLFE-EC | RHP |
| ENPP200 | NSK | LPB-EC | RHP |
| ENPPR200 | NSK | LPBR-EC | RHP |
| ENR200 | NSK | 1300EC | RHP |
| EW200 | NSK | 1000DECG | RHP |
| EWFC200 | NSK | FC-DEC | RHP |
| EWFH200 | NSK | SF-DEC | RHP |
| EWFL200 | NSK | SFT-DEC | RHP |
| EWFLH200 | NSK | TSFT-DEC | RHP |
| EWPA200 | NSK | NP-DEC | RHP |
| EWPL200 | NSK | SL-DEC | RHP |
| EWT200 | NSK | ST-DEC | RHP |
| GEM200 | NSK | 1200ECG | RHP |
| GEMTR200J | NSK | ST-EC | RHP |
| UB200 | NSK | 1200G | RHP |
| UBF200 | NSK | SF-A | RHP |

| Nr referencyjny | Producent | Zamienniki łożysk wg RHP i NSK | |
|-----------------|-----------|-----------------------------------|-----|
| UBFC200 | NSK | FC-A | RHP |
| UBFD200 | NSK | LFTC-A | RHP |
| UBFL200 | NSK | SFT-A | RHP |
| UBP200 | NSK | NP-A | RHP |
| UBPD200 | NSK | SNP-A | RHP |
| UBPF200 | NSK | SLFE-A | RHP |
| UBPP200 | NSK | LPBR-A | RHP |
| UCEH200 | NSK | SCHB | RHP |
| AEL200 | NTN | 1200ECG | RHP |
| AEL200 | NTN | AEL200 | NSK |
| AELF200 | NTN | SF-EC | RHP |
| AELFC200 | NTN | FC-EC | RHP |
| AELFD200 | NTN | AELFD200 | NSK |
| AELFL200 | NTN | SFT-EC | RHP |
| AELP200 | NTN | NP-EC | RHP |
| AELPF200 | NTN | SLFE-EC | RHP |
| AELPF200 | NTN | AELPF200 | NSK |
| AELPFL200 | NTN | AELPFL200 | NSK |
| AELPL200 | NTN | SL-EC | RHP |
| AELPP200 | NTN | LPB-EC | RHP |
| AELPP200 | NTN | AELPP200 | NSK |
| AELPW200 | NTN | SNP-EC | RHP |
| AELRPP200 | NTN | LPBR-EC | RHP |
| AELS200 | NTN | 1300EC | RHP |
| AELT200 | NTN | ST-EC | RHP |
| AS200 | NTN | 1200G | RHP |
| AS200 | NTN | AS200 | NSK |
| ASF200 | NTN | SF-A | RHP |
| ASFC200 | NTN | FC-A | RHP |
| ASFD200 | NTN | LFTC-A | RHP |
| ASFD200 | NTN | ASFD200 | NSK |
| ASFL200 | NTN | SFT-A | RHP |
| ASFW200 | NTN | LFTC-A | RHP |
| ASP200 | NTN | NP-A | RHP |
| ASPF200 | NTN | SLFE-A | RHP |
| ASPF200 | NTN | ASPF200 | NSK |
| ASPFL200 | NTN | ASPFL200 | NSK |
| ASPL200 | NTN | SL | RHP |
| ASPP200 | NTN | LPB-A | RHP |
| ASPP200 | NTN | ASPP200 | NSK |
| ASPW200 | NTN | SNP-A | RHP |
| AST200 | NTN | ST-A | RHP |
| CS200LLU | NTN | CS200LLU | RHP |
| CS-LLU | NTN | 1726200-2RS | RHP |
| UC300 | NTN | UC300 | NSK |
| UCF200 | NTN | UCF200 | NSK |
| UCF300 | NTN | UCF300 | NSK |
| UCFC200 | NTN | UCFC200 | NSK |
| UCFC300 | NTN | UCFC300 | NSK |
| UCFCX00 | NTN | UCFCX00 | NSK |
| UCFH200 | NTN | UCFH200 | NSK |
| UCFL200 | NTN | UCFL200 | NSK |
| UCFL300 | NTN | UCFL300 | NSK |
| UCFLX00 | NTN | UCFLX00 | NSK |
| UCFX00 | NTN | UCFX00 | NSK |
| UCHB | NTN | SCHB | RHP |
| UCHB200 | NTN | UCHB200 | NSK |
| UCP200 | NTN | UCP200 | NSK |
| UCP300 | NTN | UCP300 | NSK |
| UCPX00 | NTN | UCPX00 | NSK |
| UCS200 | NTN | 1100 | RHP |
| UCT200 | NTN | UCT200 | NSK |
| UCT300 | NTN | UCT300 | NSK |
| UCTX00 | NTN | UCTX00 | NSK |
| UCUP200 | NTN | UCUP200 | NSK |
| UCX00 | NTN | UCX00 | NSK |

Lista zamienników

| Nr referencyjny | Producent | Zamienniki łożysk wg RHP i NSK | |
|-----------------|------------|--------------------------------|-----|
| UEL200 | NTN | 1000DECG | RHP |
| UEL200 | NTN | UEL200 | NSK |
| UELF200 | NTN | SF-DEC | RHP |
| UELF200 | NTN | UELF200 | NSK |
| UELFC200 | NTN | FC-DEC | RHP |
| UELFC200 | NTN | UELFC200 | NSK |
| UELFL200 | NTN | SFT-DEC | RHP |
| UELFL200 | NTN | UELFL200 | NSK |
| UELP200 | NTN | NP-DEC | RHP |
| UELP200 | NTN | UELP200 | NSK |
| UELPL200 | NTN | SL-DEC | RHP |
| UELPW200 | NTN | SNP-DEC | RHP |
| UELS200 | NTN | 1100DEC | RHP |
| UELT200 | NTN | ST-DEC | RHP |
| UELT200 | NTN | UELT200 | NSK |
| UK200 | NTN | UK200 | NSK |
| RMS-E | Pollard | MMRJ | RHP |
| KLNJ | R&M | KLNJ | RHP |
| KLNJ-D | R&M | KLNJ-Z | RHP |
| KLNJ-DD | R&M | KLNJ-ZZ | RHP |
| KLNJ-WSR | R&M | KLNJ-2RS | RHP |
| 630300 | RIV | 1000G | RHP |
| 5300 | Sealmaster | 1000G | RHP |
| 5200(°C) | Sealmaster | 1000G | RHP |
| 5300(°C) | Sealmaster | 1000G | RHP |
| MFC | Sealmaster | MFC | RHP |
| MP | Sealmaster | MP | RHP |
| MSC | Sealmaster | MSC | RHP |
| MSF | Sealmaster | MSF | RHP |
| MSFT | Sealmaster | MSFT | RHP |
| MST | Sealmaster | MST | RHP |
| NP | Sealmaster | NP | RHP |
| SCHB | Sealmaster | SCHB | RHP |
| SFT | Sealmaster | SFT | RHP |
| SLG | Sealmaster | SL | RHP |
| SRP | Sealmaster | LPBR | RHP |
| SSF | Sealmaster | SLFE | RHP |
| SSP | Sealmaster | LPB | RHP |
| ST | Sealmaster | ST | RHP |
| TB | Sealmaster | CNP | RHP |
| TB-(°C) | Sealmaster | CNP | RHP |
| SC | Sealmaster | SLC | RHP |
| SF | Sealmaster | SF | RHP |
| 173200 | SKF | 1200ECG | RHP |
| 173600 | SKF | 1200EC | RHP |
| 174600 | SKF | 1300EC | RHP |
| 477200 | SKF | 1000DECG | RHP |
| 479200 | SKF | 1000G | RHP |
| 1716200D-2LS | SKF | 1300EC | RHP |
| 1726200-2RS | SKF | 1726200-2RS | RHP |
| 1726200-2RS1 | SKF | 1726200-2RS | RHP |
| 1726300-2RS1 | SKF | 1726300-2RS | RHP |
| 238200(D)-2LS | SKF | 1200EC | RHP |
| 413200(D) | SKF | 1000G | RHP |
| FY-CB | SKF | SF-EC | RHP |
| FYC-RM | SKF | FC-A | RHP |
| FYC-TF | SKF | FC | RHP |
| FYC-WM | SKF | FC-DEC | RHP |
| FY-FM | SKF | SF-EC | RHP |
| FYGF-FJ | SKF | FC-EC | RHP |
| FYGF-SD | SKF | FC | RHP |
| FYGF-W | SKF | FC-DEC | RHP |
| FYJ-FM | SKF | SF-EC | RHP |
| FYJ-RM | SKF | SF-A | RHP |
| FYJ-TF | SKF | UCF200 | RHP |
| FYJ-WF | SKF | UELF200 | RHP |

| Nr referencyjny | Producent | Zamienniki łożysk wg RHP i NSK | |
|-----------------|-----------|--------------------------------|-----|
| FYK..TH/GFA | SKF | PSF-CR | RHP |
| FY-RM | SKF | SF-A | RHP |
| FY-S | SKF | SF | RHP |
| FYTB-CB | SKF | SFT-EC | RHP |
| FYTB-FJ | SKF | SFT-EC | RHP |
| FYTB-FM | SKF | SFT-EC | RHP |
| FYTB-FM | SKF | SFT-EC | RHP |
| FYTB-RM | SKF | SFT-A | RHP |
| FYTB-TF | SKF | UCFL200 | RHP |
| FYTB-WF | SKF | UELFL200 | RHP |
| FYTBK..TH/GFA | SKF | PSFT-CR | RHP |
| FYTB-L(D) | SKF | SFT | RHP |
| FYTB-RM | SKF | SFT-A | RHP |
| FYTB-S(D) | SKF | SFT | RHP |
| FYTB-TF | SKF | SFT | RHP |
| FYTB-TM | SKF | SFT | RHP |
| FYTB-W(M) | SKF | SFT-DEC | RHP |
| FYTB-WF | SKF | SFT-DEC | RHP |
| FY-TF | SKF | SF | RHP |
| FYTF-FJ | SKF | LFTC-EC | RHP |
| FY-TM | SKF | SF | RHP |
| FY-WM | SKF | SF-DEC | RHP |
| FY-X | SKF | SF-DEC | RHP |
| H | SKF | H | RHP |
| HA | SKF | HA | RHP |
| HE | SKF | HE | RHP |
| KM | SKF | AN | RHP |
| MB | SKF | AW | RHP |
| P-CA | SKF | LPB-EC | RHP |
| PF-CA | SKF | SLFE-EC | RHP |
| PFD-FM | SKF | SLFT-DEC | RHP |
| PFD-FM | SKF | SLFT-EC | RHP |
| PFD-RM | SKF | SLFT-A | RHP |
| PFD-TF | SKF | SLFT | RHP |
| PFD-TM | SKF | SLFT | RHP |
| PFD-WF | SKF | SLFT-DEC | RHP |
| PFD-WM | SKF | SLFT-DEC | RHP |
| PF-FM | SKF | SLFE-EC | RHP |
| P-FJ | SKF | LPB-EC | RHP |
| PF-L(D) | SKF | SLFE | RHP |
| P-FM | SKF | LPB-EC | RHP |
| PF-PA | SKF | SLFE-EC | RHP |
| PF-RM | SKF | SLFE-A | RHP |
| PFT-CA | SKF | SLFE-EC | RHP |
| PF-TF | SKF | SLFE | RHP |
| PFT-FM | SKF | SLFL-EC | RHP |
| PF-TM | SKF | SLFE | RHP |
| PFT-RM | SKF | SLFL-A | RHP |
| PFT-TF | SKF | SLFL | RHP |
| PFT-TM | SKF | SLFL | RHP |
| PFT-W | SKF | SLFL-DEC | RHP |
| PFT-WF | SKF | SLFL-DEC | RHP |
| PFT-WM | SKF | SLFL-DEC | RHP |
| PF-WF | SKF | SLFE-DEC | RHP |
| PF-WM | SKF | SLFE-DEC | RHP |
| P-L(D) | SKF | LPB | RHP |
| P-R-CA | SKF | LPBR-A | RHP |
| P-R-FA | SKF | LPBR-A | RHP |
| P-R-FJ | SKF | LPBR-A | RHP |
| P-R-L | SKF | LPBR | RHP |
| P-RM | SKF | LPB-A or ASPP200 | RHP |
| P-TF | SKF | LPB | RHP |
| P-TM | SKF | LPB | RHP |
| P-W | SKF | LPB-DEC | RHP |
| P-WF | SKF | LPB-DEC | RHP |
| P-WM | SKF | LPB-DEC | RHP |

| Nr referencyjny | Producent | Zamienniki łożysk wg RHP i NSK |
|------------------|-----------|-----------------------------------|
| SY | SKF | NP RHP |
| SYB-FM | SKF | SL-EC RHP |
| SYB-L(D) | SKF | SL RHP |
| SYB-TM | SKF | SL RHP |
| SYBWM | SKF | SL-DEC RHP |
| SY-CB | SKF | NP-EC RHP |
| SYF-FM | SKF | SNP-EC RHP |
| SYFJ-FM | SKF | SNP-EC RHP |
| SYFJ-RM | SKF | SNP-A RHP |
| SYFJ-TF | SKF | UCUP200 NSK |
| SYFJ-WF | SKF | SNP-DEC RHP |
| SY-FM | SKF | NP-EC RHP |
| SY-FM | SKF | NP-EC RHP |
| SYF-RM | SKF | SNP-A RHP |
| SYF-TF | SKF | SNP RHP |
| SYF-WF | SKF | SNP-DEC RHP |
| SYH-CB | SKF | SL-EC RHP |
| SYH-X | SKF | SL-DEC RHP |
| SYJ-FM | SKF | NP-EC RHP |
| SYJ-RM | SKF | NP-A RHP |
| SYJ-TF | SKF | UCP200 NSK |
| SYJ-WF | SKF | UEL200 NSK |
| SYK..TH/GFA | SKF | PNP-CR RHP |
| SY-RM | SKF | NP-A RHP |
| SY-TF | SKF | NP RHP |
| SY-TM | SKF | NP RHP |
| SY-W | SKF | NP-DEC RHP |
| SY-WF | SKF | NP-DEC RHP |
| SY-WM | SKF | NP-DEC RHP |
| TB | SKF | ST RHP |
| TB-CB | SKF | ST-EC RHP |
| TB-X | SKF | ST-DEC RHP |
| TU-FJ | SKF | ST-EC RHP |
| TU-FM | SKF | ST-EC RHP |
| TU-FM | SKF | ST-EC RHP |
| TUJ-FM | SKF | ST-EC RHP |
| TUJ-RM | SKF | ST-A RHP |
| TUJ-TF | SKF | UCT200 NSK |
| TUJ-WF | SKF | UFLT200 NSK |
| TU-L(D) | SKF | ST RHP |
| TU-RM | SKF | ST-A RHP |
| TU-S(D) | SKF | ST RHP |
| TU-TF | SKF | ST RHP |
| TU-TM | SKF | ST RHP |
| TU-WF | SKF | ST-DEC RHP |
| TU-WM | SKF | ST-DEC RHP |
| YAR2..-2RF/HVGFA | SKF | J1000GCR RHP |
| YAR200 | SKF | 1000G RHP |
| YAR-2-2RF | SKF | 1000GFS RHP |
| YAR-2F | SKF | 1000G RHP |
| YAT200 | SKF | 1200G RHP |
| YEL200 | SKF | 1000DECG RHP |
| YEL200-2F | SKF | 1000DECG RHP |
| YET200 | SKF | 1200ECG RHP |
| YSA200-2FK | SKF | 1000KG RHP |
| CES200 | SNR | 1300EC RHP |
| CEX200 | SNR | 1100DEC RHP |
| CUC200 | SNR | 1100 RHP |
| CUCS200 | SNR | 1300 RHP |
| ES200 | SNR | 1200ECG RHP |
| ESC200 | SNR | SLC-EC RHP |
| ESEHE200 | SNR | SCH-EC RHP |
| ESF200 | SNR | SF-EC RHP |
| ESFC200 | SNR | FC-EC RHP |
| ESFD | SNR | LFTC-EC RHP |
| ESFL200 | SNR | SFT-EC RHP |

| Nr referencyjny | Producent | Zamienniki łożysk wg RHP i NSK |
|-----------------|-----------|-----------------------------------|
| ESP200 | SNR | NP-EC RHP |
| ESPA200 | SNR | SNP-EC RHP |
| ESSP200 | SNR | BT-EC RHP |
| EST200 | SNR | ST-EC RHP |
| EX200 | SNR | 1000DECG RHP |
| EX200L3 | SNR | T1000DECG8 RHP |
| EXC200 | SNR | SLC-DEC RHP |
| EXEHE200 | SNR | SCH-DEC RHP |
| EXF200 | SNR | SF-DEC RHP |
| EXFC200 | SNR | FC-DEC RHP |
| EXP200 | SNR | NP-DEC RHP |
| EXPA200 | SNR | SNP-DEC RHP |
| EXSP200 | SNR | BT-DEC RHP |
| EXT200 | SNR | ST-DEC RHP |
| GNP | SNR | PNP-CR RHP |
| GSF | SNR | PSF-CR RHP |
| GSFT | SNR | PSFT-CR RHP |
| MUC..FD | SNR | J1000GCR RHP |
| SPR | SNR | BTHF RHP |
| UC200 | SNR | 1000G RHP |
| UC200L3 | SNR | T1000G RHP |
| UCC200 | SNR | SLC RHP |
| UCEHE200 | SNR | SCH RHP |
| UCF200 | SNR | SF RHP |
| UCFC200 | SNR | FC RHP |
| UCFL200 | SNR | SFT RHP |
| UCP200 | SNR | NP RHP |
| UCPA200 | SNR | SNP RHP |
| UCSP200 | SNR | BT RHP |
| UCT200 | SNR | ST RHP |
| UK200 | SNR | 1000KG RHP |
| UKC200 | SNR | SLC1000K RHP |
| UKEHE200 | SNR | SCH1000K RHP |
| UKF200 | SNR | SF1000K RHP |
| UKFL200 | SNR | SFT1000K RHP |
| UKP200 | SNR | NP1000K RHP |
| UKPA200 | SNR | SNP1000K RHP |
| UKT200 | SNR | ST1000K RHP |
| US200 | SNR | 1200G RHP |
| USC200 | SNR | SLC-A RHP |
| USEHE200 | SNR | SCH-A RHP |
| USF200 | SNR | SF-A RHP |
| USFC200 | SNR | FC-A RHP |
| USFD | SNR | LFTC-A RHP |
| USFL200 | SNR | SFT-A RHP |
| USP200 | SNR | NP-A RHP |
| USPA200 | SNR | SNP-A RHP |
| USSP200 | SNR | BT-A RHP |
| UST200 | SNR | ST-A RHP |
| 6200EES | Steyr | 176200-2RS RHP |



Tabele przeliczeniowe

Porównanie jednostek systemu SI i CGS oraz praktycznych jednostek inżynierskich

| Jednostka Układ jednostek SI | Długość | Masa | Czas | Temp. | Przyspieszenie | Siła | Napężenie | Ciśnienie | Energia | Moc W |
|---------------------------------------|---------|-------------------------|------|-------|------------------|------|---------------------|---------------------|---------|-----------|
| SI | m | kg | s | K, °C | m/s ² | N | Pa | Pa | J | W |
| System CGS | cm | g | s | °C | Gal | dyn | dyn/cm ² | dyn/cm ² | erg | erg/s |
| Układ jednostek inżynierskich | m | kgf · s ² /m | s | °C | m/s ² | kgf | kgf/m ² | kgf/m ² | kgf · m | kgf · m/s |

Współczynniki konwersji z jednostek SI

| Parametr | Jednostka SI | | Jednostka inna niż SI | | Współczynnik konwersji z jednostki SI |
|------------------|---------------------------------------|---------------------------------|---------------------------------------|---------------------|---------------------------------------|
| | Nazwy jednostek | Symbol | Nazwy jednostek | Symbol | |
| Kąt | Radian | rad | Stopień | ° | 180/π |
| | | | Minuta | ' | 10 800/π |
| | | | Sekunda | '' | 648 000/π |
| Długość | Metr | m | Mikron | μ | 10 ⁶ |
| | | | Angstrom | Å | 10 ¹⁰ |
| Powierzchnia | Metr kwadratowy | m ² | Ar | a | 10 ⁻² |
| | | | Hektar | ha | 10 ⁻⁴ |
| Objętość | Metr sześcienny | m ³ | Litr | l, L | 10 ³ |
| | | | Decylitr | dl, dL | 10 ⁴ |
| Czas | Sekunda | s | Minuta | min | 1/60 |
| | | | Godzina | h | 1/3 600 |
| | | | Dzień | d | 1/86 400 |
| Częstotliwość | Hertz | Hz | Cykl | s ⁻¹ | 1 |
| Prędkość obrotów | Obroty na sekundę | s ⁻¹ | Obroty na minutę | rpm | 60 |
| Prędkość | Metry na sekundę | m/s | Kilometr na godzinę | km/h | 3 600/1 000 |
| | | | Węzeł | kn | 3 600/1 852 |
| Przyspieszenie | Metry na sekundę do kwadratu | m/s ² | Przyspieszenie grawitacyjne | G | 1/9.806 65 |
| Masa | Kilogram | kg | Tona | te | 10 ⁻³ |
| | | | Tona | t | 9.842 x 10 ⁻⁴ |
| Siła | Niuton | N | Kilogram-siła | kgf | 1/9.806 65 |
| | | | Tona-siła | tf | 1/ (9.806 65 · 10 ³) |
| | | | Dyna | dyn | 10 ⁵ |
| Moment | Niuton · metr | N · m | Kilogram-siła · metr | kgf · m | 1/9.806 65 |
| Napężenie | Pascal | Pa (N/m ²) | Kilogram-siła na centymetr kwadratowy | kgf/cm ² | 1/ (9.806 65 · 10 ⁴) |
| | | | Kilogram-siła na milimetr kwadratowy | kgf/mm ² | 1/ (9.806 65 · 10 ⁶) |
| Ciśnienie | Pascal (Niuton na metr kwadratowy) | Pa (N/m ²) | Kilogram-siła na metr kwadratowy | kgf/m ² | 1/9.806 65 |
| | | | Słup wody | mH ₂ O | 1/(9.806 65 · 10 ³) |
| | | | Słupek rtęci | mmHg | 760/(1.013 25 · 10 ⁵) |
| | | | Tor | Torr | 760/(1.013 25 · 10 ⁵) |
| | | | Bar | bar | 10 ⁻⁵ |
| Atmosfera | atm | 1/(1.013 25 · 10 ⁵) | | | |

Współczynniki konwersji z jednostek SI (cd.)

| Parametr | Jednostka SI | | Jednostka inna niż SI | | Współczynnik konwersji z jednostki SI |
|----------------------------------|----------------------------|-------------------|--------------------------------|-------------------|---------------------------------------|
| | Nazwy jednostek | Symbol | Nazwy jednostek | Symbol | |
| Energia | Dżul (Niuton · metr) | J (N · m) | Erg | erg | 10 ⁷ |
| | | | Kaloria (międzynarodowa) | cal _{IT} | 4.186 8 |
| | | | Kilogramsiła · metr | kgf · m | 1/9.806 65 |
| | | | Kilowatogodzina | kW · h | 1/(3.6 · 10 ⁶) |
| | | | Francuska mocogodzina | PS · h | ≈ 3.776 72 · 10 ⁻⁷ |
| Praca | Wat (Dżul na sekundę) | W (J/s) | Kilogramsiła · metr na sekundę | kgf · m/s | 1/9.806 65 |
| | | | Kilokalorie na godzinę | kcal/h | 1/1.163 |
| | | | Moc | PS | ≈ 1/735.498 8 |
| Lepkość dynamiczna | Pascalosekunda | Pa · s | Puaz | P | 10 |
| Lepkość kinematyczna | Metr kwadratowy na sekundę | m ² /s | Stoke | St | 10 ⁴ |
| | | | Centystoke | cSt | 10 ⁶ |
| Temperatura | Kelvin, stopień Celsjusza | K, °C | Stopień | °C | [Zobacz Przypis (!)] |
| Prąd elektryczny | Amper | A | Amper | A | 1 |
| Siła magnetomotoryczna | | | | | |
| Napięcie, siła elektromotoryczna | Volt | V | (Wat na Amper) | (W/A) | 1 |
| Siła pola magnetycznego | Amper na metr | A/m | Oersted | Oe | 4π/10 ³ |
| Gęstość | Tesla | T | Gauss | Gs | 10 ⁴ |
| | | | Gamma | γ | 10 ⁹ |
| Rezystancja elektryczna | Ohm | Ω | (Voltów na Amper) | (V/A) | 1 |

Przypis (!) Przeliczenie z T(K) na θ(°C) wynosi θ = T - 273.15 lecz dla różnic temperatury wynosi ΔT = Δθ. Jednakże, ΔT i Δθ oznaczają różnice temperatur zmierzone odpowiednio za pomocą skal Kelwina i Celsjusza.

Uwaga: Nazwy i symbole podane w () są równoważne tym bezpośrednio nad nimi lub po ich lewej stronie.
Przykład przeliczenia 1N=1/9.806 65kgf

Przedrostki stosowane w układzie SI

| Wielokrotność | Przedrostek | Symbole | Wielokrotność | Przedrostek | Symbole |
|------------------|-------------|---------|-------------------|-------------|---------|
| 10 ¹⁸ | Exa | E | 10 ⁻¹ | Deci | d |
| 10 ¹⁵ | Peta | P | 10 ⁻² | Centi | c |
| 10 ¹² | Tera | T | 10 ⁻³ | Milli | m |
| 10 ⁹ | Giga | G | 10 ⁻⁶ | Micro | μ |
| 10 ⁶ | Mega | M | 10 ⁻⁹ | Nano | n |
| 10 ³ | Kilo | k | 10 ⁻¹² | Pico | p |
| 10 ² | Hecto | h | 10 ⁻¹⁵ | Femto | f |
| 10 ¹ | Deca | da | 10 ⁻¹⁸ | Ato | a |

Tabele przeliczeniowe z cali na system metryczny

| Cale | | 0 | 1 | 2 | 3 | 4 | 5 | 6 | 7 | 8 | 9 | 10 |
|---------------|-------------------|--------|--------|--------|---------|---------|---------|---------|---------|---------|---------|---------|
| Ułamek zwykły | Ułamek dziesiętny | mm | | | | | | | | | | |
| 0 | 0.000000 | 0.000 | 25.400 | 50.800 | 76.200 | 101.600 | 127.000 | 152.400 | 177.800 | 203.200 | 228.600 | 254.000 |
| 1/64 | 0.015625 | 0.397 | 25.797 | 51.197 | 76.597 | 101.997 | 127.397 | 152.797 | 178.197 | 203.597 | 228.997 | 254.397 |
| 1/32 | 0.031250 | 0.794 | 26.194 | 51.594 | 76.994 | 102.394 | 127.794 | 153.194 | 178.594 | 203.994 | 229.394 | 254.794 |
| 3/64 | 0.046875 | 1.191 | 26.591 | 51.991 | 77.391 | 102.791 | 128.191 | 153.591 | 178.991 | 204.391 | 229.791 | 255.191 |
| 1/16 | 0.062500 | 1.588 | 26.988 | 52.388 | 77.788 | 103.188 | 128.588 | 153.988 | 179.388 | 204.788 | 230.188 | 255.588 |
| 5/64 | 0.078125 | 1.984 | 27.384 | 52.784 | 78.184 | 103.584 | 128.984 | 154.384 | 179.784 | 205.184 | 230.584 | 255.984 |
| 3/32 | 0.093750 | 2.381 | 27.781 | 53.181 | 78.581 | 103.981 | 129.381 | 154.781 | 180.181 | 205.581 | 230.981 | 256.381 |
| 7/64 | 0.109375 | 2.778 | 28.178 | 53.578 | 78.978 | 104.378 | 129.778 | 155.178 | 180.578 | 205.978 | 231.378 | 256.778 |
| 1/8 | 0.125000 | 3.175 | 28.575 | 53.975 | 79.375 | 104.775 | 130.175 | 155.575 | 180.975 | 206.375 | 231.775 | 257.175 |
| 9/64 | 0.140625 | 3.572 | 28.972 | 54.372 | 79.772 | 105.172 | 130.572 | 155.972 | 181.372 | 206.772 | 232.172 | 257.572 |
| 5/32 | 0.156250 | 3.969 | 29.369 | 54.769 | 80.169 | 105.569 | 130.969 | 156.369 | 181.769 | 207.169 | 232.569 | 257.969 |
| 11/64 | 0.171875 | 4.366 | 29.766 | 55.166 | 80.566 | 105.966 | 131.366 | 156.766 | 182.166 | 207.566 | 232.966 | 258.366 |
| 3/16 | 0.187500 | 4.762 | 30.162 | 55.562 | 80.962 | 106.362 | 131.762 | 157.162 | 182.562 | 207.962 | 233.362 | 258.762 |
| 13/64 | 0.203125 | 5.159 | 30.559 | 55.959 | 81.359 | 106.759 | 132.159 | 157.559 | 182.959 | 208.359 | 233.759 | 259.159 |
| 7/32 | 0.218750 | 5.556 | 30.956 | 56.356 | 81.756 | 107.156 | 132.556 | 157.956 | 183.356 | 208.756 | 234.156 | 259.556 |
| 15/64 | 0.234375 | 5.953 | 31.353 | 56.753 | 82.153 | 107.553 | 132.953 | 158.353 | 183.753 | 209.153 | 234.553 | 259.953 |
| 1/4 | 0.250000 | 6.350 | 31.750 | 57.150 | 82.550 | 107.950 | 133.350 | 158.750 | 184.150 | 209.550 | 234.950 | 260.350 |
| 17/64 | 0.265625 | 6.747 | 32.147 | 57.547 | 82.947 | 108.347 | 133.747 | 159.147 | 184.547 | 209.947 | 235.347 | 260.747 |
| 9/32 | 0.281250 | 7.144 | 32.544 | 57.944 | 83.344 | 108.744 | 134.144 | 159.544 | 184.944 | 210.344 | 235.744 | 261.144 |
| 19/64 | 0.296875 | 7.541 | 32.941 | 58.341 | 83.741 | 109.141 | 134.541 | 159.941 | 185.341 | 210.741 | 236.141 | 261.541 |
| 5/16 | 0.312500 | 7.938 | 33.338 | 58.738 | 84.138 | 109.538 | 134.938 | 160.338 | 185.738 | 211.138 | 236.538 | 261.938 |
| 21/64 | 0.328125 | 8.334 | 33.734 | 59.134 | 84.534 | 109.934 | 135.334 | 160.734 | 186.134 | 211.534 | 236.934 | 262.334 |
| 11/32 | 0.343750 | 8.731 | 34.131 | 59.531 | 84.931 | 110.331 | 135.731 | 161.131 | 186.531 | 211.931 | 237.331 | 262.731 |
| 23/64 | 0.359375 | 9.128 | 34.528 | 59.928 | 85.328 | 110.728 | 136.128 | 161.528 | 186.928 | 212.328 | 237.728 | 263.128 |
| 3/8 | 0.375000 | 9.525 | 34.925 | 60.325 | 85.725 | 111.125 | 136.525 | 161.925 | 187.325 | 212.725 | 238.125 | 263.525 |
| 25/64 | 0.390625 | 9.922 | 35.322 | 60.722 | 86.122 | 111.522 | 136.922 | 162.322 | 187.722 | 213.122 | 238.522 | 263.922 |
| 13/32 | 0.406250 | 10.319 | 35.719 | 61.119 | 86.519 | 111.919 | 137.319 | 162.719 | 188.119 | 213.519 | 238.919 | 264.319 |
| 27/64 | 0.421875 | 10.716 | 36.116 | 61.516 | 86.916 | 112.316 | 137.716 | 163.116 | 188.516 | 213.916 | 239.316 | 264.716 |
| 7/16 | 0.437500 | 11.112 | 36.512 | 61.912 | 87.312 | 112.712 | 138.112 | 163.512 | 188.912 | 214.312 | 239.712 | 265.112 |
| 29/64 | 0.453125 | 11.509 | 36.909 | 62.309 | 87.709 | 113.109 | 138.509 | 163.909 | 189.309 | 214.709 | 240.109 | 265.509 |
| 15/32 | 0.468750 | 11.906 | 37.306 | 62.706 | 88.106 | 113.506 | 138.906 | 164.306 | 189.706 | 215.106 | 240.506 | 265.906 |
| 31/64 | 0.484375 | 12.303 | 37.703 | 63.103 | 88.503 | 113.903 | 139.303 | 164.703 | 190.103 | 215.503 | 240.903 | 266.303 |
| 1/2 | 0.500000 | 12.700 | 38.100 | 63.500 | 88.900 | 114.300 | 139.700 | 165.100 | 190.500 | 215.900 | 241.300 | 266.700 |
| 33/64 | 0.515625 | 13.097 | 38.497 | 63.897 | 89.297 | 114.697 | 140.097 | 165.497 | 190.897 | 216.297 | 241.697 | 267.097 |
| 17/32 | 0.531250 | 13.494 | 38.894 | 64.294 | 89.694 | 115.094 | 140.494 | 165.894 | 191.294 | 216.694 | 242.094 | 267.494 |
| 35/64 | 0.546875 | 13.891 | 39.291 | 64.691 | 90.091 | 115.491 | 140.891 | 166.291 | 191.691 | 217.091 | 242.491 | 267.891 |
| 9/16 | 0.562500 | 14.288 | 39.688 | 65.088 | 90.488 | 115.888 | 141.288 | 166.688 | 192.088 | 217.488 | 242.888 | 268.288 |
| 37/64 | 0.578125 | 14.684 | 40.084 | 65.484 | 90.884 | 116.284 | 141.684 | 167.084 | 192.484 | 217.884 | 243.284 | 268.684 |
| 19/32 | 0.593750 | 15.081 | 40.481 | 65.881 | 91.281 | 116.681 | 142.081 | 167.481 | 192.881 | 218.281 | 243.681 | 269.081 |
| 39/64 | 0.609375 | 15.478 | 40.878 | 66.278 | 91.678 | 117.078 | 142.478 | 167.878 | 193.278 | 218.678 | 244.078 | 269.478 |
| 5/8 | 0.625000 | 15.875 | 41.275 | 66.675 | 92.075 | 117.475 | 142.875 | 168.275 | 193.675 | 219.075 | 244.475 | 269.875 |
| 41/64 | 0.640625 | 16.272 | 41.672 | 67.072 | 92.472 | 117.872 | 143.272 | 168.672 | 194.072 | 219.472 | 244.872 | 270.272 |
| 21/32 | 0.656250 | 16.669 | 42.069 | 67.469 | 92.869 | 118.269 | 143.669 | 169.069 | 194.469 | 219.869 | 245.269 | 270.669 |
| 43/64 | 0.671875 | 17.066 | 42.466 | 67.866 | 93.266 | 118.666 | 144.066 | 169.466 | 194.866 | 220.266 | 245.666 | 271.066 |
| 11/16 | 0.687500 | 17.462 | 42.862 | 68.262 | 93.662 | 119.062 | 144.462 | 169.862 | 195.262 | 220.662 | 246.062 | 271.462 |
| 45/64 | 0.703125 | 17.859 | 43.259 | 68.659 | 94.059 | 119.459 | 144.859 | 170.259 | 195.659 | 221.059 | 246.459 | 271.859 |
| 23/32 | 0.718750 | 18.256 | 43.656 | 69.056 | 94.456 | 119.856 | 145.256 | 170.656 | 196.056 | 221.456 | 246.856 | 272.256 |
| 47/64 | 0.734375 | 18.653 | 44.053 | 69.453 | 94.853 | 120.253 | 145.653 | 171.053 | 196.453 | 221.853 | 247.253 | 272.653 |
| 3/4 | 0.750000 | 19.050 | 44.450 | 69.850 | 95.250 | 120.650 | 146.050 | 171.450 | 196.850 | 222.250 | 247.650 | 273.050 |
| 49/64 | 0.765625 | 19.447 | 44.847 | 70.247 | 95.647 | 121.047 | 146.447 | 171.847 | 197.247 | 222.647 | 248.047 | 273.447 |
| 25/32 | 0.781250 | 19.844 | 45.244 | 70.644 | 96.044 | 121.444 | 146.844 | 172.244 | 197.644 | 223.044 | 248.444 | 273.844 |
| 51/64 | 0.796875 | 20.241 | 45.641 | 71.041 | 96.441 | 121.841 | 147.241 | 172.641 | 198.041 | 223.441 | 248.841 | 274.241 |
| 13/16 | 0.812500 | 20.638 | 46.038 | 71.438 | 96.838 | 122.238 | 147.638 | 173.038 | 198.438 | 223.838 | 249.238 | 274.638 |
| 53/64 | 0.828125 | 21.034 | 46.434 | 71.834 | 97.234 | 122.634 | 148.034 | 173.434 | 198.834 | 224.234 | 249.634 | 275.034 |
| 27/32 | 0.843750 | 21.431 | 46.831 | 72.231 | 97.631 | 123.031 | 148.431 | 173.831 | 199.231 | 224.631 | 250.031 | 275.431 |
| 55/64 | 0.859375 | 21.828 | 47.228 | 72.628 | 98.028 | 123.428 | 148.828 | 174.228 | 199.628 | 225.028 | 250.428 | 275.828 |
| 7/8 | 0.875000 | 22.225 | 47.625 | 73.025 | 98.425 | 123.825 | 149.225 | 174.625 | 200.025 | 225.425 | 250.825 | 276.225 |
| 57/64 | 0.890625 | 22.622 | 48.022 | 73.422 | 98.822 | 124.222 | 149.622 | 175.022 | 200.422 | 225.822 | 251.222 | 276.622 |
| 29/32 | 0.906250 | 23.019 | 48.419 | 73.819 | 99.219 | 124.619 | 150.019 | 175.419 | 200.819 | 226.219 | 251.619 | 277.019 |
| 59/64 | 0.921875 | 23.416 | 48.816 | 74.216 | 99.616 | 125.016 | 150.416 | 175.816 | 201.216 | 226.616 | 252.016 | 277.416 |
| 15/16 | 0.937500 | 23.812 | 49.212 | 74.612 | 100.012 | 125.412 | 150.812 | 176.212 | 201.612 | 227.012 | 252.412 | 277.812 |
| 61/64 | 0.953125 | 24.209 | 49.609 | 75.009 | 100.409 | 125.809 | 151.209 | 176.609 | 202.009 | 227.409 | 252.809 | 278.209 |
| 31/32 | 0.968750 | 24.606 | 50.006 | 75.406 | 100.806 | 126.206 | 151.606 | 177.006 | 202.406 | 227.806 | 253.206 | 278.606 |
| 63/64 | 0.984375 | 25.003 | 50.403 | 75.803 | 101.203 | 126.603 | 152.003 | 177.403 | 202.803 | 228.203 | 253.603 | 279.003 |

| Cale | | 11 | 12 | 13 | 14 | 15 | 16 | 17 | 18 | 19 | 20 |
|---------------|-------------------|---------|---------|---------|---------|---------|---------|---------|---------|---------|---------|
| Ułamek zwykły | Ułamek dziesiętny | mm | | | | | | | | | |
| 0 | 0.0000 | 279.400 | 304.800 | 330.200 | 355.600 | 381.000 | 406.400 | 431.800 | 457.200 | 482.600 | 508.000 |
| 1/16 | 0.0625 | 280.988 | 306.388 | 331.788 | 357.188 | 382.588 | 407.988 | 433.388 | 458.788 | 484.188 | 509.588 |
| 1/8 | 0.1250 | 282.575 | 307.975 | 333.375 | 358.775 | 384.175 | 409.575 | 434.975 | 460.375 | 485.775 | 511.175 |
| 3/16 | 0.1875 | 284.162 | 309.562 | 334.962 | 360.362 | 385.762 | 411.162 | 436.562 | 461.962 | 487.362 | 512.762 |
| 1/4 | 0.2500 | 285.750 | 311.150 | 336.550 | 361.950 | 387.350 | 412.750 | 438.150 | 463.550 | 488.950 | 514.350 |
| 5/16 | 0.3125 | 287.338 | 312.738 | 338.138 | 363.538 | 388.938 | 414.338 | 439.738 | 465.138 | 490.538 | 515.938 |
| 3/8 | 0.3750 | 288.925 | 314.325 | 339.725 | 365.125 | 390.525 | 415.925 | 441.325 | 466.725 | 492.125 | 517.525 |
| 7/16 | 0.4375 | 290.512 | 315.912 | 341.312 | 366.712 | 392.112 | 417.512 | 442.912 | 468.312 | 493.712 | 519.112 |
| 1/2 | 0.5000 | 292.100 | 317.500 | 342.900 | 368.300 | 393.700 | 419.100 | 444.500 | 469.900 | 495.300 | 520.700 |
| 9/16 | 0.5625 | 293.688 | 319.088 | 344.488 | 369.888 | 395.288 | 420.688 | 446.088 | 471.488 | 496.888 | 522.288 |
| 5/8 | 0.6250 | 295.275 | 320.675 | 346.075 | 371.475 | 396.875 | 422.275 | 447.675 | 473.075 | 498.475 | 523.875 |
| 11/16 | 0.6875 | 296.862 | 322.262 | 347.662 | 373.062 | 398.462 | 423.862 | 449.262 | 474.662 | 500.062 | 525.462 |
| 3/4 | 0.7500 | 298.450 | 323.850 | 349.250 | 374.650 | 400.050 | 425.450 | 450.850 | 476.250 | 501.650 | 527.050 |
| 13/16 | 0.8125 | 300.038 | 325.438 | 350.838 | 376.238 | 401.638 | 427.038 | 452.438 | 477.838 | 503.238 | 528.638 |
| 7/8 | 0.8750 | 301.625 | 327.025 | 352.425 | 377.825 | 403.225 | 428.625 | 454.025 | 479.425 | 504.825 | 530.225 |
| 15/16 | 0.9375 | 303.212 | 328.612 | 354.012 | 379.412 | 404.812 | 430.212 | 455.612 | 481.012 | 506.412 | 531.812 |

| Cale | | 21 | 22 | 23 | 24 | 25 | 26 | 27 | 28 | 29 | 30 |
|---------------|-------------------|---------|---------|---------|---------|---------|---------|---------|---------|---------|---------|
| Ułamek zwykły | Ułamek dziesiętny | mm | | | | | | | | | |
| 0 | 0.0000 | 533.400 | 558.800 | 584.200 | 609.600 | 635.000 | 660.400 | 685.800 | 711.200 | 736.600 | 762.000 |
| 1/16 | 0.0625 | 534.988 | 560.388 | 585.788 | 611.188 | 636.588 | 661.988 | 687.388 | 712.788 | 738.188 | 763.588 |
| 1/8 | 0.1250 | 536.575 | 561.975 | 587.375 | 612.775 | 638.175 | 663.575 | 688.975 | 714.375 | 739.775 | 765.175 |
| 3/16 | 0.1875 | 538.162 | 563.562 | 588.962 | 614.362 | 639.762 | 665.162 | 690.562 | 715.962 | 741.362 | 766.762 |
| 1/4 | 0.2500 | 539.750 | 565.150 | 590.550 | 615.950 | 641.350 | 666.750 | 692.150 | 717.550 | 742.950 | 768.350 |
| 5/16 | 0.3125 | 541.338 | 566.738 | 592.138 | 617.538 | 642.938 | 668.338 | 693.738 | 719.138 | 744.538 | 769.938 |
| 3/8 | 0.3750 | 542.925 | 568.325 | 593.725 | 619.125 | 644.525 | 669.925 | 695.325 | 720.725 | 746.125 | 771.525 |
| 7/16 | 0.4375 | 544.512 | 569.912 | 595.312 | 620.712 | 646.112 | 671.512 | 696.912 | 722.312 | 747.712 | 773.112 |
| 1/2 | 0.5000 | 546.100 | 571.500 | 596.900 | 622.300 | 647.700 | 673.100 | 698.500 | 723.900 | 749.300 | 774.700 |
| 9/16 | 0.5625 | 547.688 | 573.088 | 598.488 | 623.888 | 649.288 | 674.688 | 700.088 | 725.488 | 750.888 | 776.288 |
| 5/8 | 0.6250 | 549.275 | 574.675 | 600.075 | 625.475 | 650.875 | 676.275 | 701.675 | 727.075 | 752.475 | 777.875 |
| 11/16 | 0.6875 | 550.862 | 576.262 | 601.662 | 627.062 | 652.462 | 677.862 | 703.262 | 728.662 | 754.062 | 779.462 |
| 3/4 | 0.7500 | 552.450 | 577.850 | 603.250 | 628.650 | 654.050 | 679.450 | 704.850 | 730.250 | 755.650 | 781.050 |
| 13/16 | 0.8125 | 554.038 | 579.438 | 604.838 | 630.238 | 655.638 | 681.038 | 706.438 | 731.838 | 757.238 | 782.638 |
| 7/8 | 0.8750 | 555.625 | 581.025 | 606.425 | 631.825 | 657.225 | 682.625 | 708.025 | 733.425 | 758.825 | 784.225 |
| 15/16 | 0.9375 | 557.212 | 582.612 | 608.012 | 633.412 | 658.812 | 684.212 | 709.612 | 735.012 | 760.412 | 785.812 |

| Cale | | 31 | 32 | 33 | 34 | 35 | 36 | 37 | 38 | 39 | 40 |
|---------------|-------------------|---------|---------|---------|---------|---------|---------|---------|---------|----------|----------|
| Ułamek zwykły | Ułamek dziesiętny | mm | | | | | | | | | |
| 0 | 0.0000 | 787.400 | 812.800 | 838.200 | 863.600 | 889.000 | 914.400 | 939.800 | 965.200 | 990.600 | 1016.000 |
| 1/16 | 0.0625 | 788.988 | 814.388 | 839.788 | 865.188 | 890.588 | 915.988 | 941.388 | 966.788 | 992.188 | 1017.588 |
| 1/8 | 0.1250 | 790.575 | 815.975 | 841.375 | 866.775 | 892.175 | 917.575 | 942.975 | 968.375 | 993.775 | 1019.175 |
| 3/16 | 0.1875 | 792.162 | 817.562 | 842.962 | 868.362 | 893.762 | 919.162 | 944.562 | 969.962 | 995.362 | 1020.762 |
| 1/4 | 0.2500 | 793.750 | 819.150 | 844.550 | 869.950 | 895.350 | 920.750 | 946.150 | 971.550 | 996.950 | 1022.350 |
| 5/16 | 0.3125 | 795.338 | 820.738 | 846.138 | 871.538 | 896.938 | 922.338 | 947.738 | 973.138 | 998.538 | 1023.938 |
| 3/8 | 0.3750 | 796.925 | 822.325 | 847.725 | 873.125 | 898.525 | 923.925 | 949.325 | 974.725 | 1000.125 | 1025.525 |
| 7/16 | 0.4375 | 798.512 | 823.912 | 849.312 | 874.712 | 900.112 | 925.512 | 950.912 | 976.312 | 1001.712 | 1027.112 |
| 1/2 | 0.5000 | 800.100 | 825.500 | 850.900 | 876.300 | 901.700 | 927.100 | 952.500 | 977.900 | 1003.300 | 1028.700 |
| 9/16 | 0.5625 | 801.688 | 827.088 | 852.488 | 877.888 | 903.288 | 928.688 | 954.088 | 979.488 | 1004.888 | 1030.288 |
| 5/8 | 0.6250 | 803.275 | 828.675 | 854.075 | 879.475 | 904.875 | 930.275 | 955.675 | 981.075 | 1006.475 | 1031.875 |
| 11/16 | 0.6875 | 804.862 | 830.262 | 855.662 | 881.062 | 906.462 | 931.862 | 957.262 | 982.662 | 1008.062 | 1033.462 |
| 3/4 | 0.7500 | 806.450 | 831.850 | 857.250 | 882.650 | 908.050 | 933.450 | 958.850 | 984.250 | 1009.650 | 1035.050 |
| 13/16 | 0.8125 | 808.038 | 833.438 | 858.838 | 884.238 | 909.638 | 935.038 | 960.438 | 985.838 | 1011.238 | 1036.638 |
| 7/8 | 0.8750 | 809.625 | 835.025 | 860.425 | 885.825 | 911.225 | 936.625 | 962.025 | 987.425 | 1012.825 | 1038.225 |
| 15/16 | 0.9375 | 811.212 | 836.612 | 862.012 | 887.412 | 912.812 | 938.212 | 963.612 | 989.012 | 1014.412 | 1039.812 |

Tabele przeliczeniowe temperatury

Załącznik 4 Tabela konwersji °C-°F

(Metoda korzystania z tej tabeli). Na przykład, by przeliczyć 38°C na °F, odczytać liczbę w prawej kolumnie °F obok wartości 38 w kolumnie środkowej. Oznacza to, że 38°C równie jest 100.4°F. Aby przeliczyć 38°F na °C, odczytać liczbę w lewej kolumnie °C w tym samym rzędzie, która wskazuje odpowiedź 3.3°C.

$$C = \frac{5}{9} (F-32)$$

$$F = 32 + \frac{5}{9} C$$

| °C | | °F | °C | | °F | °C | | °F | °C | | °F |
|-------|------|--------|------|----|-------|------|-----|-------|-------|------|------|
| -73.3 | -100 | -148.0 | 0.0 | 32 | 89.6 | 21.7 | 71 | 159.8 | 43.3 | 110 | 230 |
| -62.2 | -80 | -112.0 | 0.6 | 33 | 91.4 | 22.2 | 72 | 161.6 | 46.1 | 115 | 239 |
| -51.1 | -60 | -76.0 | 1.1 | 34 | 93.2 | 22.8 | 73 | 163.4 | 48.9 | 120 | 248 |
| -40.0 | -40 | -40.0 | 1.7 | 35 | 95.0 | 23.3 | 74 | 165.2 | 51.7 | 125 | 257 |
| -34.4 | -30 | -22.0 | 2.2 | 36 | 96.8 | 23.9 | 75 | 167.0 | 54.4 | 130 | 266 |
| -28.9 | -20 | -4.0 | 2.8 | 37 | 98.6 | 24.4 | 76 | 168.8 | 57.2 | 135 | 275 |
| -23.3 | -10 | 14.0 | 3.3 | 38 | 100.4 | 25.0 | 77 | 170.6 | 60.0 | 140 | 284 |
| -17.8 | 0 | 32.0 | 3.9 | 39 | 102.2 | 25.6 | 78 | 172.4 | 65.6 | 150 | 302 |
| -17.2 | 1 | 33.8 | 4.4 | 40 | 104.0 | 26.1 | 79 | 174.2 | 71.1 | 160 | 320 |
| -16.7 | 2 | 35.6 | 5.0 | 41 | 105.8 | 26.7 | 80 | 176.0 | 76.7 | 170 | 338 |
| -16.1 | 3 | 37.4 | 5.6 | 42 | 107.6 | 27.2 | 81 | 177.8 | 82.2 | 180 | 356 |
| -15.6 | 4 | 39.2 | 6.1 | 43 | 109.4 | 27.8 | 82 | 179.6 | 87.8 | 190 | 374 |
| -15.0 | 5 | 41.0 | 6.7 | 44 | 111.2 | 28.3 | 83 | 181.4 | 93.3 | 200 | 392 |
| -14.4 | 6 | 42.8 | 7.2 | 45 | 113.0 | 28.9 | 84 | 183.2 | 98.9 | 210 | 410 |
| -13.9 | 7 | 44.6 | 7.8 | 46 | 114.8 | 29.4 | 85 | 185.0 | 104.4 | 220 | 428 |
| -13.3 | 8 | 46.4 | 8.3 | 47 | 116.6 | 30.0 | 86 | 186.8 | 110.0 | 230 | 446 |
| -12.8 | 9 | 48.2 | 8.9 | 48 | 118.4 | 30.6 | 87 | 188.6 | 115.6 | 240 | 464 |
| -12.2 | 10 | 50.0 | 9.4 | 49 | 120.2 | 31.1 | 88 | 190.4 | 121.1 | 250 | 482 |
| -11.7 | 11 | 51.8 | 10.0 | 50 | 122.0 | 31.7 | 89 | 192.2 | 148.9 | 300 | 572 |
| -11.1 | 12 | 53.6 | 10.6 | 51 | 123.8 | 32.2 | 90 | 194.0 | 176.7 | 350 | 662 |
| -10.6 | 13 | 55.4 | 11.1 | 52 | 125.6 | 32.8 | 91 | 195.8 | 204 | 400 | 752 |
| -10.0 | 14 | 57.2 | 11.7 | 53 | 127.4 | 33.3 | 92 | 197.6 | 232 | 450 | 842 |
| -9.4 | 15 | 59.0 | 12.2 | 54 | 129.2 | 33.9 | 93 | 199.4 | 260 | 500 | 932 |
| -8.9 | 16 | 60.8 | 12.8 | 55 | 131.0 | 34.4 | 94 | 201.2 | 288 | 550 | 1022 |
| -8.3 | 17 | 62.6 | 13.3 | 56 | 132.8 | 35.0 | 95 | 203.0 | 316 | 600 | 1112 |
| -7.8 | 18 | 64.4 | 13.9 | 57 | 134.6 | 35.6 | 96 | 204.8 | 343 | 650 | 1202 |
| -7.2 | 19 | 66.2 | 14.4 | 58 | 136.4 | 36.1 | 97 | 206.6 | 371 | 700 | 1292 |
| -6.7 | 20 | 68.0 | 15.0 | 59 | 138.2 | 36.7 | 98 | 208.4 | 399 | 750 | 1382 |
| -6.1 | 21 | 69.8 | 15.6 | 60 | 140.0 | 37.2 | 99 | 210.2 | 427 | 800 | 1472 |
| -5.6 | 22 | 71.6 | 16.1 | 61 | 141.8 | 37.8 | 100 | 212.0 | 454 | 850 | 1562 |
| -5.0 | 23 | 73.4 | 16.7 | 62 | 143.6 | 38.3 | 101 | 213.8 | 482 | 900 | 1652 |
| -4.4 | 24 | 75.2 | 17.2 | 63 | 145.4 | 38.9 | 102 | 215.6 | 510 | 950 | 1742 |
| -3.9 | 25 | 77.0 | 17.8 | 64 | 147.2 | 39.4 | 103 | 217.4 | 538 | 1000 | 1832 |
| -3.3 | 26 | 78.8 | 18.3 | 65 | 149.0 | 40.0 | 104 | 219.2 | 593 | 1100 | 2012 |
| -2.8 | 27 | 80.6 | 18.9 | 66 | 150.8 | 40.6 | 105 | 221.0 | 649 | 1200 | 2192 |
| -2.2 | 28 | 82.4 | 19.4 | 67 | 152.6 | 41.1 | 106 | 222.8 | 704 | 1300 | 2372 |
| -1.7 | 29 | 84.2 | 20.0 | 68 | 154.4 | 41.7 | 107 | 224.6 | 760 | 1400 | 2552 |
| -1.1 | 30 | 86.0 | 20.6 | 69 | 156.2 | 42.2 | 108 | 226.4 | 816 | 1500 | 2732 |
| -0.6 | 31 | 87.8 | 21.1 | 70 | 158.0 | 42.8 | 109 | 228.2 | 871 | 1600 | 2912 |

Europejskie biura sprzedaży NSK

Polska i Europa

Środkowo-Wschodnia

NSK Polska Sp. z o.o.
Warsaw Branch
Ul. Migdałowa 4/73
02-796 Warszawa
Tel. +48 22 645 15 25
Fax +48 22 645 15 29
info-pl@nsk.com

Francja

NSK France S.A.S.
Quartier de l'Europe
2 rue Georges Guynemer
78283 Guyancourt, Cedex
Tel. +33 (0) 1 30 57 39 39
Fax +33 (0) 1 30 57 00 01
info-fr@nsk.com

Hiszpania

NSK Spain, S.A.
C/ Tarragona, 161 Cuerpo Bajo
2ª Planta, 08014 Barcelona
Tel. +34 932 89 27 63
Fax +34 934 33 57 76
info-es@nsk.com

Niemcy

NSK Deutschland GmbH
Harkortstraße 15
40880 Ratingen
Tel. +49 (0) 2102 4810
Fax +49 (0) 2102 4812290
info-de@nsk.com

Norwegia

Norweskie Biuro Sprzedaży

NSK Europe Norwegian Branch NUF
Østre Kullerød 5
N-3241 Sandefjord
Tel. +47 3329 3160
Fax +47 3342 9002
info-n@nsk.com

Republika Południowej Afryki

NSK South Africa (Pty) Ltd.
27 Galaxy Avenue
Linbro Business Park
Sandton 2146
Tel. +27 (011) 458 3600
Fax +27 (011) 458 3608
nsk-sa@nsk.com

Szwecja

NSK Sweden Office
Karolinen Företagscenter
Våxnäsgatan 10
SE-65340 Karlstad
Tel. +46 5410 3545
Fax +46 5410 3544
info-de@nsk.com

Turcja

NSK Rulmanlari Orta Doğu Tic. Ltd. Şti
19 Mayıs Mah. Atatürk Cad.
Ulya Engin İş Merkezi No: 68 Kat. 6
P.K.: 34734 - Kozyatağı - İstanbul
Tel. +90 216 3550398
Fax +90 216 3550399
turkey@nsk.com

Wielka Brytania

NSK UK LTD.
Northern Road, Newark
Nottinghamshire NG24 2JF
Tel. +44 (0) 1636 605123
Fax +44 (0) 1636 602775
info-uk@nsk.com

Włochy

NSK Italia S.p.A.
Via Garibaldi 215 - C.P. 103
20024 Garbagnate
Milanese (MI)
Tel. +39 02 995191
Fax +39 02 99025778
info-it@nsk.com

**Zapraszamy również na naszą stronę internetową: www.nskurope.pl
Global NSK: www.nsk.com**

